

MINISTERUL EDUCATIEI SI INVATAMINTULUI  
INSTITUTUL POLITEHNIC "TRAIAN VUIA" TIMISOARA  
FACULTATEA DE ELECTROTEHNICA

ING. OCTAVIAN PROȘTEAN

T E Z A D E D O C T O R A T

REGULATOARE ADAPTIVE AUTOACORDABILE PENTRU CONDUCEREA  
PROCESELOR COMPLEXE CU APLICATIE LA COMANDA SISTEMULUI  
DE EXCITATIE A HIDROGENERATOARELOR

CONDUCTATOR STIINTIFIC  
PROF.DR.ING. TIBERIU MURESAN

BIBLIOTECA CENTRALĂ  
UNIVERSITATEA "POLITEHNICA"  
TIMIȘOARA

T I M I S O A R A

1 9 8 9

538 655  
56 D

## CUPRINSUL TEZEI DE DOCTORAT

|   |      |
|---|------|
| <b>1. INTRODUCERE</b>   |      |
| 1.1. Oportunitatea și obiectivele tezei .....   | 1-1  |
| 1.2. Prezentarea conținutului tezei .....   | 1-2  |
| 1.3. Lista principalelor abrevieri și notații<br>utilizate .....  | 1-10 |
| <b>2. SISTEME DE CONDUCERE ADAPTIVA. REGULATOARE<br/>AUTOACORDABILE</b>   |      |
| 2.1. Preliminarii .....   | 2-1  |
| 2.2. Principii de conducere adaptivă. Clasificări .....   | 2-3  |
| 2.3. Probleme ale sintezei SAAC .....   | 2-10 |
| <b>3. SINTEZA SISTEMELOR DE CONDUCERE ADAPTIVA<br/>AUTOACORDABILA</b>   |      |
| 3.1. Introducere .....  | 3-1  |
| 3.2. Estimarea on-line a parametrilor sistemelor .....  | 3-2  |
| 3.2.1. Formalizarea problemei estimării<br>parametrilor .....   | 3-2  |
| 3.2.2. Definirea problemei de estimare utilizând<br>metoda CMLP. Estimatorul CMLP off-line.....   | 3-4  |
| 3.2.2.1. Considerații privind calculul nume-<br>ric al estimatorului CMLP off-line<br>utilizând transformările ortogonale.<br>Algoritmul TO ..... | 3-11 |
| 3.2.3. Metode on-line de estimare. Algoritmi<br>recursivi .....   | 3-13 |
| 3.2.3.1. Preliminarii .....   | 3-13 |
| 3.2.3.2. Abordare unitară a metodelor de es-<br>timare on-line .....  | 3-15 |
| 3.2.3.2.1. Algoritm on-line general<br>al matricii de covarianță .....  | 3-17 |
| 3.2.3.2.2. Algoritmi în timp real ..  | 3-26 |
| 3.2.3.2.3. Algoritm on-line al ma-<br>tricii de informație ....   | 3-30 |
| 3.2.4. Algoritmi on-line de estimare bazați pe teh-<br>nici de factorizare matriceală .....   | 3-31 |
| 3.2.4.1. Preliminarii .....   | 3-32 |
| 3.2.4.2. Algoritmi utilizând matricea de<br>informație .....  | 3-33 |
| 3.2.4.3. Algoritmi utilizând matricea de<br>covarianță .....  | 3-39 |
| 3.3. Strategii de comandă adaptivă autoacordabilă .....   | 3-44 |
| 3.3.1. Strategie de comandă de varianță minimă de<br>bază .....   | 3-44 |

|        |   |      |
|--------|---|------|
| 3.3.2. | Strategii de comandă de variantă minimă modificate .....  | 3-50 |
| 3.3.3. | Strategii de comandă de variantă minimă generalizate .....  | 3-54 |
| 4.     | <b>IDENTIFICAREA ANALITICĂ ȘI ANALIZA UNOR MODELE MATEMATICE ALE HIDROGENERATOARELOR UTILIZATE ÎN SINTEZA ȘI SIMULAREA CONDUCERII ADAPTIVE A SISTEMULUI LOR DE EXCITAȚIE</b>                          |      |
| 4.1.   | Identificarea analitică a hidrogenatoarelor .....   | 4-2  |
| 4.1.1. | Determinarea ecuațiilor de funcționare ale mașinii sincrone liniarizate (idealizate), în sistemul de coordonate ale mărimilor de fază .....   | 4-2  |
| 4.1.2. | Mașina sincronă echivalentă. Transformarea $d, q, o$ .....  | 4-8  |
| 4.1.3. | Reducerea mărimilor din mașina sincronă la nivelul mărimilor statorice .....  | 4-13 |
| 4.1.4. | Trecerea la sistemul de ecuații în unități relative .....   | 4-14 |
| 4.1.5. | Modelul matematic complet al HG .....   | 4-17 |
| 4.1.6. | Modele matematice simplificate, de ordin redus ale HG .....   | 4-20 |
| 4.1.7. | Considerarea saturației în MM al HG .....   | 4-25 |
| 4.2.   | Simularea regimurilor tranzitorii ale HG .....  | 4-28 |
| 4.3.   | Analiza comparativă a rezultatelor obținute prin simularea unor regimuri caracteristice de funcționare ale HG. Validarea MM propuse .....   | 4-31 |
| 4.3.1. | Descrierea regimurilor analizate. Rezultatele simulărilor .....   | 4-31 |
| 4.3.2. | Analiza rezultatelor simulărilor regimurilor de funcționare ale HG și validarea rezultatelor .....  | 4-36 |
| 4.3.3. | Concluzii referitoare la calitatea MM propuse .....   | 4-37 |
| 5.     | <b>REGULATOR ADAPTIV AUTOACORDABIL PENTRU CONDUCEREA SISTEMULUI DE EXCITAȚIE A UNUI HIDROGENERATOR</b>  |      |
| 5.1.   | Model matematic stohastic direct al unui HG conectat la SEM prin intermediul unei rețele electrice, direct utilizabil în sinteza strategiilor de conducere adaptivă autoacordabilă a excitației ..... | 5-1  |
| 5.1.1. | Determinarea ecuației cu diferența stohastică pentru HG cuplat la rețea .....   | 5-1  |
| 5.1.2. | Program de calcul al parametrilor MM al HG utilizat în conducerea adaptivă autoacordabilă .....   | 5-9  |
| 5.2.   | Analiza influenței regimurilor de funcționare ale HG și a unor parametrii importanți ai acestuia asupra coeficienților MM utilizat la reglarea autoacordabilă a excitației .....                      | 5-10 |

|        |   |      |
|--------|---|------|
| 5.2.1. | Calculul numeric al parametrilor MIM al HG CHE Grebla pentru diverse regimuri de funcționare și analiza repartiției poli-zerouri a funcției de transfer ..... | 5-13 |
| 5.3.   | Evaluarea critică a unor estimatori recursivi cu aplicație la cazul unui HG .....   | 5-17 |
| 5.3.1. | Considerații privind implementarea estimatorilor recursivi propuși .....  | 5-17 |
| 5.3.2. | Programul de teste. Rezultate privind estimarea parametrilor .....  | 5-19 |
| 5.3.3. | Concluzii privind calitatea estimatorilor recursivi considerați .....   | 5-21 |
| 5.4.   | Regulator autoacordabil explicit pentru conducerea excitației unui HG, cu aplicație pentru CHE-Grebla .....   | 5-32 |
| 5.4.1. | Sinteza strategiei de comandă adaptivă autoacordabilă a excitației HG .....   | 5-33 |
| 5.4.2. | Considerații privind simularea funcționării RAA .....   | 5-39 |
| 5.4.3. | Rezultate și concluzii privind implementarea RAA explicit .....   | 5-40 |
| 6.     | CONCLUZII .....   | 6-1  |
| 7.     | BIBLIOGRAFIE .....  | 7-1  |



## CAP.1. INTRODUCERE

### 1.1. Oportunitatea și obiectivele tezei

Dezvoltarea și fundamentarea teoriei moderne a conducerii, precum și impactul creat de progresele spectaculoase ale tehnologiei microprocesoarelor au creat baza teoretică și practică fără de care construcția sistemelor de conducere adaptivă (SCAD) este de neconceput.

Limitările sistemelor convenționale de reglaj datorate neliniarităților, a necunoașterii exacte a valorilor unor parametrii, a variației în timp a unor caracteristici de funcționare precum și a unor perturbații de natură aleatoare, în contextul introducerii masive a sistemelor de calcul numeric - microcalculatoarelor - în sistemele automate, fac posibilă și necesară utilizarea sistemelor discrete de conducere adaptivă. Ele se impun din ce în ce mai mult ca soluții moderne în practica conducerii automate a proceselor industriale complexe.

SCAD necesită informație apriori redusă, modificându-și structura și/sau parametrii pe măsură ce se obțin informații noi despre proces.

Există multe posibilități de abordare și deși problemei conducerii adaptive i s-au dedicat în ultimul timp un important număr de lucrări, totuși nici până în prezent nu există o teorie unitară în acest domeniu, ea rămânând în continuare o problemă deschisă.

O abordare de dată relativ recentă, care formează de altfel obiectul preocupării acestei lucrări - o constituie sistemele adaptive autoacordabile (SAAC). Acestea oferă proprietăți atrăgătoare în cazul conducerii proceselor complexe, a căror comportare dinamică nu este cunoscută integral și a căror caracteristici de funcționare se modifică în timp în condițiile acțiunii perturbațiilor parametrice și/sau aditive nemăsurabile.

Principiul SAAC are la bază o combinație între o procedură de estimare a parametrilor cu o schemă de reglare, estimarea parametrilor eliminând nedeterminismul cauzat de necunoașterea lor apriori.

În cadrul SAAC s-au dezvoltat o gamă largă de algoritmi, obținuți prin combinarea diferitelor structuri de modele, metode de estimare și procedee de sinteză, dar libertatea de alegere a al-

goritmlilor de adaptare poate conduce la nereușită și chiar la rezultate eronate. Apare astfel necesitatea unei sinteze fundamentate a algoritmlilor de comandă adaptivă autoacordabilă.

Unul dintre obiectivele acestei lucrări constă tocmai în studiul într-un cadru unitar atât al tehnicilor și algoritmlilor de estimare on-line a parametrilor cât și a sintezei propriu-zise a strategiilor de comandă autoacordabilă, pentru o gamă largă de procese perturbate stohastic, în scopul de a furniza cercetătorilor și proiectanților de S.A.C. un instrument de lucru și o metodologie de implementare a acestor strategii.

Un alt obiectiv al tezei, ținând cont de aplicația considerată, și de faptul că sinteza reguletoarelor autoacordabile (RAA) se bazează pe un model al procesului, constă în identificarea analitică, analiza și validarea unor modele matematice (M.M.) de complexități diferite ale unui hidrogenator (HG), modele utilizabile atât în sinteza cât și în simularea conducerii adaptive a sistemului de excitație al HG.

Un al treilea obiectiv propus și realizat constă în sinteza și implementarea unei strategii de comandă adaptivă autoacordabilă (unui RAA) pentru conducerea în buclă închisă a sistemului de excitație al unui HG cuplat la sistemul electroenergetic (SEE) prin intermediul unei rețele electrice.

În fine, ultimul obiectiv avut în vedere constă în prezentarea contribuțiilor autorului în problematica conducerii adaptive autoacordabile în general și în conducerea cu RAA a sistemului de excitație a unui HG cuplat la SEE, în particular, ca rezultat al unei activități de cercetare fundamentală și contractuală desfășurată pe parcursul mai multor ani.

O bună parte din rezultatele tezei au fost utilizate în cadrul a cinci contracte de cercetare științifică /Prot.83/Prot.84/Prot.86/Prot.87/Prot.88/ la care a participat autorul (beneficiar S.C. I.T.E.H. - Reșița), o altă parte au constituit subiecte a unor comunicări științifice și a unor lucrări publicate iar restul sînt prezentate în premieră.

Contribuțiile de ordin teoretic și rezultatele concrete obținute conferă lucrării un real caracter de aplicabilitate practică.

## 1.2. Prezentarea conținutului tezei

Obiectivele propuse au condus la structurarea lucrării într-un

număr de 6 capitole, a căror conținut este prezentat în continuare.

În Cap.2 se face o sistematizare în tabloul destul de celer-doscopic de noțiuni, structuri și rezultate acumulate în teoria sistemelor de conducere adaptivă. Avându-se în vedere că există de fapt o serie întreagă de definiții ale SCAD, se precizează din start accepțiunea utilizată în lucrare pentru această categorie de sisteme automate.

Se consideră pe rând două din abordările care prezintă un interes major în conducerea proceselor complexe și anume sistemele adaptive cu model etalon (SAME) și sistemele adaptive autoacordabile (SAAC), ultima constituind de altfel, după cum s-a menționat deja, obiectul lucrării de față.

Pentru clasa de regulatoare corespunzătoare SAAC, cunoscută sub denumire de regulatoare autoacordabile (RAA), (self-tuning) este prezentată atât structura explicită cât și cea implicită. Prima, în terminologia conducerii stohastice, corespunde principiului echivalenței certe, parametri estimați fiind utilizați în sinteza algoritmului de comandă ca și când ar fi parametri reali, cea de-a doua corespunzând unei adaptări directe, estimându-se parametrii algoritmului de comandă direct.

Cu toate deosebirile aparente dintre cele două abordări de bază, SAME și SAAC, este evidențiată similitudinea de fond dintre ele, care se manifestă atât în ceea ce privește algoritmi de actualizare a parametrilor cât și proprietățile de stabilitate și convergență.

Este propusă o clasificare care oglindește particularitățile esențiale ale sistemelor adaptive văzute prin prisma teoriei conducerii stohastice. În ultimul paragraf al capitolului sînt abordate principalele probleme care se cer rezolvate în cadrul sintezei SAAC, definite de tipurile alese pentru funcția obiectiv.

Performanțele RAA sînt influențate în mod decisiv de calitatea estimării parametrilor procesului sau a legii de comandă. Prima parte a Cap.3 este dedicată tocmai problemei estimării recursive a parametrilor, fiind discutate în detaliu aspecte practice legate de implementarea algoritmilor recursivi.

Accepțiunile utilizate în lucrare pentru principalele caracteristici ale estimatorilor (marcare, eficiență, consistență, suficiență) precum și pentru convergența stohastică sînt cele definite în /Pro.85/.

Se debutează cu aspecte privind formalizarea problemei estimării parametrilor. Se definește problema estimării utilizând metoda CMMP, avîndu-se în vedere că este abordarea utilizată cu precădere în cadrul conducerii autoacordabile. Pentru introducerea ipotezelor de lucru, a notațiilor și a relațiilor de bază se fac cîteva considerații asupra variantei ei off-line.

Deși metoda se poate aplica oricărui MM care descrie dinamica sistemului, pentru dezvoltările ulterioare se consideră ca model al sistemului, ecuația de regresie liniară, generalizată în variantă discretă (atît pentru SISO cît și pentru MIMO). Sînt efectuate considerații privind calculul numeric al estimatorului CMMP off-line utilizînd transformările ortogonale (TO). Este prezentat un algoritm de calcul în care pentru eliminările ortogonale se preferă utilizarea algoritmului Givens deoarece pe baza lui este posibilă obținerea directă a unui estimator recursiv. Se realizează astfel trecerea la metodele on-line, care conduc nu numai la avantaje legate de calcul ci și la posibilitatea colectării datelor măsurate pînă la atingerea unei anumite precizii a parametrilor, sau în cazul în care procesele sînt lent variante, variațiile parametrilor pot fi urmărite.

Algoritmii capabili să rezolve recursiv sistemul liniar de ecuații supradeterminat în sensul obținerii noului estimat al parametrilor sînt numiți în lucrare algoritmi recursivi. Algoritmii de estimare sînt numiți în timp real, dacă sînt recursivi și dacă au în plus proprietatea de a urmări în timp real variațiile lente ale parametrilor. În contrast cu algoritmi off-line, ambele variante de algoritmi, se vor referi - atunci cînd nu este necesară delimitarea exactă a lor - ca algoritmi de tip on-line. De asemenea, după cum în calculul estimatului parametrilor se utilizează matricea de covarianță sau matricea de informație, algoritmi de estimare se vor numi: algoritm al matricii de covarianță, respectiv algoritm al matricii de informație.

Sînt discutate metode de estimare, viabile practic, pentru care metoda CMMP constituie procedura nucleu și care depășese dificultățile implicate de corelarea zgomotului. Astfel, pe lîngă varianta on-line a metodei CMMP (CMMP-R) sînt considerate variante on-line a metodei celor mai mici pătrate generalizate (CMMPG-R), a variabilei instrumentale (VI-R), a celor mai mici pătrate extinse (CMMP-E-R) și a verosimilității maxime (VM-R).

Este realizată o abordare unitară a acestor metode, prin considerarea unui algoritm on-line general al matricii de covarianță care

cuprinde atât versiunea lor recursivă propriu-zisă cât și cea în timp real. Algoritmii corespunzători diverselor metode se obțin ca niște cazuri particulare a algoritmului general, postulând diferite structuri pentru modelul de zgomot și definind diferite mărimile implicate.

Pentru algoritmi în timp real s-au abordat variantele care prezintă interes în practica implementării strategiilor de comandă autoacordabilă. Discuțiile referitoare la alegerea factorului de uitare sînt făcute pentru versiunea în timp real a algoritmului CMMF, rezultatele obținute fiind aplicabile direct și celorlalte metode on-line, datorită legăturii strînse dintre acestea și algoritmul CMMF-R.

Deși în cadrul algoritmilor recursivi considerați calculele care trebuie efectuate, precum și mărimile care intervin sînt unic definite, există mai multe posibilități, echivalente din punct de vedere algebric de organizare a aceluiași calcule care influențează direct caracteristicile numerice și performanțele algoritmului.

O alternativă de calcul considerată în lucrare, o oferă tehnicile de factorizare matricială care conferă proprietăți numerice superioare algoritmilor de estimare. Elementul principal adoptat pentru actualizarea factorizărilor îl constituie rotațiile plane standard sau modificate care creează baza pentru o tratare unitară a diferiților algoritmi de factorizare.

Au fost considerate variante de algoritmi recursivi de estimare utilizînd factorizarea de tip Cholesky și factorizarea UR, atât pentru algoritmi ai matricii de informație cât și pentru algoritmi ai matricii de covarianță. Sînt prezentați și analizați acei algoritmi din categoriile menționate, considerați ca fiind adecvați implementării reguletoarelor autoacordabile.

Este propusă o variantă de algoritm de filtrare discretă cu rădăcina pătrată, a matricii de informație, obținută pe o cale directă din estimatorul CMMF off-line utilizînd o transformare ortogonală de tip Givens.

Prin prisma analizei algoritmilor on-line prezentați se evidențiază concluzii utilizabile în etapa de sinteză a strategiei de comandă adaptivă autoacordabilă în cazul unor aplicații particulare.

Problema care se cere rezolvată în continuare și căreia îi este dedicată partea a doua a Cap.3 constă în proiectarea unui

RAA (algoritm de reglare numerică) care să genereze o astfel de secvență de comandă, încât să se asigure minimumul varianței ieșirii procesului supus acțiunii unor perturbații stohastice, sau în terminologia teoriei sistemelor de reglare stohastică, sinteza unei strategii de comandă autoacordabilă (SCAA) de varianță minimă.

Se subliniază legătura cu problema de predicție /Ast.70/, problema de control stohastic fiind rezolvată prin defalcarea ei într-o problemă de predicție, care constă în construcția predictorului (optimal) peste  $k$  pași a ieșirii și o problemă de reglare în care se determină strategia de comandă care minimizează funcția obiectiv.

Este abordată sinteza strategiei de comandă autoacordabilă de bază precum și modificări ale acesteia în vederea extinderii ariei de utilizare și îmbunătățirii performanțelor SAAC.

Se prezintă în acest sens o posibilitate de obținere a unor strategii de varianță minimă care să fie insensibile la modificări ale parametrilor procesului pentru cazul sistemelor de fază minimă.

Pentru situația în care unele dintre perturbațiile care acționează asupra procesului sînt măsurabile, este sintetizat un algoritm de varianță minimă care compensează efectul acestor perturbații.

Strategiile de comandă considerate în continuare reprezintă o generalizare a strategiilor de minimă varianță de bază sau modificate, ele obținîndu-se ca soluții ale unei probleme liniar-pătratică.

Funcția obiectiv conținînd un termen suplimentar de penalizare a comenzii este reprezentată de un criteriu pătratic cu orizont de timp redus, variante de strategii de comandă obținîndu-se prin particularizări ale polinoamelor de filtrare a mărimii de ieșire, prescrierii și a intrării.

Pentru situația în care parametrii procesului se considera cunoscuți este sintetizat un RAA explicit. Este prezentată structura sistemului automat prevăzut cu RAA, legea de comandă fiind constituită dintr-o prescriere, o reacție și un precompensator. Sînt făcute considerații privind stabilitatea sistemului în buclă închisă și convergența RAA obținut către regulatorul care utilizează valorile reale ale parametrilor procesului.

Abordarea problemei sintezei comenzii pentru cazul în care parametrii procesului se consideră necunoscuți conduce la obținerea RAA implicit. Este prezentat un algoritm de desfășurare a procedurii de sinteză a RAA cu identificare implicită, atît pentru situația în care zgomotul din ieșire este unul alb cît și pentru unul colorat.

Capitolul 4 își propune să prezinte principalele etape și probleme care intervin în identificarea analitică a hidrogenatoarelor în vederea conducerii adaptive a sistemului lor de excitație. Se analizează rezultatele obținute prin utilizarea în simulare a unor MM de complexități diferite, propunându-se în final MM continue considerate ca fiind cele mai indicate scopului menționat.

Necesitatea dezvoltărilor din acest capitol rezidă din faptul că, pe de o parte, în implementarea SCAA a excitației HG, pentru faza de testare prin simulare a algoritmilor propuși este nevoie de MM complexe ale procesului, datorită dificultăților deosebite legate de realizarea în procesul real a regimurilor de funcționare care trebuie studiate, iar pe de altă parte, avându-se în vedere că structurile de conducere autoacordabilă implică estimarea parametrilor procesului sau a legii de comandă, din considerente de eficiență de calcul sînt necesare MM de ordin redus cu un număr cît mai mic de parametri de estimat dar care să respecte esența dinamicii procesului.

Ecuatiile mașinii sincrone obținute în cadrul teoriei de bază, trebuie să descrie fenomenele esențiale pe o cale cît mai directă și mai accesibilă. În acest scop s-au acceptat anumite simplificări față de caracteristicile și fenomenele din mașina reală care împreună cu convențiile adoptate pentru sensurile pozitive, au permis reprezentarea simplificată a mașinii sincrone reale.

Aplicînd legea circuitului electric pentru fiecare înfășurare, relațiile lui Maxwell referitoare la inductivități, teorema momentului cinetic și teorema generalizată a forțelor magnetice sau determinat ecuațiile de funcționare ale mașinii sincrone liniarizate în sistemul de coordonate a mărimilor de fază.

Se impune însă adoptarea unui sistem de referință mobil, legat de rotor astfel încît configurația circuitului magnetic privită dinspre rotor să rămîină neschimbată. În lucrare s-a adoptat un sistem de referință cu axele suprapuse peste axele  $d$  și  $q$  rotorice determinîndu-se ecuațiile de funcționare ale mașinii sincrone echivalente.

Deoarece interesează funcționarea mașinii ca și componentă a sistemului electroenergetic, la care mașina este conectată prin înfășurările statorice, s-a efectuat reducerea variabilelor și parametrilor mașinii, astfel încît mărimile statorice s-au menținut neschimbate iar mărimile din celelalte înfășurări s-au redus la ni-



velul acestora. Ecuațiile obținute s-au exprimat în unități relative alegîndu-se mărimile de bază identice pentru rotor și stator și egale cu mărimile nominale statorice. Pentru cele trei etape s-au determinat matrici totale de transformare pentru fiecare tip de variabilă care permit obținerea ecuațiilor mașinii sincrone liniarizate, transformată și redusă la stator, cu mărimile exprimate în unități relative, care în final s-au organizat sub forma unui MM-ISE. S-a ajuns astfel pentru HG, la un sistem multivariabil de ordinul 5 cu 5 mărimi de intrare și 6 mărimi de ieșire care reprezintă MM complet (MMC) și care respectă cel mai fidel fenomenele ce au loc în mașina sincronă (în lipsa considerării saturației).

În continuare în lucrare s-au propus trei categorii de MM de ordin redus (MMR) obținute prin trei etape succesive de simplificări în MMC. Astfel într-o primă etapă s-a neglijat componenta continuă din curenții statorici care se opun modificărilor instantanee a fluxului, care a permis obținerea unui prim model simplificat al HG, MMR1 de ordinul 5.

Neglijînd în continuare influența înfășurărilor de amortizare rezultă un al doilea MM simplificat, MMR2 de ordinul 3.

O a treia și ultimă treaptă de simplificare luată în considerare constă în neglijarea fenomenelor tranzitorii corespunzătoare înfășurării de excitație. S-a obținut astfel un MM simplificat la maxim, MMR3 de ordinul 2 care constă dintr-o t.e.m. constantă în spatele reactanței sincrone.

Pentru simularea cît mai corectă a fenomenelor din HG, s-a considerat și influența saturației miezului magnetic, care a condus la obținerea celui mai complex MM, MMCS capabil să descrie comportarea HG în orice regim.

Pentru a putea compara și valida MM deduse și analiza care dintre ele este cel mai adecvat pentru a fi utilizat în sinteza conducerii adaptive a HG s-au simulat pentru fiecare MM în parte cîteva regimuri de funcționare considerate ca fiind tipice pentru un HG, rezultatele simulărilor fiind listate sub formă de diagrame.

Pentru realizarea unei comparații mai elocvente a MM deduse s-au prezentat pe aceeași diagramă rezultatele simulărilor aceluiași regim cu MM diferite.

Pe baza analizei comparative a rezultatelor simulărilor s-au formulat în finalul capitolului concluzii referitoare la calitatea MM, recomandîndu-se din punctul de vedere al realizării compromisului



lui simplitate-fidelitate utilizarea în conducerea adaptivă a excitației HG, a modelelor reduse MMR1 sau MMR2.

Capitolul 5 abordează și rezolvă probleme care concură în final la sinteza unui regulator adaptiv autoacordabil pentru conducerea sistemului de excitație a unui HG.

Astfel, în primul paragraf al capitolului se dezvoltă pe baza MMR2 dedus în Cap.4, un MM discret, de forma ecuației cu diferențe stohastică pentru un HG cuplat la SEE prin intermediul unei rețele electrice, care să fie direct utilizabil în sinteza strategiilor de conducere autoacordabilă a excitației HG.

În acest sens a fost necesară parcurgerea următoarelor etape: liniarizarea ecuațiilor în jurul punctului de funcționare, rezolvarea sistemului de ecuații în sensul obținerii unei relații intrare/ieșire, discretizarea acesteia și completarea ei cu un termen corespunzător perturbațiilor stohastice.

A rezultat în final, o relație intrare/ieșire monovariabilă în care mărimea de ieșire (reglată) este tensiunea la borne (abaterea) iar mărimea de intrare (comandă) este tensiunea de excitație a excitatoarei (abaterea).

Este de menționat că structura considerată pentru rețea corespunde situației concrete existente la CHE Grebla. De asemenea valorile parametrilor excitatoarei și ale HG utilizate în calcule corespund aceleiași instalații.

Utilizându-se un program de calcul al valorilor parametrilor MM al HG s-a efectuat o analiză a influenței principalelor regimuri de funcționare ale HG și a unor parametri importanți ai acestuia asupra coeficienților MM utilizat în conducerea adaptivă a excitației. S-au stabilit limitele domeniilor și modul de variație al acestora, informații necesare în procesul de startare a algoritmilor de estimare și la aprecierea calității estimatorilor. Se face de asemenea o analiză a repartiției poli-zero-uri a funcției de transfer continuă și discretă a sistemului considerat.

Avându-se în vedere rolul important al calității estimatorilor asupra performanțelor RAA, în continuarea materialului se face o analiză comparativă a patru dintre estimatorii recursivi prezentați în Cap.3, considerați ca fiind indicați implementării RAA și anume estimatorul CMMPR, estimatorul bazat pe filtrarea cu ajutorul rădăcinii pătrate (SQ), estimatorul bazat pe TO Givens (TG) și estimatorul bazat pe factorizarea UD.

S-au simulat cîteva situații considerate ca fiind elocvente în ceea ce privește evidențierea unor concluzii referitoare la corectitudinea estimării valorilor parametrilor, viteza de calcul, convergența și stabilitatea numerică.

Au fost formulate criterii care fac posibilă evaluarea critică a estimatorilor recursivi propuși.

Se prezintă principalele rezultate obținute în urma unui mare număr de simulări privind estimarea parametrilor unui proces funcționînd în buclă deschisă, proces particularizat prin HG-CHE Grebla.

Analiza rezultatelor obținute a permis formularea de concluzii referitoare la calitatea estimatorilor considerați și de recomandări privind utilizarea lor în cadrul structurilor de conducere autoacordabilă.

Ultimul paragraf al capitolului, dezvoltă aspecte legate de sinteza propriu-zisă și implementarea unui RAA explicit, avîndu-se la bază informația de construcție (structură și parametri) obținută în faza de indentificare a MM și de estimare recursivă a parametrilor, astfel încît secvența de comandă să satisfacă obiectivul impus prin fixarea funcției criteriu.

Este prezentată structura rezultată a sistemului de conducere adaptivă prevăzută cu RAA, a excitației HG cuplat la SSE.

A fost elaborat un program FORTRAN în variantă conversațională prin care s-a simulat funcționarea în buclă închisă a HG-CHE Grebla condus cu RAA, analizîndu-se atît influența alegerii mărimumi factorului de penalizare a comenzii cît și influența modificării regimului de funcționare a HG asupra calității reglajului adaptiv a excitației.

Se evidențiază concluzii de interes practic privind implementarea RAA.

În sfîrșit, în Cap.6 sînt prezentate concluzii și principalele contribuții teoretice și practice ale lucrării precum și cîteva direcții de cercetare viitoare.

### 1.3. Lista principalelor abrevieri și notații utilizate

#### Abrevieri

|           |  |
|-----------|--|
| SRC       | - sistem de reglare convențională      |
| SRAD/SCAD | - sistem de reglare/conducere adaptivă |
| SAD       | - sistem adaptiv                       |
| SAME      | - sistem adaptiv cu model etalon       |
| SAAc      | - sistem adaptiv autoacordabil         |

|                                 |  |
|---------------------------------|--|
| RAA                             | - regulator autoacordabil                                      |
| SCAA                            | - strategie de comandă autoacordabilă                          |
| MM                              | - model matematic  |
| MM-ISI                          | - model matematic intrare-stare-ieșire                         |
| model AR                        | - model autoregresiv   |
| model MA                        | - model de medie alunecătoare                                  |
| model CARMA                     | - model ARMA controlabil                                       |
| MMC/CS/R <sub>i</sub> , $i=1,3$ | - MM complet/complet cu saturație/reduc, $i=1,3$               |
| f.d.t.                          | - funcție de transfer  |
| LQG                             | - liniar patratic gaussian                                     |
| CMMP                            | - cele mai mici pătrate  |
| CMMP-P                          | - cele mai mici pătrate ponderate                              |
| CMMP-G                          | - cele mai mici pătrate generalizate                           |
| CMMP-E                          | - cele mai mici pătrate extinse                                |
| EM                              | - estimatorul Markov   |
| VI                              | - variabilă instrumentală                                      |
| VM                              | - verosimilitate maximă sau varianță minimă-funcție de context |
| ...-R                           | - variantă recursivă (ex.CMMP-R)                               |
| CMMP-RTR                        | - algoritm CMMP în timp real                                   |
| SISO                            | - sistem monovariabil în intrare și ieșire                     |
| MIMO                            | - sistem multivariabil în intrare și ieșire                    |
| SP                              | - semnal persistent  |
| c.p.l                           | - convergența în probabilitate 1                               |
| TO                              | - transformări ortogonale                                      |
| HG                              | - hidrogenerator   |
| SEE                             | - sistem electroenergetic                                      |
| CHE                             | - centrală hidroelectrică                                      |
| u.r.                            | - unități relative   |
| t.e.m.                          | - tensiune electromotoare                                      |

#### Notății

|            |                                   |
|------------|-----------------------------------|
| tr/./      | - urma matricii /./               |
| E/./       | - operator de mediere             |
|            | - norma euclidiană                |
| "          | - estimatul mărimii "             |
| $\sigma^2$ | - varianța                        |
| cov/./     | - matrice de covarianță           |
| R, (m,n)   | - dimensiunea matricii R          |
| $\prod_n$  | - mulțimea polinoamelor de grad n |
| $\Delta$   | - semnifică mica perturbație      |

|   |   |
|---|---|
| $t$                                       | - timp discret (în perioade de eşantionare)   |
| $k$                                       | - timp mort (în perioade de eşantionare)  |
| $u(t)/y(t)$                               | - intrare/ieşirea sistemului la momentul $t$  |
| $z(t)/w(t)$                               | - zgomotul aditiv din ieşire/mărime de referinţă (a ieşirii)  |
| $\theta$                                  | - vectorul parametrilor   |
| $s$                                       | - vectorul observaţiilor (datelor de măsură)  |
| $S$                                       | - matricea observaţiilor  |
| $z^{-1}$                                  | - operator de întârziere ( $z^{-1}n(t) = n(t-1)$ )  |
| $A(z^{-1})/B(z^{-1})/C(z^{-1})/D(z^{-1})$ | - polinoame corespunzând ieşirii/intrării/<br>secvenţei de zgomot colorat/perturbaţiei nemăsurabile |
| $P(z^{-1}), Q(z^{-1}), R(z^{-1})$         | - filtre de ponderare în funcţia obiectiv<br>corespunzând ieşirii/intrării/mărimii de referinţă     |
| $e(t)$                                    | - secvenţă de variabile aleatoare necorelată şi de medie<br>nulă (zgomot alb discret)               |
| $r(t)$                                    | - proces stohastic cu densitatea spectrală raţională<br>(zgomot colorat)                            |
| $\xi(t)$                                  | - reziduu sau eroarea ecuaţiei  |
| $d$                                       | - constantă reprezentând ieşirea sistemului în regim<br>staţionar pentru comandă nulă               |
| $\tilde{z}(t+k)$                          | - eroarea de predicţie peste $k$ paşi   |
| $P$                                       | - matricea de covarianţă a parametrilor estimaţi  |
| $J$                                       | - matricea de informaţie a parametrilor estimaţi  |
| $\alpha(t)$                               | - factor de "uitare"  |
| $\rho$                                    | - factor de penalizare a comenzii în funcţia obiectiv   |
| $\lambda$                                 | - valoare proprie   |
| $L, U^T$                                  | - matrici superior triunghiulare cu diagonala unitară   |
| $D_1, D$                                  | - matrici diagonale   |
| $R, G^T$                                  | - matrici superior triunghiulară numită rădăcină patrată<br>a lui $J$ respectiv $P$                 |
| $S^+$                                     | - pseudoinversa matricii $S$  |
| $W$                                       | - matrice de ponderare simetrică şi pozitiv definită  |

### Notă

- Lista cuprinde principalele notaţii utilizate majoritar în lucrare. În cazul că o anumită notaţie este atribuită şi altor mărimi, acest lucru este specificat de fiecare dată, astfel că posibilitatea unor confuzii este exclusă.
- Abrevierile sînt introduse la prima apariţie din text a noţiunii respective.

- Nu s-a considerat necesară, în general, utilizarea unor notații distinctive pentru vectori și matrici, semnificația mărimilor rezultând de fiecare dată din context (excepție fac doar relațiile de explicitare a diagramei fazoriale a HG cuplat la rețeaua electrică - paragraful 5.1.1.1).
- Lista nu cuprinde notațiile și indicii specifici HG, ei fiind introduși și utilizați doar în etape de identificare analitică.

\*

\* \* \*

Autorul își exprimă considerația și respectul față de conducătorul științific, prof.dr.ing.Tiberiu Mureșan căruia îi este profund recunoscător și îi adresează vii mulțumiri pentru îndrumarea plină de sollicitudine acordată pe toată perioada stagiului de doctorat și de elaborare a tezei.

Pentru discuțiile utile și pline de conținut avute încă din perioada conturării acestei lucrări autorul își exprimă întreaga sa grațitudine prof.dr.ing.Nicolae Budișan și prof.dr.ing.Marius Mîngănuț de la I.P.Cluj Napoca.

Aduc sincere mulțumiri conf.dr.ing.Crișan Strugaru, șeful Catedrei de Automatică și Calculatoare, pentru ajutorul real acordat în perioada finalizării tezei.

În mod deosebit adresez calde mulțumiri colegilor și prietenilor șef lucr.dr.ing.Bucur Luștea pentru colaborarea constructivă și fructuoasă avută și șef lucr.dr.ing.Stefan Holban pentru întregul sprijin acordat.

Mulțumesc tuturor celor care m-au încurajat și au fost alături de mine în realizarea acestei teze.

538655  
16 J

## CAP.2. SISTEME DE CONDUCERE ADAPTIVA. REGULATOARE AUTOACORDABILE

### 2.1. Preliminarii

Sinteza sistemelor de reglare convențională (SRC) urmărește satisfacerea unor condiții de performanță impuse, presupunându-se disponibile pentru proces modele matematice (MM) determinate, liniarizate în jurul unor puncte de funcționare, în ipoteza parametrilor constanți. În plus se consideră cunoscut un MM al semnalelor exogene care acționează asupra procesului.

Rezultatul sintezei SRC îl reprezintă un algoritm de conducere (reglare) a cărui implementare pe un suport hardware (regulatorul) asigură dinamica dorită în prezența acțiunii perturbățiilor externe, în ipoteza că aceste perturbații nu modifică MM, efectul lor cumuliindu-se cu efectul comenzii.

În condițiile în care atât MM al procesului cât și modelul semnalelor exogene se modifică în timpul funcționării procesului se impun tipuri speciale de sisteme de reglare (conducere): sisteme de reglare (conducere) adaptive (SRAD/SCAD) sau pe scurt sisteme adaptive (SAD). O schemă de principiu în acest sens, care face distincție între cele două situații menționate, (săgețile cu linie întreruptă implicând SAD) este reprezentată în fig.2.1.1.

Introducerea masivă a sistemelor de calcul numeric - microcalculatoarelor - în sistemele automate a determinat un interes deosebit pentru sistemele discrete de conducere adaptivă (SDCA). Acestea vor face de altfel și obiectul lucrării de față, lor dedicându-se, în special în ultimul timp, numeroase publicații. Deși problema conducerii adaptive nu este de dată foarte recentă /Ase.58/Str.59/Don.65/, dezvoltarea și fundamentarea teoriei moderne a conducerii, precum și impactul creat de progresele spectaculoase ale tehnologiei microprocesoarelor, au creat baza teoretică și practică fără de care construcția

sistemelor adaptive de conducere este de neconceput.

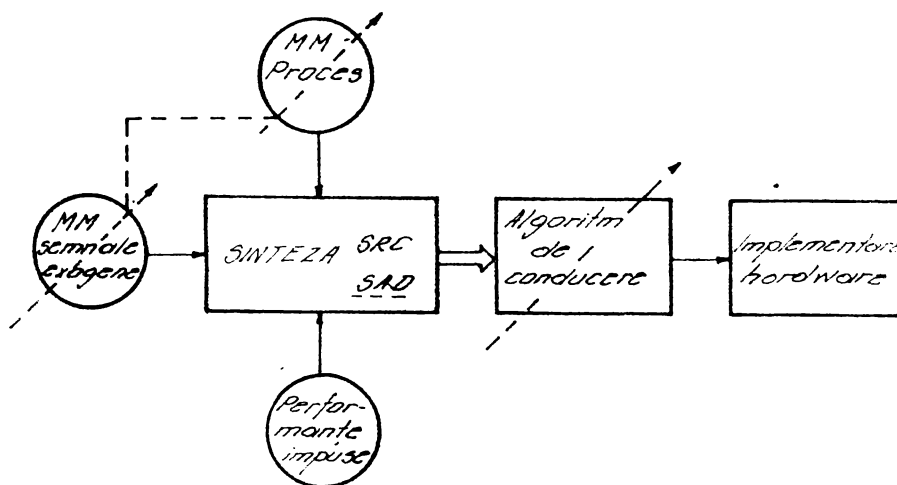


Fig.2.1.1. Structura unui SRC/SAD

Deși între timp problemei de conducere adaptivă i s-au dedicat un important număr de lucrări de sinteză /Lan.74/Unb.75/Wit.75/Ast.80/Lan.81/Sra.81/Ise.82/Ast.83/, au apărut de asemenea numeroase monografii asupra principiilor construcției și teoriei sistemelor adaptive:/Web.71/Sra.76/Sar.77/Ega.79/Lan.79/Nar.80/Unb.80/Fom.81/Ioa.83/Goo.84/Lju.84/Jak.85/, totuși nici pînă în prezent nu există o teorie unitară în acest domeniu, și nici măcar o definiție unanim acceptată a SAD. Există de fapt o serie întreagă de definiții ale SAD, o privire asupra lor și formularea concepțiilor în acest domeniu se găsește de exemplu în /Sar.77/, dar pînă în prezent nu s-a putut impune în general nici una.

În /Cal.85/ se definește adaptarea drept proprietatea unui sistem automat de reglare de a asigura automat modificarea corespunzătoare a unor parametri ai algoritmului de reglare (și eventual a structurii) astfel încît să fie compensate efectele perturbațiilor parametrice și ca urmare să fie menținute performanțele sistemului de reglare. Dacă se efectuează numai modificarea automată a unuia sau mai multor parametri ai regulatorului (fără modificarea structurii), adaptarea este denumită autoacordare - iar sistemul adaptiv se numește autoacordabil. Evident că și această definiție are limitările ei.

În continuare, prin sistem adaptiv se va înțelege un sistem care se caracterizează prin faptul că are capacitatea de a adapta în mod automat strategia de conducere la variația modelului procesului, la variația structurală a lui, precum și la variația semnalelor exogene care determină modificări ale modelului procesului, asigurând invarianța performanțelor sistemului de reglare. Această accepțiune este în sensul celei formulate de Comitetul "Adaptive Geräte und Systeme", Freiburg 2-3 aprilie 1973.

Sistemele adaptive necesită informație apriori redusă și își modifică structura și parametri pe măsură ce se obțin informații despre proces. Deoarece estimarea parametrilor procesului se face permanent, sistemele adaptive sînt utilizabile și în cazul proceselor neliniare sau variante în timp.

## 2.2. Principii de conducere adaptivă. Clasificări.

Pentru formularea și rezolvarea problemei de sinteză a SCAD se impune o sistematizare în tabloul destul de caleidoscopic de noțiuni, structuri și rezultate acumulate în teoria sistemelor adaptive.

Există multe posibilități de abordare, conducerea adaptivă rămînînd o problemă deschisă pentru mult timp. Au fost propuse, studiate și tratate o largă varietate de tipuri de sisteme de conducere adaptivă.

În cele ce urmează se va propune o clasificare pornind de la tehnicile conducerii stohastice. Evident că prezintă interes sistemele care realizează adaptarea în circuit închis, ele impunîndu-se ori de cîte ori modificările structurale ale procesului nu pot fi observate direct, mărimile exogene nefiind accesibile măsurătorilor. Aceasta este situația practică curentă în conducerea proceselor industriale complexe, ele constituind obiectul de studiu al acestei lucrări.

O ramificare posibilă a SCAD cu adaptare în buclă închisă este cea care le subîmparte în sisteme autoadaptive (SAA) și sisteme adaptive cu model etalon (SAME).

Principiul SAME constă în definirea comportării dorite a sistemului în buclă închisă printr-un model etalon și modificarea parametrilor dispozitivului de conducere a procesului astfel încît să se elimine sau reducă eroarea dintre mărimile de ieșire ale procesului și modelului etalon, care au fost excitate de una



și aceeași mărime de intrare (referință) fig.2.2.1, ( $v(t)$  - reprezintă alte mărimi disponibile din proces funcție de care se realizează adaptarea).

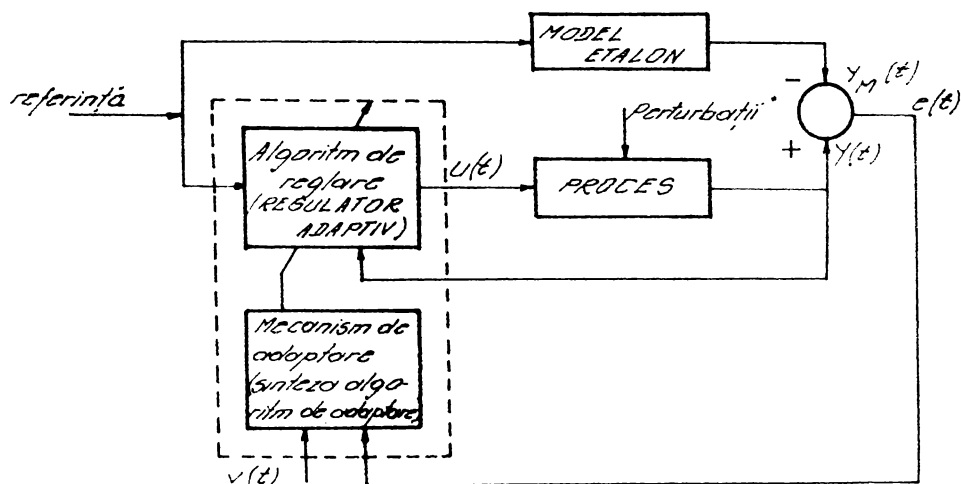


Fig.2.2.1. Structura unui SAME cu reglare explicită

Cercetările asupra SAME discrete au început cu /Mon.74/Ian.74/ și au făcut ulterior obiectul unei intense preocupări /Goo.80/ Goo.81/Ian.81-a/Cri.82/Ian.82/.

Deci problema conducerii adaptive cu ME se reduce la modificarea continuă a parametrilor ajustabili ai regulatorului astfel încât să se determine la fiecare moment de timp  $t$  ( $t = 0, 1, 2, \dots$ ), comanda  $u(t)$  în așa fel încât eroarea de urmărire:

$$e(t) = y(t) - y_M(t) \quad (2.2.1)$$

să satisfacă

$$\lim_{t \rightarrow \infty} [e(t)] = 0 \quad (2.2.2)$$

Dacă parametrii procesului sînt direct ajustabili, regulatorul adaptiv poate fi omis, (ca parte distinctă) ajungîndu-se la structura reprezentată în fig.2.2.2., aceasta fiind una dintre primele soluții de realizare a SAME /Lin.73/. Este ușor de observat că în acest din urmă caz avem de a face cu un SAME cu reglare implicită sau ceea ce se poate numi conducere adaptivă indirectă, spre

deosebire de cazul precedent în care proiectarea se bazează pe comparația între ME și bucla de reglare cu regulator adaptiv, care reprezintă un SAME cu reglare explicită sau conducere adaptivă directă /Lan.79/Ast.80/Pet.80/.

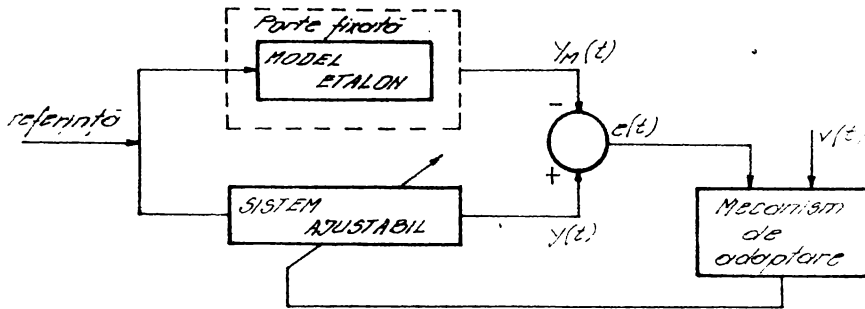


Fig.2.2.2. Structura unui SAME cu reglare implicită

În ceea ce privește SAA, pornind de la informațiile disponibile prin măsurători, intrarea  $u(t)$  și respectiv ieșirea  $y(t)$ ,  $t=0,1,2,\dots$ , se construiește un model al procesului estimându-se vectorul parametrilor  $\hat{\theta}(t)$  la fiecare pas de eșantionare, utilizându-se o metodă de estimare recursivă, valorile estimate fiind ulterior utilizate în sinteza on-line a algoritmului de reglare (fig.2.2.3). Se vorbește în acest caz de sisteme adaptive cu autoacordare (SAAc), ele regăsindu-se de altfel în primele abordări privind SAD. Acest lucru este firesc, avându-se în vedere că dacă ar fi fost cunoscuți parametrii procesului atunci n-ar fi existat nici o dificultate în determinarea parametrilor dispozitivului de conducere. Estimarea parametrilor procesului elimină nedeterminismul cauzat de necunoașterea lor apriori. Ideea SAAc a fost formulată de către Kalman în /Kal.58/, principiul conducerii (reglării) cu autoacordare fiind fundamentat de Aström și colaboratorii /Ast.70/Ast.71/Ast.73/Ast.74/Ast.74a/ și extins de Clarke și Gawthrop /Cla.75/Cla.79/, care au denumit clasa de regulatoare corespunzătoare, regulatoare autoacordabile (RAA) (self-tuning).

Principiul SAAc are la bază combinația între o procedură de estimare a parametrilor cu o schemă de reglare, funcțiile de identificare și de sinteză a algoritmului de reglare putînd fi izolate, rezultînd un RAA explicit, sau contopite într-o proce-

dură implicită de calcul direct al parametrilor regulatorului, rezultând un RAA implicit.

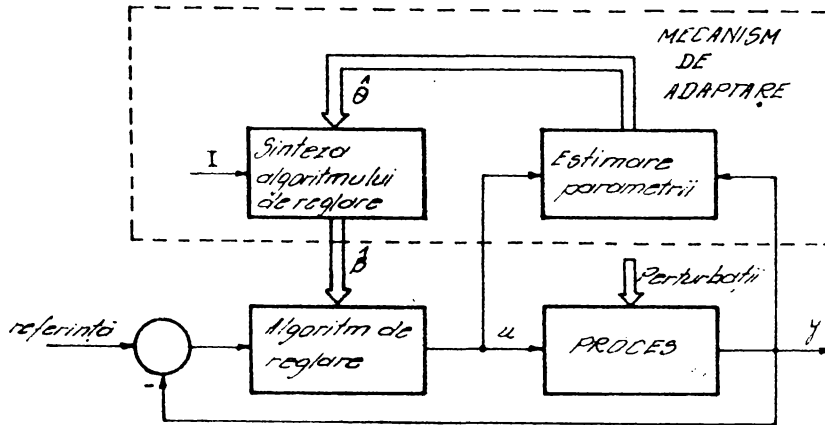


Fig.2.2.3. Structura unui SAAC

O structură de RAA explicit în care sînt evidențiate cele două nivele ierarhice de conducere, este reprezentată în fig.2.2.4 /Ast.77/.

Primul nivel ierarhic, de reglare, este constituit dintr-o lege de reglare standard (sub forma unei ecuații cu diferențe), iar al doilea nivel, de adaptare, realizează identificarea on-line a procesului, sinteza algoritmului de reglare și ajustarea parametrilor de acord ( $\hat{\beta}$  ai algoritmului de reglare. Avem de a face în acest caz cu o comandă adaptivă indirectă cu identificare explicită, parametrii regulatorului fiind acordați indirect în urma estimării parametrilor modelului procesului și calculelor de sinteză /Nar.79/.

Deci practic, parametri estimați sînt utilizați în sinteza algoritmului de comandă ca și cînd ar fi parametri reali. În terminologia conducerii stohastice aceasta corespunde principiului echivalenței certe (certainty equivalence principle) - vorbindu-se în acest caz despre regulatoare certe /Ast.74/.

O alternativă a structurii prezentate în fig.2.2.4. o oferă posibilitatea ca printr-o modelare corespunzătoare să se estimeze direct parametrii algoritmului de comandă. O astfel de structură corespunde unei adaptări directe cu identificare implicită

(structură implicită) și este reprezentată în fig.2.2.5.

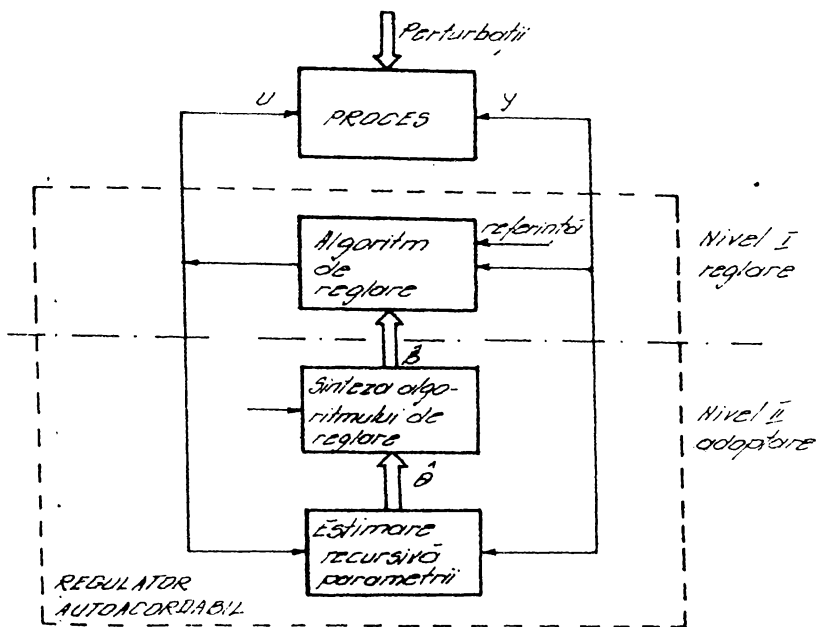


Fig.2.2.4. Structură de RAA explicit

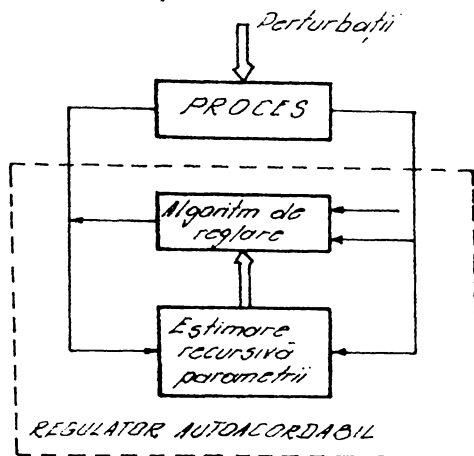


Fig.2.2.5. Structura unui RAA implicit

În locul estimării parametrilor modelului procesului se estimează direct parametrii algoritmului de reglare cu un efort de calcul on-line mai redus decât în cazul precedent.

Pentru ambele structuri prezentate, algoritmi rezultați sînt autoacordabili, dacă conform principiului certitudinii, la convergența valorilor parametrilor către parametri reali, comanda tinde către comanda optimală, obținută în situația în care parametrii procesului sînt cunoscuți.

În cadrul SAD cu regulatoare autoacordabile s-a dezvoltat o gamă largă de algoritmi, obținuți prin combinarea diferitelor structuri de modele, metode de identificare și procedee de sinteză.

Inițial identificarea s-a realizat cu algoritmul celor mai mici pătrate în formă recursivă, deși procesul s-a considerat neperturbat /Ase.58/. Ulterior un asemenea algoritm s-a utilizat în prezența zgomotelor /You.65/Cha.68/Pet.72/Ast.73/, ceea ce a condus la SAAC cu varianță minimă. Procedeele s-a generalizat la criterii pătratice mai complicate, care țin seama de mărimea de conducere. S-au studiat de asemenea SAAC cu distribuție poli-zero-uri dată a funcțiilor de transfer ale sistemului închis /Ast.80b/ Well.80/Well.81/Cla.82/. Studiului SAAC și a diverselor modalități de identificare a sistemelor le sînt consacrate numeroase lucrări /Ast.77/Nar.80a/Kus.82/Ise.82/Kus.82/Cai.84/.

În ciuda multitudinii de lucrări, algoritmi de adaptare nu se deosebesc prea mult prin varietate. De regulă aceștia sînt liniari în raport cu abaterile și reprezintă variante ale algoritmilor recursivi specifici metodei celor mai mici pătrate sau metodei aproximării stohastice. Modificările aduse acestor algoritmi adesea urmăresc simplificări în ceea ce privește implementarea sau studiul analitic. Libertatea de alegere a algoritmilor de adaptare poate duce la nereușită și chiar la rezultate eronate.

Apare astfel necesitatea unei sinteze fundamentate a algoritmilor de adaptare, în sensul unei optimalități dintr-un anumit punct de vedere.

Este recomandabilă utilizarea unei metode de sinteză, care să asigure dezideratele dorite ale sistemului de reglare, cînd parametrii procesului sînt cunoscuți, și un algoritm de estimare recursivă care se comportă bine pentru o clasă particulară de perturbații.

După cum s-a menționat deja, fundamentarea SAAC și SAME s-a făcut independent. Specificul abordării SAME constă în faptul că în cadrul sintezei lor este utilizată teoria stabilității (a lui Lyapunov sau hiperstabilității a lui Popov) spre deosebire de SAAC la care teoria stabilității nu este prezentă în faza de proiectare.

SAME au avantajul unei adaptări rapide în cazul modificării referinței, impunându-se o atenție deosebită alegerii ME care trebuie să acopere o clasă cât mai largă de procese și semnale exogene ce acționează asupra proceselor.

SAAC au avantajul unei adaptări continue în funcție de rezultatele identificării în buclă închisă a procesului, în condițiile perturbațiilor parametrice nemăsurabile. Cu toate deosebirile aparente dintre cele două abordări, în multe lucrări de dată mai recentă /Ega.79/Ega.80/Nar.80b/Jon.80/Lan.79/Lan.82a/, se scoate în evidență similitudinea din multe puncte de vedere dintre SAAC și SAME, similitudine care se manifestă atât în ceea ce privește algoritmi de actualizare ai parametrilor cât și proprietățile de stabilitate și convergență.

Au fost efectuate modificări ale procedeelor adaptive pentru a simplifica problemele de stabilitate și pentru a lua în considerare și gradul de incertitudine al parametrilor estimați, rezultând așa numitele "regulatoare prudente". La baza proiectării lor stă presupunerea că reglarea și identificarea pot fi exact separate (principiul separației), ele conducând însă în general la o identificare mai proastă.

Comanda adaptivă trebuie să urmărească nu numai dezideratele impuse de reglare ci și influența pe termen lung a reglajului asupra identificării. Astfel comanda trebuie să asigure o bună compensare a perturbațiilor ce acționează asupra procesului și o identificare viitoare corespunzătoare. Aceste două cerințe pot fi, în anumite cazuri, contradictorii, impunându-se, la alegerea metodelor de estimare și de sinteză, realizarea unor cerințe de performanță globală cât mai bună. O comandă adaptivă care satisface simultan ambele cerințe de performanță enunțate a fost numită de Feldbaum /Fel.65/ comandă adaptivă duală (regulator dual),

Regulatoarele duale, ca de altfel și principiul echivalenței certe și principiul separației au fost formulate inițial în domeniul tehnicilor de reglare stohastică pentru probleme de estimare a stării, ele dobândind însă o importanță deosebită și în problema estimării parametrilor în cadrul SAD /Wit.75/. Sinteza regulatoarelor duale poate fi realizată utilizând programarea dinamică a lui Bellman /Bel.61/, care conduce însă la dezvoltări complexe abordabile numai numeric; aceasta face ca în cele mai multe situații practice de conducere adaptivă să se apeleze la regulatoare suboptimale care pot asigura

satisfacerea unor performanțe impuse pentru clase largi de situații.

În literatură se vorbește, în cazul utilizării în cadrul conducerii adaptive a reguletoarelor duale, de adaptare activă, spre deosebire de celelalte cazuri considerate adaptare pasivă /Bar.74/.

Astfel, o propunere de clasificare, care oglindește particularitățile esențiale ale sistemelor adaptive, este prezentată în fig.2.2.6.

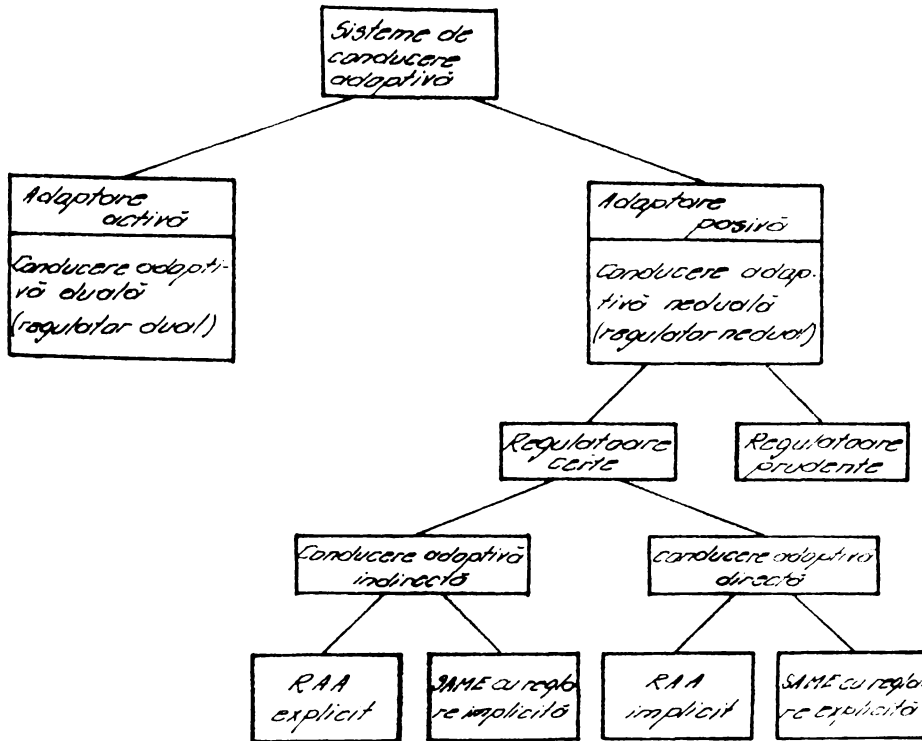


Fig.2.2.6. Clasificare a SCAD

### 2.3. Probleme ale sintezei SAAC

Sinteza SAAC presupune rezolvarea următoarelor problematice:

- construcția MM al procesului și al semnalelor exogene care acționează asupra acestuia;
- stabilirea obiectivelor conducerii și alegerea criteriului de performanță ce urmează a fi minimizat;

- selectarea procedurii de sinteză în funcție de tipul MM utilizat și de tipul criteriului de performanță adoptat;
- sinteza propriu-zisă a algoritmului de conducere adaptivă autoacordabilă;
- analiza proprietăților de convergență și stabilitate;
- analiza posibilităților de implementare hardware a algoritmului de conducere rezultat din sinteză.

În cazul în care sistemul ar fi liniar, funcția de cost pătratică, iar mărimile exogene procese gaussiene, problema sintezei SAAC s-ar reduce la o problemă de optimizare clasică de tipul liniar pătratică gaussiană (LQG), regulatorul rezultat fiind unul optimal. Avîndu-se în vedere însă că procesele reale conțin neliniarități, că cerințele de performanță nu pot fi în general incluse într-un criteriu pătratic standard, iar mărimile exogene adesea nu sînt gaussiene, regulatoarele obținute prin sinteză sînt suboptimale. Acesta este și cazul SAAC pentru care MM ale proceselor conduse includ neliniarități determinate și de necunoașterea parametrilor procesului.

Regulatoarele adaptive cu autoajustarea parametrilor sînt utilizate în conducerea proceselor cu parametri necunoscuți dar constanți, dar utilizarea lor poate fi extinsă și în cazul proceselor cu parametri lent variabili.

Analiza algoritmilor adaptivi cu autoajustare este îngreunată de faptul că aceștia reprezintă de fapt regulatoare stohastice, neliniare și variabile în timp, ceea ce face ca în multe situații practice stabilirea proprietăților acestora să se facă prin simulare.

Pentru elaborarea algoritmului de comandă, utilizînd parametri obținuți printr-o procedură de estimare recursivă, se pot folosi legi de comandă de tip PID, algoritmi de tip dead-beat și dead-beat extins (regulator cu răspuns minimal) sau proceduri de alocare a polilor în cazul sistemelor deterministe și respectiv algoritmi de varianță minimă sau algoritmi de comandă cu criteriu pătratic cu orizont de timp redus pentru sisteme stohastice.

Pentru acest din urmă caz, în funcție de obiectivele impuse conducerii (prin alegerea corespunzătoare a funcției obiectiv) și de modelul matematic adoptat pentru proces și semnalele exogene, se pot dezvolta diferite metode de sinteză a strategiei de comandă adaptivă.

În continuare se vor considera funcțiile obiectiv tipice care definesc principalele probleme ce se cer rezolvate în cadrul sintezei SAAC pentru sisteme monovariabile. Extinderea la cazul multivariabil



reprezintă o chestiune formală.

#### Minimizarea varianței ieșirii

Avându-se în vedere că ieșirea  $y(t)$  a procesului este contaminată de zgomot stohastic, unul dintre obiectivele naturale ale conducerii îl constituie obținerea unei varianțe minime a acesteia. Strategia de comandă admisibilă se obține atunci minimizând un criteriu de forma:

$$I_1 = E[y^2(t+k)] \quad (2.3.1)$$

O strategie de comandă admisibilă se definește ca o funcție de tipul:

$$u(t) = f(y(t), y(t-1), \dots, u(t-1), u(t-2), \dots) \quad (2.3.2)$$

Rezultă deci că problema de comandă adaptivă în acest caz constă în sinteza unui algoritm de conducere astfel încât să se minimizeze varianța ieșirii.

Observație: Criteriul de performanță (2.3.1), ca de altfel și cele care vor fi considerate în continuare, trebuie privit în sensul predicției:

$$I_1 = E[y^2(t+k/t)] \quad (2.3.3)$$

adică trebuie să se dispună de predicția ieșirii peste  $k$  pași, bazată pe datele existente la momentul  $t$  (predicția peste  $k$  pași).

#### Problema de urmărire

Criteriul de performanță (2.3.1) poate fi modificat astfel încât strategia de comandă obținută să permită și rezolvarea problemei de urmărire. În acest caz obiectivul comenzii constă în minimizarea unui criteriu de forma:

$$I_2 = E[y(t+k) - w(t)]^2 \quad (2.3.4)$$

unde  $w(t)$  reprezintă mărimea de referință cunoscută.

#### Problema penalizării comenzii

Algoritmii de comandă autoacordabili cu criteriu de varianță minimă sînt simpli, dar uneori neadecvați unor situații practice, deoarece nu iau în considerare valoarea amplitudinii comenzii care se aplică procesului. Astfel comanda poate lua valori inadmisibil de mari care să împingă sistemul de reglare adaptivă în zona de instabilitate.

Situația poate fi evitată prin introducerea unei limitări a mărimii de comandă /Toi.83/Toi.83a/ considerînd în funcția obiectiv un factor de penalizare a comenzii  $\rho$ . În acest caz strate-

gia de comandă se obține minimizînd criteriul:

$$I_3 = E \left\{ \left[ y(t+k) - w(t) \right]^2 + \rho u^2(t) \right\} \quad (2.3.5)$$

Forma criteriului  $I_3$ , care este un criteriu pătratic cu orizont de timp redus, permite rezolvarea simultană a problemelor de reglare și de urmărire.

Criteriul pătratic (2.3.5) reprezintă o extindere a criteriului de varianță minimă, dar domeniul său de aplicabilitate este mai redus.

Efectul utilizării criteriului (2.3.5) constă în realizarea compromisului între reducerea varianței comenzii și creșterea corespunzătoare a varianței ieșirii. Introducerea factorului de penalizare  $\rho$  conduce în general la realizarea unui compromis adecvat, în sensul că, chiar o ponderare puternică a comenzii are ca efect doar o creștere ne semnificativă a varianței ieșirii.

Strategia de comandă adaptivă autoacordabilă poate fi obținută minimizînd o funcție obiectiv care reprezintă o generalizare a criteriului (2.3.5):

$$I_4 = E \left\{ \left[ P(z^{-1})y(t+k) - R(z^{-1})w(t) \right]^2 + \left[ Q'(z^{-1})u(t) \right]^2 \right\} \quad (2.3.6)$$

unde polinoamele în operatorul de întârziere  $P(z^{-1})$ ,  $R(z^{-1})$  și  $Q'(z^{-1})$  pot fi particularizate în funcție de obiectivele impuse conducerii adaptive. În /All.80/ se arată că funcția criteriu (2.3.6) printr-o alegere potrivită a filtrelor  $P(z^{-1})$ ,  $R(z^{-1})$  și  $Q'(z^{-1})$  se poate utiliza și pentru rezolvarea problemei de alocare de poli.

CAP.3. SINTEZA SISTEMELOR DE CONDUCERE ADAPTIVA  
AUTOACORDABILA

3.1. Introducere

După cum s-a menționat deja, structura unui SAAC evidențiază ca funcții principale: estimarea recursivă a parametrilor și sinteza propriu zisă a strategiei de comandă.

Strategia de comandă autoacordabilă este calculată în funcție de vectorul  $\hat{\beta}(t)$  al parametrilor ajustabili ai regulatorului și de vectorul  $s(t)$  compus din datele măsurate ale intrărilor și ieșirilor trecute ale procesului condus:

$$u(t) = f[s(t), \hat{\beta}(t)] \quad (3.1.1)$$

Parametrii incluși în vectorul  $\hat{\beta}$  sînt ajustați la fiecare pas în funcție de parametrii procesului determinați printr-o procedură de estimare

$$\hat{\beta}(t) = \hat{\beta}[\hat{\theta}(t)] \quad (3.1.2)$$

unde  $\hat{\theta}(t)$  reprezintă vectorul parametrilor estimați pe baza măsurărilor efectuate asupra intrărilor și ieșirilor anterioare pasului  $t$ .  $\hat{\theta}(t)$  se calculează cu o relație recursivă de forma:

$$\hat{\theta}(t) = \hat{\theta}(t-1) + F[t, \hat{\theta}(t-1), s(t), y(t)] \quad (3.1.3)$$

Relațiile (3.1.1.-3.1.3.) definesc astfel un RAA.

Conducerea adaptivă combină deci un algoritm de estimare recursivă a parametrilor, considerînd pentru modelul procesului și al zgomotului o ecuație cu diferențe, cu un algoritm de reglare.

Avîndu-se în vedere că în general semnalele stohastice acționează asupra ieșirii procesului prin intermediul unui filtru de perturbație, se impune selectarea acelei metode de estimare care se poate aplica modelului de zgomot considerat.

Paragraful 3.2. al acestui capitol tratează pe larg tocmai problema estimării recursive a parametrilor procesului, fiind discutate în detaliu aspecte practice legate de implementarea algoritmilor recursivi.

Sintezei propriu zise a strategiilor de comandă autoacordabilă de bază (RAA), precum și modificări ale acesteia în vederea extinderii ariei lor de utilizare și îmbunătățirii performanțelor SAAC îi este dedicat paragraful 3.3.

### 3.2. Estimarea on-line a parametrilor sistemelor

#### 3.2.1. Formalizarea problemei estimării parametrilor

Considerându-se definite: o colecție de date  $\mathcal{D}$ , o colecție de modele  $\mathcal{M}$  și un criteriu  $\ell$ , problema identificării constă în determinarea unui model din  $\mathcal{M}$  care să justifice cât mai bine colecția de date  $\mathcal{D}$  în sensul criteriului  $\ell$ .

Colecția de date  $\mathcal{D}$  reprezintă o secvență de perechi intrare-ieșire  $\{u(t), y(t), t=1, N\}$ , generată de un sistem  $\mathcal{J}$  în condițiile experimentale  $\mathcal{E}$ . Condițiile experimentale descriu modul în care se generează semnalul de intrare al sistemului. Acesta poate fi specificat aprioric sau poate fi generat prin reacție de la ieșirea sistemului. Alegerea condițiilor experimentale este primordială pentru rezultatele obținute.

Colecția de modele (descrieri intrare-ieșire sau în spațiul stărilor) este o clasă de sisteme dinamice care pot motiva colecția de date  $\mathcal{D}$  și este parametrizată după vectorul parametrilor necunoscuți  $\theta_M$  (care poate conține ca element și ordinul sistemului). Criteriul  $\ell$  este specificat printr-o funcție criteriu (sau de cost) care trebuie extremizată (de regulă minimizată).

Ipoteza că sistemul  $\mathcal{J}$  care generează colecția de date  $\mathcal{D}$  aparține colecției de modele  $\mathcal{M}$  corespunde punctului de vedere că există un sistem real, caracterizat de parametrii  $\theta$ , scopul estimării fiind să "descopere" acest sistem. Cu alte cuvinte, trebuie determinată o funcție de secvențele de observații ale intrării și ieșirii:

$$\theta = \hat{\theta}\{u(1), \dots, u(N), y(1), \dots, y(N)\} = \hat{\theta}(U^T, Y^T) \quad (3.2.1.1.)$$

cu:

$$U = [u(1), \dots, u(N)]^T$$

$$Y = [y(1), \dots, y(N)]^T$$

care să aproximeze într-o cât mai bună măsură pe  $\theta$ . Funcția  $\hat{\theta}(\cdot, \cdot)$  reprezintă un estimator, iar valoarea numerică luată pentru secvențele  $\{u(t), y(t), t=1, N\}$  precizate reprezintă un estimat sau o estimatie.

Problema teoretică de bază este să se investigheze apoi

dacă estimatul parametrilor  $\theta$  converge (cu probabilitatea unu) la  $\theta$  pe măsură ce lungimea colecției de date crește (proprietate denumită consistență).

Problema consistenței este strâns legată de problema identificabilității, adică a problemei dacă parametri pot fi determinați pe baza unui experiment dat. Identificabilitatea depinde de colecția de modele aleasă cât și de condițiile experimentale.

Procesele reale sînt în marea lor majoritate neliniare și adesea nu sînt finit dimensionale. În aplicațiile tipice de reglare automată, modelele colecției  $\mathcal{M}$  sînt adesea de ordin mic (redus) din cauza complexității impuse a regulatorului dorit. Ipoteza că  $\exists \theta \in \mathcal{M}$  este ca atare adesea nerealistă. Dacă se acceptă că  $\exists \theta \in \mathcal{M}$ , problema identificării poate fi văzută ca o problemă de aproximare, adică găsirea unui model din  $\mathcal{M}$  care aproximează cel mai bine în sensul criteriului  $\ell$  colecția de date  $\mathcal{D}$ .

În procesul de estimare de parametri, nu există garanții că modelul cu structura și parametri aleși reprezintă cea mai bună alegere. Se poate întîmpla ca experimentul să fi fost proiectat de așa natură încît să nu ofere posibilitatea extragerii informației dorite din colecția disponibilă de date, sau clasa de modele să nu fi fost corespunzător aleasă.

Testul cel mai bun pentru model este bineînțeles acela de a-l încerca în scopul propus. Pentru sistemele de reglare automată aceasta înseamnă (de exemplu) că trebuie aleasă o strategie de comandă bazată pe model și apoi evaluate performanțele sistemului în buclă închisă.

După cunoștințele disponibile apriori se poate face o distincție între diferitele tipuri de estimatori. Aceste cunoștințe se pot exprima de exemplu prin funcția densității de probabilitate  $f(\hat{\theta}, t)$ , care reprezintă de altfel tipul cel mai complet de cunoaștere ce se poate deduce prin aplicarea procedeelor statistice. Utilizarea funcției de probabilitate deseori devine greoaie și nepractică (în special pentru  $\hat{\theta} > 2$ ), motiv pentru care, în majoritatea cazurilor se reduce interesul la caracteristicile sale cele mai semnificative:

    speranța sau media:  $E/\hat{\theta}/$   
    marcarea sau devierea:  $E/\hat{\theta}/ - \theta$

covarianța:  $\text{cov}/\hat{\theta}/ = E \{ \hat{\theta} - E/\theta/ \} \{ \hat{\theta} - E/\theta/ \}^T$   
 ( $E/\cdot/$  - operator de mediere)

Există o relație strânsă între volumul de cunoștințe despre proces care sînt disponibile inițial și procedeul cel mai indicat care se poate utiliza pentru estimarea parametrilor.

Accepțiunile utilizate în lucrarea de față pentru principiile caracteristici ale estimatorilor (marcare, eficiență, consistență, suficiență) precum și pentru convergență stohastică sînt cele definite în /Pro.85/.

### 3.2.2. Definirea problemei de estimare utilizînd metoda CMMP. Estimatorul CMMP off-line

Înainte de a aborda metodele recursive de estimare necesare în sinteza RAA, pentru introducerea ipotezelor de lucru, a notațiilor și a relațiilor de bază se vor face cîteva considerații asupra metodei off-line a celor mai mici pătrate (CMMP).

Deși metoda se poate aplica oricărui model matematic care descrie dinamica sistemului, pentru dezvoltările ulterioare se consideră ca model al sistemului invariant, ecuația de regresie liniară, generalizată în variantă discretă.

Pentru sisteme monovariabile la intrare și la ieșire (SISO) modelul se poate aduce la forma:

$$y(t) = \sum_{i=1}^{na} a_i y(t-i) + \sum_{i=0}^{nb} b_i u(t-i) + z(t) \quad (3.2.2.1)$$

unde:  $y(t)$ ,  $u(t)$  și  $z(t)$  reprezintă ieșirea, intrarea și respectiv zgomotul (aditiv din ieșire) la momentele discrete de timp  $t, t=1, 2, \dots$ , iar  $a_i$  și  $b_i$  sînt parametri constanți ai modelului.

Modelul regresiei generalizate poate fi înlocuit prin modele de regresie mai simple, care pot fi deduse din forma generalizată:

$$y(t) = \sum_{i=0}^{nb} b_i u(t-i) + z(t) ; \text{ modelul regresiei liniare ordinare.}$$

$$y(t) = \sum_{i=1}^{na} a_i y(t-i) + z(t) ; \text{ modelul autoregresiei liniare.}$$

Deși în general  $na \leq nb$ , se poate considera fără restrîn-

gerea generalității că:  $n_a = n_b = N$  (simplificarea este realistă, deoarece în cazurile practice când  $n_a$  și  $n_b$  sînt necunoscute, valorile optime pentru aceste variabile sînt estimate prin evaluarea datelor măsurate succesiv pentru  $n_a = n_b = N$ ).

Pentru sisteme multivariabile la intrare și la ieșire (MIMO) cu  $r$  intrări și  $m$  ieșiri și  $n_a = n_b = N$ , modelul (3.2.2.1) ia forma:

$$y^T(t) = \sum_{i=1}^N y^T(t-i)A_i + \sum_{i=0}^N u^T(t-i)B_i + z^T(t) \quad (3.2.2.2)$$

unde:

$$y^T(\cdot) = [y_1(\cdot), y_2(\cdot), \dots, y_m(\cdot)]$$

$$u^T(\cdot) = [u_1(\cdot), u_2(\cdot), \dots, u_r(\cdot)]$$

$$z^T(\cdot) = [z_1(\cdot), z_2(\cdot), \dots, z_m(\cdot)]$$

și

$$A_i^T = \begin{bmatrix} a_{11}^i & \dots & a_{1m}^i \\ \vdots & & \vdots \\ a_{m1}^i & \dots & a_{mm}^i \end{bmatrix}; \quad i = \overline{1, N};$$

$$B_i^T = \begin{bmatrix} b_{11}^i & \dots & b_{1r}^i \\ \vdots & & \vdots \\ b_{m1}^i & \dots & b_{mr}^i \end{bmatrix}; \quad i = \overline{0, N}$$

(3.2.2.3)

Se impun acum cîteva precizări referitoare la zgomot. Astfel dacă zgomotul este gaussian nu se pierde informație prin restrîngerea la matricea de medie  $E/z^T/ = E/z(1), z(2), \dots/$  și respectiv matricea de covarianță  $R = E/zz^T/$  deoarece funcțiile de densitate gaussiană sînt complet<sup>z</sup> descrise prin primele două momente statistice.

Densitatea de probabilitate de tip gaussian nu este o ipoteză necesară pentru deducerea estimatorului utilizînd metoda CMMP. Ea servește însă la dezvoltarea unor relații de bază și la introducerea estimatorului de varianță minimă.

Se presupune de asemenea că valorile zgomotului sînt mutual independente, că zgomotul nu este corelat cu intrarea  $u$

și nici cu valoarea virtuală (neafectată de zgomot) a ieșirii  $y_v$ . Proprietățile zgomotului pot fi exprimate în acest caz prin:

$$E/z(t)z(t-k)/ = 0 \quad k=1,2,\dots \quad (3.2.2.4)$$

$$E/z(t)u(t-k)/ = 0 \quad k=0,1,2,\dots \quad (3.2.2.5)$$

$$E/z(t)y_v(t-k)/ = 0 \quad k=0,1,2,\dots \quad (3.2.2.6)$$

Deși neesențială din punct de vedere teoretic, se introduce ipoteza esențială pentru o estimare corectă:

$$E/z(t)/ = 0 \quad (3.2.2.7)$$

De cele mai multe ori se știe puțin despre adevăratele proprietăți ale zgomotului; ca atare matricea de covarianță este puțin convenabilă în calcule datorită valorilor diferite ale elementelor de pe diagonala principală:

$$R_z = \text{diag } \sigma_1^2 / \quad i=\overline{1,t} \quad (3.2.2.8)$$

O simplificare considerabilă o oferă ipoteza unor valori identice a dispersiei la toate momentele de măsură, adică

$$R_z = \sigma^2 I \quad (3.2.2.9)$$

( $\sigma^2$  - dispersie,  $I$  - matricea unitate)

Matricea de covarianță (3.2.2.9) indică că măsurătorile efectuate la diverse momente de timp sînt corupte de zgomot avînd aceleași proprietăți statistice sau altfel spus că toate măsurătorile sînt realizate cu aceeași precizie. Acest fapt este în bună concordanță cu cele mai multe situații practice.

Pe de altă parte dacă nu se poate acorda aceeași încredere tuturor măsurătorilor, dar dacă se poate pondera această încredere, se substituie matricea  $\sigma^2 I$  cu o matrice  $W$  de formă diagonală.

În cazul și mai general, dacă ipoteza (3.2.2.4) nu este valabilă, adică dacă erorile de măsurare sînt mutual independente, matricea de ponderare  $W$  are o formă generală pătratică.

În cele mai multe referiri bibliografice,  $W$  este considerată simetrică și pozitiv definită.

Pentru rezolvarea problemei de estimare a parametrilor necunoscuți  $a_i$ , ( $A_i$ ),  $i=\overline{1,N}$  și  $b_j$ , ( $B_j$ ),  $j=\overline{0,N}$ , ordinele  $n_a=n_b=N$  din (3.2.2.1) și respectiv (3.2.2.2) se presupun cunoscute.

Ambele modele pot fi rescrise în formă vectorială matriceală. Notînd (de exemplu) cu:

$$\theta^T = [b_N, \dots, b_0, a_N, \dots, a_1] \quad - \text{vectorul parametrilor}$$



$$s^T(t) = [u(t-N), \dots, u(t), y(t-N), \dots, y(t-1)] \quad (3.2.2.10)$$

- vectorul  
de date (măsurători)

modelul (3.2.2.1) devine:

$$y(t) = s^T(t)\theta + z(t) \quad (3.2.2.11)$$

observația = semnal + zgomot

Estimarea parametrilor procesului constă în stabilirea valorilor vectorului  $\theta$ , avînd la dispoziție un ansamblu de  $t \gg 2N+1$  măsurători (perechi de date intrare-ieșire). Rezultă un sistem de ecuații algebrice liniare, supradeterminat, care poate fi scris în forma vectorial matricială:

$$Y(t) = S(t)\theta + z(t) \quad (3.2.2.12)$$

cu:

$$Y(t) = [y(1), y(2), \dots, y(t)]^T$$

$$S(t) = [s(1), s(2), \dots, s(t)]^T \quad - \text{matricea observațiilor}$$

(t, 2N+1)

Notînd estimatul lui  $\theta$ , bazat pe t eșantioane prin  $\hat{\theta}(t)$ , vectorul

$$\xi(t) = y(t) - s^T(t)\hat{\theta} \quad (3.2.2.13)$$

este reziduul sau eroarea de ecuație.

Forma corespunzătoare modelului (3.2.2.12) este:

$$\xi = Y(t) - S(t)\hat{\theta}(t) \quad (3.2.2.14)$$

unde:  $\xi^T = [\xi(1), \xi(2), \dots, \xi(t)]$

Problema de estimare utilizînd metoda CMMP are ca scop determinarea "celeia mai probabile" valori a lui  $\theta$ , adică  $\hat{\theta}$ , definită ca valoarea care minimizează suma pătratelor reziduurilor. Funcția criteriu (obiectiv) este de forma:

$$J = [Y(t) - S(t)\hat{\theta}(t)]^T R^{-1} [Y(t) - S(t)\hat{\theta}(t)] = \xi^T R^{-1} \xi =$$

$$= \|\xi R^{-1/2}\|^2 = \|\xi^* \|^2 \quad (3.2.2.15)$$

Elementele  $r_{ij}$  ale matricii de ponderare  $R^{-1}$  indică gradul de încredere ce poate fi acordat măsurătorilor. În bibliografia recentă a teoriei estimației se disting în special trei tipuri ale metodei CMMP în funcție de forma matricii de ponderare  $R^{-1}$ .

Pentru  $R=I$ , minimizarea sumei (3.2.2.15) reprezintă metoda celor mai mici pătrate, CMMP (sau CMMP normală). Pentru  $R$  de forma generală pozitiv definită  $W$  se obține procedura celor mai mici pătrate ponderate, CMMP, iar pentru  $R = E/zz^T$  calculele conduc la estimatul Markov, EM sau al varianței minime VM.

În mod similar, pentru cazul MIMO, ecuația (3.2.2.2) poate fi rescrisă:

$$y^T(t) = s^T(t)\theta + z^T(t) \quad t=1,2,\dots \quad (3.2.2.16)$$

sau matriceal:

$$Y(t) = S(t)\theta + Z(t) \quad (3.2.2.17)$$

unde:

$$Y(t) = [y(1), y(2), \dots, y(t)]^T ; Y, (t, m) \quad (3.2.2.18)$$

$$S(t) = \begin{bmatrix} u^T(1-N), \dots, u^T(1), y^T(1-N), \dots, y^T(0) \\ \dots \\ u^T(t-N), \dots, u^T(t), y^T(t-N), \dots, y^T(t-1) \end{bmatrix} = \begin{bmatrix} s^T(1) \\ \vdots \\ s^T(t) \end{bmatrix} ;$$

$$S, (t, \nu) \quad \nu = N(m+r) + r$$

$$\theta^T = [B_N^T, \dots, B_0^T, A_N^T, \dots, A_1^T] ; \theta^T, (m, \nu)$$

Pentru modelul (3.2.2.17) funcția criteriu poate fi formulată într-o formă convenabilă calculului numeric:

$$I = \text{tr} \left\{ [Y(t) - S(t)\hat{\theta}(t)] R^{-1} [Y(t) - S(t)\hat{\theta}(t)]^T \right\} =$$

$$= \left\| [Y(t) - S(t)\hat{\theta}(t)] R^{-1/2} \right\|^2 = \|\varepsilon^*\| \quad (3.2.2.19)$$

mărimile care intervin avînd semnificațiile menționate,  $R, (m, m)$  iar prin  $\text{tr}/\cdot/$  s-a notat urma matricei  $\cdot/$ .

**Observație.** Este evident că în ambele cazuri: SISO și MIMO, modul de alegere al lui  $S$  și  $\theta$  nu este unic. Mai mult, modelul regresiei nu este unica posibilitate pentru introducerea și aplicarea metodei CMMP în problemele de estimare. Dimpotrivă ea se poate aplica aproape oricărui model matematic ce descrie dinamica sistemului (funcția pondere, ecuațiile de stare, ecuația Wiener-Hopf, etc.).

Minimul funcției criteriu se obține anulînd derivata în raport cu  $\hat{\theta}$ . Considerînd (3.2.2.15), pentru  $R=I$  se va obține:

$$S^T(t)[Y(t) - S(t)\hat{\theta}(t)] = 0 \quad (3.2.2.20)$$

a cărei rezolvare conduce la ecuația normală a estimatorului CMMP sau pe scurt la estimatorul CMMP

$$\hat{\theta}_{\text{CMMP}}(t) = S^T(t)S(t)^{-1}S^T(t)Y(t) \quad (3.2.2.21)$$

Din considerente de simplificare de notații, în continuarea dezvoltărilor se renunță la indicele lui  $\hat{\theta}$  referitor la specificarea metodei prin care se obține estimatorul, aceasta rezultînd de fiecare dată din context.

Trebuie remarcat că deși sistemul a fost considerat invariant, estimatul vectorului parametrilor  $\hat{\theta}$  furnizat de (3.2.2.21)

este dependent de numărul măsurătorilor disponibile.

Tinând cont de (3.2.2.14) condiția (3.2.2.20) conduce la

$$S^T(t)\xi = 0 \quad (3.2.2.22)$$

adică reziduul în acest caz este ortogonal față de coloanele matricii observațiilor - ceea ce constituie o altă formă de exprimare a condiției de minimizare a funcției de cost. Introducând notațiile:

$$P(t) = [S^T(t)S(t)]^{-1} \quad (3.2.2.23)$$

$$J(t) = P^{-1}(t) = S^T(t)S(t) \quad (3.2.2.24)$$

estimatorul CMMP -off line se poate calcula ca:

$$\hat{\theta}(t) = P(t)S^T(t)Y(t) \quad (3.2.2.25)$$

Este de remarcat că atât  $P(t)$  cât și  $J(t)$  sînt matrici pozitiv definite și simetrice față de diagonala principală:

$$P(t) = P^T(t); \quad J(t) = J^T(t) \quad (3.2.2.26)$$

Observația va fi utilizată în dezvoltările legate de tehnicile de factorizare.

Dacă se definește eroarea estimatorului ca

$$\tilde{\theta}(t) = \theta - \hat{\theta}(t) \quad (3.2.2.27)$$

ținând cont de (3.2.2.12), (3.2.2.21) și (3.2.2.23), rezultă:

$$\tilde{\theta}(t) = -P(t)S^T(t)z(t) \quad (3.2.2.28)$$

În consecință, pentru ipotezele adoptate se pot formula următoarele proprietăți esențiale ale estimatorului CMMP:

Proprietatea 1: Erorile estimatorului sînt funcții liniare de zgomot. În plus:  $E/\tilde{\theta}/ = 0$

Proprietatea 2: Estimatorul CMMP este nemarcat:

$$E/\hat{\theta}/ = E/\theta - \tilde{\theta}(t)/ = \theta \quad (3.2.2.29)$$

Proprietatea 3: Estimatorul CMMP este consistent /Pro.85/

Calculînd matricea de covarianță a estimatorului ca:

$$\text{cov}/\hat{\theta}/ = R_{\hat{\theta}} = E/\theta(t)\theta^T(t)/ \quad (3.2.2.30)$$

se poate demonstra că /Pro.85/

$$\text{cov}/\hat{\theta}/_{\text{CMMP}} = \hat{\sigma}^2 P(t) \quad (3.2.2.31)$$

Deci  $P(t)$  este proporțională cu matricea de covarianță a estimatorului, factorul de proporționalitate fiind estimația dispersiei reziduurilor (se poate calcula cu ușurință /Ter.81/). În lucrarea de față, în scopul simplificării terminologiei, matricea  $P(t)$  definită prin (3.2.2.23) se va numi matrice de covarianță. Similar avîndu-se în vedere că matricea  $J(t)$ , definită prin (3.2.2.24) este proporțională cu matricea de informație a lui Fischer /Ter.81/, /Pro.85/, va fi referită în continuare ca matrice de informație.

Pentru estimatorul CMMP rezultă în mod similar

$$\hat{\theta} = (S^T W^{-1} S)^{-1} S^T W^{-1} y = Qy \quad (3.2.2.32)$$

și pentru aceleași ipoteze:

$$\text{cov}/\hat{\theta}/_{\text{CMMP}} = Q E / z z^T / Q^T \quad (3.2.2.33)$$

Estimatorul Markov (al varianței minime) se obține pentru

$$R = R_z = E / z z^T / ; \quad (3.2.2.34)$$

$$\hat{\theta} = (S^T R_z^{-1} S)^{-1} S^T R_z^{-1} y$$

cu:

$$\text{cov}/\hat{\theta}/_{\text{EM}} = (S^T R_z^{-1} S)^{-1} \quad (3.2.2.35)$$

Rezultatele obținute în cazul monovariabil sînt direct generalizabile și pentru sistemele multivariabile (cu adaptările necesare de matrici).

Pentru MIMO, soluția off-line CMMP se poate obține într-o formă mai adecvată calculului numeric /Pet.76/; funcția criteriu se poate scrie:

$$I = \text{tr} \left\{ R^{-1} \begin{bmatrix} I_m \\ -\theta \end{bmatrix} V_t \begin{bmatrix} I_m \\ -\theta \end{bmatrix} \right\} \quad (3.2.2.36)$$

unde:

$$V_t = \sum_{i=1}^t \begin{bmatrix} y(i) \\ s(i) \end{bmatrix} \begin{bmatrix} y^T(i) & s^T(i) \end{bmatrix} \quad (3.2.2.37)$$

Pe măsură ce devin disponibile noi măsurători, matricea  $V_t$  poate fi reactualizată cu relația:

$$V_t = V_{t-1} + \begin{bmatrix} y(t) \\ s(t) \end{bmatrix} \begin{bmatrix} y^T(t) & s^T(t) \end{bmatrix} \quad (3.2.2.38)$$

Partajînd matricea  $V_t$  în modul următor:

$$V_t = \begin{bmatrix} V_{ty} & V_{tsy}^T \\ V_{tsy} & V_{ts} \end{bmatrix} \quad (3.2.2.39)$$

$\hat{\theta}$  este soluția ecuației matriceale /Pro.85/:

$$V_{ts} \hat{\theta} = V_{tsy} \quad (3.2.2.40)$$

Dacă  $V_{ts}$  este o matrice nesingulară, atunci  $\hat{\theta}$  este soluția unică a lui (3.2.2.40).

Cele mai reprezentative rezultate sînt sintetizate în tabelul 1.

În cazul unui zgomot  $z(t)$  corelat, estimația CMMP va fi însă în general neconsistentă. Metode de estimare viabile practic, pentru care metoda CMMP constituie procedura de bază și care depă-

șese dificultățile implicate de corelarea zgomotului vor fi discutate în cadrul procedurilor recursive, chiar dacă se vor considera necesare și unele considerații privind variantele lor off-line.

3.2.2.1. Considerații privind calculul numeric al estimatorului CMMF off-line utilizând transformările ortogonale. Algoritmul TO

Estimatorul off-line (3.2.2.21) reprezintă pseudosoluția în sensul CMMF a sistemului de ecuații supradeterminat

$$S(t)\hat{\theta}(t) = Y(t) \quad (3.2.2.41)$$

Notînd cu:

$$S^+(t) = [S^T(t)S(t)]^{-1}S^T(t) \quad (3.2.2.42)$$

pseudoinversa matricii  $S(t)$ , va rezulta pentru (3.2.2.21) expresia

$$\hat{\theta}(t) = S^+(t)Y(t) \quad (3.2.2.43)$$

Calculul pseudoinversei cu (3.2.2.42) nu este însă numeric stabil, erori mici de rotunjire putînd conduce la erori grosolane pentru  $S^+$ , deci implicit la rezultate false pentru  $\hat{\theta}$ . O soluție practică, recomandată în literatură, constă în utilizarea transformărilor ortogonale (TO) care se constituie ca procedee de calcul numeric stabile/Buc.83/Sim.84/Cal.88/. Aplicarea TO nu modifică valoarea funcționalei  $I(\hat{\theta})$ .

Dezvoltările ulterioare, atît din cadrul versiunii off-line cît și din cele on-line se bazează pe următorul rezultat remarcabil al teoriei transformărilor ortogonale /Buc.83/:

Orice matrice  $S \in R^{m \times n}$  admite o factorizare QR, adică:

$$S = QR \quad (3.2.2.44)$$

unde: a) Q este o matrice ortogonală, ceea ce implică:

$$QQ^T = I \quad (3.2.2.45)$$

b) R este superior triunghiulară, de forma:

$$R = \begin{bmatrix} R' & \\ & 0 \end{bmatrix} \begin{matrix} n \\ m-n \end{matrix} \quad (3.2.2.46)$$

cu  $R'$  pătrată și superior triunghiulară.

În (3.2.2.44) și (3.2.2.45) rezultă:

$$Q^T S = R \quad (3.2.2.47)$$

Algoritmul TO - de calcul al estimatorului CMMF off-line va consta atunci din următoarele două etape:

1. Aplicarea TO sistemului de ecuații (3.2.2.41). Notînd  $Q^T Y(t) = w$  și țînînd cont de (3.2.2.47) se ajunge la:

$$R\hat{\theta}(t) = w \quad (3.2.2.48)$$

2. Rezolvarea prin substituție inversă (ținând cont de (3.2.2.46)) a sistemului de ecuații linear:

$$R'\hat{\theta}(t) = w' \quad (3.2.2.49)$$

unde  $w'$  reprezintă primele  $(2N+1)$  elemente din  $w$ .

Calculul matricii  $Q^T$  se realizează prin eliminarea ortogonală, ce poate opera asupra elementelor:

a) a unei coloane a matricii  $S$  - în cazul algoritmului propus de Householder /Hou.64/.

b) a unei linii a matricii  $S$  - în cazul algoritmului propus de Givens /Wan.84/.

Se preferă utilizarea algoritmului Givens deoarece pe baza lui este posibilă realizarea directă a unui estimator recursiv așa cum se va arăta în paragraful 3.2.4.2.

Pentru eliminarea unui element  $s_{j,i}$  din matricea extinsă  $S_e$  care se obține prin adăugarea vectorului  $Y(t)$  la matricea  $S(t)$  /Prot.87/:

$$S_e = [S, Y] \quad (3.2.2.50)$$

se utilizează o rotație plană definită de:

$$\underbrace{\begin{bmatrix} c_1 & c_2 \\ -c_2 & c_1 \end{bmatrix}}_{Q_{j,i}^T} \begin{bmatrix} s_e(i) \\ s_e(j) \end{bmatrix} = \begin{bmatrix} s'_e(i) \\ s'_e(j) \end{bmatrix} \quad (3.2.2.51)$$

$Q_{j,i}$  reprezintă o transformare ortogonală elementară, care realizează o rotație plană elementară astfel încît  $s'_{ej,i} = 0$ .

Presupunind că:

$$\begin{bmatrix} s_e(i) \\ s_e(j) \end{bmatrix} = \begin{bmatrix} 0, \dots, 0, s_{ei,i}, \dots, s_{ei,k}, \dots, s_{ei,n+1} \\ 0, \dots, 0, s_{ej,i}, \dots, s_{ej,k}, \dots, s_{ej,n+1} \end{bmatrix} \quad (3.2.2.52)$$

transformarea (3.2.2.51) conduce la:

$$\begin{bmatrix} s'_e(i) \\ s'_e(j) \end{bmatrix} = \begin{bmatrix} 0, \dots, 0, s'_{ei,i}, \dots, s'_{ei,k}, \dots, s'_{ei,n+1} \\ 0, \dots, 0, 0, \dots, s'_{ej,k}, \dots, s'_{ej,n+1} \end{bmatrix} \quad (3.2.2.53)$$

(cu  $n$  - numărul parametrilor de estimat).

Ținând cont de condiția de ortogonalitate a lui  $Q_{j,i}^T$  și de (3.2.2.51) rezultă /Prot.87/:

$$c_1 = s_{ei,i} / (s_{ei,i}^2 + s_{ej,i}^2)^{1/2} \quad (a)$$

$$c_2 = s_{ei,j} / (s_{ei,i}^2 + s_{ej,i}^2)^{1/2} \quad (b) \quad (3.2.2.54)$$

$$s'_{ei,k} = c_1 s_{ei,k} + c_2 s_{ej,k} \quad (c)$$

$$s'_{ej,k} = c_1 s_{ej,k} - c_2 s_{ei,k} \quad (d)$$

Algoritmul Givens presupune aplicarea unei strategii de factorizare a matricii  $S_e$ , anulînd rînd pe rînd termenii subdiagonali prin transformări ortogonale  $Q_{i,j}^T$ , pornindu-se din colțul Nord-West al matricii  $S_e$  și parcurgînd liniile în ordine crescătoare.

Ca urmare indicii  $i, j, k$  din relațiile (3.2.2.54, a ÷ d) se vor modifica în ordinea de mai jos

$$\begin{aligned} j &= \overline{2, t} \\ i &= \overline{1, p} \end{aligned} \quad \text{unde} \quad p = \begin{cases} j-1 & \text{dacă } j \leq n \\ n & \text{dacă } j > n \end{cases} \quad (3.2.2.55)$$

$$k = i, n+1$$

Prin urmare TO dată de algoritmul Givens poate fi definită ca un produs de rotații plane elementare:

$$Q^T = \prod_{j,i} Q_{j,i}^T \quad (3.2.2.56)$$

În final  $S'_e$  va avea forma data de:

$$S'_e = [R, w] \quad (3.2.2.57)$$

### 3.2.3. Metode on-line de estimare. Algoritmi recursivi

#### 3.2.3.1. Preliminarii

Algoritmii de estimare recursivi sînt de cea mai mare importanță în ceea ce privește problemele de reglare, și în special în cadrul structurilor de reglare autoadaptivă. O metodă on-line conduce nu numai la avantaje legate de calcul cît și la posibilitatea colectării datelor măsurate pînă la atingerea unei anumite precizii a parametrilor, sau în cazul în care procesele sînt lent variabile, variațiile parametrilor pot fi urmărite.

Algoritmii recursivi permit calculul noului estimat prin actualizarea celui vechi, ținînd cont de ultimele observații. Nu mai trebuie deci memorate toate datele obținute prin măsurători, cerințele de memorie și de calcul fiind reduse semnificativ.

Estimarea recursivă utilizează datele  $S(t)$ , estimatul parametrilor  $\hat{\Theta}(t)$  la momentul  $t$ , și noile măsurători  $u(t+1)$ ,  $y(t+1)$  pentru determinarea estimatului  $\hat{\Theta}(t+1)$  la momentul  $(t+1)$ .

Prin urmare sistemul linear de ecuații supradeterminat (3.2.2.41) considerat la momentul  $(t+1)$  devine:

$$S(t+1)\hat{\theta}(t+1) = Y(t+1) \quad (3.2.3.1)$$

sau explicit:

$$\begin{bmatrix} S(t) \\ s^T(t+1) \end{bmatrix} \hat{\theta}(t+1) = \begin{bmatrix} Y(t) \\ y(t+1) \end{bmatrix} \quad (3.2.3.2)$$

Tinând cont de (3.2.2.41) se ajunge la:

$$\left[ S^T(t)S(t) + s(t+1)s^T(t+1) \right] \hat{\theta}(t+1) = S^T(t)S(t)\hat{\theta}(t) + s(t+1)y(t+1) \quad (3.2.3.3)$$

Va trebui deci să se dispună de un algoritm capabil să rezolve recursiv sistemul de ecuații liniare (3.2.3.3) în sensul obținerii lui  $\hat{\theta}(t+1)$ .

Un astfel de algoritm va fi numit în cele ce urmează recursiv. Algoritmul de estimare se va numi în timp real dacă este recursiv și dacă are în plus proprietatea de a "urmări" în timp real variațiile lente ale parametrilor.

În contrast cu algoritmi off-line, ambele variante de algoritmi, atât cel recursiv, cât și cel în timp real se vor referi - atunci când nu este necesară delimitarea exactă a lor - ca algoritmi de tip on-line.

De asemenea după cum în expresia (3.2.3.3) pentru termenul  $\left[ S^T(t)S(t) \right]$  se utilizează notațiile (3.2.2.23) sau (3.2.2.24) algoritmi de estimare se vor numi algoritm al matricii de covarianță și respectiv algoritm al matricii de informație.

Trebuie menționat totuși că reducerea volumului de calcul și implicit de memorie se face cu prețul unei precizii mai mici față de metodele nerecursive, lucru firesc dacă se ține cont de faptul că, în general varianta on-line este o aproximație a celei off-line.

Estimarea recursivă a parametrilor poate fi abordată în principal prin următoarele categorii de metode /God.86/.

- variante on-line ale metodelor standard off-line (de tipul CMMP sau verosimilitate maximă)
- metode de aproximare stohastică /Sak.76/
- metode utilizând model de referință /Lan.74/

În lucrarea de față se va discuta doar prima categorie de metode, avându-se în vedere că ele sînt utilizate cu precădere în cadrul conducerii autoadaptive. Se vor considera următoarele metode on-line care prezintă interes practic și pot fi abordate în mod unitar.



- metoda celor mai mici pătrate: CMMP-R
- metoda celor mai mici pătrate generalizate: CMMPG-R
- metoda variabilei instrumentale: VI-R
- metoda celor mai mici pătrate extinse: CMMPE-R
- metoda verosimilității maxime: VM-R

Similar estimatorului CMMP off-line, algoritmul CMMP-R va da un estimat nemarcat doar în ipoteza reziduurilor independente; celelalte metode furnizează estimății consistente ale parametrilor și în situația corelării reziduurilor.

### 3.2.3.2. Abordare unitară a metodelor de estimare on-line

Pentru abordarea unitară a metodelor on-line menționate se vor considera aspecte legate atât de structura modelului (și a sistemului), cât și referitoare la algoritmi de estimare propriu-zisi.

#### Structura modelului

Din considerente implicând consistența algoritmilor, se face presupunerea că sistemul real și modelul care îl descrie au aceeași formă. Astfel, presupunând disponibilă secvența de intrare:  $u(1)$ ,  $u(2)$ ,...și respectiv secvența de ieșire:  $y(1)$ ,  $y(2)$ ,...se consideră sistemul stohastic (3.2.2.21) adus la forma:

$$A(z^{-1})y(t) = B(z^{-1})u(t) + r(t) \quad (3.2.3.4)$$

unde:

$$A(z^{-1}) \in \prod_{na}, \quad B(z^{-1}) \in \prod_{nb},$$

cu  $\prod_{ni}$  - mulțimea polinoamelor de grad  $ni$  în operatorul de întârziere  $z^{-1}$  ( $z^{-1}x(t) = x(t-1)$ ); (operatorul  $z^{-1}$  posedă proprietățile transformatei  $z$ ).

Polinoamele:

$$A(z^{-1}) = 1 + a_1 z^{-1} + \dots + a_{na} z^{-na}; \quad B(z^{-1}) = b_1 z^{-1} + \dots + b_{nb} z^{-nb}$$

au toate zerourile stabile.  $r(t)$  este un proces stohastic cu densitatea spectrală rațională, care poate fi obținut - conform teoremei de reprezentare a proceselor stohastice cu densități spectrale raționale /Ast.70/-prin trecerea unui zgomot alb printr-un filtru (rațional) stabil.

$$r(t) = F(z^{-1})e(t) \quad (3.2.3.5)$$

unde  $e(t)$  reprezintă o secvență de variabile aleatoare independente și identic distribuite (zgomot alb discret) de medie  $E\{e(t)\} = 0$  și dispersie  $E\{e^2(t)\} = \sigma^2$ , iar  $F(z^{-1})$  este un filtru rațional stabil.

Modelul (3.2.3.4) este referit în literatură ca model CARMA (Controlled Auto-Regressive Moving Average).

Modelul care urmează să fie determinat utilizând metodele on-line menționate este de aceeași formă cu (3.2.3.4):

$$\hat{A}(z^{-1})y(t) = \hat{B}(z^{-1})u(t) + \hat{f}(t) \quad (3.2.3.6)$$

în care:

$$\hat{A}(z^{-1}) = 1 + \hat{a}_1 z^{-1} + \dots + \hat{a}_{na} z^{-na}; \quad \hat{B}(z^{-1}) = \hat{b}_1 z^{-1} + \dots + \hat{b}_{nb} z^{-nb}$$

și

$$\hat{f}(t) = \hat{F}(z^{-1}) \xi(t) \quad (3.2.3.7)$$

unde  $\xi(t)$  este eroarea ecuației sau reziduul modelului, iar filtrul rațional  $\hat{F}(z^{-1})$  care este de aceeași formă cu  $F(z^{-1})$ , are diferite expresii funcție de metoda considerată.

Pentru metoda CMMP-R:

$$\hat{F}(z^{-1}) = 1 \quad (3.2.3.8)$$

Pentru metoda VI-R forma filtrului rațional  $F(z^{-1})$  nu este specificată, fiind în principiu indeferentă. Fără restrângerea generalității tratării, se va considera:

$$\hat{F}(z^{-1}) = 1 \quad (3.2.3.9)$$

Pentru metoda CMMPG-R se alege:

$$\hat{F}(z^{-1}) = \frac{1}{\hat{C}(z^{-1})} \quad (3.2.3.10)$$

cu:

$$\hat{C}(z^{-1}) = 1 + \hat{c}_1 z^{-1} + \dots + \hat{c}_{nc} z^{-nc} \quad (3.2.3.11)$$

Pentru metodele CMMP-E-R și VM-R:

$$\hat{F}(z^{-1}) = \frac{\hat{Q}(z^{-1})}{\hat{D}(z^{-1})} \quad (3.2.3.12)$$

cu:

$$\hat{D}(z^{-1}) = 1 + \hat{d}_1 z^{-1} + \dots + \hat{d}_{nd} z^{-nd} \quad (3.2.3.13)$$

Nu există nici o restricție în a presupune toate polinoamele de același grad, deoarece unii din coeficienți pot fi nuli.

În /You.70 a/ You.70 b/, metoda CMMP-E se dezvoltă pentru cazul general (3.2.3.12). Totuși, arareori metodele de estimare consideră pentru zgomotul  $\hat{f}(t)$  un model de acest tip. În practica identificării se utilizează particularizări ale modelului CARMA, cu (3.2.3.12). /Tal.73/ consideră forma simplificată cu  $\hat{C}(z^{-1}) = 1$ , (model autoregresiv AR), sau  $\hat{D}(z^{-1}) = 1$  (model de medie alunecătoare MA). În cele ce urmează se va considera cazul  $\hat{D}(z^{-1}) = 1$ .

Referitor la modelul (3.2.3.6) se impune în general ca polinoamele  $\hat{A}(z^{-1})$ ,  $\hat{B}(z^{-1})$ ,  $\hat{C}(z^{-1})$  și respectiv  $\hat{C}(z^{-1})$ ,  $\hat{D}(z^{-1})$  să fie prime între ele (cerință cu implicații asupra controlabilității sistemului), și de asemenea ca polinoamele  $\hat{A}(z^{-1})$  și  $\hat{D}(z^{-1})$  să aibă toate zerourile în exteriorul cercului unitar. (ipoteza de stabilitate asimptotică).  $\hat{C}(z^{-1})$  poate fi ales și el cu toate zerourile în exteriorul cercului unitar, fără a se afecta cu nimic generalitatea abordării /Ast.70/, asigurându-se în acest fel o dispersie finită a reziduurilor (CMMPE-R și VM-R).

Condițiile experimentale impuse de metodele de estimare necesită semnale de intrare persistent (SP) /Lju.71/Sto.79/, ipoteză strâns legată de problema consistenței metodelor de estimare.

Numai din considerentul simplificării notațiilor se va considera cazul sistemelor monovariabile, fără timp mort. Extinderea la cazul multivariabil și la explicitarea timpului mort este trivială.

### 3.2.3.2.1. Algoritm on-line general al matricii de covarianță

Metodele de estimare recursivă considerate anterior pot fi descrise printr-un algoritm on-line general al matricii de covarianță, care cuprinde atât versiunea recursivă propriu-zisă cât și cea în timp real a algoritmilor de estimare respectivi. Demonstrația se bazează pe dezvoltările (3.2.3.1), (3.2.3.2), pe lema de inversare matricială /Ter.81/ și se găsește detaliată în /Pro.85/. Algoritmul general este de următoarea formă:

$$\hat{\Theta}(t+1) = \hat{\Theta}(t) + M(t+1)\xi(t+1) \quad (a)$$

$$M(t+1) = P(t)s'(t+1) [\alpha(t) + s^T(t+1)P(t)s'(t+1)]^{-1} \quad (b)$$

$$P(t+1) = [I - M(t+1)s^T(t+1)] P(t) / \alpha(t) \quad (c)$$

$$\xi(t+1) = y(t+1) - s^T(t+1)\hat{\Theta}(t) \quad (d)$$

(3.2.3.14)

Pentru  $\alpha(t) = 1$  se obțin algoritmi de estimare recursivi iar pentru  $\alpha(t) \neq 1$  se obțin versiunile lor în timp real. În această secțiune se va considera numai cazul  $\alpha(t) = 1$ , corespunzător sistemelor invariante, semnificația și modul de alegere a factorului  $\alpha(t) \neq 1$ , (pentru sisteme lent variante) discutându-se în paragraful următor.

Algoritmii corespunzători metodelor CMMP-R, CMMPG-R, VI-R, CMMPE-R, VM-R se obțin ca niște cazuri particulare a algoritmului

general (3.2.3.14), cu deosebirea că mărimile implicate sînt definite în diverse moduri.

$\hat{\theta}(t)$  este estimatul vectorului parametrilor, obținut pe baza măsurătorilor efectuate pînă la momentul  $t$  (datele intrare/ieșire,  $u(1), \dots, u(t)$  și  $y(1), \dots, y(t)$ ).

Pentru CMMF-R și VI-R:

$$\hat{\theta}(t) = [\hat{a}_1(t), \dots, \hat{a}_{na}(t), \hat{b}_1(t), \dots, \hat{b}_{nb}(t)]^T \quad (3.2.3.15)$$

(s-a pus în evidență dependența de numărul de măsurători disponibile, în continuare din motive de simplificare a scrierii se renunță la forma explicită).

Pentru CMMFG-R, CMMPE-R, VM-R:

$$\hat{\theta}(t) = [\hat{a}_1, \dots, \hat{a}_{na}, \hat{b}_1, \dots, \hat{b}_{nb}, \hat{\epsilon}_1, \dots, \hat{\epsilon}_{nc}]^T \quad (3.2.3.16)$$

parametrii  $\hat{\epsilon}$  avînd semnificații diferite pentru cele trei metode.

Pentru CMMFG-R vectorul  $\hat{\theta}$  poate fi considerat ca fiind constituit din doi vectori separați, de forma:

$$\hat{\theta}_1 = [\hat{a}_1, \dots, \hat{a}_{na}, \hat{b}_1, \dots, \hat{b}_{nb}]^T = [\hat{A}, \hat{B}]^T, \quad \hat{a}_0 = 1 \quad (3.2.3.17)$$

$$\hat{\theta}_2 = [\hat{\epsilon}_1, \dots, \hat{\epsilon}_{nc}]^T = \hat{C}$$

Observație. Termenul  $s^T(t+1)\hat{\theta}(t)$  poate fi considerat ca o predicție a valorii  $y(t+1)$  bazată pe estimatul  $\hat{\theta}(t)$  și măsurătorile  $s^T(t+1)$ . În această interpretare (3.2.3.15) se poate considera ca un criteriu pătratic de predicție și, corespunzător, metoda CMMF ca o procedură de minimizare a erorii de predicție.

#### Algoritmul CMMF-R

Algoritmul CMMF-R se obține din algoritmul general (3.2.3.14) în care:

$$s(t) = [-y(t-1), \dots, -y(t-na), u(t-1), \dots, u(t-nb)]^T \quad (3.2.3.18)$$

$$s'(t) = s(t) \quad (3.2.3.19)$$

În ipotezele menționate, matricea  $P(t)$  (pentru  $t$  suficient de mare) are aceeași semnificație fizică directă ca și în cazul variantei off-line și anume este proporțională cu matricea de covarianță a estimatorului.

#### Algoritmul VI-R

Metoda variabilei instrumentale (VI) conduce la un estimator care va da întotdeauna estimări asimptotici nemarcați. Ideea constă în generarea unui semnal suplimentar, variabila instrumentală, corelat cu semnalele utile ale procesului, dar necorelat cu zgomotul /You.7o a/.

Notînd:

$$S' = [s'^T(1), \dots, s'^T(K)]^T \quad (3.2.3.20)$$

cu:

$$s'(t) = [-y_v(t-1), \dots, -y_v(t-na), u(t-1), \dots, u(t-nb)]^T \quad (3.2.3.21)$$

atunci  $y_v$  este variabila instrumentală, iar matricea  $S'$  este o matrice instrumentală dacă sînt îndeplinite condițiile:

$$\lim_{K \rightarrow \infty} \left[ \frac{1}{K} S'^T S \right] = R \quad \text{cpl} \quad (3.2.3.22)$$

$$\lim_{K \rightarrow \infty} \left[ \frac{1}{K} S'^T r \right] = 0 \quad \text{cpl} \quad (3.2.3.23)$$

cu:  $R$  - matrice pozitiv definită,  $S$  și  $r$  avînd semnificațiile date,  $K$  - numărul de măsurători.

Condițiile (3.2.3.22) și (3.2.3.23) sînt condiții de consistență a estimatorului VI. Algoritmul VI-R se obține deci din forma generală (3.2.3.14) în care  $s(t)$  este de forma (3.2.3.18), iar  $s'(t)$  este dat de (3.2.3.21).

Rămîne doar problema precizării variabilelor instrumentale. Există un număr relativ mare de posibilități de alegere a VI astfel încît condițiile (3.2.3.22) și (3.2.3.23) să fie satisfăcute. Astfel o posibilitate comodă o oferă filtrarea intrării  $u(t)$ .

$$y_v(t-i) = \frac{\tilde{B}(z^{-1})}{\tilde{A}(z^{-1})} u(t-i) \quad ; \quad (3.2.3.24)$$

cu:

$$\tilde{A}(z^{-1}) = 1 + \tilde{a}_1 z^{-1} + \dots + \tilde{a}_{na} z^{-na} \quad (3.2.3.25)$$

$$\tilde{B}(z^{-1}) = \tilde{b}_1 z^{-1} + \dots + \tilde{b}_{nb} z^{-nb} \quad (3.2.3.26)$$

prime între ele și  $A(z^{-1})$  stabil /Fin.73/Söd.79/.

Dacă din relația (3.2.3.24):

$$\tilde{B}(z^{-1}) = \hat{B}(z^{-1}) \quad ; \quad \tilde{A}(z^{-1}) = \hat{A}(z^{-1}) \quad ;$$

atunci  $y_v$  este partea deterministă a ieșirii sistemului  $y(t)$ . Acest mod de alegere a variabilei instrumentale este cvasioptimal /Won.67/.

Din (3.2.3.24) este evident că  $\hat{A}(z^{-1})$  și  $\hat{B}(z^{-1})$  sînt necesare pentru calculul lui  $s'(t)$ , dar ele sînt tocmai rezultatele finale ale estimării care nu sînt deci disponibile în momentul cînd este calculat  $s'(t+1)$ . Pentru a face posibil acest calcul trebuie utilizate valorile parametrilor calculate în etapele precedente.

Dificultatea menționată poate fi depășită introducînd /Row.70/You.76/

$$s'(t) = [-x(t-1), \dots, -x(t-na), u(t-1), \dots, u(t-nb)]^T \quad (3.2.3.27)$$

$$x(t) = s'^T(t) \hat{\theta}(t) \quad (3.2.3.28)$$

Relația (3.2.3.28) poate fi ușor modificată, pentru a se evita eventuala corelare a lui  $x(t)$  cu  $r(t)$  prin intermediul lui  $\hat{\theta}(t)$ , retartînd vectorul parametrilor estimați:

$$x(t) = s^T(t)\hat{\theta}(t-t') \quad (3.2.3.29)$$

unde  $t'$  este un număr (mic) întreg pozitiv.

Limitarea metodei VI-R constă în faptul că se estimează doar parametrii părții deterministe neoferindu-se un model și pentru zgomot. În /You.76/ se propune o schemă de estimare prin VI care permite și determinarea unui model al zgomotului dar cu prețul unui efort de calcul sporit, ceea ce o face neadecvată calculului on-line.

#### Algoritmul CMMPG-R

Considerînd modelul de forma generală (3.2.3.5), cu (3.2.3.7) în care filtrul rațional are forma (3.2.3.10), se poate scrie:

$$\hat{A}(z^{-1})y_f(t) = \hat{B}(z^{-1})u_f(t) + \xi(t) \quad (3.2.3.30)$$

în care:

$$y_f(t) = \hat{C}(z^{-1})y(t) = y(t) + \sum_{i=1}^{nc} \hat{c}_i y(t-i) \quad (3.2.3.31)$$

$$u_f(t) = \hat{C}(z^{-1})u(t) = u(t) + \sum_{i=1}^{na} \hat{c}_i u(t-i) \quad (3.2.3.32)$$

sînt mărimi filtrate.

Schema de principiu care conduce la albirea zgomotului colorat  $f(t)$  este reprezentată în figura (3.2.3.1). Faptul că varianta off-line a CMMPG /Cla.67/ este constituită din două proceduri off-line CMMP, sugerează ideea /Has.69/ că algoritmul CMMPG-R poate fi obținut din doi algoritmi recursivi CMMP.

Presupunînd astfel modelul (3.2.3.6) adus pe baza considerațiilor făcute la forma (3.2.3.30), metoda de calcul constă în combinarea prin intermediul filtrării a doi estimatori recursivi CMMP, primul estimator fiind utilizat pentru estimarea lui  $\hat{A}$  și  $\hat{B}$  iar al doilea pentru estimarea lui  $\hat{C}$ .

Utilizînd notațiile (3.2.3.17), (3.2.3.31), (3.2.3.32),  $s(t)$  dat de (3.2.3.18),  $\hat{\theta}_1$ ,  $\hat{\theta}_2$  de forma (3.2.3.17),  $n_a = n_b = n_c = N$  și introducînd:

$$s_1(t) = [-y_f(t-1), \dots, -y_f(t-N), u_f(t), u_f(t-1), \dots, u_f(t-N)]^T \quad (3.2.3.33)$$

$$s_2(t) = [-e_2(t-1), \dots, -e_2(t-N)] \quad (3.2.3.34)$$

$$e_2(t) = y(t) - s^T(t)\hat{\theta}_1(t) \quad (3.2.3.35)$$

algoritmul CMMPG-R devine:

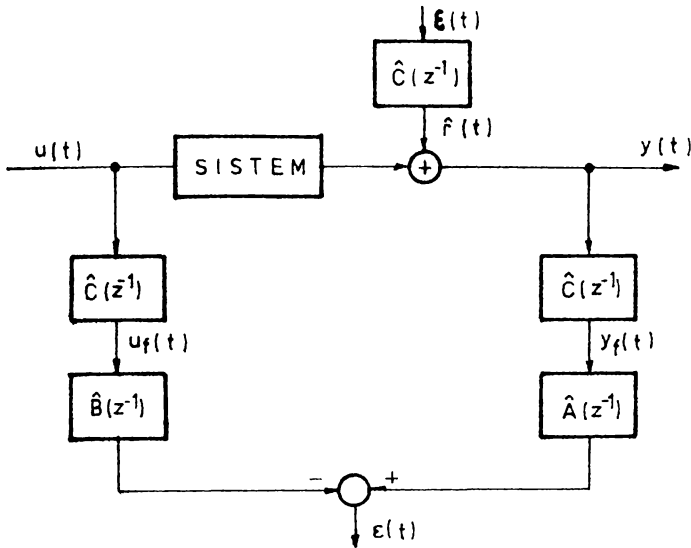


fig.3.2.3.1  
 Schemă de albire a  
 zgomotului colorat

$$\begin{aligned}
 \text{(I)} \quad \hat{\Theta}_1^T &= [A, B] \left\{ \begin{aligned}
 &\hat{\Theta}_1(t+1) = \hat{\Theta}_1(t) + M_1(t+1) \xi_1(t+1) & (a) \\
 &M_1(t+1) = \frac{P_1(t)s_1(t+1)}{1 + s_1^T(t+1)P_1(t)s_1(t+1)} & (b) \\
 &P_1(t+1) = P_1(t) - M_1(t+1)s_1^T(t+1)P_1(t) & (c) \\
 &\xi_1(t+1) = y_f(t+1) - s_1^T(t+1)\hat{\Theta}_1(t) & (d)
 \end{aligned} \right. \\
 \text{(II)} \quad \hat{\Theta}_2 = \hat{C} & \left\{ \begin{aligned}
 &\hat{\Theta}_2(t+1) = \hat{\Theta}_2(t) + M_2(t+1) \xi_2(t+1) & (e) \\
 &M_2(t+1) = \frac{P_2(t)s_2(t+1)}{1 + s_2^T(t+1)P_2(t)s_2(t+1)} & (f) \\
 &P_2(t+1) = P_2(t) - M_2(t+1)s_2^T(t+1)P_2(t) & (g) \\
 &\xi_2(t+1) = e_2(t+1) - s_2^T(t+1)\hat{\Theta}_2(t) & (h)
 \end{aligned} \right. \quad (3.2.3.36)
 \end{aligned}$$

Se observă că nu este necesar ca polinoamele  $\hat{A}$ ,  $\hat{B}$  și  $\hat{C}$  să aibe același grad. Acest lucru nu introduce nici o modificare în algoritmul descris.

În cazul în care sînt disponibile din măsurători și calcule anterioare:  $M_1(t)$ ,  $\hat{\Theta}_1(t)$ ,  $P_1(t)$ ,  $M_2(t)$ ,  $\hat{\Theta}_2(t)$ ,  $P_2(t)$  și  $s_2(t)$  și s-au obținut noile măsurători  $u(t+1)$ ,  $y(t+1)$  atunci secvența următoare de calcul este:

$$u_f(t+1), y_f(t+1), s_1(t+1), M_1(t+1), \xi_1(t+1), \hat{\Theta}_1(t+1), P_1(t+1),$$

$s(t+1)$ ,  $e_2(t+1)$ ,  $s_2(t+1)$ ,  $M_2(t+1)$ ,  $\xi_2(t-1)$ ,  $\hat{\theta}_1(t-1)$ ,  $\hat{\theta}_2(t-1)$ .

În aplicarea algoritmului CMMFG-R secvența I, se pot considera variante care aplică variații minore, astfel /Ter.51/:

•  $s_1(t+1)$  poate fi construit filtrând toate datele cu  $\hat{\theta}_1(z^{-1}, t)$ :

$$s_1^T(t+1) = \left[ -\hat{C}(z^{-1}, t)y(t), \dots, -\hat{C}(z^{-1}, t)y(t+1-N), \hat{C}(z^{-1}, t)u(t), \dots, \hat{C}(z^{-1}, t)u(t+1-N) \right]$$

sau filtrând numai noile măsurători

$$s_1^T(t+1) = \left[ -\hat{C}(z^{-1}, t)y(t), -\hat{C}(z^{-1}, t-1)y(t-1), \dots \right]$$

• la fel în calculul lui  $s_2(t+1)$  toate reziduurile pot fi reestimate pe baza noii estimății  $\hat{\theta}_1(t+1)$ , sau se poate determina numai  $e_2(t)$  pe baza acestui estimat, păstrând pentru restul estimațiilor calculate anterior.

Acest tip de modificări nu afectează proprietățile asimptotice ale algoritmului CMMFG-R, dar pot avea o influență importantă asupra comportării tranzitorii a acestuia.

Alte variante ale algoritmului descris sînt prezentate de exemplu în /Ger.74/Sen.73/. Estimatorul CMMFG-R dă rezultate bune (estimatul converge la valorile reale) dacă raportul semnal zgomot este suficient de mare.

#### Algoritmul CMMPE-R

Metoda CMMPE reprezintă o altă posibilitate de îmbunătățire a proprietăților schemelor de estimare recursivă de tip CMMF.

În /You.70 a/ și /You.70 b/, metoda se dezvoltă pentru cazul general al modelului (3.2.3.6) cu filtrul dat de (3.2.3.12) /Pan.68/ și /Tal.73/ consideră forma simplificată cu:  $\hat{C}(z^{-1}) = 1$  respectiv  $\hat{D}(z^{-1}) = 1$ .

În cele ce urmează se va considera cazul  $\hat{D}(z^{-1}) = 1$  și  $c_0 = 1$ . Algoritmul CMMPE-R, se obține atunci din algoritmul general (3.2.3.14) în care  $\hat{\theta}(t)$  este de forma (3.2.3.16), iar:

$$s'(t) = s(t) = s_a(t) = \left[ -y(t-1), \dots, -y(t-N), u(t), u(t-1), \dots, u(t-N) \right]^T$$

$$\xi_a(t-1), \dots, \xi_a(t-N)]^T \quad (3.2.3.37)$$

Calculul reziduuului  $\xi_a(t)$  se face prin intermediul estimațiilor anterioare ale parametrilor, cu o relație de forma (3.2.3.14 - d) (algoritmul nu este afectat dacă gradele polinoamelor diferă).

În /You.72/ se propune o variantă de algoritm în care reziduuul se calculează cu ajutorul ultimului estimat al parametrilor. În acest caz:



$$\begin{aligned}
 s'(t) &= s(t) = s_b(t) = \\
 &= [-y(t-1), \dots, -y(t-N), u(t), u(t-1), \dots, u(t-N), \xi_b(t-1), \\
 &\quad \dots, \xi_b(t-N)]^T \quad (3.2.3.38)
 \end{aligned}$$

în care:

$$\xi_b(t) = y(t) - s_b^T(t)\hat{\theta}(t) \quad (3.2.3.39)$$

/Lju.75/ consideră un algoritm CMMPE-R care garantează că valoarea reală a lui  $\theta$  este întotdeauna un punct de convergență. În acest caz vectorul:

$$\begin{aligned}
 s'(t) = s(t) = s_c(t) &= [-\tilde{y}(t-1), \dots, -\tilde{y}(t-N), \tilde{u}(t), \tilde{u}(t-1), \dots \\
 &\quad \dots, \tilde{u}(t-N), \tilde{\xi}(t-1), \dots, \tilde{\xi}(t-N)]^T \quad (3.2.3.40)
 \end{aligned}$$

este definit prin:

$$\hat{G}(z^{-1}, t-1)s_c(t) = s_a(t) \quad (3.2.3.41)$$

cu:

$$\begin{aligned}
 y(t) + \hat{c}_1 y(t-1) + \dots + \hat{c}_N y(t-N) &= y(t) \\
 u(t) + \hat{c}_1 u(t-1) + \dots + \hat{c}_N u(t-N) &= u(t) \\
 \tilde{\xi}(t) + \hat{c}_1 \tilde{\xi}(t-1) + \dots + \hat{c}_N \tilde{\xi}(t-N) &= \xi_a(t)
 \end{aligned}$$

Parametrii:  $\hat{c}_1, \hat{c}_2, \dots, \hat{c}_N$  din  $C(z^{-1})$  sînt obținuți cu estimatul  $\hat{\theta}(t-1)$ .

#### Algoritmul VM-R

Metoda verosimilității maxime (VM), off-line, propusă în /Ast.67/ reduce problema estimării parametrilor la maximizarea unei funcții reale de parametri necunoscuți  $\theta$  și datele disponibile din experiment  $y(t)$ ,  $t=1, 2, \dots$ , numită funcție de verosimilitate /Pro.85/Bab.85/. Valoarea acestei funcții este chiar funcția de densitate de probabilitate a observațiilor (măsurătorilor) evaluate în observațiile date  $y$  și parametri  $\theta$ , fiind evident necesară o cantitate de informații apriorice care să facă posibilă aprecierea ei.

În cazul în care densitățile de probabilitate sînt gaussiene, se poate arăta cu ușurință /Pro.85/ că problema maximizării funcției de verosimilitate, pentru situația în care deviația standard este cunoscută, este echivalentă cu minimizarea funcției de cost (în raport cu parametrul  $\theta$ ):

$$I(\theta) = \frac{1}{2} \sum_{i=1}^K \xi^2(i) \quad (3.2.3.42)$$

( $\xi(i)$  - reziduurile modelului), care este chiar criteriul CMMPE.

Dacă parametrul  $\hat{\theta}$  este și el necunoscut, după o prealabilă minimizare a criteriului (3.2.3.42) în raport cu parametrii, es-

timația dispersiei zgomotului se poate obține cu /Pro.85/:

$$\sigma^2 = \frac{2}{K} \min_{\theta} I(\theta) \quad (3.2.3.43)$$

Algoritmul recursiv propus (care corespunde unei proceduri VM off-line aproximative /Söd.75/) se referă la modelul (3.2.3.6) (3.2.3.7) în care zgomotul este modelat ca un proces MA ( $D(z^{-1}) = 1$  în (3.2.3.12)).

Se consideră eroarea de predicție:

$$\xi(t) = y(t) - \hat{y}(t/t-1) \quad (3.2.3.44)$$

asociată cu datele  $\mathcal{D}$  (măsurătorile intrării și ieșirii) și parametrii necunoscuți, prin relația:

$$\hat{C}(z^{-1}) \xi(t) = \hat{A}(z^{-1})y(t) - \hat{B}(z^{-1})u(t) \quad (3.2.3.45)$$

Algoritmul VM-R se obține din algoritmul general (3.2.3.14) în care vectorul  $\hat{\theta}(t)$  este de forma (3.2.3.16), iar vectorul de date se construiește ca:

$$s'(t) = s(t) = -\xi_{\theta}(t) \quad (3.2.3.46)$$

unde  $\xi_{\theta}$  este gradientul lui  $\xi(t)$  în raport cu  $\theta$ . Ținând cont de (3.2.3.45) va rezulta /Ter,81/Bab.85/:

$$s'(t) = s(t) = s_a(t) = \left[ -\frac{1}{\hat{C}(z^{-1})} y(t-1), \dots, -\frac{1}{\hat{C}(z^{-1})} y(t-N), \right. \\ \left. \frac{1}{\hat{C}(z^{-1})} u(t-1), \dots, \frac{1}{\hat{C}(z^{-1})} u(t-N), \frac{1}{\hat{C}(z^{-1})} (t-1), \dots, \frac{1}{\hat{C}(z^{-1})} (t-N) \right]^T \quad (3.2.3.47)$$

Pentru a calcula eroarea de predicție este necesară rezolvarea ecuației (3.2.3.45) de la  $t=0$ , pentru fiecare nou set de date, ceea ce implică memorarea întregului șir de măsurători și un volum mare de calcule la fiecare moment de eșantionare. În consecință se impune luarea în considerare a unor aproximări în determinarea erorii de predicție  $\xi(t)$  /Ter.81/Fur.76/Söd.73/.

O astfel de aproximare este cea care permite determinarea erorii de predicție prin iterarea o singură dată a unei ecuații cu diferențe, de forma

$$\xi(t+1, \hat{\theta}(t)) = y(t+1) - \left[ -y(t), \dots, -y(t+1-N), u(t), \dots, \right. \\ \left. \dots, u(t+1-N), \xi(t, \hat{\theta}(t-1)), \dots, (t+1-N), \hat{\theta}(t-N) \right] \hat{\theta}(t) \quad (3.2.3.48)$$

care descrie de fapt un sistem discret liniar variant.

Pentru acest din urmă caz, algoritmul VM-R se obține din algoritmul general în care:

$$s'(t) = s(t) = s_b(t) = \left[ -y(t), \dots, -y(t+1-N), u(t), \dots, \right. \\ \left. \dots, u(t+1-N), \xi(t), \dots, \xi(t+1-N) \right]^T \quad (3.2.3.49)$$

Concluzii

Se poate afirma deci că pentru toate metodele recursive considerate, principiul de estimare este același - minimizarea criteriului pătratelor reziduurilor. Sistemul este descris de ecuațiile generale (3.2.3.2)÷(3.2.3.3) iar modelul (3.2.3.6)÷(3.2.3.7) are aceeași formă cu sistemul. Procedurile recursive se obțin postulând diferite structuri pentru modelul de zgomot (prin particularizarea filtrului rațional din (3.2.3.7)) și sînt descrise prin același algoritm recursiv general (3.2.3.14) cu deosebirea că mărimile implicate sînt diferit definite.

Abordările alese sînt cele mai reprezentative și acoperă cu prisosință necesitățile reglajului adaptiv.

Particularitățile algoritmului on-line general al matricii de covarianță

Din analiza algoritmului general al matricii de covarianță (3.2.3.14) se pot desprinde următoarele particularități:

- nu este necesară rezolvarea niciunui sistem de ecuații, rezultînd avantaje legate de viteza de calcul

- permite calculul lejer al matricii de covarianță a estimatorului

- apar probleme legate de inițializarea matricii  $P(t)$  și a estimatorului vectorului parametrilor,  $\hat{\theta}(t)$ ; există tehnici de inițializare a lor, dar performanțele procesului de estimare pentru primii 100 ÷ 150 de pași de eșantionare depind de valorile de inițializare alese

- pot să apară dificultăți legate de păstrarea pozitivității matricii  $P(t)$  (datorită semnelui (-) din relația (3.2.3.14 - c))

- în unele situații efectul acumulării (propagării) erorilor numerice de calcul în cadrul algoritmului poate fi destul de important. O posibilitate de reducere a acestui efect o oferă înlocuirea relației (3.2.3.14-c) de calcul a lui  $P(t+1)$  cu relația echivalentă /Ter.81/

$$P(t+1) = \left[ I - M(t+1)S^T(t+1) \right] P(t) \left[ I - M(t+1)S^T(t+1) \right]^T + M(t+1)M^T(t+1) \quad (3.2.3.5o)$$

care are și avantajul important al conservării pozitivității matricii  $P(t)$ . Totuși implementarea acesteia necesită un efort de calcul sporit.

Inițializarea algoritmului

Algoritmul on-line general (3.2.3.14) trebuie inițializat cu valorile  $\hat{\theta}(0)$  și  $P(0)$ . Deși în cazul în care algoritmul on-line

converge la valorile adevărate, alegerea valorilor de inițializare nu va influența asimptotic convergența, totuși o alegere potrivită a valorilor inițiale ale parametrilor (cît mai apropiate de valorile finale) va influența în mod clar comportarea tranzitorie a lui.

În cazul în care nu se dispune de nici o indicație apriorică privind aceste valori inițiale, atunci se poate alege:

$$\hat{\theta}(0) = 0 \quad (3.2.3.51)$$

În ceea ce privește valoarea inițială a matricii de covarianță a parametrilor  $P(0)$ , se recomandă să se aleagă cu elemente diagonale mari /Ise.74/S&D.74/

$$P(0) = \gamma I ; \text{ cu } \gamma \gg 0 \quad (3.2.3.52)$$

Este necesar realizarea unui compromis în alegerea lui  $\gamma$ , care pe de o parte trebuie să aibă valori mari pentru o estimare corectă, dar totuși nu prea mari din motive de stabilitate numerică.

### 3.2.3.2.2. Algoritmi în timp real

Algoritmii recursivi prezentați anterior, de forma (3.2.3.14) cu  $\alpha(t) = 1$  corespund situației în care parametrii sistemului sînt constanți în timp. În cazul în care parametrii sistemului supus identificării sînt lent variați, acești algoritmi, în care toate eșantioanele  $u(t)$ ,  $y(t)$ ,  $t = 1, 2, \dots$  sînt egal ponderate, nu mai dau rezultate bune. Situația poate fi rezolvată euristic, utilizînd tehnica cunoscută sub denumirea de supraponderare a ultimelor date sau uitare exponențială /Pet.75/Pro.85/. Aceasta se bazează pe considerentul că pe măsură ce datele obținute sînt tot mai "vechi", ca urmare a variației lente în timp a parametrilor, gradul de încredere acordat lor este tot mai redus. Se pune deci problema ca eșantioanele mai vechi să fie deponderate în favoarea celor de dată mai recentă - ajungîndu-se astfel la un algoritm în timp real. Dintre soluțiile propuse în literatura de specialitate se vor considera cele care prezintă interes în practica implementării strategiilor de comandă adaptive.

Un mod natural de abordare constă în introducerea unui factor de ponderare a reziduurilor în expresia criteriului de minimizat /Wie.69/Tal.73/Ter.81/. În această variantă algoritmul de estimare în timp real este de forma (3,2,3,14). Discuțiile referitoare la alegerea factorului de ponderare  $\alpha(t)$  se vor face în continuare numai pentru versiunea în timp real a algoritmului CMMP (CMMP-RPR).

Rezultatele obținute sînt aplicabile direct și celorlalte metode on-line, datorită legăturii strînse, subliniate deja, dintre acestea și algoritmul CMMP-R.

Astfel, criteriul de minimizat în cazul algoritmului de estimare CMMP-RTR este de forma:

$$\sum_{j=1}^t \left[ \prod_{i=j}^t \alpha(i) \right] \xi^2(j) \quad (3.2.3.53)$$

cu  $\alpha(i)$ ,  $i=1,2,\dots$  alese în funcție de aplicație.

Pentru procese în care parametri sînt lent variabili în mod continuu este recomandată o alegere:

$$\alpha(i) = \alpha, \quad (\forall) i \quad 0 \leq \alpha < 1 \quad (3.2.3.54)$$

Valoarea atribuită factorului de "uitare"  $\alpha$  depinde de viteza de variație a parametrilor. Pentru  $\alpha = 1$ , algoritmul (3.2.3.14) corespunde versiunii recursive în care toate eșantioanele sînt egal ponderate (cazul invarianței parametrilor). Pentru  $\alpha \ll 1$  cele mai recente eșantioane capătă o pondere foarte mare în defavoarea celor vechi. Este cazul variației mai rapide a parametrilor "memoria" estimatorului (3.2.3.14) trebuind să fie mai redusă pentru a se putea urmări aceste variații.

Se impune evident un compromis între viteza mare de adaptabilitate la noile cerințe pe de o parte și pierderea de precizie datorată truncării șirului de date disponibile pe de altă parte. În același timp un  $\alpha$  prea mic conduce la estimării cu fluctuații importante.

Valorile tipice ale factorului de "uitare" sînt:  $\alpha = 1$  - corespunde memoriei infinite;  $\alpha = 0,995$  - corespunde unei memorii medii;  $\alpha = 0,98$  - memorie redusă /Cal.88/.

Creșterea vitezei de convergență se poate obține considerînd factorul de ponderare  $\alpha(t)$  în (3.2.3.14) generat de următoarea ecuație cu diferențe de ordinul întâi /Fur.75/

$$\alpha(t) = \alpha_0 \alpha(t-1) + (1 - \alpha_0), \quad 0 \ll \alpha(0), \quad \alpha_0 < 1 \quad (3.2.3.55)$$

a cărei soluție este

$$\alpha(t) = 1 - \alpha_0^t [1 - \alpha(0)] \quad (3.2.3.56)$$

Rezultă deci că  $\alpha(t)$  tinde exponențial la unu, estimatorul făcînd pași artificial măriți doar la începutul procesului recursiv de estimare, ceea ce are ca efect un regim tranzitoriu bun. Estimația este adusă rapid în apropierea valorii adevărate.

TABELUL 1: Tabel sintetizator privind estimatorii off-line

|                               | CMMP (SISO)   | CMMP (MIMO) $u, (t, l); y(m, l); z(m, l)$  | CMMP (SISO)   | EM (VM) SISO   |
|-------------------------------|---|--|---|--|
| Puterea<br>spectrală de prob. | $E/z = 0$<br>$z^T = [z(1), \dots, z(t)] / R_z = \sigma^2 I, R_z, (t, t)$<br>$E/z(t)u(t-k)/=0 \quad k=0, 1, 2, \dots$<br>$E/z(t)y(t-k)/=0 \quad k=0, 1, 2, \dots$                                  | $E/z(t)/=0, z^T(\cdot) = [z_1(\cdot), z_2(\cdot), \dots, z_m(\cdot)]$<br>$R = E/z z^T / R, (m, m)$<br>$R_{tm}^{-1} \begin{bmatrix} R^{-1} & 0 & \dots & 0 \\ 0 & R^{-1} & & \\ \dots & \dots & \dots & \\ 0 & 0 & \dots & R^{-1} \end{bmatrix}, R_{tm}, (tm, tm)$  | $E/z = 0$<br>$z^T = [z(1), \dots, z(t)]$<br>$R = W, R, (t, t)$  | $E/z = 0$<br>$z^T = [z(1), \dots, z(t)]$<br>$R = R_z = E/z z^T / R, (t, t)$  |
| Funcțiile de prob.            | $f(z) = (2\pi)^{-t/2} \sigma^{-t}$<br>$\exp\{- (1/2) z^T z / (1/\sigma^2)\}$<br>$(f(z) = f_1(z_1) f_2(z_2) \dots f_t(z_t))$<br>$z_i = z(i), i=1, t$   | $f(z(1), \dots, z(t)) = (2\pi)^{-mt/2}  R^{-1} ^{t/2} \exp\{- \frac{1}{2} z^T(k) R^{-1} z(k)\} = ct \cdot \exp\{- \frac{1}{2} z^T(1), \dots, z^T(t)\}^T =$<br>$[z^T(1), \dots, z^T(t)] R_{tm}^{-1} [z^T(1), \dots, z^T(t)]^T =$<br>$ct \cdot \exp\{- \frac{1}{2} \sum_{k=1}^t [y(k) - \hat{\theta}^T s(k)]^T R^{-1} [y(k) - \hat{\theta}^T s(k)]\} =$<br>$ct \exp\{- \frac{1}{2} \text{tr} [(Y - S\hat{\theta}) R^{-1} (Y - S\hat{\theta})^T]\}$ | $f(z) = (2\pi)^{-t/2} \sigma^{-t}$<br>$\exp\{- \frac{1}{2} z^T R_z^{-1} z\}$<br>$\exp\{- \frac{1}{2} z^T R_z^{-1} z\}$                                  | $f(z) = (2\pi)^{-t/2} \sigma^{-t}$<br>$\exp\{- \frac{1}{2} z^T R_z^{-1} z\}$   |
| Funcția de prob.              | $I = \sum_{k=1}^t [y(k) - s^T(k)\hat{\theta}]^2 =$<br>$= [Y - S\hat{\theta}]^T [Y - S\hat{\theta}] =$<br>$= \sum_{k=1}^t \xi^2(k) = \xi^T \xi = \ \xi\ ^2$<br>$\hat{\theta} = [S^T S]^{-1} S^T y$ | $I = \sum_{k=1}^t [y(k) - \hat{\theta}^T s(k)]^T R^{-1} [y(k) - \hat{\theta}^T s(k)] =$<br>$= [e^T(1), \dots, e^T(t)] R_{tm}^{-1} [e(1), \dots, e(t)]^T =$<br>$= \text{tr} [(Y - S\hat{\theta}) R^{-1} (Y - S\hat{\theta})^T]$<br>$\hat{\theta} = V_s^{-1} V_{sy}; \begin{bmatrix} y \\ V_{sy} \end{bmatrix}, \begin{bmatrix} V_s \\ V_s \end{bmatrix} = \begin{bmatrix} Y^T \\ S^T \end{bmatrix} [Y, S]$  | $I = [y - S\hat{\theta}]^T W^{-1} x$<br>$[y - S\hat{\theta}] = \xi^T W^{-1} x =$<br>$= \ \xi^* \ ^2$<br>$\hat{\theta} = [S^T W^{-1} S]^{-1} S^T x$      | $I = [y - S\hat{\theta}]^T R_z^{-1} x$<br>$[y - S\hat{\theta}] = \xi^T R^{-1} x =$<br>$= \ \xi^* \ ^2$<br>$\hat{\theta} = [S^T R_z^{-1} S]^{-1} S^T x$ |
| Proprietăți                   | liniaritate, nemarcare<br>$E/(\hat{\theta} - \theta) (\hat{\theta} - \theta)^T / =$<br>$= \sigma^2 (S^T S)^{-1}$  | liniaritate, nemarcare<br>$E/(\hat{\theta} - \theta) (\hat{\theta} - \theta)^T / =$<br>$= [S_{tm}^{-1} S]^{-1} S_{tm}^{-1} x$<br>$\times R_{tm}^{-1} S [S_{tm}^{-1} S]$  | liniaritate, nemarcare.<br>$\text{cov}/\theta / \text{minim}$<br>$E/(\hat{\theta} - \theta) (\hat{\theta} - \theta)^T / =$<br>$= (S^T R_z^{-1} S)^{-1}$ |  |

TABELUL 2. ABRDARE UNITARĂ A METODELOR DE ESTIMARE CN LINE

| ALGORITMUL CN LINE GENERAL AL MATRIȚII DE COVARIANȚA  |  | STRUCTURA SISTEMULUI SI MODELULUI:   |  | ME-TODA                                | F(z <sup>-1</sup> )   | ŷ(t)   | s(t)   | s <sup>1</sup> (t) |  |
|---|--|--|--|--|---|--|--|--------------------|--|
| $\hat{D}(t+1) = \hat{D}(t) + M(t+1)E(t+1)$ $M(t+1) = \frac{P(t)S^T(t+1)}{P(t)S^T(t+1)P(t)S^T(t+1) + \alpha(t)}$ $P(t+1) = \frac{[I - M(t+1)S^T(t+1)]P(t)}{\alpha(t)}$ $E(t+1) = y(t+1) - S^T(t+1)\hat{\theta}(t)$   |  | <p>SYSTEM</p> $\hat{A}(z^{-1})y(t) = B(z^{-1})u(t) + r(t)$   |  | $C^{n \times n}$<br>$R$                | $F(z^{-1}) = 1$<br>modificat<br>$(F(z^{-1}) = 1)$   | $\hat{\theta}(t) = [\hat{\theta}_1, \dots, \hat{\theta}_n]$<br>$\hat{\theta}_1, \dots, \hat{\theta}_n$ | $s(t) = [I - y(t-n_0)u(t-1), \dots, u(t-n_0)]^T$ | $s^1(t) = s(t)$    |  |
| <p>② <math>\alpha = 1</math>: algoritmi recursivi</p> <p>varianțio:</p> $P(t+1) = [I - M(t+1)S^T(t+1)] + P(t)$ $P(t) = [I - M(t+1)S^T(t+1)] + P(t+1) + M(t+1)M^T(t+1)$ <p>③ <math>\alpha \neq 1</math> <math>0 \leq \alpha &lt; 1</math><br/>algoritmi în timp real</p> $\alpha(t) = \alpha, \quad (A) \ t$ $\alpha(t) = \alpha_0 \alpha(t-n) + (1 - \alpha_0)$ $\alpha_0 < 1; \quad 0 < \alpha(0);$ <p>varianțio:</p> $P(t+1) = [I - M(t+1)S^T(t+1)]P(t) + R_1$ <p><math>R_1</math>- matrice semipositiv definitiv</p> |  | <p>MODEL:</p> $\hat{A}(z^{-1})y(t) = \hat{B}(z^{-1})u(t) + \hat{r}(t)$ $\hat{r}(t) = \hat{F}(z^{-1})E(t)$ $A(z^{-1}), \hat{A}(z^{-1}) \in \mathbb{R}^{n \times n}$ $B(z^{-1}), \hat{B}(z^{-1}) \in \mathbb{R}^{n \times 1}$ $A_0, \hat{A}_0 = I$ |  | $C$<br>$M$<br>$M$<br>$P$<br>$P$<br>$R$ | $\hat{A}(z^{-1}) \in \mathbb{R}^{n \times n}$<br>$\hat{B}(z^{-1}) \in \mathbb{R}^{n \times 1}$<br>$\hat{r}_0 = 1$ | $\hat{\theta}(t) = [\hat{\theta}_1, \dots, \hat{\theta}_n]$<br>$\hat{\theta}_1, \dots, \hat{\theta}_n$ | $s(t) = [I - y(t-n_0)u(t-1), \dots, u(t-n_0)]^T$ | $s^1(t) = s(t)$    |  |
|   |  | <p>2 algoritmi CM-M-P-R cuprinși:</p>  |  |  |   |  |  |                    |  |
|   |  | $\hat{\theta}_1(t) = [\hat{\theta}_{1,1}, \dots, \hat{\theta}_{1,n}]$ $\hat{\theta}_2(t) = [\hat{\theta}_{2,1}, \dots, \hat{\theta}_{2,n}]$  |  |  |   |  |  |                    |  |
|   |  | $s_1(t) = [y(t-1), \dots, y(t-n_0), u(t-1), \dots, u(t-n_0)]^T$ $s_2(t) = [y(t-1) - \hat{y}_1(t-1), \dots, y(t-n_0) - \hat{y}_1(t-n_0), u(t-1), \dots, u(t-n_0)]^T$  |  |  |   |  |  |                    |  |
|   |  | $s_3(t) = [y(t-1), \dots, y(t-n_0), u(t-1), \dots, u(t-n_0)]^T$ $s_4(t) = [y(t-1) - \hat{y}_2(t-1), \dots, y(t-n_0) - \hat{y}_2(t-n_0), u(t-1), \dots, u(t-n_0)]^T$  |  |  |   |  |  |                    |  |
|   |  | $s_5(t) = [y(t-1), \dots, y(t-n_0), u(t-1), \dots, u(t-n_0)]^T$ $s_6(t) = [y(t-1) - \hat{y}_3(t-1), \dots, y(t-n_0) - \hat{y}_3(t-n_0), u(t-1), \dots, u(t-n_0)]^T$  |  |  |   |  |  |                    |  |
|   |  | $s_7(t) = [y(t-1), \dots, y(t-n_0), u(t-1), \dots, u(t-n_0)]^T$ $s_8(t) = [y(t-1) - \hat{y}_4(t-1), \dots, y(t-n_0) - \hat{y}_4(t-n_0), u(t-1), \dots, u(t-n_0)]^T$  |  |  |   |  |  |                    |  |
|   |  | $s_9(t) = [y(t-1), \dots, y(t-n_0), u(t-1), \dots, u(t-n_0)]^T$ $s_{10}(t) = [y(t-1) - \hat{y}_5(t-1), \dots, y(t-n_0) - \hat{y}_5(t-n_0), u(t-1), \dots, u(t-n_0)]^T$   |  |  |   |  |  |                    |  |
|   |  | $s_{11}(t) = [y(t-1), \dots, y(t-n_0), u(t-1), \dots, u(t-n_0)]^T$ $s_{12}(t) = [y(t-1) - \hat{y}_6(t-1), \dots, y(t-n_0) - \hat{y}_6(t-n_0), u(t-1), \dots, u(t-n_0)]^T$  |  |  |   |  |  |                    |  |
|   |  | $s_{13}(t) = [y(t-1), \dots, y(t-n_0), u(t-1), \dots, u(t-n_0)]^T$ $s_{14}(t) = [y(t-1) - \hat{y}_7(t-1), \dots, y(t-n_0) - \hat{y}_7(t-n_0), u(t-1), \dots, u(t-n_0)]^T$  |  |  |   |  |  |                    |  |
|   |  | $s_{15}(t) = [y(t-1), \dots, y(t-n_0), u(t-1), \dots, u(t-n_0)]^T$ $s_{16}(t) = [y(t-1) - \hat{y}_8(t-1), \dots, y(t-n_0) - \hat{y}_8(t-n_0), u(t-1), \dots, u(t-n_0)]^T$  |  |  |   |  |  |                    |  |
|   |  | $s_{17}(t) = [y(t-1), \dots, y(t-n_0), u(t-1), \dots, u(t-n_0)]^T$ $s_{18}(t) = [y(t-1) - \hat{y}_9(t-1), \dots, y(t-n_0) - \hat{y}_9(t-n_0), u(t-1), \dots, u(t-n_0)]^T$  |  |  |   |  |  |                    |  |
|   |  | $s_{19}(t) = [y(t-1), \dots, y(t-n_0), u(t-1), \dots, u(t-n_0)]^T$ $s_{20}(t) = [y(t-1) - \hat{y}_{10}(t-1), \dots, y(t-n_0) - \hat{y}_{10}(t-n_0), u(t-1), \dots, u(t-n_0)]^T$  |  |  |   |  |  |                    |  |
|   |  | $s_{21}(t) = [y(t-1), \dots, y(t-n_0), u(t-1), \dots, u(t-n_0)]^T$ $s_{22}(t) = [y(t-1) - \hat{y}_{11}(t-1), \dots, y(t-n_0) - \hat{y}_{11}(t-n_0), u(t-1), \dots, u(t-n_0)]^T$  |  |  |   |  |  |                    |  |
|   |  | $s_{23}(t) = [y(t-1), \dots, y(t-n_0), u(t-1), \dots, u(t-n_0)]^T$ $s_{24}(t) = [y(t-1) - \hat{y}_{12}(t-1), \dots, y(t-n_0) - \hat{y}_{12}(t-n_0), u(t-1), \dots, u(t-n_0)]^T$  |  |  |   |  |  |                    |  |
|   |  | $s_{25}(t) = [y(t-1), \dots, y(t-n_0), u(t-1), \dots, u(t-n_0)]^T$ $s_{26}(t) = [y(t-1) - \hat{y}_{13}(t-1), \dots, y(t-n_0) - \hat{y}_{13}(t-n_0), u(t-1), \dots, u(t-n_0)]^T$  |  |  |   |  |  |                    |  |
|   |  | $s_{27}(t) = [y(t-1), \dots, y(t-n_0), u(t-1), \dots, u(t-n_0)]^T$ $s_{28}(t) = [y(t-1) - \hat{y}_{14}(t-1), \dots, y(t-n_0) - \hat{y}_{14}(t-n_0), u(t-1), \dots, u(t-n_0)]^T$  |  |  |   |  |  |                    |  |
|   |  | $s_{29}(t) = [y(t-1), \dots, y(t-n_0), u(t-1), \dots, u(t-n_0)]^T$ $s_{30}(t) = [y(t-1) - \hat{y}_{15}(t-1), \dots, y(t-n_0) - \hat{y}_{15}(t-n_0), u(t-1), \dots, u(t-n_0)]^T$  |  |  |   |  |  |                    |  |
|   |  | $s_{31}(t) = [y(t-1), \dots, y(t-n_0), u(t-1), \dots, u(t-n_0)]^T$ $s_{32}(t) = [y(t-1) - \hat{y}_{16}(t-1), \dots, y(t-n_0) - \hat{y}_{16}(t-n_0), u(t-1), \dots, u(t-n_0)]^T$  |  |  |   |  |  |                    |  |
|   |  | $s_{33}(t) = [y(t-1), \dots, y(t-n_0), u(t-1), \dots, u(t-n_0)]^T$ $s_{34}(t) = [y(t-1) - \hat{y}_{17}(t-1), \dots, y(t-n_0) - \hat{y}_{17}(t-n_0), u(t-1), \dots, u(t-n_0)]^T$  |  |  |   |  |  |                    |  |
|   |  | $s_{35}(t) = [y(t-1), \dots, y(t-n_0), u(t-1), \dots, u(t-n_0)]^T$ $s_{36}(t) = [y(t-1) - \hat{y}_{18}(t-1), \dots, y(t-n_0) - \hat{y}_{18}(t-n_0), u(t-1), \dots, u(t-n_0)]^T$  |  |  |   |  |  |                    |  |
|   |  | $s_{37}(t) = [y(t-1), \dots, y(t-n_0), u(t-1), \dots, u(t-n_0)]^T$ $s_{38}(t) = [y(t-1) - \hat{y}_{19}(t-1), \dots, y(t-n_0) - \hat{y}_{19}(t-n_0), u(t-1), \dots, u(t-n_0)]^T$  |  |  |   |  |  |                    |  |
|   |  | $s_{39}(t) = [y(t-1), \dots, y(t-n_0), u(t-1), \dots, u(t-n_0)]^T$ $s_{40}(t) = [y(t-1) - \hat{y}_{20}(t-1), \dots, y(t-n_0) - \hat{y}_{20}(t-n_0), u(t-1), \dots, u(t-n_0)]^T$  |  |  |   |  |  |                    |  |
|   |  | $s_{41}(t) = [y(t-1), \dots, y(t-n_0), u(t-1), \dots, u(t-n_0)]^T$ $s_{42}(t) = [y(t-1) - \hat{y}_{21}(t-1), \dots, y(t-n_0) - \hat{y}_{21}(t-n_0), u(t-1), \dots, u(t-n_0)]^T$  |  |  |   |  |  |                    |  |
|   |  | $s_{43}(t) = [y(t-1), \dots, y(t-n_0), u(t-1), \dots, u(t-n_0)]^T$ $s_{44}(t) = [y(t-1) - \hat{y}_{22}(t-1), \dots, y(t-n_0) - \hat{y}_{22}(t-n_0), u(t-1), \dots, u(t-n_0)]^T$  |  |  |   |  |  |                    |  |
|   |  | $s_{45}(t) = [y(t-1), \dots, y(t-n_0), u(t-1), \dots, u(t-n_0)]^T$ $s_{46}(t) = [y(t-1) - \hat{y}_{23}(t-1), \dots, y(t-n_0) - \hat{y}_{23}(t-n_0), u(t-1), \dots, u(t-n_0)]^T$  |  |  |   |  |  |                    |  |
|   |  | $s_{47}(t) = [y(t-1), \dots, y(t-n_0), u(t-1), \dots, u(t-n_0)]^T$ $s_{48}(t) = [y(t-1) - \hat{y}_{24}(t-1), \dots, y(t-n_0) - \hat{y}_{24}(t-n_0), u(t-1), \dots, u(t-n_0)]^T$  |  |  |   |  |  |                    |  |
|   |  | $s_{49}(t) = [y(t-1), \dots, y(t-n_0), u(t-1), \dots, u(t-n_0)]^T$ $s_{50}(t) = [y(t-1) - \hat{y}_{25}(t-1), \dots, y(t-n_0) - \hat{y}_{25}(t-n_0), u(t-1), \dots, u(t-n_0)]^T$  |  |  |   |  |  |                    |  |
|   |  | $s_{51}(t) = [y(t-1), \dots, y(t-n_0), u(t-1), \dots, u(t-n_0)]^T$ $s_{52}(t) = [y(t-1) - \hat{y}_{26}(t-1), \dots, y(t-n_0) - \hat{y}_{26}(t-n_0), u(t-1), \dots, u(t-n_0)]^T$  |  |  |   |  |  |                    |  |
|   |  | $s_{53}(t) = [y(t-1), \dots, y(t-n_0), u(t-1), \dots, u(t-n_0)]^T$ $s_{54}(t) = [y(t-1) - \hat{y}_{27}(t-1), \dots, y(t-n_0) - \hat{y}_{27}(t-n_0), u(t-1), \dots, u(t-n_0)]^T$  |  |  |   |  |  |                    |  |
|   |  | $s_{55}(t) = [y(t-1), \dots, y(t-n_0), u(t-1), \dots, u(t-n_0)]^T$ $s_{56}(t) = [y(t-1) - \hat{y}_{28}(t-1), \dots, y(t-n_0) - \hat{y}_{28}(t-n_0), u(t-1), \dots, u(t-n_0)]^T$  |  |  |   |  |  |                    |  |
|   |  | $s_{57}(t) = [y(t-1), \dots, y(t-n_0), u(t-1), \dots, u(t-n_0)]^T$ $s_{58}(t) = [y(t-1) - \hat{y}_{29}(t-1), \dots, y(t-n_0) - \hat{y}_{29}(t-n_0), u(t-1), \dots, u(t-n_0)]^T$  |  |  |   |  |  |                    |  |
|   |  | $s_{59}(t) = [y(t-1), \dots, y(t-n_0), u(t-1), \dots, u(t-n_0)]^T$ $s_{60}(t) = [y(t-1) - \hat{y}_{30}(t-1), \dots, y(t-n_0) - \hat{y}_{30}(t-n_0), u(t-1), \dots, u(t-n_0)]^T$  |  |  |   |  |  |                    |  |
|   |  | $s_{61}(t) = [y(t-1), \dots, y(t-n_0), u(t-1), \dots, u(t-n_0)]^T$ $s_{62}(t) = [y(t-1) - \hat{y}_{31}(t-1), \dots, y(t-n_0) - \hat{y}_{31}(t-n_0), u(t-1), \dots, u(t-n_0)]^T$  |  |  |   |  |  |                    |  |
|   |  | $s_{63}(t) = [y(t-1), \dots, y(t-n_0), u(t-1), \dots, u(t-n_0)]^T$ $s_{64}(t) = [y(t-1) - \hat{y}_{32}(t-1), \dots, y(t-n_0) - \hat{y}_{32}(t-n_0), u(t-1), \dots, u(t-n_0)]^T$  |  |  |   |  |  |                    |  |
|   |  | $s_{65}(t) = [y(t-1), \dots, y(t-n_0), u(t-1), \dots, u(t-n_0)]^T$ $s_{66}(t) = [y(t-1) - \hat{y}_{33}(t-1), \dots, y(t-n_0) - \hat{y}_{33}(t-n_0), u(t-1), \dots, u(t-n_0)]^T$  |  |  |   |  |  |                    |  |
|   |  | $s_{67}(t) = [y(t-1), \dots, y(t-n_0), u(t-1), \dots, u(t-n_0)]^T$ $s_{68}(t) = [y(t-1) - \hat{y}_{34}(t-1), \dots, y(t-n_0) - \hat{y}_{34}(t-n_0), u(t-1), \dots, u(t-n_0)]^T$  |  |  |   |  |  |                    |  |
|   |  | $s_{69}(t) = [y(t-1), \dots, y(t-n_0), u(t-1), \dots, u(t-n_0)]^T$ $s_{70}(t) = [y(t-1) - \hat{y}_{35}(t-1), \dots, y(t-n_0) - \hat{y}_{35}(t-n_0), u(t-1), \dots, u(t-n_0)]^T$  |  |  |   |  |  |                    |  |
|   |  | $s_{71}(t) = [y(t-1), \dots, y(t-n_0), u(t-1), \dots, u(t-n_0)]^T$ $s_{72}(t) = [y(t-1) - \hat{y}_{36}(t-1), \dots, y(t-n_0) - \hat{y}_{36}(t-n_0), u(t-1), \dots, u(t-n_0)]^T$  |  |  |   |  |  |                    |  |
|   |  | $s_{73}(t) = [y(t-1), \dots, y(t-n_0), u(t-1), \dots, u(t-n_0)]^T$ $s_{74}(t) = [y(t-1) - \hat{y}_{37}(t-1), \dots, y(t-n_0) - \hat{y}_{37}(t-n_0), u(t-1), \dots, u(t-n_0)]^T$  |  |  |   |  |  |                    |  |
|   |  | $s_{75}(t) = [y(t-1), \dots, y(t-n_0), u(t-1), \dots, u(t-n_0)]^T$ $s_{76}(t) = [y(t-1) - \hat{y}_{38}(t-1), \dots, y(t-n_0) - \hat{y}_{38}(t-n_0), u(t-1), \dots, u(t-n_0)]^T$  |  |  |   |  |  |                    |  |
|   |  | $s_{77}(t) = [y(t-1), \dots, y(t-n_0), u(t-1), \dots, u(t-n_0)]^T$ $s_{78}(t) = [y(t-1) - \hat{y}_{39}(t-1), \dots, y(t-n_0) - \hat{y}_{39}(t-n_0), u(t-1), \dots, u(t-n_0)]^T$  |  |  |   |  |  |                    |  |
|   |  | $s_{79}(t) = [y(t-1), \dots, y(t-n_0), u(t-1), \dots, u(t-n_0)]^T$ $s_{80}(t) = [y(t-1) - \hat{y}_{40}(t-1), \dots, y(t-n_0) - \hat{y}_{40}(t-n_0), u(t-1), \dots, u(t-n_0)]^T$  |  |  |   |  |  |                    |  |
|   |  | $s_{81}(t) = [y(t-1), \dots, y(t-n_0), u(t-1), \dots, u(t-n_0)]^T$ $s_{82}(t) = [y(t-1) - \hat{y}_{41}(t-1), \dots, y(t-n_0) - \hat{y}_{41}(t-n_0), u(t-1), \dots, u(t-n_0)]^T$  |  |  |   |  |  |                    |  |
|   |  | $s_{83}(t) = [y(t-1), \dots, y(t-n_0), u(t-1), \dots, u(t-n_0)]^T$ $s_{84}(t) = [y(t-1) - \hat{y}_{42}(t-1), \dots, y(t-n_0) - \hat{y}_{42}(t-n_0), u(t-1), \dots, u(t-n_0)]^T$  |  |  |   |  |  |                    |  |
|   |  | $s_{85}(t) = [y(t-1), \dots, y(t-n_0), u(t-1), \dots, u(t-n_0)]^T$ $s_{86}(t) = [y(t-1) - \hat{y}_{43}(t-1), \dots, y(t-n_0) - \hat{y}_{43}(t-n_0), u(t-1), \dots, u(t-n_0)]^T$  |  |  |   |  |  |                    |  |
|   |  | $s_{87}(t) = [y(t-1), \dots, y(t-n_0), u(t-1), \dots, u(t-n_0)]^T$ $s_{88}(t) = [y(t-1) - \hat{y}_{44}(t-1), \dots, y(t-n_0) - \hat{y}_{44}(t-n_0), u(t-1), \dots, u(t-n_0)]^T$  |  |  |   |  |  |                    |  |
|   |  | $s_{89}(t) = [y(t-1), \dots, y(t-n_0), u(t-1), \dots, u(t-n_0)]^T$ $s_{90}(t) = [y(t-1) - \hat{y}_{45}(t-1), \dots, y(t-n_0) - \hat{y}_{45}(t-n_0), u(t-1), \dots, u(t-n_0)]^T$  |  |  |   |  |  |                    |  |
|   |  | $s_{91}(t) = [y(t-1), \dots, y(t-n_0), u(t-1), \dots, u(t-n_0)]^T$ $s_{92}(t) = [y(t-1) - \hat{y}_{46}(t-1), \dots, y(t-n_0) - \hat{y}_{46}(t-n_0), u(t-1), \dots, u(t-n_0)]^T$  |  |  |   |  |  |                    |  |
|   |  | $s_{93}(t) = [y(t-1), \dots, y(t-n_0), u(t-1), \dots, u(t-n_0)]^T$ $s_{94}(t) = [y(t-1) - \hat{y}_{47}(t-1), \dots, y(t-n_0) - \hat{y}_{47}(t-n_0), u(t-1), \dots, u(t-n_0)]^T$  |  |  |   |  |  |                    |  |
|   |  | $s_{95}(t) = [y(t-1), \dots, y(t-n_0), u(t-1), \dots, u(t-n_0)]^T$ $s_{96}(t) = [y(t-1) - \hat{y}_{48}(t-1), \dots, y(t-n_0) - \hat{y}_{48}(t-n_0), u(t-1), \dots, u(t-n_0)]^T$  |  |  |   |  |  |                    |  |
|   |  | $s_{97}(t) = [y(t-1), \dots, y(t-n_0), u(t-1), \dots, u(t-n_0)]^T$ $s_{98}(t) = [y(t-1) - \hat{y}_{49}(t-1), \dots, y(t-n_0) - \hat{y}_{49}(t-n_0), u(t-1), \dots, u(t-n_0)]^T$  |  |  |   |  |  |                    |  |
|   |  | $s_{99}(t) = [y(t-1), \dots, y(t-n_0), u(t-1), \dots, u(t-n_0)]^T$ $s_{100}(t) = [y(t-1) - \hat{y}_{50}(t-1), \dots, y(t-n_0) - \hat{y}_{50}(t-n_0), u(t-1), \dots, u(t-n_0)]^T$   |  |  |   |  |  |                    |  |

Algoritmul în timp real general (3.2.3.14) poate fi adus la o formă mai convenabilă analizei teoretice de convergență /Lju.74/Lju.77.a/, definind următoarea secvență recursivă:

$$\gamma(t) = \frac{\gamma(t-1)}{\alpha(t) + \gamma(t-1)} \quad (3.2.3.57)$$

și introducînd:

$$\tilde{P}(t) = \frac{1}{\gamma(t)} P(t); \quad \tilde{M}(t) = \frac{1}{\gamma(t)} M(t) \quad (3.2.3.58)$$

În aceste condiții algoritmul (3.2.3.14) se poate scrie:

$$\begin{aligned} \hat{\Theta}(t+1) &= \hat{\Theta}(t) + \gamma(t+1) \tilde{M}(t+1) \xi(t+1) \\ \tilde{M}(t+1) &= \tilde{P}(t) s'(t+1) / [1 + \gamma(t+1) (s^T(t+1) \tilde{P}(t) s'(t+1) - 1)] \\ \tilde{P}^{-1}(t+1) &= \tilde{P}^{-1}(t) + \gamma(t+1) [s'(t+1) s^T(t+1) - \tilde{P}(t+1)] \end{aligned} \quad (3.2.3.59)$$

sau pentru valori mari ale lui  $t$  (interesează convergența) algoritmul devine /Lju.74/Ter.81/:

$$\begin{aligned} \hat{\Theta}(t+1) &\approx \hat{\Theta}(t) + \gamma(t+1) R(t) s'(t+1) \xi(t+1) \\ R(t+1) &\approx R(t) + \gamma(t+1) [s'(t+1) s^T(t+1) - R(t)] \\ R(t) &= \tilde{P}^{-1}(t) \end{aligned} \quad (3.2.3.60)$$

O altă variantă de obținere a algoritmului în timp real consideră interpretarea de filtru Kalman dată metodei CMMP. Algoritmul obținut /Boh.68/ este de forma generală (3.2.3.14) în care doar relația (c) se modifică forțat:

$$P(t+1) = [I - M(t+1) s^T(t+1)] P(t) + R_1 \quad (3.2.3.61)$$

unde  $R_1$  este o matrice semipozitivă definită.

Algoritmul rezultat are o comportare asemănătoare cu algoritmul (3.2.3.14), (3.2.3.54), în ambele variante  $P(t)$  (și deci și factorul de amplificare  $M(t)$ ) este împiedicat să tindă la zero pentru  $t \rightarrow \infty$ .

Abordarea unitară a metodelor de estimare on-line face posibilă comparația tuturor relațiilor de bază și a algoritmilor rezultați în tabelul sintetizator nr.2, atât pentru versiunea recursivă cât și pentru cea în timp real.

### 3.2.3.2.3. Algoritm on-line al matricii de informație

În cele ce urmează, fără a se mai intra în detalii de procedură de estimare, se formulează și se caracterizează algoritmul on-line al matricii de informație pentru metoda CMMP, prin prisma intereselor legate de tehnicile de factorizare.

Astfel considerînd (3.2.3.1) și (3.2.3.24) se ajunge la:



$$J(t+1)\hat{\theta}(t+1) = \alpha J(t)\hat{\theta}(t) + s(t+1)y(t+1) \quad (3.2.3.62)$$

$$J(t+1) = \alpha J(t) + s(t+1)s^T(t+1) \quad (3.2.3.63)$$

Rezultă că estimatul  $\hat{\theta}(t+1)$  la momentul  $(t+1)$  se obține cunoscând estimatul  $\hat{\theta}(t)$  și matricea de informație  $J(t)$  la momentul  $t$  și noile observații  $y(t+1)$ ,  $s(t+1)$  de la momentul  $(t+1)$ .

Algoritmul recursiv al matricii de informație presupune deci parcurgerea următorilor pași:

1. se determină  $J(t+1)$  cu relația (3.2.3.63)
2. se calculează membrul drept al relației (3.2.3.62)
3. se rezolvă sistemul de ecuații liniare (3.2.3.62) (utilizând spre exemplu algoritmul Gauss (adică triunghiularizare  $J(t+1)$  și substituție inversă).

Principalele particularități ale algoritmului sînt următoarele:

- nu apar probleme referitoare la inițializarea matricii de informație  $J$  deoarece ea poate fi ușor calculată pe baza relației de definiție
- nu apar dificultăți la inițializarea estimatului vectorului parametrilor  $\hat{\theta}$  deoarece la prima iterație relația (3.2.3.62) se utilizează sub forma:
 
$$J(t+1)\hat{\theta}(t+1) = \alpha S^T(t)Y(t) + s(t+1)y(t+1) \quad (3.2.3.64)$$
- calculul matricii de informație prin relația (3.2.3.63) asigură ca ea să rămînă în permanență pozitiv definită
- rezolvarea în fiecare etapă a unui sistem de ecuații liniare are repercursiuni negative asupra duratei calculului
- nu este posibil calculul rapid al matricii de covarianță a estimatorului, relația (3.2.2.31) impunînd inversarea matricii de informație

#### 3.2.4. Algoritmi on-line de estimare bazați pe tehnici de factorizare matriceală

Necesitatea dezvoltărilor din acest paragraf rezidă din considerentul că problemele numerice sînt de importanță primordială pentru implementarea algoritmilor de conducere adaptivă. Acești algoritmi trebuie să funcționeze on-line pe perioade de timp îndelungate. Mai mult, pentru conducerea adaptivă, în aplicațiile industriale se utilizează frecvent microcalculatoare cu lungime de cuvînt mică, deci cu precizie de reprezentare a numerelor reale redusă.

### 3.2.4.1. Preliminarii

Deși atât în cadrul algoritmului on-line general al matricii de covarianță cât și în cel al matricii de informație mărimile care intervin și calculele care trebuiesc efectuate sînt unic definite, există mai multe posibilități, echivalente din punct de vedere algebric, de organizare a aceluiași calcule cu repercursiuni directe asupra caracteristicilor numerice și performanțelor algoritmului.

Necesitățile legate de implementarea algoritmilor considerate pe calculatoare de proces, implică luarea în considerare a unor aspecte practice cum ar fi: viteza de execuție a unei iterații, necesarul de memorie, dificultăți numerice datorate preciziei limitate a calculelor etc. Programarea directă a relației de actualizare a matricii de covarianță poate conduce la calcule rău condiționate, în sensul că se pot obține elemente diagonale negative în  $P(\cdot)$  (covarianțe negative) /Tho.78/ sau chiar matrici de covarianță negativ definite/Bie.77/. În plus calculele pot conduce și la instabilitate numerică.

O alternativă de calcul, care permite surmontarea dificultăților menționate de altfel și în cadrul analizei algoritmilor recursivi ai matricii de covarianță și respectiv de informație, o oferă tehnicile de factorizare matriceală. Ele permit exprimarea lui  $P(\cdot)$  și  $J(\cdot)$  ca un produs de factori matriceali care trebuiesc reactualizați, conferindu-se în acest mod proprietăți numerice superioare algoritmilor de estimare, evitîndu-se dificultățile numerice asociate implementării directe.

Principial există două tipuri de factorizări utilizate:

- factorizarea tip Cholestky /Pet.75/Sim.84/:

$$J = R^T R ; \quad P = G G^T \quad (3.2.4.1)$$

- factorizarea UD /Bie.76/Bie.77/Tho.78/

$$P = U D U^T ; \quad J = L^T D_1 L \quad (3.2.4.2)$$

în care:  $R, G^T$  - matrici superior triunghiulare, numite rădăcina pătrată a lui  $J$ , respectiv  $P$ ;  $L, U^T$  - matrici superior triunghiulare cu diagonala unitară;  $D_1, D$  - matrici diagonale.

Sînt evidente relațiile:

$$R = G^{-1} ; \quad D_1 = D^{-1} ; \quad G = U D^{1/2} ; \quad R = D_1^{1/2} L ; \quad L = (U^{-1}) ; \quad (3.2.4.3)$$

ele subliniind faptul că factorizarea Cholesky poate fi definită ca un caz particular al factorizării UD.

Principiul de bază al algoritmilor de estimare bazați pe tehnici de factorizare constă în utilizarea în calcule a matricilor factori  $R$  sau  $D_1$  și  $L$  în locul lui  $J$ , respectiv  $G$  sau  $D$ ,  $U$  în locul lui  $P$ .

Procedînd astfel se ating obiectivele propuse:

- se asigură păstrarea pozitivității matricilor  $J(\cdot)$ , respectiv  $P(\cdot)$

- calculele devin mai eficiente prin utilizarea unor matrici triunghiulare

- se economisește memorie calculator

- se obține o precizie deosebită a calculelor (corespunzătoare operării în dublă precizie)

Elementul principal adoptat pentru actualizarea factorizărilor îl constituie rotațiile plane standard /Ste.73/Don.79/, sau modificate /Law.79/, care oferă baza pentru o tratare unitară a diferențelor algoritmi de factorizare și asigură proprietăți numerice bune ale acestora. Astfel, prin prisma celor menționate o posibilă clasificare a algoritmilor recursivi de estimare utilizînd tehnicile de factorizare este următoarea:

- algoritmi utilizînd matricea de informație:

- filtrarea discretă cu rădăcina pătrată

- factorizare  $L^T D_1 L$

- algoritmi utilizînd matricea de covarianță

- filtrare discretă cu rădăcina pătrată

- factorizare  $UD$

În continuare sînt prezentați și analizați acei algoritmi din categoriile menționate, considerați ca fiind adecvați implementării reguletoarelor autoadaptive. Este propusă și o variantă de algoritm de filtrare discretă cu rădăcina pătrată a matricii de informație care în urma testelor comparative efectuate se remarcă prin relativa simplitate și bune caracteristici numerice și care poate fi implementată direct pornind de la estimatorul CMMP off-line.

#### 3.2.4.2. Algoritmi utilizînd matricea de informație

/Bie.77/Goo.84/Sim.84/Cal.88/Lus.88 b/Pro.88 a/

##### Filtrare discretă cu rădăcina pătrată

Ideea principală a filtrării prin metoda rădăcinii pătrate constă, în acest caz, în faptul că matricea  $J(t)$  rămîne întotdeauna pozitiv definită dacă în locul ei se propagă rădăcina ei pătrată (vezi (3.2.4.1))

Utilizând factorizarea definită de (3.2.4.1), relația (3.2.3.63) poate fi adusă la forma:

$$R^T(t+1)R(t+1) = \begin{bmatrix} \alpha^{1/2}R(t) \\ s^T(t+1) \end{bmatrix} Q Q^T \begin{bmatrix} \alpha^{1/2}R(t) \\ s^T(t+1) \end{bmatrix} \quad (3.2.4.4)$$

(Q - matrice ortogonală) deci:

$$R(t+1) = Q^T \begin{bmatrix} \alpha^{1/2}R(t) \\ s^T(t+1) \end{bmatrix} \quad (3.2.4.5)$$

Similar, relația (3.2.3.62) poate fi scrisă sub forma matriceală:

$$\begin{bmatrix} \alpha^{1/2}R(t) \\ s(t+1) \end{bmatrix}^T \begin{bmatrix} \alpha^{1/2}R(t) \\ s^T(t+1) \end{bmatrix} \hat{\Theta}(t+1) = \begin{bmatrix} \alpha^{1/2}R(t) \\ s(t+1) \end{bmatrix}^T \begin{bmatrix} \alpha^{1/2}w(t) \\ y(t+1) \end{bmatrix} \quad (3.2.4.6)$$

cu:  $w(t) = R(t)\hat{\Theta}(t)$  (3.2.4.7)

Deci ținând cont de (3.2.4.5) și (3.2.4.7), relația (3.2.4.6) devine:

$$R(t+1)\hat{\Theta}(t+1) = Q^T \begin{bmatrix} \alpha^{1/2}w(t) \\ y(t+1) \end{bmatrix} \quad (3.2.4.8)$$

Este util să se evidențieze următorul aspect care simplifică mult calculele: ținând cont de (3.2.4.5), ecuația (3.2.4.8) devine:

$$\begin{bmatrix} \alpha^{1/2}R(t) \\ s^T(t+1) \end{bmatrix} \hat{\Theta}(t+1) = \begin{bmatrix} \alpha^{1/2}w(t) \\ y(t+1) \end{bmatrix} \quad (3.2.4.9)$$

aplicând ambilor membri transformarea ortogonală  $Q^T$  se obține:

$$\begin{bmatrix} R(t+1) \\ 0 \end{bmatrix} \hat{\Theta}(t+1) = \begin{bmatrix} w(t+1) \\ y_f \end{bmatrix} \quad (3.2.4.10)$$

unde:

$$\begin{bmatrix} w(t+1) \\ y_f \end{bmatrix} = Q^T \begin{bmatrix} \alpha^{1/2}w(t) \\ y(t+1) \end{bmatrix} \quad (3.2.4.11)$$

Prin urmare algoritmul filtrării discrete cu ajutorul rădăcinii ptrate utilizând matricea de informație parcurge etapele:

1. - formarea sistemului de ecuații (3.2.4.9) folosindu-se ca date: matricea  $R(t)$ , vectorii  $s^T(t+1)$ ,  $w(t)$  și scalarii  $\alpha$ ,  $y(t+1)$

2. - aplicarea TO care să conducă la relația (3.2.4.10)

3. - calculul noului estimat al parametrilor  $\hat{\Theta}(t+1)$  din (3.2.4.10) prin substituție inversă

Etapa 2-a este esențială pentru caracteristicile numerice ale algoritmului, matricea de transformare  $Q^T$  putînd fi determinată ca produs de p rotații plane /Don.79/:

$$Q^T = Q_p^T Q_{p-1}^T \dots Q_1^T \dots Q_2^T Q_1^T \quad (3.2.4.12)$$

unde  $Q_1^T$  este o rotație în planul  $(p+1, i)$ , (care anulează elementul  $(p+1, i)$  al matricii coeficienților sistemului de ecuații (3.2.4.9):

$$\begin{array}{c} i-1 \\ i \\ p-i \\ p+1 \end{array} \begin{array}{c} \overbrace{\begin{bmatrix} I & o & o & o \\ o & c_1 & o & c_2 \\ o & o & I & o \\ o & -c_2 & o & c_1 \end{bmatrix}}^{Q_1^T} \end{array} \begin{array}{c} \overbrace{\begin{bmatrix} R^{i-1} & w^{i-1} \\ \dots & \dots \\ \theta & s_{i-1}^{i-1} \dots s_{i+1}^{i-1} \dots y_{i-1} \end{bmatrix}}^{p \quad p+1} \end{array} =$$

$$\begin{array}{c} \overbrace{\begin{bmatrix} R^i & w^i \\ o & o \dots s_{i+1}^{i-1} \dots y_i \end{bmatrix}}^{p \quad p+1} \\ i-1 \quad i \end{array} \quad (3.2.4.13)$$

prin indicele superior  $i$  s-a simbolizat rezultatul după aplicarea TO elementare  $Q_1^T$ .

Se observă că inițial:

$$R^0 = \alpha^{1/2} R(t); \quad w^0 = \alpha^{1/2} w(t); \quad s^0 = s^T(t+1); \quad s_{p+1}^0 = y(t+1) \quad (3.2.4.14)$$

iar în final, după aplicarea  $Q_p^T$  rezultă:

$$R^p = R(t+1); \quad w^p = w(t+1); \quad s^p = o; \quad y_1^p = y \quad (3.2.4.15)$$

Elementele  $c_1$  și  $c_2$  se determină din următoarele două condiții:

- transformarea  $Q_1$  să fie ortogonală:  $c_1^2 + c_2^2 = 1$

- termenul  $s_i^1 = o$

Rezultă algoritmul de calcul:

$$c_1 = r_{i,i}^{i-1} / [(r_{i,i}^{i-1})^2 + (s_i^{i-1})^2]^{1/2}; \quad c_2 = s_i^{i-1} / [(r_{i,i}^{i-1})^2 + (s_i^{i-1})^2]^{1/2}$$

$$\left. \begin{array}{l} r_{i,k}^1 = r_{i,k}^{i-1} c_1 + s_k^{i-1} c_2 \\ s_k^1 = s_k^{i-1} c_1 - r_{i,k}^{i-1} c_2 \end{array} \right\} k = \overline{1, p}; \quad \left. \begin{array}{l} w_i^1 = w_i^{i-1} c_1 + y_{i-1} c_2^{i-1} \\ y_i = y_{i-1} c_1 - w_i^{i-1} c_2 \end{array} \right\} \quad (3.2.4.16)$$

$$\left. \begin{array}{l} r_{j,k}^1 = r_{j,k}^{i-1} \\ w_j^1 = w_j^{i-1} \end{array} \right\} \begin{array}{l} k = \overline{1, p} \\ j = \overline{1, p} \end{array}; \quad i \neq j$$

Pentru o implementare eficientă a algoritmului, în vederea

economisirii de memorie este indicat să se țină cont că:

-  $R^i$  este superior triunghiulară și din cele  $p^2$  elemente este necesară reținerea doar a  $[0,5 p(p+1)]$  elemente, restul fiind nule.

-  $R^i, s^i, w^i, y_i$ , să fie stocate în aceleași locații de memorie ca și  $R^{i-1}, s^{i-1}, w^{i-1}, y_{i-1}$ .

Algoritmul de calcul prezintă bune calități numerice, este convergent, stabil numeric și rapid. Păstrează pozitivitatea matricii de informație și simplifică la maximum rezolvarea sistemului de ecuații în vederea obținerii lui  $\hat{\Theta}(t+1)$ , reducând problema la o simplă substituție inversă.

Acest algoritm poate fi obținut direct din estimatorul pff-line - algoritmul TO dacă transformarea utilizată este de tip Givens. În acest caz trecerea la o variantă recursivă este favorizată de proprietatea TO Givens de a lăsa matricea  $S_e$  deschisă, cu alte cuvinte este posibilă continuarea calculelor de unde au fost lăsate prin adăugarea unui nou vector  $s_e(t+k)$  (vezi paragraful 3.2.2.1).

Deducerea algoritmului recursiv din cel TO de tip of-line /Prot.87/Pro.88/ se bazează pe observația faptului că la determinarea estimatului  $\hat{\Theta}$  ce are loc în etapa a doua a algoritmului nu sînt necesare ultimile  $(t-n)$  linii din  $S_e'$ , ceea ce oferă soluția de a folosi spațiul liniei  $(n+1)$  din  $S$  pentru calculul oricărei linii cu  $j > n$ .

Orice achiziție pentru o nouă pereche de date intrare/ieșire va conduce la formarea unei noi linii  $s_e$  care va fi stocată în memoria calculatorului în locațiile corespunzătoare liniei  $s_e(n+1)$ .

Din compararea relațiilor (3.2.2.52) cu (3.2.4.16) se observă că algoritmul recursiv dedus din varianta TO off-line este echivalent cu algoritmul filtrării discrete cu rădăcina pătrată utilizînd matricea de informație.

Calea directă de obținere a algoritmului recursiv utilizînd matricea de informație are avantajul de a furniza informații referitoare la posibilitatea startării corecte a algoritmului filtrării discrete utilizînd rădăcina pătrată. Astfel startarea algoritmului recursiv bazat pe TO Givens se poate face direct, fără inițializări,

propunându-se în acest sens parcurgerea următoarelor etape:

etapa 1: Pentru  $R(1)$  prima linie este  $s^T(1)$ , restul elementelor se consideră nule;  $w(1) = y(1)$ , restul nule.

etapele 2-p:  $R(i)$  se determină din  $R^{i-1}(i-1)$  pentru care linia  $i$  este identică cu  $s^{i-1}(i-1)$ , obținut la rîndul lui prin  $(i-1)T0$  aplicate pentru  $s^T(i)$ .  $w(i) = w^{i-1}(i-1)$  cu  $w_1^i(i) = y_{i-1}(i-1)$

La sfîrșitul startării se obține:

$$R(p)\hat{\theta}(p) = w(p)$$

Calcululele se conduc în continuare conform algoritmului descris,

#### Algoritmul $L^T D_1 L$

Algoritmul considerat, utilizînd în locul factorizării Cholesky o factorizare  $L^T D_1 L$ , face posibilă evitarea evaluării radicalului din cazul precedent /Bie.77/Sin.84/Cal.88/.

Tinînd cont de (3.2.4.3) și (3.2.4.7) ecuația (3.2.4.9) devine

$$\begin{bmatrix} \alpha^{1/2} D_1^{1/2}(t)L(t) \\ s^T(t+1) \end{bmatrix} \hat{\theta}(t+1) = \begin{bmatrix} \alpha^{1/2} D_1^{1/2}(t)w(t) \\ y(t+1) \end{bmatrix} \quad (3.2.4.17)$$

$$\text{cu: } w(t) = L(t)\hat{\theta}(t). \quad (3.2.4.18)$$

Aplicînd TO definită de:

$$Q^T \begin{bmatrix} \alpha^{1/2} D_1^{1/2}(t)L(t) \\ s^T(t+1) \end{bmatrix} = \begin{bmatrix} D_1^{1/2}(t+1)L(t+1) \\ 0 \end{bmatrix} \quad (3.2.4.19)$$

relația (3.2.4.17) devine:

$$\begin{bmatrix} D_1^{1/2}(t+1)L(t+1) \\ 0 \end{bmatrix} \hat{\theta}(t+1) = \begin{bmatrix} w(t+1) \\ y_1 \end{bmatrix} \quad (3.2.4.20)$$

$$\text{cu: } \begin{bmatrix} w(t+1) \\ y_1 \end{bmatrix} \triangleq Q^T \begin{bmatrix} \alpha^{1/2} D_1^{1/2}(t)w(t) \\ y(t+1) \end{bmatrix} \quad (3.2.4.21)$$

Algoritmul de estimare  $L^T D_1 L$  utilizînd matricea de informație constă atunci din următorii pași:

1. - se formează sistemul de ecuații (3.2.4.17) cunoscînd  $D_1(t)$ ,  $L(t)$ ,  $w(t)$ ,  $y(t+1)$ ,  $\alpha$ .
2. - se aplică TO care să conducă la sistemul (3.2.4.20).
3. - se rezolvă sistemul de ecuații (3.2.4.20) în două etape
  - prin substituție inversă rezultă  $\hat{\theta}_1(t+1)$  din:
 
$$L(t+1)\hat{\theta}_1(t+1) = w(t+1) \quad (3.2.4.22)$$
  - se calculează:
 
$$\hat{\theta}(t+1) = D_1^{-1/2} \hat{\theta}_1(t+1) \quad (3.2.4.23)$$

Calculul estimatului pe baza relației (3.2.4.23) necesită evaluarea a p radicali. În cazul în care se dorește evitarea calculului cu radicali se utilizează relația (3.2.3.64) adusă la următoarea formă:

$$L^T(t+1)D_1(t+1)L(t+1)\hat{\theta}(t+1) = w_1(t+1) \quad (3.2.4.24)$$

cu:

$$w_1(t+1) = \alpha^2 w_1(t) + s(t+1)y(t+1)$$

În acest caz, pentru calculul lui  $\hat{\theta}(t+1)$  sînt necesare trei etape:

etapa 1 - substituția directă pentru rezolvarea sistemului

$$L^T(t+1)\hat{\theta}_1(t+1) = w_1(t+1) \quad (3.2.4.25)$$

etapa 2 - p împărțiri pentru rezolvarea sistemului

$$D_1(t+1)\hat{\theta}_2(t+1) = \hat{\theta}_1(t+1)$$

etapa 3 - substituția inversă pentru sistemul

$$L(t+1)\hat{\theta}(t+1) = \hat{\theta}_2(t+1) \quad (3.2.4.26)$$

Problemele de startare ale algoritmului  $L^T D_1 L$  se rezolvă similar cu cele de startare ale algoritmului rădăcinii pătrate.

În acest caz, ținînd cont de (3.2.4.3), relația (3.2.4.13) devine:

$$\begin{matrix} & & i & & p+1 \\ & & \begin{matrix} I & o & o & o \\ o & c_1 & o & c_2 \\ o & o & I & o \\ o & -c_2 & o & c_1 \end{matrix} & & \\ i & & \underbrace{\phantom{\begin{matrix} I & o & o & o \\ o & c_1 & o & c_2 \\ o & o & I & o \\ o & -c_2 & o & c_1 \end{matrix}}}_{Q^T} & \cdot (D_2^{i-1})^{1/2} & \begin{bmatrix} L^{i-1} & & & | & w^{i-1} \\ \hline \frac{o}{i-1} & s_i^{i-1} & s_{i+1}^{i-1} & \dots & | & y^{i-1} \\ \hline \underbrace{\phantom{\frac{o}{i-1} & s_i^{i-1} & s_{i+1}^{i-1} & \dots}}_{L_2^{i-1}} & & & & & \end{bmatrix} & = \\ p+1 & & & & & & & & & & \end{matrix}$$

$$= (D_2^i)^{1/2} \begin{bmatrix} L^i & & & | & w^i \\ \hline \frac{o}{i-1} & \frac{o}{i} & s_{i+1}^i & | & y^i \\ \hline \underbrace{\phantom{\frac{o}{i-1} & \frac{o}{i} & s_{i+1}^i}}_{L_2^i} & & & & & \end{bmatrix} \quad (3.2.4.27)$$

unde:

$$(D_2^i)^{1/2} = \begin{bmatrix} (D_1^i)^{1/2} & o \\ o & (d_2^i)^{1/2} \end{bmatrix} \quad \text{cu } d_2^0 = 1 \quad (3.2.4.28)$$

Matricea din membrul drept al relației (3.2.4.27) poate fi descompusă ca un produs de doi factori



$$\begin{array}{c} j \\ p+1 \end{array} \begin{array}{c} i \quad p+1 \\ \left[ \begin{array}{ccc} I & o & \\ & h_1 & h_2 \\ o & & I \end{array} \right] \end{array} \begin{array}{c} \left[ \begin{array}{ccc} L^{i-1} & & w^{i-1} \\ \dots & & \dots \\ o & s_i^{i-1} & s_{i+1}^{i-1} \dots y^{i-1} \end{array} \right] \end{array} \quad (3.2.4.29)$$

$\underbrace{\hspace{10em}}_H \quad \underbrace{\hspace{10em}}_{L_2^{i-1}}$

Impunînd ca

$$Q^T(D_2^{i-1})^{1/2} = (D_2^i)^{1/2} H^i \quad (3.2.4.30)$$

se pot calcula  $D_2^i$ ,  $H^i$  și  $L_2^i$  din  $D_2^{i-1}$  și  $L_2^{i-1}$  fără a se utiliza radicali.

În final rezultă următorul algoritm de calcul:

$$\begin{aligned} d_{11}^i &= d_{11}^{i-1} \left(\frac{c_1}{h_1}\right)^2 = d_{11}^{i-1} + d_2^{i-1} (s_i^{i-1})^2 \\ d_2^i &= d_2^{i-1} (c_1)^2 = d_2^{i-1} \frac{d_{11}^{i-1}}{d_{11}^i} \\ s_k^i &= s_k^{i-1} - s_i^{i-1} t_{i,k}^{i-1} \\ t_{i,k}^i &= \frac{d_{11}^{i-1} t_{i,k}^{i-1} + d_2^{i-1} s_i^{i-1} s_k^{i-1}}{d_{11}^i} \quad k=\overline{1,p} \\ w_1^i &= \frac{d_{11}^{i-1} w_1^{i-1} + d_2^{i-1} s_i^{i-1} y^{i-1}}{d_{11}^i} \\ y^i &= y^{i-1} - s_i^{i-1} w_1^{i-1} \end{aligned} \quad (3.2.4.31)$$

Calculul matricilor  $D_2(t+1)$ ,  $L_2(t+1)$  din  $D_2(t)$  și  $L_2(t)$  presupune:

- inițializarea:  $D_2^0 = D_2(t)$ ;  $L^0 = L_2(t)$
- aplicarea recursivă a relațiilor (3.2.4.31) pentru  $i=\overline{1,p}$
- în final:  $D_2^p = D_2(t+1)$ ;  $L^p = L(t+1)$  care se mențin mereu

diagonală respectiv superior triunghiulară

Problemele de startare ale algoritmului factorizării  $L^T D_1 L$  se rezolvă similar cu cele de startare ale algoritmului rădăcinii patrate.

### 3.2.4.3. Algoritmi utilizînd matricea de covarianță

Înainte de a aborda tehnicile de factorizare propriu-zise pentru acest caz, este util să se precizeze că la implementarea estimatorului recursiv CMMF utilizînd matricea de covarianță,

relațiile din cadrul algoritmului au fost ordonate sub următoarea formă direct utilizabilă în calcule:

$$g(t+1) = P(t)s(t+1) \quad (a)$$

$$\beta^2(t+1) = \alpha(t) + s^T(t+1)g(t+1) \quad (b)$$

$$M(t+1) = \frac{g(t+1)}{\beta^2(t+1)} \quad (c)$$

$$\xi(t+1) = y(t+1) - s^T(t+1)\hat{\theta}(t) \quad (d) \quad (3.2.4.32)$$

$$\hat{\theta}(t+1) = \hat{\theta}(t) + M(t+1)\xi(t+1) \quad (e)$$

$$P(t+1) = \frac{1}{\alpha(t)} [P(t) - M(t+1)g^T(t+1)] \quad (f)$$

$$\alpha(t) = 1 \quad (g)$$

#### Filtrarea discretă prin metoda rădăcinii pătrate

În continuare se va prezenta un algoritm modificat al rădăcinii pătrate /Pet.75/Pro.85/Prot.87/ care realizează o factorizare Cholesky de forma (3.2.4.1), considerat ca fiind reprezentativ și care a fost implementat în cadrul strategiilor autoacordabile.

Algoritmul include următorii pași de calcul /Prot.87/:

$$\beta_0 = \alpha^{1/2} \quad (a)$$

$$\beta_0^2 = \alpha \quad (b)$$

$$j = 1, 2, \dots, p \quad (p = na+nb) \quad (c)$$

$$f_j = \sum_{i=1}^j G_{ij}(t)s_i(t+1) \quad (d)$$

$$a = \beta_{j-1} / \alpha^{1/2} \quad (e) \quad (3.2.4.33)$$

$$b = f_j / \beta_{j-1}^2 \quad (f)$$

$$\beta_j^2 = \beta_{j-1}^2 + f_j^2 \quad (g)$$

$$\beta_j = (\beta_j^2)^{1/2} \quad (h)$$

$$c = a / \beta_j \quad (i)$$

$$g_j = G_{j,j}(t)f_j \quad (j)$$

$$G_{jj}(t+1) = cG_{jj}(t) \quad (k)$$

$$i = 1, 2, \dots, j-1 \quad (l)$$

$$d = G_{i,j}(t) \quad (m)$$

$$G_{i,j}(t+1) = c(d - bg_i) \quad (n)$$

$$g_i = df_j + g_i \quad (p)$$

Particularități ale algoritmului și recomandări de implementare: - la implementarea acestui algoritm variabilele  $f_j$ ,  $\beta_j$ ,  $\beta_j^2$  nu trebuie indexate, putînd fi considerate ca scalari (pentru economie de memorie)

- din aceleași motive  $a$  și  $c$  pot să folosească același identificator

-  $G(t)$  și  $G(t+1)$  pot fi stocate în aceeași zonă de memorie fără a afecta algoritmul.

Se observă că la încheierea algoritmului, rezultatele  $g_i$  vor fi chiar componentele vectorului  $g(t+1)$  dat de (3.2.4.32-a) iar valoarea finală  $\beta_p^2$  reprezintă tocmai  $\beta^2(t+1)$  din (3.2.4.32-b).

Prin urmare estimatorul on-line CMMP, utilizînd filtrarea cu ajutorul rădăcinii pătrate în cazul matricii de covarianță necesită la un pas de calcul  $(t+1)$ :

1. Parcurgerea algoritmului (3.2.4.33) care avînd ca date inițiale pe  $G(t)$ ,  $s(t+1)$ ,  $\alpha$  furnizează în final pe  $G(t+1)$ ,  $g(t+1)$ ,  $\beta^2(t+1)$ .

2. Calculul noului estimat al vectorului parametrilor  $\hat{\Theta}(t+1)$  utilizînd relațiile (3.2.4.32-c, d și e).

Problemele legate de inițializările  $G(0)$ ,  $\hat{\Theta}(0)$  sînt cele comentate în paragraful (3.2.3.2.1).

#### Algoritmul UDU<sup>T</sup>

Algoritmul luat în considerare /Bie.77/Tho.78/ este un algoritm CMMP utilizînd matricea de covarianță factorizată UDU<sup>T</sup> (vezi relația (3.2.4.2)) și constă în următoarea secvență de calcul.

$$1. \quad \xi(t+1) = y(t+1) - \sum_{k=1}^p s_k(t+1)\hat{\Theta}(t)$$

$$f_1 = s_1(t+1)$$

$$v_1 = D_1(t)f_1$$

$$h_1 = v(1)$$

$$\beta_1^2 = \alpha^2 + v_1 f_1$$

$$D_1(t+1) = D_1(t) / \beta_1^2$$

$$2. \quad i = 2, \dots, n$$

$$f_i = s_i(t+1) + \sum_{k=1}^{i-1} s_k(t+1)u_{ki}(t)$$

$$v_i = D_i(t)f_i$$

$$h_i = v_i$$

$$v_i = -f_i / \beta_{i-1}^2$$

$$\beta_i^2 = \beta_{i-1}^2 + v_i f_i$$

$$D_i(t+1) = D_i(t) \beta_{j-1}^2 / \alpha^2 \beta_{j-1}^2$$

$$j = 1, \dots, i-1$$

$$a = u_{j,i}(t) + v_i h_j$$

$$h_j = h_j + u_{ji}(t) v_i$$

$$u_{ji}(t) = a$$

$$3. \quad a = \xi(t+1) / \beta_p^2$$

$$i = 1, \dots, p$$

$$\hat{\theta}_i(t+1) = \hat{\theta}_i(t) + ah_i$$

La pasul  $(t+1)$ , datele de intrare sînt  $U(t)$ ,  $D(t)$ ,  $\alpha$ ,  $\hat{\theta}(t)$ ,  $y(t+1)$ ,  $s(t+1)$  obținîndu-se în final:  $U(t+1)$ ,  $D(t+1)$ ,  $\hat{\theta}(t+1)$ .

Particularități ale algoritmului și recomandări de implementare:

- memoria necesară în acest caz este mai mare decît în cazul algoritmului prin filtrare discretă deoarece apare un vector suplimentar  $v$  (vectorul  $f$  corespunde vectorului  $g$ , dar valorile nu sînt egale);

- variabilele  $\beta_i^2$ ,  $\beta_{i-1}^2$ ,  $v_i$  nu necesită indici nefiind necesare a fi utilizate ca elemente de tablou;

- pentru aproximativ același volum de calcule, algoritmul  $UDU^T$  nu necesită evaluarea unor radicali, ceea ce oferă avantaje legate de calcul față de algoritmul prin filtrare discretă;

- rămîn de soluționat problemele legate de inițializarea  $U(0)$ ,  $D(0)$ ,  $\hat{\theta}(0)$ .

#### Concluzii finale

Prin prisma analizei algoritmilor on-line prezentați anterior se pot scoate în evidență cîteva aspecte utilizabile în faza de sinteză a strategiei de comandă autoacordabilă în cazul unei aplicații particulare:

- algoritmi care utilizează matricea de informație au avantajul evitării problemelor legate de inițializare, ceea ce îi recomandă în situațiile în care lipsesc date apriorice despre valorile parametrilor procesului.

- algoritmi bazați pe filtrarea cu rădăcină patrată necesită evaluarea funcției radical ceea ce poate constitui un inconvenient în unele aplicații, față de algoritmi bazați pe factorizările de tip UD.

- este de remarcat faptul că algoritmul  $LD_1L^T$  este mai lent decât algoritmul filtrării cu ajutorul rădăcinii patrute utilizând matricea de informație datorită dificultăților de rezolvare a sistemului de ecuații rezultat.

### 3.3. Strategii de comandă adaptivă autoacordabilă

Problema care se cere rezolvată constă în proiectarea unui RAA (algoritm de reglare numerică) care să genereze o astfel de secvență de comandă  $u(t)$  încât să se asigure minimul varianței ieșirii procesului supus acțiunii unor perturbații stohastice sau în terminologia teoriei sistemelor de reglare stohastică, sinteza unei strategii de comandă adaptivă autoacordabilă de varianță minimă sau, mai simplu, a unei strategii de comandă de varianță minimă.

Pentru rezolvarea unei astfel de probleme, se impune mai întâi predictarea ieșirii  $y(t+k/t)$  și apoi minimizarea varianței acesteia. Acest fapt sugerează ideea că algoritmul de varianță minimă, pentru un proces perturbat stohastic, poate fi obținut ca și soluție a problemei de predicție /Ast.70/. Astfel, într-o primă etapă, se impune determinarea unui predictor (optimal) în  $k$  pași,  $\hat{y}(t+k/t)$  iar în cea de a doua, strategia de comandă se determină astfel încât valoarea de predicție a ieșirii să se suprapună peste valoarea dorită a ieșirii (eroarea de reglare să fie egală cu eroarea de predicție). Deci, practic, problema de control stohastic, care devine (într-un anumit sens) o problemă de control optimal, poate fi separată în două probleme distincte: o problemă de predicție și una de reglare. Variantele de strategii de varianță minimă sînt determinate de complexitatea procesului, de modelul utilizat pentru filtrul de zgomot precum și de funcția obiectiv considerată. În destul de puține cazuri se consideră pentru zgomot un model autoregresiv de medie alunecătoare. Cel mai adesea zgomotul este reprezentat fie ca un proces de medie alunecătoare fie ca o autoregresie, ceea ce va fi precizat pentru fiecare caz în parte.

#### 3.3.1. Strategie de comandă de varianță minimă de bază

Se consideră structura de SAAC reprezentată în fig.3.3.1.1., în care filtrul de zgomot (3.2.3.4) se alege astfel încât  $D(z^{-1})$  este egal cu  $A(z^{-1})$ , iar  $n_a = n_b = n_c = n$ .

Modelul procesului poate fi scris atunci sub forma următoarei ecuații cu diferențe stohastică:

$$A(z^{-1})y(t) = B(z^{-1})u(t-k) + C(z^{-1})e(t) \quad (3.3.1.1)$$

în care  $k$  reprezintă timpul mort ca număr întreg de perioade de eșantionare, secvențele  $y(t)$ ,  $u(t)$ ,  $e(t)$  și operatorul  $z^{-1}$  au semnificațiile menționate și  $A(z^{-1})$ , ( $a_0=1$ );  $B(z^{-1})$ , ( $b_0 \neq 0$ );  $C(z^{-1})$ ,

$$(c_0=1) \in \prod_n.$$

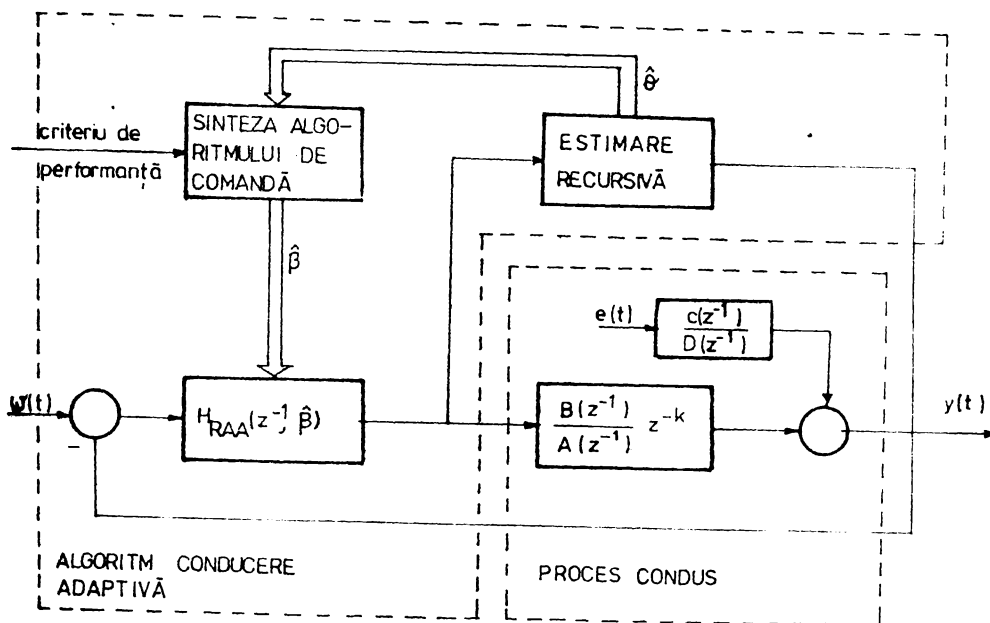


Fig.3.3.1.1. Structura unui sistem adaptiv cu autoacordare

Se impune ca procesul să fie de fază minimă (toate polinoamele stabile). De asemenea se consideră că  $A(z^{-1})$ ,  $B(z^{-1})$  și  $C(z^{-1})$  nu au nici un factor comun (stările sistemului (3.3.1.1) sînt controlabile fie din  $u(t)$ , fie din  $e(t)$ ).

Funcția obiectiv care se cere minimizată și care asigură rezolvarea problemei de reglare este de forma (2.3.8) respectiv (2.3.10).

Rezolvînd în timp înainte ecuația stohastică (3.3.1.1) se poate scrie:

$$y(t+k) = \frac{B(z^{-1})}{A(z^{-1})} u(t) + \frac{C(z^{-1})}{A(z^{-1})} e(t+k) \quad (3.3.1.2)$$

Se consideră satisfăcută identitatea polinomială:

$$C(z^{-1}) = A(z^{-1})F(z^{-1}) + z^{-k}G(z^{-1}) \quad (3.3.1.3)$$

în care:  $F(z^{-1}) \in \prod_{k-1}$ ;  $G(z^{-1}) \in \prod_{n-1}$  sînt de forma:

$$F(z^{-1}) = 1 + f_1 z^{-1} + \dots + f_{k-1} z^{-k+1} \quad (3.3.1.4)$$

$$G(z^{-1}) = g_0 + g_1 z^{-1} + \dots + g_{n-1} z^{-n+1}$$

Coefficienții  $f_1$  și  $g_1$  se determină recursiv din relația (3.3.1.3), polinomul  $F(z^{-1})$  fiind cîțul împărțirii polinoamelor  $C(z^{-1})$  și  $A(z^{-1})$  iar polinomul  $z^{-k}G(z^{-1})$  reprezintă restul împărțirii. Există doar două polinoame unice care satisfac relația (3.3.1.3). În aceste condiții (3.3.1.2) se poate scrie:

$$y(t+k) = F(z^{-1})e(t+k) + \frac{B(z^{-1})}{A(z^{-1})} u(t) + \frac{G(z^{-1})}{A(z^{-1})} e(t) \quad (3.3.1.5)$$

Pe de altă parte, considerînd (3.3.1.1), secvența de zgomot alb discret poate fi modelată ca:

$$e(t) = \frac{A(z^{-1})}{C(z^{-1})} y(t) - \frac{B(z^{-1})}{C(z^{-1})} z^{-k} u(t) \quad (3.3.1.6)$$

Atunci din (3.3.1.5) și (3.3.1.6) rezultă:

$$y(t+k) = F(z^{-1})e(t+k) + \left[ \frac{B(z^{-1})}{A(z^{-1})} - z^{-k} \frac{B(z^{-1})}{A(z^{-1})} \frac{G(z^{-1})}{C(z^{-1})} \right] u(t) + \frac{G(z^{-1})}{C(z^{-1})} y(t) \quad (3.3.1.7)$$

sau ținînd cont de (3.3.1.3):

$$y(t+k) = F(z^{-1})e(t+k) + \frac{G(z^{-1})}{C(z^{-1})} y(t) + \frac{B(z^{-1})F(z^{-1})}{C(z^{-1})} u(t) \quad (3.3.1.8)$$

În acest caz, funcția obiectiv (2.3.10) devine:

$$E[y^2(t+k)/t] = E[F(z^{-1})e(t+k)]^2 + E\left[ \frac{G(z^{-1})}{C(z^{-1})} y(t) + \frac{B(z^{-1})F(z^{-1})}{C(z^{-1})} u(t) \right]^2 \quad (3.3.1.9)$$

Întrucît  $e(t+1), \dots, e(t+k)$  sînt independente de  $y(t), y(t-1), \dots$  și  $u(t-1), u(t-2), \dots$  termenii miciți se anulează. În consecință

$$E[y^2(t+k)/t] \geq \sigma^2 [1 + f_1^2 + \dots + f_{n-1}^2] \quad (3.3.1.10)$$

Valoarea minimă a varianței ieșirii, deci egalitatea în relația (3.3.1.10) se obține prin:

$$G(z^{-1})y(t) + B(z^{-1})F(z^{-1})u(t) = 0 \quad (3.3.1.11)$$

și depinde de valoarea timpului mort și de dispersia zgomotului. Este de remarcat faptul că valori mari ale timpului mort  $k$  conduc la creșteri ale varianței ieșirii.



Pentru strategia de varianță minimă se obține astfel expresia:

$$u(t) = - \frac{G(z^{-1})}{B(z^{-1})F(z^{-1})} y(t) \quad (3.3.1.12)$$

Notînd cu  $H_{RVM}(z^{-1})$  funcția de transfer a regulatorului de varianță minimă ( $z$  - variabilă complexă), atunci:

$$H_{RVM}(z^{-1}) = - \frac{G(z^{-1})}{B(z^{-1})F(z^{-1})} \quad (3.3.1.13)$$

Interpretînd rezultatele obținute prin prisma soluției problemei de predicție /Ast.7o/ expresia:

$$\frac{G(z^{-1})}{C(z^{-1})} y(t) + \frac{B(z^{-1})F(z^{-1})}{C(z^{-1})} u(t) = \hat{y}(t+k/t) \quad (3.3.1.14)$$

reprezintă predictorul (optimal) peste  $k$  pași a ieșirii  $y(t+k)$  bazat pe datele pînă la momentul  $t$ . Este ușor de remarcat în acest caz faptul că eroarea de reglare ( $\xi_r$ ) este egală cu eroarea de predicție ( $\xi_p$ ) și reprezintă o medie alunecătoare de ordin  $k$ :

$$\xi_r(t+k) = F(z^{-1})e(t+k) = \xi_p(t+k) \quad (3.3.1.15)$$

Devine evidentă acum afirmația că sinteza strategiei de comandă de varianță minimă este separabilă într-o problemă de predicție (determinarea predictorului peste  $k$  pași  $\hat{y}(t+k/t)$  și una de reglare (alegerea variabilei de comandă astfel încît ieșirea predictată să coincidă cu ieșirea dorită).

Concluzionînd cele expuse rezultă că sinteza strategiei de minimă varianță presupune parcurgerea următorului algoritm de calcul:

Date inițiale:  $n, k$ , valori de inițializare, valori intrare/ieșire.

1. Utilizînd o metodă recursivă de estimare se estimează vectorul parametrilor:

$$\hat{\theta} = [\hat{a}_1, \dots, \hat{a}_n, \hat{b}_0, \dots, \hat{b}_n, \hat{c}_1, \dots, \hat{c}_n] \quad (3.3.1.16)$$

2. Se consideră că valorile estimate ale parametrilor sînt chiar valorile reale:

$$\hat{A}(z^{-1}) = A(z^{-1}), \hat{B}(z^{-1}) = B(z^{-1}), \hat{C}(z^{-1}) = C(z^{-1}) .$$

Utilizînd identitatea polinomială (3.3.1.3) se calculează coeficienții  $f_i$  și  $g_i$  cu relațiile recursive:

$$\begin{aligned} f_0 &= 1 \\ f_i &= c_i - \sum_{j=0}^{i-1} f_j a_{i-j} ; \quad i=1, k \end{aligned} \quad (3.3.1.17)$$

$$\varepsilon_i = c_{i+k} - \sum_{j=0}^k a_{i+k-j} f_j ; \quad i = \overline{0, n-1}$$

3. Se generează strategia de comandă  $u(t)$  utilizînd relația (3.3.1.12).

4. La momentul de eșantionare următor se revine la pasul 1.

Strategia de comandă de varianță minimă prezentată poate fi, în unele situații sensibilă la variațiile parametrilor sistemului. Trebuie avut în vedere ca procesul să fie de fază minimă.

Considerînd că pentru sinteza algoritmului de comandă se utilizează modelul estimat al procesului, de forma:

$$\hat{A}(z^{-1})y(t) = \hat{B}(z^{-1})u(t-k) + \hat{C}(z^{-1})e(t) \quad (3.3.1.18)$$

avînd același ordin de mărime ca și modelul (3.3.1.1) și în care  $\hat{A}(z^{-1})$ ,  $\hat{B}(z^{-1})$  și  $\hat{C}(z^{-1})$  sînt estimațiile lui  $A(z^{-1})$ ,  $B(z^{-1})$  și respectiv  $C(z^{-1})$ , obținute printr-o procedură de estimate recursive, va rezulta pentru strategia de comandă, analog relației (3.3.1.12):

$$u(t) = - \frac{\hat{G}(z^{-1})}{\hat{B}(z^{-1})\hat{F}(z^{-1})} y(t) \quad (3.3.1.19)$$

unde polinoamele  $\hat{F}(z^{-1})$  și  $\hat{G}(z^{-1})$  se determină prin identitatea:

$$\hat{G}(z^{-1}) = \hat{A}(z^{-1})\hat{F}(z^{-1}) + z^{-k} \hat{G}(z^{-1}) \quad (3.3.1.20)$$

Observație. Presupunerea că datele de intrare/ieșire sînt în mod real "generate" cu un sistem avînd aceeași formă cu modelul, este necesară pentru stabilirea consistenței estimației  $\hat{\Theta}$ .

Considerînd procesul (3.3.1.1) comandat prin algoritmul (3.3.1.19), sistemul în buclă închisă va fi descris de ecuația:

$$\left[ A(z^{-1}) + \frac{z^{-k} B(z^{-1}) \hat{G}(z^{-1})}{\hat{B}(z^{-1}) \hat{F}(z^{-1})} \right] y(t) = \hat{C}(z^{-1}) e(t) \quad (3.3.1.21)$$

cu ecuația caracteristică de forma:

$$B(z^{-1})\hat{C}(z^{-1}) + [A(z^{-1})\hat{B}(z^{-1}) - \hat{A}(z^{-1})B(z^{-1})]\hat{F}(z^{-1}) = 0 \quad (3.3.1.22)$$

Se observă că dacă valorile estimate ale coeficienților procesului coincid cu valorile lor reale, adică  $\hat{A}(z^{-1}) = A(z^{-1})$ ,  $\hat{B}(z^{-1}) = B(z^{-1})$  și  $\hat{C}(z^{-1}) = C(z^{-1})$ , ecuația caracteristică se reduce la:

$$B(z^{-1})C(z^{-1}) = 0 \quad (3.3.1.23)$$

ceea ce implică necontrolabilitatea prin intrarea  $e(t)$ .

Conform teoremei de reprezentare pentru procese stohastice cu densități spectrale raționale /Ast.70/,  $C(z^{-1})$  poate fi ales astfel încât să aibă zerouri stabile (sau cel mult pe cercul unitar), comportarea sistemului fiind determinată de singularitățile lui  $B(z^{-1})$ .

Dacă coeficienții estimați ai modelului procesului diferă de valorile reale, intrarea poate influența toate modurile ecuației caracteristice și în cazul în care sistemul este de fază neminimă (singularitățile lui  $B(z^{-1})$  sînt instabile) chiar erori mici în estimarea parametrilor pot conduce la rezultate extrem de deformatate. Pentru sisteme de fază minimă strategia de comandă propusă dă rezultate bune chiar în situația menționată.

Se impune deci ca și în cazul sistemelor de fază neminimă să se încerce obținerea unor strategii de varianță minimă care să fie insensibile la modificări ale parametrilor modelului.

#### Sisteme de fază neminimă

Una din variantele propuse de determinare a unei strategii de comandă în sensul celor menționate, presupune factorizarea polinomialui  $B(z)$  în modul următor: /Ast.77/

$$B(z) = B^+(z)B^-(z) \quad (3.3.1.24)$$

( $z$  - variabila complexă) în care factorul  $B^+(z)$  este un polinom de grad  $n_1$  avînd toate zerourile în exteriorul cercului de rază unitate iar  $B^-(z)$  este un polinom de grad  $n_2$  avînd toate zerourile în interiorul sau pe cercul unitate.

Se impune în plus condiția ca polinomul  $G(z)$  să conțină factorul  $B^-(z)$ , adică identitatea polinomială (3.3.1.3) devine:

$$C(z^{-1}) = A(z^{-1})F'(z^{-1}) + z^{-k-n_2}B^-(z^{-1})G'(z^{-1}) \quad (3.3.1.25)$$

( $z^{-1}$  - operator de întârziere). În aceste condiții, pentru strategia de varianță minimă se obține pe baza unui raționament analog, o relație de forma:

$$u(t) = - \frac{z^{-n_2}G'(z^{-1})}{B^+(z^{-1})F'(z^{-1})} y(t) \quad (3.3.1.26)$$

Pentru  $\hat{A}(z^{-1}) = A(z^{-1})$ ,  $\hat{B}(z^{-1}) = B(z^{-1})$ ,  $\hat{C}(z^{-1}) = C(z^{-1})$  ecuația caracteristică a sistemului închis devine:

$$z^{n_2}B^+(z^{-1})C(z^{-1}) = 0 \quad (3.3.1.27)$$

și are toate singularitățile stabile, algoritmul păstrîndu-și insensibilitatea și pentru variații mici ale parametrilor sistemului.

### 3.3.2. Strategii de comandă de varianță minimă modificate

Utilizarea algoritmului de varianță minimă de bază prezentat nu asigură comportarea dorită în raport cu mărimea de referință, aceasta nefiind inclusă în dezideratele proiectării. În fapt, semnalul de referință acționează asupra sistemului în același mod ca și zgomotul stohastic. Dacă se impune ca pe lângă varianța minimă a ieșirii în raport cu perturbația stohastică  $e(t)$ , strategia de comandă să asigure și urmărirea valorilor mărimii de referință  $w(t)$ , criteriul de performanță trebuie modificat corespunzător. Dacă, spre exemplu, la intrarea sistemului se aplică o treaptă unitară se pot proiecta algoritmi de reglare de minimă varianță modificați astfel încât să se asigure pentru sistemul de reglare atât varianța minimă a ieșirii în prezența perturbațiilor stohastice cât și eroare staționară nulă pentru intrarea treaptă.

O metodă "clasică" pentru obținerea erorii staționare nule constă în adăugarea la algoritmul de minimă varianță a unei componente integratoare. Astfel, algoritmul de reglare, în condițiile utilizării unui compensator de tip PI devine:

$$H_R(z^{-1}) = H_{RVM}(z^{-1})H_{PI}(z^{-1}) \quad (3.3.2.1)$$

în care compensatorul  $H_{PI}(z^{-1})$  poate fi ales de forma/Gal.85/:

$$H_{PI}(z^{-1}) = 1 + \frac{k_I}{z-1} = \frac{1 - (1 - k_I)z^{-1}}{1 - z^{-1}} \quad (3.3.2.2)$$

rezultînd pentru  $k_I=0$  o comportare proporțională iar pentru  $k_I = 1$  una integratoare.

Este ușor de remarcat că includerea unui compensator de tip PI în structura regulatorului de minimă varianță, deși asigură comportarea dorită în regim staționar pentru o referință treaptă, comportarea în raport cu semnalele perturbatoare stohastice este sub-optimală (varianța ieșirii nu mai este minimă).

Asigurarea dezideratelor dorite a sistemului de reglare, atât în raport cu referința cât și cu semnalele stohastice ce acționează asupra procesului, se pot realiza prin sinteza unei strategii de comandă care să asigure minimizarea unei funcții obiectiv de tipul (2.3.11).

Dinamica procesului se consideră descrisă de ecuația cu diferențe stohastică: (3.3.11) cu polinoamele  $A(z^{-1})$ ,  $B(z^{-1})$ ,  $C(z^{-1})$  stabile iar criteriul se alege de forma:

$$I = E \left\{ \left[ y(t+k) - w(t+k) \right]^2 / t \right\} \quad (3.3.2.3)$$

cu  $w(t+k)$  mărime de referință cunoscută.

Definind intrarea de referință  $u_r(t)$  ca:

$$u_r(t) = \frac{A(z^{-1})}{B(z^{-1})} w(t+k) \quad (3.3.2.4)$$

ecuația procesului (3.3.1.1) poate fi rescrisă sub forma:

$$A(z^{-1})[y(t) - w(t)] = B(z^{-1})[u(t-k) - u_r(t-k)] + C(z^{-1})e(t) \quad (3.3.2.5)$$

Rezultă deci, că strategia de varianță minimă modificată, care minimizează funcția obiectiv (3.3.2.3) se poate obține printr-o procedură similară cu cea utilizată în pragraful precedent pentru sinteza strategiei de varianță minimă de bază, rezultînd în final un algoritm de comandă de forma:

$$u(t) - u_r(t) = - \frac{G(z^{-1})}{B(z^{-1})F(z^{-1})} [y(t) - w(t)] \quad (3.3.2.6)$$

cu  $F(z^{-1})$  și  $G(z^{-1})$  furnizate de identitatea polinomială (3.3.1.3) sau echivalent:

$$u(t) = - \frac{G(z^{-1})}{B(z^{-1})F(z^{-1})} y(t) + \frac{G(z^{-1})}{B(z^{-1})F(z^{-1})} w(t+k) \quad (3.3.2.7)$$

Dacă se aplică transformata  $z$  relației (3.3.2.7) și introducînd notațiile:

$$H_{RVM}(z^{-1}) = - \frac{G(z^{-1})}{B(z^{-1})F(z^{-1})} \quad (3.3.2.8)$$

și

$$H_{RW}(z^{-1}) = \frac{z^k G(z^{-1})}{B(z^{-1})F(z^{-1})} \quad (3.3.2.9)$$

rezultă comanda  $U(z)$  în funcție de ieșirea  $Y(z)$  și de referința  $W(z)$ :

$$U(z) = - H_{RVM}(z^{-1})Y(z) + H_{RW}(z^{-1})W(z) \quad (3.3.2.10)$$

Relația (3.3.2.10) evidențiază faptul că pentru obținerea unei comportări dorite în raport cu mărimile exogene care acționează asupra procesului, se impune calculul comenzii atât în funcție de măsurătorile efectuate asupra lui  $y(t)$  cît și în funcție de programul impus  $w(t)$ .

Se observă că pentru generarea secvenței de comandă este necesară cunoașterea valorilor viitoare ale referinței pentru cel puțin  $k$  pași.

Pentru referință constantă, intrarea de referință poate fi calculată cu ușurință din relația:

$$u_r = \frac{A(1)}{B(1)} w \quad (3.3.2.11)$$

În situația în care în sistem există un element integrator (cel puțin), cu alte cuvinte  $A(z)$  are un zero suplimentar în  $z = 1$ , față de  $B(z)$  (cel puțin), rezultă că  $u_r = 0$ , iar strategia de comandă devine de forma:

$$u(t) = - \frac{G(z^{-1})}{B(z^{-1})F(z^{-1})} [y(t) - w] \quad (3.3.2.12)$$

fiind asemănătoare strategiei de comandă de varianță minimă de bază, cu diferența că în locul ieșirii procesului  $y(t)$  se utilizează mărimea  $[y(t) - w]$ .

Dacă în sistem nu se poate evidenția nici un element integrator, atunci dacă în locul variabilei de comandă se consideră incrementul corespunzător:

$$\Delta u(t) = u(t) - u(t-1) \quad (3.3.2.13)$$

efectul obținut echivalează cu introducerea în sistem a unui astfel de element.

Modelul care descrie dinamica procesului se modifică în modul următor:

$$A(z^{-1})(1-z^{-1})y(t) = B(z^{-1})\Delta u(t-k) + C(z^{-1})(1-z^{-1})e(t) \quad (3.3.2.14)$$

rezultând o strategie de varianță minimă modificată de forma:

$$u(t) = - \frac{(1-z^{-1})G(z^{-1})}{B(z^{-1})F(z^{-1})} [y(t) - w] \quad (3.3.2.15)$$

Rezultă deci că modificarea regulatorului autoacordabil de bază în vederea urmăririi valorilor de referință constantă este posibilă în cazul în care în sistem există un element integrator, sau a fost introdus unul prin considerarea ca mărime de comandă a incrementului  $\Delta u(t)$  în loc de  $u(t)$  și a mărimii  $[y(t) - w]$  în loc de  $y(t)$ .

În cazul în care referința este variabilă în timp, și asupra sistemului nu acționează perturbații stohastice, regulatorul autoacordabil converge către un regulator de tip dead-beat [Lit. 73]. Dacă sistemul este supus acțiunii perturbațiilor stohastice, rezolvarea problemei de urmărire devine complexă, tipul de regulator spre care se converge depinzând de la caz la caz, atât de raportul semnal util/zgomot cât și de forma de variație a mărimii de referință.

Strategie de comandă de varianță minimă cu  
compensarea perturbațiilor măsurabile

În situația în care unele dintre perturbațiile care acționează asupra procesului sînt măsurabile, se poate sintetiza un algoritm de varianță minimă care să compenseze efectul acestor perturbații /Wit.75/.

Considerăm ca model al procesului următoarea ecuație cu diferențe stohastică:

$$A(z^{-1})y(t) = B(z^{-1})u(t-k) + C(z^{-1})e(t) + D(z^{-1})v(t-k) \quad (3.3.2.16)$$

unde:

$$A(z^{-1}), B(z^{-1}) \text{ și } D(z^{-1}) \in \prod_n$$

iar  $v(t)$  este un zgomot necorelat cu zgomotul alb  $e(t)$ , presupus cunoscut și măsurabil la momentul  $t$ . Strategia de comandă care minimizează varianța ieșirii și care asigură totodată compensarea completă a efectului perturbației măsurabile se obține printr-o procedură similară cazului strategiei de varianță minimă de bază.

Rezolvînd în timp înainte ecuația (3.3.2.16) și utilizînd identitatea polinomială (3.3.1.3) se ajunge la:

$$y(t+k) = F(z^{-1})e(t+k) + \frac{1}{C(z^{-1})} \left[ G(z^{-1})y(t) + B(z^{-1})F(z^{-1})u(t) + D(z^{-1})F(z^{-1})v(t) \right] \quad (3.3.2.17)$$

În aceste condiții comanda care minimizează varianța mărimii  $y(t+k)$  va fi dată de:

$$u(t) = - \frac{G(z^{-1})}{B(z^{-1})F(z^{-1})} y(t) - \frac{D(z^{-1})}{B(z^{-1})} v(t) \quad (3.3.2.18)$$

Aplicarea transformatei  $z$  relației (3.3.2.18) conduce la

$$U(z) = H_{RVM}(z^{-1})Y(z) + H_V(z^{-1})V(z) \quad (3.3.2.19)$$

expresiile funcțiilor de transfer  $H_{RVM}$  și  $H_V$  fiind imediate.

Dacă în relația (3.3.2.16) argumentul perturbației măsurabile este  $(t-j)$ , cu  $j < k$ , în algoritmul de reglare (3.3.2.18),  $v(t)$  trebuie înlocuit cu valoarea de predicție  $v(t-k-j/t)$ .

Algoritmii de varianță minimă sintetizați pe baza minimizării unui criteriu de forma (2.3.10) sau (3.3.2.3) nu iau în considerare valoarea amplitudinii comenzii care se aplică procesului. În aceste condiții, comanda poate atinge valori excesiv de mari care să conducă la instabilitatea sistemului automat de reglare.

### 3.3.3. Strategii de comandă de varianță minimă generalizate

Strategiile de comandă considerate în cele ce urmează reprezintă o generalizare a strategiilor de minimă varianță de bază sau modificate, prezentate în paragrafele precedente, ele obținându-se ca soluții ale unei probleme liniar-pătratică.

Funcția obiectiv, conținând un termen suplimentar de penalizare a comenzii, este reprezentată de un criteriu pătratic cu orizont de timp redus de forma generală (2.3.13), variante de strategii de comandă obținându-se pentru particularizări ale polinoamelor  $P(z^{-1})$ ,  $R(z^{-1})$  și  $Q'(z^{-1})$ .

Aplicabilitatea strategiilor generalizate este mai largă, permițând obținerea unor comenzi stabile și pentru sistemele de fază neminimă.

Variante de astfel de algoritmi de reglare sînt prezentate în /Pet.73/Ast.77/Cla.79/Goo.81/. Vor reține atenția versiunile mai favorabile din punctul de vedere al volumului de calcul (care nu necesită rezolvarea unei ecuații Riccati) și care acoperă un domeniu de utilizare cît mai larg.

#### Regulatorul autoacordabil explicit

Problema sintezei strategiei de comandă se abordează în acest caz pentru situația în care parametrii procesului se consideră cunoscuți. Ca model al procesului se consideră ecuația cu diferențe stohastică:

$$A(z^{-1})y(t) = z^{-k}R(z^{-1})u(t) + C(z^{-1})e(t) + d \quad (3.3.3.1)$$

în care polinoamele  $A(z^{-1})$ ,  $B(z^{-1})$ ,  $C(z^{-1}) \in \Pi_n$ ,  $b_0 \neq 0$ ,  $C(z^{-1})$  stabil, iar  $d$  este o constantă care reprezintă ieșirea sistemului în regim staționar pentru o intrare nulă.

Strategia de comandă se obține minimizînd o funcție criteriu pătratică cu orizont de timp redus de forma:

$$I = \min_{u(t)} E \left\{ \left[ \sum_{i=0}^k p_i y(t+k-i) - \sum_{i=0}^k r_i w(t-i) \right]^2 + \left[ \sum_{i=0}^k q_i u(t-i) \right]^2 \right\}. \quad (3.3.3.2)$$

sau echivalent:

$$I = \min_{u(t)} E \left\{ \left[ P(z^{-1})y(t+k) - R(z^{-1})w(t) \right]^2 + \left[ Q'(z^{-1})u(t) \right]^2 \right\} \quad (3.3.3.3)$$

în care  $P(z^{-1})$ ,  $R(z^{-1})$  și  $Q'(z^{-1})$  sînt polinoame în operatorul de întîrziere care pot fi particularizate în funcție de obiectivele comenzii. Fără a se afecta generalitatea abordării se consideră



$p_0 = 1$ ;  $Q'(z^{-1})$  este introdus în criteriu din necesitatea de a se evita creșterea necontrolată a comenzii.

Criteriul (3.3.3.3) include cazurile particulare importante:

$$I_1 = E\left\{\left[y(t+k) - w(t)\right]^2 + \rho'u^2(t)\right\} \quad (3.3.3-a)$$

și

$$I_2 = E\left\{\left[y(t+k) - w(t)\right]^2 + \rho'\left[u(t) - u(t-1)\right]^2\right\} \quad (3.3.3-b)$$

cu implicațiile menționate deja în strategiile de comandă considerate anterior.

În cazul în care numai coeficientul (de ponderare)  $p_0$  este nenul, minimizarea criteriului  $I$  va conduce la regulatorul de varianță minimă de bază.

În situația în care  $E/w(t) \neq 0$ , utilizarea criteriului  $I_1$  nu va asigura anularea erorii în regim staționar decât pentru  $\rho' = 0$ . Acest lucru este asigurat prin criteriul  $I_2$ , care de fapt înserează un integrator în bucla de comandă, însă cu prețul unei degradări a performanțelor tranzitorii ale sistemului în buclă închisă. Problema sintezei comenzii se rezolvă în aceeași manieră, prin defalcarea ei într-o problemă de predicție, care constă în construcția predictorului optimal peste  $k$  pași a ieșirii și o problemă de reglare în care se determină strategia de comandă care minimizează criteriul (3.3.3.3).

Strategia de comandă astfel obținută va realiza anularea la fiecare moment de timp a valorii de predicție a unei funcții auxiliare de  $y(t)$ ,  $u(t)$  și  $w(t)$ , ceea ce face posibilă includerea strategiei de comandă într-o schemă autoacordabilă.

#### 1) Problema de predicție

Predictorul optimal peste  $j$  pași, bazat pe datele pînă la momentul curent  $t$ , se poate defini ca o funcție de valorile intrării și ieșirii de forma:

$$\hat{y}(t+j/t) = f(y(t), y(t-1), \dots, u(t), u(t-1)) \stackrel{\Delta}{=} y(t+j) - \xi(t+j) \quad (3.3.3.4)$$

unde  $\xi(t+j)$  este eroare de predicție, necorelată cu  $y(t-1)$ ,  $u(t-1)$  pentru  $i \geq 0$  și în consecință necorelată nici cu  $\hat{y}(t+j/t)$ .

Predicția ieșirii se poate obține rezolvînd înainte în timp ecuația stohastică (3.3.3.1), obținîndu-se:

$$y(t+k) = \frac{B(z^{-1})}{A(z^{-1})}u(t) + z^k \frac{C(z^{-1})}{A(z^{-1})}e(t) + z^k \frac{d}{A(z^{-1})} \quad (3.3.3.5)$$

Avîndu-se în vedere că pentru a sintetiza comanda la pasul  $t$ ,

secvența de zgomot  $e(t+1), e(t+2), \dots, e(t+k)$  este necunoscută, se va descompune ultimul termen al relației (3.3.3.5) în două componente și anume o componentă care descrie acea parte a zgomotului ce nu poate fi influențată de comanda  $u(t)$  și o componentă care descrie acea parte a zgomotului conținută în  $y(t)$  și care este influențată de comanda  $u(t)$ .

Astfel:

$$z^k \frac{C(z^{-1})}{A(z^{-1})} e(t) = F(z^{-1})e(t+k) + \frac{G'(z^{-1})}{A(z^{-1})} e(t) = \xi(t+k) + \xi'(t) \quad (3.3.3.6)$$

unde polinoamele:

$$F(z^{-1}) = 1 + f_1 z^{-1} + \dots + f_{k-1} z^{-k+1}$$

$$G'(z^{-1}) = g'_0 + g'_1 z^{-1} + \dots + g'_{n-1} z^{-n+1}$$

sînt definite de identitatea polinomială:

$$C(z^{-1}) = A(z^{-1})F(z^{-1}) + z^{-k}G'(z^{-1}) \quad (3.3.3.7)$$

Introducînd (3.3.3.6) în (3.3.3.5) se obține:

$$y(t+k) = \left[ \frac{B(z^{-1})}{A(z^{-1})} u(t) + \frac{G'(z^{-1})}{A(z^{-1})} e(t) + \frac{z^k}{A(z^{-1})} d \right] + \xi(t+k) \quad (3.3.3.8)$$

ou:

$$\xi(t+k) = F(z^{-1})e(t+k)$$

Valoarea curentă a zgomotului poate fi determinată din relația (3.3.3.1) cunoscînd toate valorile anterioare ale intrării și ieșirii:

$$e(t) = \frac{A(z^{-1})}{C(z^{-1})} y(t) - z^{-k} \frac{B(z^{-1})}{C(z^{-1})} u(t) - \frac{d}{C(z^{-1})} \quad (3.3.3.9)$$

Substituind (3.3.3.9) în (3.3.3.8) și utilizînd (3.3.3.7) se ajunge la:

$$y(t+k) = \left[ \frac{G'(z^{-1})}{C(z^{-1})} y(t) + \frac{B(z^{-1})F(z^{-1})}{C(z^{-1})} u(t) + z^k \frac{F(z^{-1})}{C(z^{-1})} d \right] + \xi(t+k) \quad (3.3.3.10)$$

Çum  $\xi(t+k)$  este necorelat cu  $y(t-1)$  și  $u(t-1)$ ,  $i \geq 0$ , rezultă că predicția ieșirii peste  $k$  pași, bazată pe datele pînă la momentul  $t$  va fi date de:

$$C(z^{-1})\hat{y}(t+k/t) = G'(z^{-1})y(t) + B(z^{-1})F(z^{-1})u(t) + Yd \quad (3.3.3.11)$$

unde, avînd în vedere că  $d$  este o constantă:  $Y = F(1)$ .

Secvența de zgomot  $\xi(t+k)$  fiind necorelată cu valorile curente ale intrării și ieșirii va fi necorelată și cu predicția ieșirii

$y(t+k)$ . Ținând cont de (3.3.3.11), (3.3.3.10) și (3.3.3.5) rezultă că  $\xi(t+k)$  poate fi interpretat ca eroare de predicție (cu  $k$  pași) obținându-se ca:

$$\xi(t+k) = y(t+k) - \hat{y}(t+k/t) \quad (3.3.3.12)$$

Problema de predicție fiind rezolvată odată cu construcția predictorului (3.3.3.11), în continuare trebuie soluționată și problema de reglare.

ii) Problema de reglare

Inlocuind pe  $y(t+k)$  din (3.3.3.12), în funcția obiectiv (3.3.3.3) rezultă:

$$I = E \left\{ \left[ P(z^{-1}) \left[ \hat{y}(t+k/t) + \xi(t+k) \right] - R(z^{-1})w(t) \right]^2 + \left[ Q'(z^{-1})u(t) \right]^2 \right\} \quad (3.3.3.13)$$

Notînd:  $E \left\{ \left[ P(z^{-1}) \xi(t+k) \right]^2 \right\} = \sigma^2$  și avînd în vedere că  $\left[ P(z^{-1}) \xi(t+k) \right]$  este necorelat cu  $u(t-i)$ ,  $y(t-i)$  și prin ipoteză nici cu  $w(t-i)$  pentru  $i \geq 0$  și că  $\hat{y}(t+k/t)$ ,  $w(t)$  și  $u(t)$  sînt mărimi cunoscute la momentul  $t$ , criteriul (3.3.3.13) devine:

$$I = \left[ P(z^{-1})\hat{y}(t+k/t) - R(z^{-1})w(t) \right]^2 + \left[ Q'(z^{-1})u(t) \right]^2 + \sigma^2 \quad (3.3.3.14)$$

Strategia de comandă  $u(t)$  se determină astfel încît să minimizeze criteriul (3.3.3.14), ceea ce echivalează cu anularea derivatei parțiale în raport cu  $u(t)$ :

$$\frac{\partial I}{\partial u(t)} = 2 \left[ P(z^{-1})\hat{y}(t+k/t) - R(z^{-1})w(t) \right] \frac{\partial P(z^{-1})\hat{y}(t+k/t)}{\partial u(t)} + 2 q_0' Q'(z^{-1})u(t) = 0 \quad (3.3.3.15)$$

Avînd în vedere că:  $\frac{\partial P(z^{-1})\hat{y}(t+k/t)}{\partial u(t)} = b_0$ , și definind un nou polinom:  $Q(z^{-1}) = \frac{q_0' Q'(z^{-1})}{b_0}$ , strategia de comandă va fi dată de:

$$P(z^{-1})\hat{y}(t+k/t) - R(z^{-1})w(t) + Q(z^{-1})u(t) = 0 \quad (3.3.3.16)$$

Legea de comandă anulează astfel, la fiecare pas, predicția unei funcții auxiliare definite ca:

$$\hat{\Phi}(t+k) \triangleq P(z^{-1})y(t+k) - R(z^{-1})w(t) + Q(z^{-1})u(t) \quad (3.3.3.17)$$

(cu  $w(t)$  și  $u(t)$  mărimi cunoscute) predicție care, ținînd cont de (3.3.3.11) și (3.3.3.17) se poate scrie:

$$\begin{aligned} \hat{\Phi}(t+k/t) &= P(z^{-1})\hat{y}(t+k/t) - R(z^{-1})w(t) + Q(z^{-1})u(t) = \\ &= \frac{P(z^{-1})G'(z^{-1})}{C(z^{-1})}y(t) + \frac{P(z^{-1})B(z^{-1})F(z^{-1})}{C(z^{-1})}u(t) + \end{aligned}$$

$$+ \frac{P(z^{-1})}{C(z^{-1})} d - R(z^{-1})w(t) + Q(z^{-1})u(t) \quad (3.3.3.18)$$

Legea de comandă se obține în aceste condiții din:

$$\hat{\phi}(t+k/t) = 0 \quad (3.3.3.19)$$

Utilizând (3.3.3.5) și având în vedere că  $\xi(t+k)$  este necorelat cu  $\hat{y}(t+k/t)$  se poate scrie:

$$\phi(t+k) = \hat{\phi}(t+k/t) + \xi(t+k) \quad (3.3.3.20)$$

eroarea (de predicție)  $\xi(t+k) = P(z^{-1})\xi(t+k)$  nefiind la rândul ei corelată cu  $\hat{\phi}(t+k/t)$ . Astfel  $\hat{\phi}(t+k/t)$  poate fi interpretat ca fiind predictorul optimal (în sensul CMMF) a lui  $\phi(t+k)$ . Mai mult, definind o nouă funcție de cost J:

$$J = E \{ \phi^2(t+k) \} \quad (3.3.3.21)$$

pe baza considerentelor menționate deja, se poate scrie:

$$J = [ \phi(t+k/t) ]^2 + \sigma^2 \quad (3.3.3.22)$$

ceea ce înseamnă că minimizarea lui I sau J conduce la aceeași lege de comandă  $u(t)$ .

Substituind (3.3.3.11) în (3.3.3.18) se obține pentru predicția peste k pași a funcției auxiliare, expresia:

$$C(z^{-1})\hat{\phi}(t+k/t) = G(z^{-1})y(t) + L(z^{-1})u(t) - H(z^{-1})w(t) + \delta \quad (3.3.3.23)$$

în care:

$$L(z^{-1}) = P(z^{-1})B(z^{-1})F(z^{-1}) + Q(z^{-1})C(z^{-1})$$

$$G(z^{-1}) = P(z^{-1})G'(z^{-1})$$

$$H(z^{-1}) = R(z^{-1})C(z^{-1})$$

$$\delta = P(z^{-1})Yd$$

Strategia de comandă care anulează la fiecare moment de timp predicția  $\hat{\phi}(t+k/t)$  este dată atunci de expresia:

$$u(t) = - \frac{1}{L(z^{-1})} [ G(z^{-1})y(t) - H(z^{-1})w(t) + \delta ] \quad (3.3.3.24)$$

Structura legii de comandă conține deci o prescriere, o reacție și un precompensator, care pot fi implementate simplu numeric. Ea este reprezentată în fig.3.3.3.1.

Se observă deci că algoritmul corespunzător sintezei RAA explicit este similar celui descris în paragraful 3.3.1. pentru regulatorul de varianță minimă, generarea secvenței de comandă realizându-se cu (3.3.3.24).

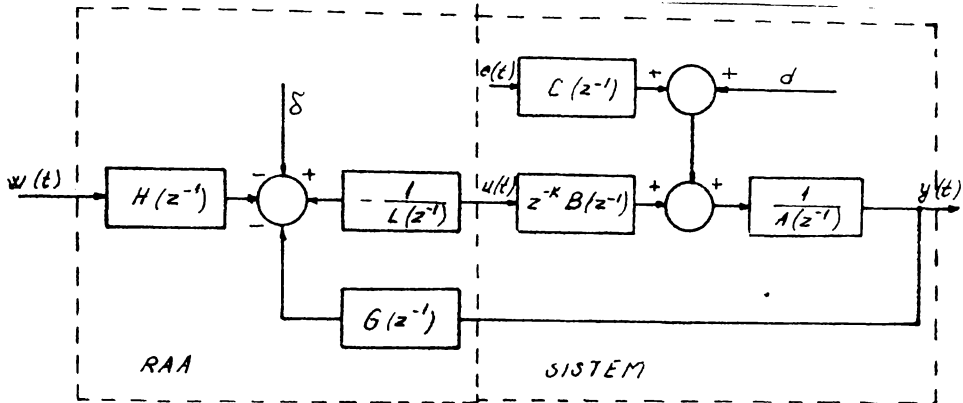


Fig.3.3.3.1. Structura sistemului automat prevăzut cu RAA

Ecuția caracteristică a sistemului în buclă închisă se obține substituind comanda (3.3.3.24) în modelul procesului (3.3.3.1) utilizând identitatea (3.3.3.7). Astfel, în ipotezele considerate, stabilitatea sistemului automat prevăzut cu regulator autoacordabil (pentru convergența identificării) este determinată de poziția rădăcinilor ecuației caracteristice:

$$P(z^{-1})B(z^{-1}) + Q(z^{-1})A(z^{-1}) = 0 \quad (3.3.3.25)$$

și se poate analiza prin metode clasice.

Dacă în funcția obiectiv, polinoamele scalare  $F(z^{-1})$  și  $R(z^{-1})$  se aleg unitare și  $Q(z^{-1})$  se consideră de forma:

$$Q(z^{-1}) = \varphi(1 - z^{-1}) \quad (3.3.3.26)$$

ecuația caracteristică devine:

$$B(z^{-1}) + \varphi(1 - z^{-1})A(z^{-1}) = 0 \quad (3.3.3.27)$$

Alegerea (3.3.3.26) este echivalentă cu introducerea unui integrator în bucla de reglare, asigurându-se astfel anularea erorii staționare. Deși includerea componentei integratoare asigură comportarea dorită în regim staționar, comportarea în raport cu semnalele exogene stohastice poate să nu mai fie optimală; testele însă indică performanțe bune.

Poziția rădăcinilor ecuației (3.3.3.27), depinde de valorile parametrului  $\varphi$ . Dacă polinomul  $B(z^{-1})$  este stabil, pentru un  $\varphi$  suficient de mare sistemul în buclă închisă va fi întotdeauna stabil, independent de polinomul  $A(z^{-1})$ . Pentru valori mari ale lui  $\varphi$ ,

valorile proprii ale sistemului vor fi determinate în principal de  $A(z^{-1})$ . Astfel, o alegere adecvată a lui  $\rho$  permite lărgirea aplicabilității strategiei de comandă (3.3.3.24) pentru procese de fază neminimă.

Studiile prin simulare confirmă faptul că o alegere corespunzătoare a lui  $\rho$  (suficient de mare), pentru cazul în care sistemul (3.3.3.1) este stabil în buclă deschisă, conduce la o strategie de comandă relativ insensibilă la erori în determinarea parametrilor.

Pentru  $\rho = 0$  se obține regulatorul de varianță minimă.

Având în vedere că comanda  $u(t)$  este necorelată cu valorile viitoare ale zgomotului și în plus anulează la fiecare pas predicția funcției auxiliare  $\phi$ , se poate scrie pe baza relației (3.3.3.20)

$$\phi(t) = \hat{\phi}(t/t-k) + \xi(t) = \xi(t)$$

În aceste condiții sînt adevărate următoarele expresii:

$$\begin{aligned} E \phi(t) \phi(t-\tau) &= 0 ; & |\tau| \geq k \\ E \phi(t) y(t-\tau) &= 0 ; & \tau \geq k \\ E \phi(t) u(t-\tau) &= 0 ; & \tau \geq k \\ E \phi(t) w(t-\tau) &= 0 ; & (\forall) \tau \end{aligned} \quad (3.3.3.28)$$

Funcțiile de corelație (3.3.3.28) se pot utiliza pentru verificarea convergenței regulatorului autoacordabil obținut prin sinteză către regulatorul care utilizează valorile reale ale parametrilor procesului.

Considerațiile făcute în paragraful 3.3.1 privind posibilitatea de a asigura eroarea staționară nulă în prezența semnalelor exogene de tip treaptă unitară prin introducerea în algoritmul de reglare a unui compensator de tip PI rămîn valabile și în acest caz.

#### Regulatorul autoacordabil implicit

În acest caz se pune problema sintezei comenzii autoacordabile pentru sistemul descris de relația (3.3.3.1), parametrii considerîndu-se însă necunoscuți.

S-a arătat în secțiunea precedentă că utilizarea criteriului (3.3.3.3) și a sistemului (3.3.3.1) conduce la sistemul echivalent:

$$\begin{aligned} C(z^{-1}) \phi(t+k/t) &= G(z^{-1})y(t) + L(z^{-1})u(t) - H(z^{-1})w(t) + d \\ \phi(t+k) &= \hat{\phi}(t+k/t) + \xi(t+k) \end{aligned} \quad (3.3.3.29)$$

în care  $\xi(t+k)$  este necorelat cu  $y(t-1)$ ,  $u(t-1)$ ,  $w(t-1)$ , pentru  $i > 0$ , deci nici cu  $\hat{\Phi}(t+k/t)$ .

În aceste condiții, definind vectorul:

$$s^T(t) \triangleq [y(t), y(t-1), \dots, u(t), u(t-1), \dots, w(t), -w(t-1), \dots, 1] \quad (3.3.3.30)$$

al datelor de măsură cunoscute și:

$$\theta^T(t) \triangleq [\xi_0, \xi_1, \dots; \iota_0, \iota_1, \dots; h_0, h_1, \dots; \delta] \quad (3.3.3.31)$$

vectorul parametrilor necunoscuți, ecuația (3.3.3.29) poate fi scrisă ca un model de regresie, care pentru cazul  $C(z^{-1}) = 1$  are forma:

$$\Phi(t+k) = s^T(t)\theta(t) + \xi(t+k) \quad (3.3.3.32)$$

Pentru modelul (3.3.3.1) funcția auxiliară  $\phi$  poate fi interpretată ca ieșire (auxiliară).

Ca  $\xi(t+k)$  este necorelat cu componentele vectorului (3.3.3.30) rezultă că estimatul  $\hat{\theta}(t)$  al vectorului parametrilor  $\theta(t)$  poate fi obținut utilizând un algoritmul recursiv CMRP.

Pentru cazul general în care  $C(z^{-1}) \in \Pi_n$ , ecuația (3.3.3.32) devine:

$$\Phi(t+k) = s^T(t)\theta(t) + (1-C)\hat{\Phi}(t+k/t) + \xi(t+k) \quad (3.3.3.33)$$

În acest caz însă  $\hat{\Phi}(t+k/t)$  este corelat cu  $s(t)$ , așa că utilizarea doar a estimatorului recursiv CMRP va conduce la estimări marcate. Dar de fapt estimarea parametrilor prin CMRP-R este urmată de aplicarea strategiei de comandă (3.3.3.24), care este aleasă astfel încât:

$$\begin{aligned} C\hat{\Phi}(t+k/t) &= \hat{G}(z^{-1})y(t) + \hat{L}(z^{-1})u(t) - \hat{H}(z^{-1})w(t) + \hat{\delta} = \\ &= s^T(t)\hat{\theta}(t) = 0 \end{aligned} \quad (3.3.3.34)$$

Deci, dacă  $\hat{\theta} = \theta$ ,  $\hat{\Phi}(t+k/t)$  se anulează la fiecare pas și perturbația din ecuația (3.3.3.33) se reduce doar la  $\xi(t+k)$ , care este necorelată cu  $s(t)$ . Rezultă deci că  $\hat{\theta} = \theta$  este un punct fix al algoritmului.

Procedura de sinteză a regulatorului autoadaptiv cu identificare implicită se desfășoară conform următorului algoritm:

Date inițiale: valori anterioare  $u(t-1)$ ,  $y(t-1)$ ,  $w(t-1)$ ,  $i > 0$ ; valori de inițializare  $\theta(0)$  și  $P(0)$  (dacă este cazul), date regulator.

1. Se citesc valorile curențe  $y(t)$ ,  $w(t)$ .

2. Se calculează funcția auxiliară (ieșirea generalizată)

la momentul  $t$  cu relația:

$$\Phi(t) = P(z^{-1})y(t) - R(z^{-1})w(t-k) + Q(z^{-1})u(t-k)$$

3. Se construiește vectorul:

$$s^T(t-k) = [y(t-k), y(t-k-1), \dots, u(t-k), u(t-k-1), \dots, \\ -w(t-k), -w(t-k-1), \dots, 1]$$

4. Se estimează vectorul parametrilor:

$$\hat{\theta} = [\hat{g}_0, \hat{g}_1, \dots, \hat{l}_0, \hat{l}_1, \dots, \hat{h}_0, \hat{h}_1, \dots, \hat{d}]$$

utilizând o metodă recursivă de estimare pentru modelul (3.3.3.32) sau (3.3.3.33).

În cazul în care termenul  $\hat{d}$  lipsește din modelul (3.3.3.29) el nu mai apare în vectorul  $\hat{\theta}$  și corespunzător nu se mai trece elementul 1 în vectorul de date  $s(t)$ .

5. Se construiește secvența de comandă

$$u(t) = - \frac{1}{\hat{l}_0} \left[ \sum_{i=0} \hat{g}_i y(t-i) + \sum_{i=1} \hat{l}_i u(t-i) - \sum_{i=0} \hat{h}_i w(t-i) + \hat{d} \right]$$

6. La momentul de eșantionare următor se revine la pasul 1.



Cap.4. IDENTIFICAREA ANALITICA SI ANALIZA UNOR  
 MODELE MATEMATICE ALE HIDROGENERATOARELOR  
 UTILIZABILE IN SINTEZA SI SIMULAREA  
 CONDUCERII ADAPTIVE A SISTEMULUI LOR DE  
 EXCITATIE

Se impune din start precizarea că în implementarea conducerii adaptive a excitației hidrogenatoarelor (HG), pentru faza de testare prin simulare a algoritmilor propuși sînt necesare modele matematice (MM) complexe ale procesului, fapt ce se justifică prin dificultățile deosebite legate de realizarea în procesul real a diverselor regimuri de funcționare care trebuie studiate.

Pe de altă parte avîndu-se în vedere că structurile de conducere autoadaptivă implică estimarea parametrilor procesului sau a legii de comandă, din considerente de eficiență de calcule sînt necesare MM de ordin redus cu un număr cît mai mic de parametri de estimat, dar care să respecte esența dinamicii procesului.

Cele menționate se constituie ca motivații ale capitoulului de față în care se prezintă principalele etape și probleme care intervin în identificarea analitică a HG, se analizează rezultatele obținute prin utilizarea în simulare a unor MM de complexități diferite, propunîndu-se în final MM considerate ca fiind cele mai indicate scopurilor amintite.

Cele expuse în continuare constituie în cea mai mare parte rezultatele cercetărilor cuprinse în /Prot.83/Prot.84/Prot.85/Luș.84/Luș.86/Pro.85/Luș.88/Pro.88/. Pentru o urmărire mai ușoară a ideilor se evită repetarea în extenso a demonstrațiilor, dîndu-se însă explicațiile necesare fără a se menționa de fiecare dată trimiterile de rigoare care se vor subînțelege de la sine.

#### 4.1. Identificarea analitică a hidrogenatoarelor

În prezent, ecuațiile de funcționare ale mașinii sincrone se folosesc cu predilecție sub forma teoriei celor două axe, introdusă de Park. Dar, datorită faptului că această teorie a fost preluată simultan de școli diferite de cercetare, există un număr mare de forme de exprimare pentru aceste ecuații. Deosebirile esențiale care se remarcă se referă la asocierea sensurilor pozitive ale curentului și tensiunii la bornele înfășurărilor, la modul de scriere a legii inducției electromagnetice, la alegerea poziției relative a celor două axe de simetrie rotorică, la asocierea curentului și fluxului de înfășurare, la alegerea coeficienților din matricele de transformare, la alegerea mărimilor de bază.

Din acest motiv este necesară o parcurgere atentă a etapelor care conduc la identificarea analitică a HG, care vor fi tratate în continuare.

##### 4.1.1. Determinarea ecuațiilor de funcționare ale mașinii sincrone liniarizate (idealizate), în sistemul de coordonate ale mărimilor de fază

Ipoteze simplificatoare. Ecuațiile mașinii sincrone, obținute în cadrul unei teorii de bază, trebuie să descrie fenomenele esențiale din mașină pe o cale cât mai directă și mai accesibilă. În acest scop se acceptă anumite simplificări față de caracteristicile și fenomenele din mașina reală.

La adoptarea simplificărilor se va avea în vedere faptul că mașina sincronă este o componentă a sistemului electroenergetic și deci, este necesar să se scoată în evidență, în primul rând, mărimile care reliefează fenomenele energetice esențiale din mașină.

Ipotezele simplificatoare se vor împărți în 4 categorii, în funcție de natura lor și de influența lor asupra funcționării mașinii.

I. Ipoteze referitoare la aspectul constructiv al mașinii:

- din punct de vedere constructiv, mașina se consideră perfect simetrică față de axa centrală de rotație rotorică;

- înfășurările se presupun repartizate simetric față de axa lor de simetrie și așezate simetric una față de alta, în concordanță cu cerințele impuse de construcția trifazată; se precizează că pentru reprezentarea mașinii, se utilizează forma concentrată a

înfășurărilor (fig.4.1.1,1);

- se consideră cunoscute toate dimensiunile componentelor mecanice, electrice și izolante ale mașinii;
- se consideră cunoscute calitățile mecanice, electrice și magnetice ale tuturor materialelor componente ale mașinii.

II. Ipoteze referitoare la fenomenele cu efect minor asupra fluxului rezultat în întrefier:

- se neglijează modificarea rezistenței înfășurărilor cu temperatura, precum și fenomenul pelicular din conductoarele înfășurărilor;
- se neglijează efectul creștăturilor asupra fluxului din întrefier;
- se neglijează efectul capacităților dintre spirele înfășurărilor sau dintre înfășurări, deoarece nu se vor urmări fenomenele de undă.

III. Ipoteze referitoare la fenomenele cu efect major asupra fluxului principal rezultat în întrefier, dar pentru care se acceptă o reprezentare simplificată;

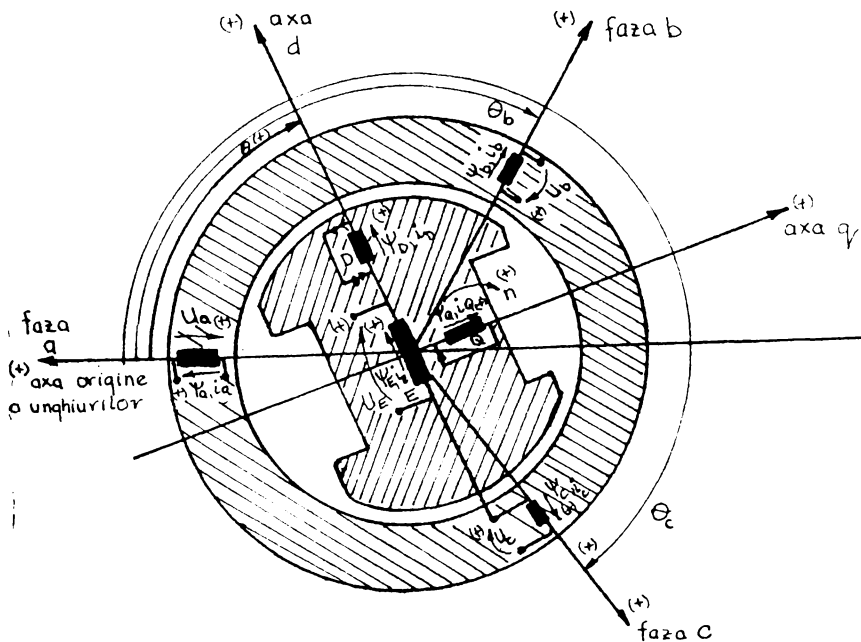


Fig.4.1.1.1. Reprezentarea simplificată a mașinii sincrone reale, cu principalele convenții adoptate pentru sensurile pozitive ale mărimilor caracteristice

- înfășurarea de amortizare, în conformitate cu efectul său rezultat se consideră formată din două înfășurări scurtcircuitate, cu parametrii constanți, fără cuplaje între ele, așezate fiecare într-una din axele rotorice /Kaz.62/Kim.56/Oli.68/;

- tensiunile magnetotoare ale tuturor înfășurărilor din mașină se consideră repartizate în întrefier cosinusoidal în lungul pasului polar, în raport cu axele de simetrie ale înfășurărilor respective /Kaz.62/Dor.69/Hum.67/;

IV. Ipoteze referitoare la fenomenele neliniare introduse de miezul magnetic al mașinii, dar care se neglijează în teoria liniară:

- se neglijează saturația mașinii, ceea ce corespunde faptului că toate inductivitățile sînt constante în raport cu tensiunea sau curentul. De asemenea, prin aceasta se poate aplica principiul suprapunerii tensiunilor electromotoare pentru obținerea fluxului rezultat în întrefier /Adk.62/Oli.66/;

- se neglijează curenții turbionari induși în miezul magnetic de variația fluxului /Dor.66/Kam.68/Ned.68/;

- se neglijează fenomenul de histereză magnetică din miezul magnetic al mașinii /Dor.66/Kan.68/Ned.68/.

V. Notații și convenții adoptate pentru sensurile pozitive ale mărimilor caracteristice din mașină:

- pentru indicii înfășurărilor de fază statorice: a, b, c;

- pentru indicii înfășurărilor rotorice: E pentru excitație, D pentru amortizarea în axa polară, Q pentru amortizarea în axa interpolară;

- pentru parametrii înfășurărilor: R pentru rezistența în /Ohmi/ și L pentru inductivitatea în /Henry/, purtînd indicii înfășurărilor la care se referă;

- pentru valorile momentane ale mărimilor variabile aferente înfășurărilor: u pentru tensiunea la borne în /Volți/, i pentru curentul în înfășurări în /Amperi/,  $\Psi$  pentru înălțuirea înfășurărilor în /Weber x spire/, fiecare purtînd indicii înfășurărilor la care se referă;

- pentru cuplurile raportate la întrefier:  $C_m$  pentru cuplul mecanic,  $C_e$  pentru cuplul electromagnetic,  $C_f$  pentru cuplul de frecare în /Newtoni x metru/;

- pentru axele de simetrie ale rotorului: d pentru axa polară și q pentru axa interpolară;

- pentru poziția momentană a rotorului:  $\theta$  în grade electrice;

- pentru turația rotorului:  $n$  în /rotații/secundă/;
- pentru numărul perechilor de poli:  $p$ , în număr perechi de poli;
- pentru momentul de inerție al rotorului, turbinei + generatorului (al maselor de rotație) redus la arborele mașinii:  $J$  în  $/\text{kg} \times \text{m}^2/$ .

Considerentele de bază avute în vedere la adoptarea sensurilor pozitive ale mărimilor caracteristice din mașină sînt următoarele:

- să se respecte legile de bază din electromagnetism;
- valorile reale ale mărimilor să rezulte în majoritatea cazurilor pozitive, respectiv sensurile de referință adoptate să corespundă cu regimul normal de funcționare a mașinii;

Principalele convenții adoptate pentru sensurile pozitive sînt cele figurate prin săgeți în fig.4.1.1.1. În plus se fac următoarele precizări:

- Se alege drept axă origine a unghiurilor, axa pozitivă a fazei "a". Toate unghiurile din mașină se determină în raport cu această axă și se consideră pozitive în sensul pozitiv al rotației rotorului.

- Poziția momentană a rotorului se caracterizează prin unghiul  $\theta$  dintre axele pozitive "a" și "d", măsurat în sens pozitiv.

- Fluxul (înlănțuirea) în fiecare înfășurare se consideră pozitiv dacă este orientat în același sens cu axa înfășurării respective.

- Curenții din înfășurări se consideră pozitivi în același sens cu axele pozitive ale înfășurărilor, acestea fiind considerate realizate înspre dreapta, dinspre borna de intrare a curentului; în acest mod legătura dintre înlănțuire și curent se va exprima sub forma:  $\Psi = + I \cdot i$

- Regimul de bază al mașinii se consideră regimul de generator. Ca urmare, asocierea curentului cu tensiunea la borne se adoptă în concordanță cu situația fiecărei înfășurări. Înfășurarea de excitație fiind alimentată din exterior reprezintă un consumator, iar înfășurările statorice furnizează energia spre exterior, deci reprezintă o sursă, vectorul de energie Poynting trebuind să rezulte pozitiv pentru fiecare înfășurare, în concordanță cu rolul ei.

- Tensiunea electromotoare indusă în înfășurare se obține conform legii lui Lenz-Faraday sub forma:  $e = - \frac{d\Psi}{dt}$  și este echivalentă cu o cădere de tensiune în înfășurare egală cu  $e' = + \frac{d\Psi}{dt}$ .

Ca urmare, tensiunea la bornele înfășurării se va exprima sub forma:

$$\begin{aligned} & - \text{pentru o înfășurare consumatoare: } u = Ri + \frac{d\Psi}{dt} \\ & - \text{pentru o înfășurare sursă: } u = -(Ri + \frac{d\Psi}{dt}) \end{aligned}$$

- Cuplurile care acționează asupra rotorului se consideră pozitive dacă acționează în sensul de rotație pozitiv.

Ecuatiile de funcționare ale mașinii sincrone reale liniarizate. Pe baza ipotezelor menționate și a convențiilor adoptate se obține reprezentarea simplificată a mașinii sincrone reale (fig.4.1.1.1).

Ecuatiile de funcționare ale acestei mașini rezultă aplicând:

a) Legea circuitului electric pentru fiecare înfășurare:

$$\begin{aligned} u_a &= -R_a i_a - \frac{d\Psi_a}{dt}; & u_E &= R_E i_E + \frac{d\Psi_E}{dt} \\ u_b &= -R_b i_b - \frac{d\Psi_b}{dt}; & u_D &= R_D i_D + \frac{d\Psi_D}{dt} = 0 \\ u_c &= -R_c i_c - \frac{d\Psi_c}{dt}; & u_Q &= R_Q i_Q + \frac{d\Psi_Q}{dt} = 0 \end{aligned} \quad (4.1.1.1)$$

b) Relațiile lui Maxwell referitoare la inductivități:

$$\begin{aligned} \Psi_a &= L_{aa} i_a + L_{ab} i_b + L_{ac} i_c + L_{aE} i_E + L_{aD} i_D + L_{aQ} i_Q \\ \Psi_b &= L_{ba} i_a + L_{bb} i_b + L_{bc} i_c + L_{bE} i_E + L_{bD} i_D + L_{bQ} i_Q \\ \Psi_c &= L_{ca} i_a + L_{cb} i_b + L_{cc} i_c + L_{cE} i_E + L_{cD} i_D + L_{cQ} i_Q \\ \Psi_E &= L_{Ea} i_a + L_{Eb} i_b + L_{Ec} i_c + L_{EE} i_E + L_{ED} i_D + L_{EQ} i_Q \\ \Psi_D &= L_{Da} i_a + L_{Db} i_b + L_{Dc} i_c + L_{DE} i_E + L_{DD} i_D + L_{DQ} i_Q \\ \Psi_Q &= L_{Qa} i_a + L_{Qb} i_b + L_{Qc} i_c + L_{QE} i_E + L_{QD} i_D + L_{QQ} i_Q \end{aligned} \quad (4.1.1.2)$$

c) Teorema momentului cinetic și teorema generalizată a forțelor magnetice:

$$C_e + C_m = \frac{J}{p} \frac{d^2\theta}{dt^2} + C_f \quad (4.1.1.3)$$

sau

$$\frac{p}{2} \frac{d\theta}{dt} / i / f_t \left( \frac{d}{dt} / L / f_t + C_m = \frac{J d^2\theta}{p dt^2} + k_f \frac{d\theta}{dt} \right)$$

Observație: Notațiile matriciale utilizate pentru mărimile caracteristice înfășurărilor mașinii reale sînt următoarele:

1) Indicii utilizați: s - pentru mărimile statorice; r - pentru mărimile rotorice; ss, rr - pentru mărimile proprii statorice, respectiv rotorice; sr, rs - pentru mărimile mutuale stator și

rotor; f - pentru mărimile exprimate în coordonate de fază ale mașinii, respectiv în sistemul de coordonate fix al mașinii reale, legat de stator; t - pentru matricile transpuse.

ii) Notațiile matriceale:

Matricile coloană ale variabilelor:

$$/u/_{sf} = \begin{bmatrix} u_a \\ u_b \\ u_c \end{bmatrix}, \quad /u/_{rf} = \begin{bmatrix} u_E \\ u_D \\ u_Q \end{bmatrix} = \begin{bmatrix} u_E \\ 0 \\ 0 \end{bmatrix}, \quad /u/_{f} = \begin{bmatrix} /u/_{sf} \\ \cdot \\ /u/_{rf} \end{bmatrix}$$

$$/i/_{sf} = \begin{bmatrix} i_a \\ i_b \\ i_c \end{bmatrix}, \quad /i/_{rf} = \begin{bmatrix} i_E \\ i_D \\ i_Q \end{bmatrix}, \quad /i/_{f} = \begin{bmatrix} /i/_{sf} \\ /i/_{rf} \end{bmatrix}$$

$$/\Psi/_{sf} = \begin{bmatrix} \Psi_a \\ \Psi_b \\ \Psi_c \end{bmatrix}, \quad /\Psi/_{rf} = \begin{bmatrix} \Psi_E \\ \Psi_D \\ \Psi_Q \end{bmatrix}, \quad /\Psi/_{f} = \begin{bmatrix} /\Psi/_{sf} \\ /\Psi/_{rf} \end{bmatrix}$$

Matricile pătrate ale parametrilor:

$$/R/_{ssf} = \begin{bmatrix} R_{aa} & R_{ab} & R_{ac} \\ R_{ba} & R_{bb} & R_{bc} \\ R_{ac} & R_{cb} & R_{cc} \end{bmatrix} = \begin{bmatrix} R & 0 & 0 \\ 0 & R & 0 \\ 0 & 0 & R \end{bmatrix} = R/I/$$

$$/R/_{rrf} = \begin{bmatrix} R_{EE} & R_{ED} & R_{EQ} \\ R_{DE} & R_{DD} & R_{DQ} \\ R_{QE} & R_{QD} & R_{QQ} \end{bmatrix} = \begin{bmatrix} R_E & 0 & 0 \\ 0 & R_D & 0 \\ 0 & 0 & R_Q \end{bmatrix}$$

$/R/_{rsf} = /R/_{srf} = /0/$  și deci se poate nota:

$$/R/_{ssf} = /R/_{sf}, \quad /R/_{rrf} = /R/_{rf}$$

$$/R/_{f} = \begin{bmatrix} /R/_{sf} & /0/ \\ /0/ & /R/_{rf} \end{bmatrix}$$

$$/L/_{ssf} = \begin{bmatrix} L_{aa} & L_{ab} & L_{ac} \\ L_{ba} & L_{bb} & L_{bc} \\ L_{ca} & L_{cb} & L_{cc} \end{bmatrix} \quad /L/_{rsf} = \begin{bmatrix} L_{aE} & L_{aD} & L_{aQ} \\ L_{bE} & L_{bD} & L_{bQ} \\ L_{cE} & L_{cD} & L_{cQ} \end{bmatrix}$$

$$/L/_{rrf} = \begin{bmatrix} L_{EE} & L_{ED} & L_{EQ} \\ L_{DE} & L_{DD} & L_{DQ} \\ L_{QE} & L_{QD} & L_{QQ} \end{bmatrix} \quad /L/_{rsf} = \begin{bmatrix} L_{Ea} & L_{Eb} & L_{Ec} \\ L_{Da} & L_{Db} & L_{Dc} \\ L_{Qa} & L_{Qb} & L_{Qc} \end{bmatrix}$$

$$/L/_{f} = \begin{bmatrix} /L/_{ssf} & - & /L/_{rsf} \\ - & - & - \\ /L/_{rsf} & - & /L/_{rrf} \end{bmatrix}$$

$$/\Psi/_{f} = /L/_{f}/i/_{f}$$

Cu această observație sistemele (4.1.1.1) și (4.1.1.2) se pot exprima sub forma:

$$/u/_{sf} = -/R/_{sf}/i/_{sf} - \frac{d}{dt}/\Psi/_{sf} \quad (4.1.1.4)$$

$$/u/_{rf} = /R/_{rf}/i/_{rf} + \frac{d}{dt}/\Psi/_{rf}$$

unde:

$$/\Psi/_{sf} = /L/_{ssf}/i/_{sf} + /L/_{srf}/i/_{rf} \quad (4.1.1.5)$$

$$/\Psi/_{rf} = /L/_{rsf}/i/_{sf} + /L/_{rrf}/i/_{rf}$$

#### 4.1.2. Mașina sincronă echivalentă. Transformarea d, q, o.

Inductivitățile sînt în general dependente de unghiul  $\theta$ , sistemele de ecuații fiind astfel neliniare. Neliniaritatea amintită este cauzată de faptul că mărimile au fost exprimate în sistemul de coordonate de fază, care este un sistem de referință fix legat de stator; față de acest sistem, configurația circuitului magnetic se modifică o dată cu modificarea poziției rotorului.

Dacă se adoptă un sistem de referință legat de rotor, deoarece statorul este simetric, în orice moment, pentru orice poziție a rotorului, configurația circuitului magnetic privit dinspre rotor rămîne neschimbată. În acest caz este necesar să se determine componentele mărimilor statorice față de noul sistem mobil de referință care se adoptă cu axele suprapuse peste axele "d" și "q" rotorice. Toate mărimile variabile din mașină urmează să fie descompuse (proiectate) în componente după aceste axe. Deoarece înfășurările rotorice sînt orientate după noile axe de referință, proiecția mărimilor rotorice este egală chiar cu mărimile însăși, adică transformarea mărimilor rotorice se efectuează cu o matrice unitară.

Proiecția mărimilor statorice este funcție de poziția momentană a rotorului (fig.4.1.2.1). Astfel, mărirea rezultată în axa "d" ( $M_d$ ), din partea mărimilor de fază ( $M_a, M_b, M_c$ ) se obține sub forma:



$$M_d = K_d [M_a \cos\theta + M_b \cos(\theta - 120^\circ) + M_c \cos(\theta - 240^\circ)]$$

iar în axa "q":

$$M_q = K_q [M_a \sin\theta + M_b \sin(\theta - 120^\circ) + M_c \sin(\theta - 240^\circ)]$$

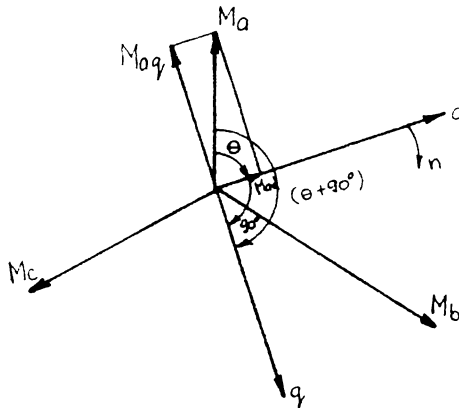


fig.4.1.2.1. Poziția relativă a sistemelor de referință fix și mobil

În scopul obținerii unei transformări coerente, este necesar ca în noul sistem de coordonate să se introducă trei variabile, ca și în vechiul sistem de coordonate. A treia componentă a noului sistem se definește analog ca și componenta omopolară din sistemul de componente simetrice:

$$M_o = K_o [M_a + M_b + M_c]$$

$K_d$ ,  $K_q$  și  $K_o$  sînt constante care trebuiesc determinate.

Mașina transformată echivalentă are următoarele caracteristici (fig.4.1.2.2):

- are aceeași configurație geometrică și aceleași caracteristici mecanice ca și mașina reală;
- are aceleași înfășurări rotorice ca și mașina reală;
- are trei înfășurări statorice fixe, cu axele orientate la fel ca și axele mașinii reale și două înfășurări statorice rotitoare cu axele orientate după axa "d", respectiv "q".

Transformarea se va face astfel încît mașina echivalentă să prezinte: aceeași inducție în întrefier; aceeași energie magnetică momentană; aceeași putere electrică momentană ca și mașina reală.

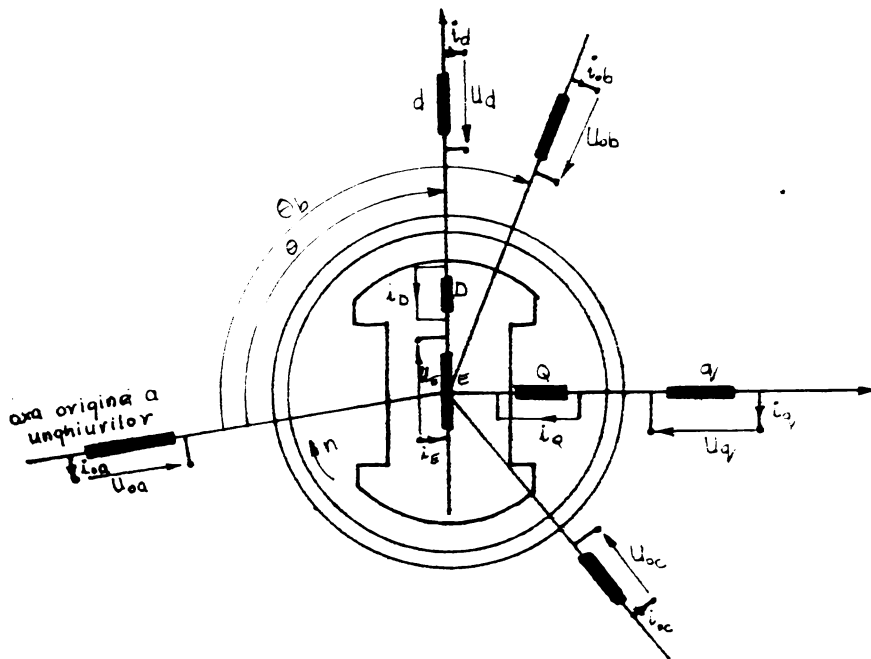


Fig.4.1.2.2. Reprezentarea mașinii sincrone transformată echivalentă.

Determinarea formei matricilor de transformare. În urma transformării, mărimile exprimate în noul sistem de coordonate (notate cu indicii d) se vor determina în funcție de mărimile din vechiul sistem de coordonate (coordonatele de fază), prin intermediul unor matrici de transformare, în general distincte pentru fiecare tip de variabilă:

$$/u/d = /T/u/f; /i/d = /T/i/f; /\Psi/d = /T/\Psi/f,$$

unde  $/u/d$ ,  $/i/d$ ,  $/\Psi/d$  sînt matricile coloană ale variabilelor, exprimate în sistemul de coordonate d, q, o.

Observație: Notățiile matriceale utilizate pentru mărimile caracteristice înfășurărilor mașinii transformate sînt următoarele:

$$/u/sd = /u/sd = \begin{bmatrix} u_d \\ u_q \\ u_o \end{bmatrix}; \quad /u/rd = /u/rf, \quad /u/d = \begin{bmatrix} /u/sd \\ /u/rd \end{bmatrix}$$

$$/i/_{sd} = \begin{bmatrix} i_d \\ i_q \\ i_o \end{bmatrix} ; \quad /i/_{rd} = /i/_{rf}, \quad /i/_{d} = \begin{bmatrix} /i/_{sd} \\ /i/_{rd} \end{bmatrix}$$

$$/\Psi/_{sd} = \begin{bmatrix} \Psi_d \\ \Psi_q \\ \Psi_o \end{bmatrix} ; \quad /\Psi/_{rd} = /\Psi/_{rf}, \quad /\Psi/_{d} = \begin{bmatrix} /\Psi/_{sd} \\ /\Psi/_{rd} \end{bmatrix}$$

Pentru a determina cele 3 matrici de transformare  $/T/_{u}$ ,  $/T/_{i}$  și  $/T/$  se utilizează condițiile de echivalență energetică a celor două mașini.

Din condiția de egalitate a energiei magnetice și cea de egalitate a puterilor electrice momentane, rezultă:

$$/T/_{u} = /T/_{\psi} = /T/^{-1}it$$

În plus se impune condiția suplimentară ca matricea de transformare pentru curenți să fie egală cu matricea de transformare pentru tensiuni.

$$/T/_{i} = /T/_{u} = (/T/_{\psi}) = /T/$$

Matricea de transformare  $/T/$  se referă la mărimile tuturor înfășurărilor din mașină și ea se poate descompune în submatrici de transformare pentru mărimile statorice, respectiv rotorice:

$$/T/ = \begin{bmatrix} /T/_{s} & /0/ \\ /0/ & /T/_{r} \end{bmatrix}$$

unde:

$$/T/_{s} = \begin{bmatrix} K_d & 0 & 0 \\ 0 & K_q & 0 \\ 0 & 0 & K_o \end{bmatrix} \begin{bmatrix} \cos\theta & \cos(\theta - 120) & \cos(\theta - 240) \\ -\sin\theta & -\sin(\theta - 120) & -\sin(\theta - 240) \\ 1 & 1 & 1 \end{bmatrix}$$

și  $/T/_{r} = 1$

(4.1.2.1)

Pentru determinarea constantelor  $K_d$ ,  $K_q$ ,  $K_o$  se impune respectarea relației:  $/T/ = /T/_{t}^{-1}$ , ceea ce conduce la:

$$K_d = \sqrt{\frac{2}{3}} ; \quad K_q = \sqrt{\frac{2}{3}} ; \quad K_o = \sqrt{\frac{1}{3}}$$

astfel matricea de transformare pentru mărimile statorice devine:

$$/T/_s = \sqrt{\frac{2}{3}} \begin{bmatrix} \cos\theta & \cos(\theta - 120) & \cos(\theta - 240) \\ -\sin\theta & -\sin(\theta - 120) & -\sin(\theta - 240) \\ \frac{1}{\sqrt{2}} & \frac{1}{\sqrt{2}} & \frac{1}{\sqrt{2}} \end{bmatrix}$$

iar inversa ei:

$$/T/_s^{-1} = /T/_st = \sqrt{\frac{2}{3}} \begin{bmatrix} \cos\theta & -\sin\theta & \frac{1}{\sqrt{2}} \\ \cos(\theta - 120) & -\sin(\theta - 120) & \frac{1}{\sqrt{2}} \\ \cos(\theta - 240) & -\sin(\theta - 240) & \frac{1}{\sqrt{2}} \end{bmatrix}$$

Ecuatiile de funcționare ale mașinii în sistemul de coordonate d, q, o. Dacă se aplică sistemului de ecuații (4.1.1.4), (4.1.1.5) și (4.1.1.3), transformările (4.1.2.1), ținând cont de dezvoltările și notațiile din /Cri.76/, /Cri.77/Prot.84/Prot.85/ se obține în final:

$$\left\{ \begin{array}{l} u_d = -Ri_d - \frac{d\Psi_d}{dt} + \omega\Psi_q \\ u_q = -Ri_q - \frac{d\Psi_q}{dt} - \omega\Psi_d \\ u_o = -Ri_o - \frac{d\Psi_o}{dt} \\ u_E = R_E i_E + \frac{d\Psi_E}{dt} \\ u_D = R_D i_D + \frac{d\Psi_D}{dt} = 0 \\ u_Q = R_Q i_Q + \frac{d\Psi_Q}{dt} = 0 \\ C_m = p(i_d\Psi_q - i_q\Psi_d) + \frac{J}{p} \frac{d\omega}{dt} + k_F\omega \\ \frac{d\theta}{dt} = \omega \end{array} \right. \quad (4.1.2.2)$$

unde:

$$\begin{array}{l} \Psi_d = L_{dd}i_d + L_{dE}i_E + L_{dD}i_D \\ \Psi_q = L_{qq}i_q + L_{dE}i_E + L_{dD}i_D + L_{qQ}i_Q \\ \Psi_o = L_{oo}i_o + L_{dE}i_E + L_{dD}i_D \\ \Psi_E = L_{Ed}i_d + L_{EE}i_E + L_{ED}i_D \\ \Psi_D = L_{Dd}i_d + L_{DE}i_E + L_{DD}i_D \\ \Psi_Q = L_{Qq}i_q + L_{QQ}i_Q \end{array}$$

#### 4.1.3. Reducerea mărimilor din mașina sincronă la nivelul mărimilor statorice

În urma rezolvării sistemului de ecuații (4.1.2.2) vor rezulta valorile mărimilor variabile transformate. Din cauză că numărul de spire al diferitelor înfășurări este mult diferit, valorile reale ale curenților, tensiunilor, fluxurilor, parametrilor sînt diferite de la o înfășurare la alta.

Această situație poate sugera ideea că participarea diferitelor înfășurări la fenomenele din mașină este mult diferită. În realitate, contribuția înfășurării este dată de tensiunea magnetomotoare a înfășurării ( $iN$ ), care este de ordin de mărime apropiat pentru toate înfășurările.

Cunoașterea valorilor reale ale mărimilor este de interes pentru proiectarea circuitelor componente ale mașinii, dar din punct de vedere funcțional interesează efectul rezultat al fiecărei înfășurări, deci tensiunea sa magnetomotoare. În acest scop se va efectua o reducere a variabilelor și parametrilor la nivelul aceleiași înfășurări. Deoarece interesează funcționarea mașinii ca și componentă a sistemului electro-energetic, la care mașina este conectată prin înfășurările statorice, reducerea se va efectua astfel încît mărimile statorice se mențin neschimbate, iar mărimile din celelalte înfășurări se reduc la nivelul acestora.

Reducerea se va efectua în așa fel încît, pentru o anumită axă de simetrie un curent util de 1 A (real în stator, redus în rotor), în orice înfășurare să producă același flux în întrefier indiferent de înfășurare. Deoarece reactanța magnetică utilă este mică pentru toate înfășurările aflate în aceeași axă de simetrie, rezultă că toate înfășurările, reale sau reduse, trebuie să aibă același număr de spire, egal cu numărul de spire al înfășurărilor statorice din axa respectivă.

Notății:  $N$  - numărul de spire al înfășurării respective

"'" - mărimile reduse

Se vor reduce toate mărimile variabile rotorice, ceea ce este echivalent cu aplicarea unor relații de transformarea mărimilor rotorice, de forma:

$$/u/'_{rd} = /T/'_r /u/_{rd} ; /i/'_{rd} = \left\{ /T/'_r \right\}^{-1} /i/_{rd} ; /\Psi/'_{rd} = /T/'_r /\Psi/_{rd}$$

$$/T/'_r = \begin{bmatrix} \frac{N_d}{N_E} & 0 & 0 \\ 0 & \frac{N_d}{N_D} & 0 \\ 0 & 0 & \frac{N_g}{N_Q} \end{bmatrix} \quad \text{respectiv:} \quad \left\{ /T/'_r \right\}^{-1} = \begin{bmatrix} \frac{N_E}{N_d} & 0 & 0 \\ 0 & \frac{N_D}{N_d} & 0 \\ 0 & 0 & \frac{N_Q}{N_g} \end{bmatrix}$$

Pentru parametrii reduși rezultă relațiile:

$$/R/'_{sd} = /R/_{sd} \quad \text{și} \quad /R/'_{rd} = /T/'_r /R/_{rd} /T/'_r$$

$$/i/'_{srd} = /i/_{srd} /T/'_r; \quad /i/'_{rsd} = /T/'_r /i/_{rsd}; \quad /i/'_{rrd} = /T/'_r /i/_{rrd} /T/'_r$$

Observații: - Se notează cu  $\bar{G}$  indicii pentru inductivitățile de dispersie și cu  $h$  indicii pentru inductivitatea utilă corespunzătoare fluxului util.

- Se vor nota în continuare cu  $R_m$  reductanțele circuitelor magnetice, cu indicii corespunzători.

- Se presupune că fiecare înfășurare este înlănțuită de un flux de dispersie propriu și de un flux util, comun pentru toate înfășurările din axa respectivă.

In acest caz, reductanțele magnetice utile proprii și cele mutuale, după o anumită axă, sînt egale.

$$R_{mddh} = R_{mEEh} = R_{mDDh} = R_{mEd} = R_{mED} = R_{mdd}$$

#### 4.1.4. Trecerea la sistemul de ecuații în unități relative

Pentru a se exprima ecuațiile în unități relative se aleg mărimile de bază identice pentru rotor și stator și egale cu mărimile nominale statorice. Această alegere corespunde practicii abordate pentru problemele de sistem electroenergetic; de asemenea ea este rațională pentru cazul cînd ecuațiile sînt exprimate cu mărimile reduse la stator.

Mărimile de bază ce se aleg sînt:

- pentru tensiune:  $U_b = U_n$  (tensiunea nominală între faze a generatorului în /V/);
- pentru puteri:  $S_b = S_n = \sqrt{3} U_n I_n$  (puterea nominală a generatorului /V.A/);
- pentru timp:  $t_b = \frac{1}{\omega_n}$  (inversul pulsației sincrone, în /s/rad/
- pentru unghiuri:  $\theta_b = 1$  (în /radiani/)

Cunoscîndu-se mărimile de bază independente, rezultă mărimile de bază derivate:

- pentru curenți:  $I_b = \frac{S_b}{\sqrt{3} \cdot U_b} = \frac{S_n}{\sqrt{3} \cdot U_n}$  ; /A/
- pentru impedanțe:  $Z_b = \frac{U_{bf}}{I_b} = \frac{U_b^2}{S_b}$  ; /Ω/
- pentru viteza unghiulară:  $\omega_b = \omega_n$  ; /rad/s/
- pentru inductivități:  $L_b = \frac{Z_b}{\omega_b} = \frac{U_b^2}{\omega_b S_b}$  ; /H/
- pentru fluxuri:  $\Psi_b = L_b \cdot I_b = \frac{U_b}{\sqrt{3} \omega_n}$  ; /V.s/
- pentru cupluri:  $C_b = \frac{S_b}{\sqrt{3} \omega_b} \cdot p$  ; /N.m/

Matricile totale de transformare. Din considerațiile precedente rezultă că transformarea mașinii reale idealizate într-o mașină echivalentă presupune parcurgerea următoarelor etape:

- se transformă mărimile statorice de la mărimile de fază la mărimi componente d, q, o aplicându-se matricea de transformare /T/<sub>s</sub>.
- se reduc mărimile rotorice la nivelul mărimilor statorice, aplicându-li-se matricea /T/'<sub>r</sub>.

- se raportează toate mărimile la cele de bază corespunzătoare, obținând mărimile exprimate în unități relative.

Cele trei etape se pot introduce în matrici totale de transformare, pentru toate mărimile, astfel încât între mașina reală și mașina echivalentă trasformată, redusă și cu mărimile exprimate în unități relative, au loc relațiile:

$$\begin{aligned} /u/'_{dr} &= /T/'_{ru} \cdot /u/'_f; \quad /i/'_{dr} = /T/'_{ri} \cdot /i/'_f; \quad /Ψ/'_{dr} = /T/'_r \cdot /Ψ/'_f; \\ & \hspace{15em} (4.1.4.1) \end{aligned}$$

unde matricile de transformare sînt de forma:

$$\begin{aligned} /T/'_{ru} &= \frac{\sqrt{3}}{U_n} \begin{bmatrix} /T/'_s & /0/ \\ /0/ & /T/'_r \end{bmatrix}; \quad /T/'_{ri} = \frac{\sqrt{3} U_n}{S_n} \begin{bmatrix} /T/'_s & /0/ \\ /0/ & /T/'_r^{-1} \end{bmatrix} \\ & \hspace{15em} (4.1.4.2) \end{aligned}$$

$$/T/'_{rΨ} = \frac{\sqrt{3} \omega_n}{U_n} \begin{bmatrix} /T/'_s & /0/ \\ /0/ & /T/'_r \end{bmatrix}$$

iar relațiile de transformare pentru parametri rezultă:

$$/Z/'_{rr} = /T/'_{ru} /Z/'_f /T/'_{ri}^{-1} =$$

$$\frac{1}{U_n^2} \begin{bmatrix} /T/_s & /0/ \\ /0/ & /T/'_r \end{bmatrix} \begin{bmatrix} /Z/_ss & /Z/_sr \\ /Z/_rs & /Z/_rr \end{bmatrix} \begin{bmatrix} /T/_s^{-1} & /0/ \\ /0/ & /T/'_r \end{bmatrix} \quad (4.1.4.3)$$

Ecuatiile mașinii sincrone liniarizate, transformată și redusă la stator, cu mărimile exprimate în unități relative.

Prin aplicarea mărimilor de fază a transformărilor date de relațiile (4.1.4.1), (4.1.4.2) și (4.1.4.3), se obține următorul sistem de ecuații care descrie complet funcționarea mașinii sincrone liniare în orice regim (fără a se mai preciza indicele "prim" pentru mărimile reduse și r pentru unitățile relative):

$$\left\{ \begin{array}{l} u_d = -R i_d - \frac{d\Psi_d}{dt} + \Psi_q \omega \\ u_q = -R i_q - \frac{d\Psi_q}{dt} + \Psi_d \omega \\ u_o = -R i_o - \frac{d\Psi_o}{dt} \\ u_E = R_E i_E + \frac{d\Psi_E}{dt} \\ u_D = R_D i_D + \frac{d\Psi_D}{dt} = 0 \\ u_Q = R_Q i_Q + \frac{d\Psi_Q}{dt} = 0 \\ C_m + (i_q \Psi_d - i_d \Psi_q) = T_m \frac{d\omega}{dt} + K_f \omega \\ \omega = \frac{d\theta}{dt} \end{array} \right. \quad (4.1.4.4a)$$

$$\left\{ \begin{array}{l} \Psi_d = L_{dd\sigma} i_d + L_{ddh}(i_d + i_E + i_D) \\ \Psi_E = L_{EE\sigma} i_E + L_{ddh}(i_d + i_E + i_D) \\ \Psi_q = L_{qq\sigma} i_q + L_{qqh}(i_q + i_Q) \\ \Psi_o = L_{oo} i_o \\ \Psi_D = L_{DD\sigma} i_D + L_{ddh}(i_d + i_E + i_D) \\ \Psi_Q = L_{QQ\sigma} i_Q + L_{qqh}(i_q + i_Q) \end{array} \right. \quad (4.1.4.4b)$$

cu:

$$T_m = \frac{J}{p} \frac{\omega_n^2}{s_n} - \text{constanta de timp mecanică în u.r.}$$



#### 4.1.5. Modelul matematic complet al HG

Din analiza sistemului de ecuații (4.1.4.4) se constată că el conține patru categorii de mărimi, după cum urmează:

a) parametrii electrici, magnetici și mecanici ai mașinii presupuși cunoscuți:  $R_d, R_q, R_o, R_E, R_D, R_Q, L_{dd}, L_{dE}, L_{dD}, L_{qq}, L_{qQ}, L_{oo}, L_{DE}, L_{DD}, L_{QQ}, J, p$ ;

b) variabila independentă, în funcție de care se exprimă celelalte variabile:  $t$ ;

c) variabile de intrare:  $u_d, u_q, u_o, C_m, u_E$ ;

d) variabile de stare:  $\Psi_d, \Psi_q, \Psi_o, \Psi_E, \Psi_D, \Psi_Q, \omega, \theta$ ;

e) variabila de ieșire:  $i_d, i_q, i_o, i_E, i_D, i_Q$ .

S-a ajuns astfel, pentru HG, la un sistem multivariabil de ordinul 8, cu 5 mărimi de intrare și 6 mărimi de ieșire.

Observație: Se menționează că în cazul general unii parametrii (categoria a) de mărimi) nu sînt constanți pentru orice regim și în acest caz ei trebuie exprimați în funcție de mărimile din categoriile d) și e) (se ține seama de fenomenele neliniare - saturația).

De asemenea mărimile din categoria c) depind de mărimile din categoriile d) și e) și anume după reguli care depind de natura legăturilor mașinii sincrone cu exteriorul (legătura cu rețeaua pentru  $u_d, u_q, u_o$ ; legătura cu sistemul de excitație și reglare a tensiunii pentru  $u_E$ ; legătura cu sistemul de reglare a turației și instalația primară pentru  $C_m$ ).

Sistemul de ecuații (4.1.4.4a) poate fi scris sub următoarea formă:

$$\left\{ \begin{array}{l} \frac{d\Psi_d}{dt} = -u_d - Ri_d + \Psi_q \omega \\ \frac{d\Psi_q}{dt} = -u_q - Ri_q - \Psi_d \omega \\ \frac{d\Psi_o}{dt} = -u_o - Ri_o \\ \frac{d\Psi_E}{dt} = -u_E - R_E i_E \\ \frac{d\Psi_D}{dt} = -R_D i_D \\ \frac{d\Psi_Q}{dt} = -R_Q i_Q \\ \frac{d\omega}{dt} = \frac{1}{T_m} (C_m - K_f \omega - C_\theta) \\ \frac{d\theta}{dt} = \omega \end{array} \right. \quad (4.1.5.1)$$

Notînd:

$$/L/ = \begin{bmatrix} L_{ddr}+L_{ddh} & L_{ddh} & L_{ddh} & 0 & 0 & 0 \\ L_{ddh} & L_{EEr}+L_{ddh} & L_{ddh} & 0 & 0 & 0 \\ L_{ddh} & L_{ddh} & L_{DDr}+L_{ddh} & 0 & 0 & 0 \\ 0 & 0 & 0 & L_{qqr}+L_{qqh} & L_{qqh} & 0 \\ 0 & 0 & 0 & L_{qqh} & L_{QQr}+L_{qqh} & 0 \\ 0 & 0 & 0 & 0 & 0 & L_{oo} \end{bmatrix}$$

sistemul (4.1.4.4b) poate fi scris matriceal

$$/i/ = /L/^{-1} / \Psi/ \quad \text{sau} \quad /i/ = /V// \Psi/ \quad (4.1.5.2)$$

unde:  $/V/ = /L/^{-1}$

Relațiile (4.1.5.1), (4.1.5.2) reprezintă MM-ISI al HG. Ecuațiile de stare pot fi scrise sub forma:

$$\left\{ \begin{array}{l} \frac{d\Psi_d}{dt} = -u_d - R \sum_{j=1}^6 v_{dj} \Psi_j + \omega \Psi_q \\ \frac{d\Psi_D}{dt} = -R_D \sum_{j=1}^6 v_{Dj} \Psi_j \\ \frac{d\Psi_E}{dt} = u_E - R_E \sum_{j=1}^6 v_{Ej} \Psi_j \\ \frac{d\Psi_g}{dt} = -u_g - R \sum_{j=1}^6 v_{gj} \Psi_j - \omega \Psi_d \\ \frac{d\Psi_Q}{dt} = -R_Q \sum_{j=1}^6 v_{Qj} \Psi_j \\ \frac{d\Psi_o}{dt} = -u_o - \frac{R}{L_{oo}} \Psi_o \\ \frac{d\omega}{dt} = \frac{1}{T_m} (C_m - \sum_{j=1}^6 v_{dj} \Psi_j \Psi_q + \sum_{j=1}^6 v_{gj} \Psi_j \Psi_d - K_f \omega) \\ \frac{d\theta}{dt} = \omega \end{array} \right. \quad (4.1.5.3)$$

Schema bloc corespunzătoare este reprezentată în fig.4.1.5.1.

Ecuațiile (4.1.5.1) sau (4.1.5.3) și respectiv (4.1.5.2) reprezintă MM complet (MMC) pentru HG, care respectă cel mai fidel fenomenele ce au loc în mașina sincronă (în lipsa considerării saturației).

Avîndu-se în vedere că se preconizează o conducere adaptivă în timp real a HG se impune reducerea pe cît posibil a timpilor de calcul și necesarului de memorie.

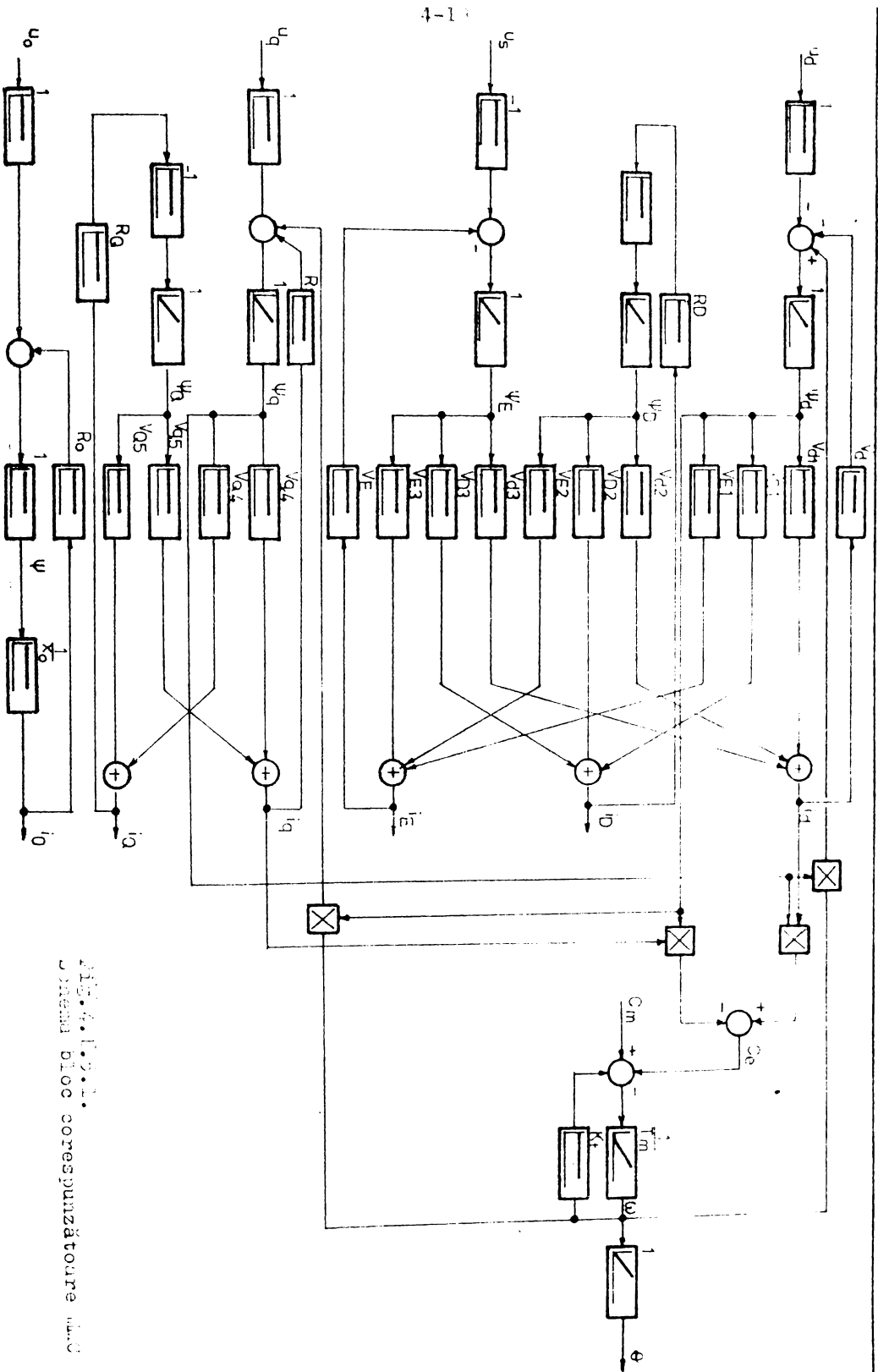


Fig. 4.1.2.1. Sistem bloc compensatoare motor

Apare astfel necesitatea determinării unor MM simplificate de ordin redus, derivate din MMC, care să realizeze un bun compromis între precizie și viteza de calcul.

În această lucrare s-au definit 3 categorii de MM reduse obținute prin 3 etape succesive de simplificări în MMC.

#### 4.1.6. Modele matematice simplificate, de ordin redus ale HG

Studiul comportării HG în regim tranzitoriu se face utilizând ecuațiile sale de funcționare (4.1.5.1), (4.1.5.2), (4.1.5.3). Se obișnuiește utilizarea calculului operațional, care conduce la obținerea unui sistem de ecuații algebrice mai simplu de soluționat. Acest lucru se face în ipoteza considerării vitezei unghiulare  $\omega = \omega_N$  ceea ce nu deformează prea mult realitatea știind că în majoritatea proceselor tranzitorii variația ei nu depășește câteva procente. Condiția  $\omega = \omega_N$  nu se poate aplica însă ecuației de mișcare a rotorului deoarece la variația fluxurilor și curenților, cuplul electromagnetic nu mai echilibrează cuplul mecanic de la arbore. Acest fapt nu deranjează prea mult, deoarece ecuația de mișcare servește doar la stabilirea poziției rotorului prin determinarea unghiului  $\theta$  care nu intervine explicit în celelalte ecuații.

Regimul se consideră simetric, ceea ce conduce la anularea componentelor homopolare și prin urmare ecuațiile corespunzătoare acestor componente se vor neglija în continuare.

Astfel ecuațiile (4.1.5.1) și (4.1.5.2) transpuse în domeniul complex devin:

$$\left\{ \begin{array}{l} U_d = -R_d \cdot I_d - s \Psi_d + \omega_N \cdot \Psi_q \\ U_q = -R_q \cdot I_q - s \Psi_q - \omega_N \cdot \Psi_d \\ U_E = -R_E \cdot I_E + s \Psi_E \\ 0 = -R_D \cdot I_D - s \Psi_D \\ 0 = -R_Q \cdot I_Q - s \Psi_Q \end{array} \right. \quad (4.1.6.1)$$

$$\left\{ \begin{array}{l} \Psi_d = L_d I_d + L_{dh} (I_E + I_D) \\ \Psi_q = L_q I_q + L_{qh} I_Q \\ \Psi_E = L_{dh} (I_d + I_D) + L_E I_E \\ \Psi_D = L_{dh} (I_d + I_E) + L_D I_D \\ \Psi_Q = L_{qh} I_q + L_Q I_Q \end{array} \right.$$

Observații: i) Imaginile variabilelor în operațional s-au notat cu majuscule.

ii) Mărimile sînt exprimate în unități relative.

iii) Condițiile inițiale s-au considerat nule, fapt ce se justifică prin aceea că termenii din ecuațiile diferențiale corespunzători condițiilor inițiale, determină soluția permanentă (de regim staționar) a sistemului, ei neinfluențînd comportarea de regim tranzitoriu.

Rezolvarea acestor ecuații se face prin eliminarea curenților rotorici  $I_E$ ,  $I_D$ ,  $I_Q$  (ultimii doi nefiind accesibili măsurătoarelor directe) introducînd următorii parametri operaționali ai mașinii sincrone:  $L_d(s)$  - inductivitatea operațională longitudinală;  $L_q(s)$  - inductivitatea operațională transversală;  $G_E$  - conductanța operațională, precum și constantele de timp  $T_E$ ,  $T_D$ ,  $T_Q$ , coeficienții de dispersie  $\sigma_{dE}$ ,  $\sigma_{dD}$ ,  $\sigma_{ED}$ ,  $\mu_E$ ,  $\mu_D$ ,  $\sigma_{qQ}$  și inductivitatea supratranzitorie  $L_d'$  (parametri definiți în /Prot.84/.

Analiza fenomenelor din mașina sincronă conduce la definirea următoarelor constante de timp și inductivități cuprinse în TABELUL 4.1.6.1.

TABELUL 4.1.6.1.

| Mărime                               | axa | Notație    | Regimul cu |           |             | Formule, definiții  |
|--------------------------------------|-----|------------|------------|-----------|-------------|---|
|                                      |     |            | Statorul   | Excitația | Amortizorul |   |
| Constante timp tranzitorii           | d   | $T'_{do}$  | gol        | scurt     | gol         | $T'_{do} = T_E$   |
|                                      |     | $T'_d$     | scurt      | scurt     | gol         | $T'_d = \sigma_{dE} T_E$  |
|                                      |     | $T'_D$     | scurt      | gol       | scurt       | $T'_D = \sigma_{dD} T_D$  |
| Constante timp supra/sub tranzitorii | d   | $T''_{do}$ | gol        | scurt     | scurt       | $T''_{do} = \sigma_{ED} T_D$  |
|                                      |     | $T''_d$    | scurt      | scurt     | scurt       | $T''_d = \left[ \frac{1 - \mu_E^2 (1 - \sigma_{ED})}{\sigma_{dE} \sigma_{DE}} \right] T''_{do}$ |
|                                      | q   | $T''_{qo}$ | gol        | -         | scurt       | $T''_{qo} = T_Q$  |
|                                      |     | $T''_q$    | scurt      | -         | scurt       | $T''_q = \sigma_{qQ} T_Q$   |
| Inductivitatea tranzitorie           | d   | $L'_d$     | scurt      | scurt     | gol         | $L'_d = \sigma_{dE} L_d$  |
| Inductivitatea supra-tranzitorie     | d   | $L''_d$    | scurt      | scurt     | scurt       | $L''_d = \left[ \frac{1 - \mu_E^2 (1 - \sigma_{dD})}{\sigma_{dE} \sigma_{ED}} \right] L'_d$     |
|                                      | q   | $L''_q$    | scurt      | -         | scurt       | $L''_q = \sigma_{qQ} L'_q$  |

Exprimînd parametrii operaționali funcție de mărimile defini-  
te anterior și descompunînd în factori se poate scrie:

$$L_d(s) = L_d \frac{1 + (T'_d + T'_D)s + T'_d T''_d s^2}{1 + (T'_{do} + T'_D)s + T'_{do} T''_{do} s^2} = L_d \frac{(1 + \beta_1 s)(1 + \beta_2 s)}{(1 + \alpha_1 s)(1 + \alpha_2 s)} =$$

$$= L''_d + \frac{A}{1 + \alpha_1 s} + \frac{B}{1 + \alpha_2 s} \quad (4.1.6.2)$$

$$L_q(s) = L_q \frac{1 + T''_q s}{1 + T''_{qo} s} = L''_q + \frac{C}{1 + T''_{qo} s}$$

$$G_E(s) = \frac{L_{dh}}{R_E} \frac{1 + \mu_D T_D s}{1 + (T'_{do} + T'_D)s + T'_{do} T''_{do} s^2} = \frac{G_1}{1 + \alpha_1 s} + \frac{G_2}{1 + \alpha_2 s}$$

Coefficienții introduși rezultă prin identificare, obținîndu-  
se în final:

$$A = \frac{(\alpha_1 L_d + \alpha_2 L''_d) - L_d(\beta_1 + \beta_2)}{\alpha_1 - \alpha_2}; \quad B = \frac{L_d(\beta_1 + \beta_2) - (\alpha_2 L_d + \alpha_1 L''_d)}{\alpha_1 - \alpha_2};$$

$$C = L_q - L''_q; \quad (4.1.6.3)$$

$$G_1 = \frac{L_{dh}}{R_E} \frac{\alpha_1 - \mu_D T_D}{\alpha_1 - \alpha_2}; \quad G_2 = \frac{L_{dh}}{R_E} \frac{\mu_D T_D - \alpha_2}{\alpha_1 - \alpha_2}$$

Se introduc următoarele notații cu semnificația fizică de tensiuni  
electromotoare:

$$E''_q = -(\Psi_d - L''_d I_d) \omega_N$$

$$E''_d = (\Psi_q - L''_q I_q) \omega_N \quad (4.1.6.4)$$

$$E'_q = -\frac{\omega}{1 + \alpha_1 s} (A I_d + G_1 U_E)$$

Totuși datorită faptului că nu se reduce ordinul de mărime al  
sistemului de ecuații, MM rezultat prezintă doar un interes metodo-  
logic, avantajul lui principal constînd din considerentul că per-  
mite obținerea simplă a altor MM de ordin redus. De asemenea, para-  
metrii care intervin sînt cei care se determină în mod curent în  
practică.

Principalele ipoteze simplificatoare care conduc la determi-  
narea MM de ordin redus sînt următoarele:

a) Intr-o primă etapă se neglijează componenta continuă din  
curenții statorici care se opun modificărilor instantanee a fluxu-  
lui. Analitic aceasta revine la a considera derivatele înlănțuirii-  
lor pe cele două axe ca fiind nule:

$$s\Psi_d = s\Psi_q = 0 \quad (4.1.6.5)$$

Ipoteza este pe deplin justificată atunci când perturbația din sistem nu se produce în circuitul statoric.

Cu aceste considerente se ajunge în final, după substituții succesive /Prot.84/Pro.85/ la un prim model simplificat al HG, MMR1, care după revenirea în domeniul timp are următoarea formă:

$$\frac{d}{dt} e'_q = -\frac{1}{\alpha_1} e'_q - \frac{A}{\alpha_1} \omega_N K_2 e''_q - \frac{A}{\alpha_1} \omega_N K_1 e''_d + \frac{A}{\alpha_1} \omega_N K_1 u_d + \\ + \frac{A}{\alpha_1} \omega_N K_2 u_q - \frac{G_1 \omega_N}{\alpha_1} u_E$$

$$\frac{d}{dt} e''_q = K_6 e'_q - (K_2 K_4 + \frac{1}{\alpha_2}) e''_q - K_1 K_4 e''_d + K_1 K_4 u_d + K_2 K_4 u_q - K_5 u_E$$

$$\frac{d}{dt} e''_d = \frac{L_q L''_q}{T''_{q0}} \omega_N K_1 e'_q - (\omega_N K_3 \frac{L_q - L''_q}{T''_{q0}} + \frac{1}{T''_{q0}}) e''_d + K_3 \omega_N \frac{L_q - L''_q}{T''_{q0}} u_d - \\ - K_1 \omega_N \frac{L_q - L''_q}{T''_{q0}} u_q$$

$$T_n \frac{d\omega_r}{dt} = C_m - C_e - K_f(\omega_r + 1) \quad (4.1.6.6)$$

$$\frac{d\theta_r}{dt} = \omega_r$$

$$C_e = \frac{1}{\omega_N} (E''_d i_d + E''_q i_q) - (L''_d - L''_q) i_d i_q$$

$$i_d = -K_1 u_d - K_2 u_q + K_1 e''_d + K_2 e''_q$$

$$i_q = K_3 u_d - K_1 u_q - K_3 e''_d + K_1 e''_q$$

$$\text{în care: } K_1 = \frac{R}{\Delta}; K_2 = \frac{\omega_N L''_q}{\Delta}; K_3 = \frac{\omega_N L''_d}{\Delta}; K_4 = (\frac{A}{\alpha_1} + \frac{B}{\alpha_2}) \omega_N;$$

$$K_5 = (\frac{G_1}{\alpha_1} + \frac{G_2}{\alpha_2}) \omega_N; K_6 = \frac{1}{\alpha_2} - \frac{1}{\alpha_1}; \Delta = R^2 + \omega_N^2 L''_d L''_q$$

**Observație:** În ecuațiile de mai sus s-a introdus pulsația relativă care se definește cu relația  $\omega_r = \omega - \omega_N$ . Corespunzător unghiul rotorului față de axa de referință statorică fixă va fi:  $\theta = \theta_r + \omega_N t$ , unde  $\theta_r$  reprezintă unghiul dintre axa polilor rotorului și axa sincronă care se rotește cu viteza unghiulară  $\omega_N$ .

În calculul coeficienților din (4.1.6.6) se consideră în plus câteva aproximări și anume:

•  $T'_d + T''_D \approx T'_d + T''_d$ , dar avînd în vedere că  $T'_D \approx T''_d \ll T'_d$  rezultă că:  $\beta_1 = T'_d$ ,  $\beta_2 = T''_d$ ;

•  $T'_{do} + T''_D \approx T'_{do} + T''_{do}$  și avînd în vedere că  $T_D \approx T''_{do} \ll T'_{do}$  rezultă că:  $\alpha_1 = T'_{do}$ ,  $\alpha_2 = T''_{do}$ ;

• Se aproximează:  $A \approx L_d - L'_d$ ;  $B \approx L'_d - L''_d$ ;

• Se consideră de asemenea că  $\alpha_2 \approx \mu_D T_D$ , deci  $G_1 = L_{dh}/R_E$  și  $G_2 = 0$ .

În general erorile care se fac sînt în jur de 5% cu excepția lui B unde erorile pot crește pînă la 10-15%.

Ca exemplu se prezintă valori ale acestor coeficienți, calculate pentru un HG orizontal de tip HOS 285/43-P ( $S_n = 6800$  KVA,  $U_n = 6300$  V,  $\cos \varphi_n = 0,8$ ,  $n_n = 750$  rot/min,  $f_n = 50$  Hz) cu care este echipată CHE-Grebla, valori utilizate în continuare în simulările efectuate:

$$R = 0,0063, R_E = 0,00139, R_D = 0,019, R_Q = 0,00223;$$

$$L_a = 1,567, L_E = 1,5205, L_D = 1,553, L_q = 0,755, L_Q = 0,7015;$$

$$L_{dh} = 1,395, L_{qh} = 0,583, L_q = 0,28714, L_d = 0,2386, L'_q = 0,27048;$$

$$G_{dE} = 0,1832, G_{dD} = 0,2003, G_{DE} = 0,1759, \mu_E = 0,08254,$$

$$\mu_D = 0,1017, G_{qQ} = 0,3583;$$

$$T_E = 3,482, T_D = 0,2601, T'_D = 0,0521, \mu_D T_D = 0,265;$$

$$\alpha_1 = 3,699, \alpha_2 = 0,043, \beta_1 = 0,653, \beta_2 = 0,037, A = 1,292,$$

$$B = 0,036, G_1 = 359,3, G_2 = -1,6;$$

$$T''_{qo} = 0,1, T''_q = 0,359, T'_{do} = 3,482, T''_{do} = 0,048, T'_d = 0,638,$$

$$T''_d = 0,038, L_d - L'_d = 1,28, L'_d - L''_d = 0,048,$$

$$L_{dh}/R_E = 357,7, G_2 = 0.$$

b) Neglijînd influența înfășurărilor de amortizare și considerînd rezistența statică 0 rezultă un al 2-lea MM simplificat, MR2 de următoarea formă:

$$\frac{d}{dt} e'_q = -\frac{1}{T'_{do}} e'_q - \frac{\omega_N(L_d - L'_d)}{T'_{do}} i_d - \frac{\omega_N L_{dh}}{T'_{do} R_E} u_E$$

$$T_m \frac{d}{dt} \omega_r = C_m - C_e - K_f(1 + \omega_r)$$

$$\frac{d}{dt} \theta_r = \omega_r \tag{4.1.6.7}$$

$$C_e = \frac{1}{\omega_N} e'_q i_q - (L_q - L'_d) i_d i_q$$

$$i_d = (e'_q - u_q) / \omega_N L'_d$$

$$i_q = u_d / \omega_N L_q$$



Seminificația fizică a mărimii  $e'_q$  devine acum clară - este t.e.m. pe axa q în spatele reactanței tranzitorii.

c) O a treia și ultimă treaptă de simplificare luată în considerare, constă în neglijarea fenomenelor tranzitorii corespunzătoare înfășurării de excitație. Se obține astfel un MM simplificat la maxim, MMR3 și care constă dintr-o t.e.m. constantă în spatele reactanței sincrone:

$$T_m \frac{d}{dt} \omega_r = C_m - C_e - K_f(1 + \omega_r)$$

$$\frac{d}{dt} \theta_r = \omega_r$$

$$C_e = e_q i_q / \omega_N + (L_q - L_d) i_d i_q \quad (4.1.6.8)$$

$$i_d = (e_q - u_q) / \omega_N L_d$$

$$i_q = u_d / \omega_N L_q$$

$$e_q = -\omega_N L_d \dot{\theta} u_E / R_E$$

În acest caz HG este echivalent cu schema din fig.4.1.6.1.

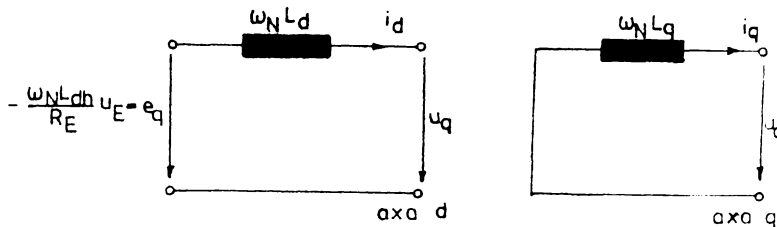


Fig.4.1.6.1. Schema echivalentă pentru MMR3

#### 4.1.7. Considerarea saturației în MM al HG

Pentru simularea cât mai corectă a fenomenelor din HG, trebuie considerată și influența saturației miezului magnetic, care pînă în prezent a fost neglijată.

Considerarea saturației în MMC conduce la obținerea celui mai complex MM, MMCS, capabil să descrie comportarea HG în orice regim.

Influența saturației miezului magnetic asupra funcționării HG este importantă și se manifestă prin următoarele efecte:

- legătura dintre flux și solenație devine neliniară

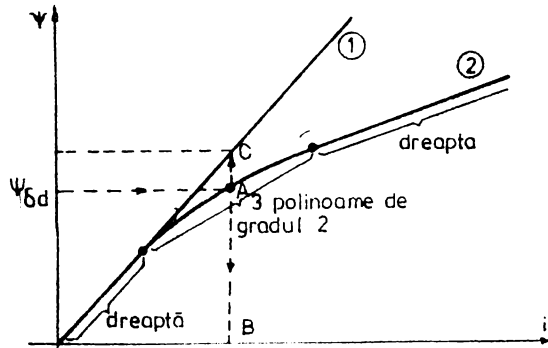
- inductivitățile mașinii depind de gradul de saturare al ei. Pentru introducerea în calcule a saturației HG se consideră următoarele ipoteze:

- se acceptă că inductivitățile de dispersie ale mașinii, corespunzătoare fluxurilor de dispersie, la care majoritatea porțiunilor de spațiu străbătute este formată din aer, nu sînt afectate de saturație, singurele inductivități care se saturează fiind cele mutuale.

- ca urmare a construcției HG se apreciază că saturația se manifestă doar pe axa "d" a mașinii, prezența întrefierului mare pe axa q ca și valoarea relativ redusă a solenațiilor pe această axă nu determină saturația circuitelor magnetice corespunzătoare.

- caracteristica de magnetizare pentru axa d urmărește caracteristica de mers în gol a HG.

Curba de mers în gol se reprezintă prin funcții segmentar polinomiale de gradul II, în porțiunea neliniară, iar în rest prin două segmente de dreaptă (fig.4.1.7.1). În acest fel se îmbină o precizie relativ bună cu simplitatea calculelor.



1. caracteristica de mers în gol (în absența saturației)
2. caracteristica de magnetizare

Fig.4.1.7.1. Representarea numerică a curbei de magnetizare

Determinarea coeficienților polinoamelor se face astfel încît abaterea la curba reală de mers în gol să fie minimă. Simplificările introduse se apreciază că introduc erori cuprinse între 5-10%.

Algoritmul prin care se consideră saturația în calcule cuprinde următoarele etape:

- se determină înlănțuirea magnetică în întrefier pe axa d:

$$\Psi_{fd} = \Psi_d - L_d \delta i_d$$

- se determină pe caracteristica de mers în gol punctele A, B, C în maniera reprezentată în fig.4.1.7.1.

- se calculează coeficientul de saturație  $k_{sat} = AB/BC$

- valoarea saturată a inductivității mutuale pe axa d se determină din:  $L_{dh \text{ sat}} = k_{\text{sat}} L_{dh \text{ nesat}}$

De menționat că acest mod de a include saturația este aplicabil numai când se integrează numeric sistemul de ecuații al MM HG. În acest caz timpul se discretizează în intervale egale și pentru un interval se consideră că saturația este constantă.

#### 4.2. Simularea regimurilor tranzitorii ale HG

Modelele matematice (complete și simplificată) deduse în paragrafele anterioare sînt capabile să simuleze regimurile tranzitorii specifice ale HG. În acest sens trebuie parcurse următoarele etape:

1. Stabilirea regimului staționar normal anterior regimului tranzitoriu;

2. Determinarea mărimilor de intrare, stare și ieșire la timpul  $t=0_+$ , ca urmare a apariției unei perturbații care se consideră de tip treaptă. Mărimile de intrare  $u_i$  și de stare  $x_i$  la momentul  $t=0_+$  se calculează cu relațiile:

$$x_i(0_+) = p_i x_i(0_-); \quad u_i(0_+) = p_k u_k(0_-) \quad (4.2.1)$$

în care  $p_i$  și  $p_k$  reprezintă valoarea treptei la  $0_+$  față de valoarea la  $0_-$  (dacă  $p_i = p_k = 1$ , mărimile  $x_i$ ,  $u_k$  nu suferă modificări).

S-a luat în considerare posibilitatea analizării următoarelor regimuri tranzitorii, care apar frecvent în funcționarea HG:

- încărcarea (descărcarea) sarcinii active - care se realizează prin modificarea corespunzătoare a  $C_m$ ;

- încărcarea (descărcarea) sarcinii reactive - pentru care există două posibilități: modificarea tensiunii de excitație și respectiv a tensiunii de la borne;

- scurtcircuitul trifazat simetric prin anularea tensiunii de la borne;

- testarea stabilității statice prin modificarea unghiului de sarcină  $\theta$  sau a vitezei unghiulare  $\omega$ .

3. Integrarea numerică a sistemului de ecuații diferențiale.

În acest sens s-a folosit o metodă Runge-Kutta-Gill de ordinul IV combinată cu un algoritm iterativ de stabilire a coeficientului de saturație (pentru cazul MMCS).

Programul de calcul realizat (REGTR HG) permite calculul regimului tranzitoriu al HG, ca urmare a perturbațiilor aplicate la momentul  $t=0$ , HG considerîndu-se legat la un sistem de putere infinită, nefiind luată în considerare acțiunea sistemelor de reglare automată (a tensiunii și turăției). La momentul  $t=0$  se poate considera orice regim de funcționare.

#### 4.3. Analiza comparativă a rezultatelor obținute prin simularea unor regimuri caracteristice de funcționare ale HG. Validarea MM propuse.

##### 4.3.1. Descrierea regimurilor analizate. Rezultatele simulărilor

Pentru a se putea compara MMCS, MMC, MMRI, MMR2 și MMR3 și analiza care dintre ele este mai adecvat pentru a fi utilizat în sinteza conducerii adaptive a HG prin asigurarea unui compromis optim precizie-viteză de calcul (complexitate) s-au simulat, pentru fiecare model în parte, următoarele regimuri de funcționare considerate a fi tipice pentru un HG:

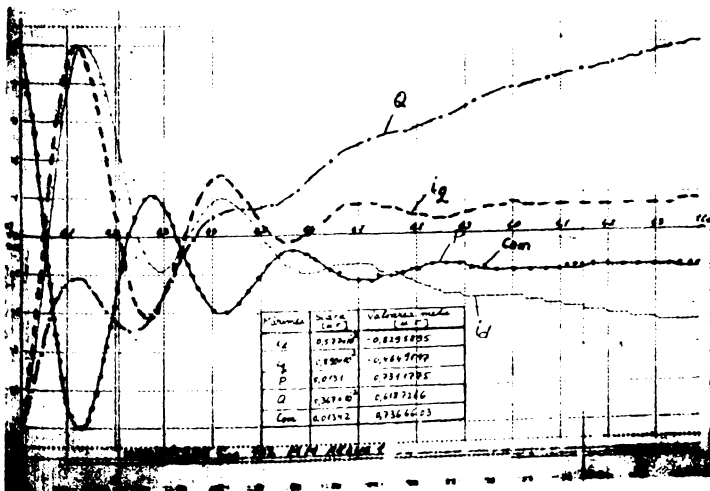
1. Regim normal de funcționare (RN) fără perturbații corespunzător sarcinii nominale a HG.
2. Regim de modificare a sarcinii active (RMA) prin variația cuplului mecanic la arborele rotorului.
3. Regim de modificare a sarcinii reactive (RMR) prin variația tensiunii de excitație.
4. Test de stabilitate statică (RSTS), prin modificarea unghiului intern al mașinii.
5. Regim de scurtcircuit 3F brusc la bornele HG (RMSC).

Observații: - Modificarea regimului inițial pentru RMA, RMR și RSTS s-a făcut prin aplicarea unei trepte negative de  $-10\%$  din valoarea mărimii la  $t=0_-$  (ex.: pentru RMA  $C_m(0_+)=0,9 C_m(0_-)$ ).

- Regimul de la  $t=0_-$  pentru RMA, RMR, RSTS este RN de sarcină nominală.

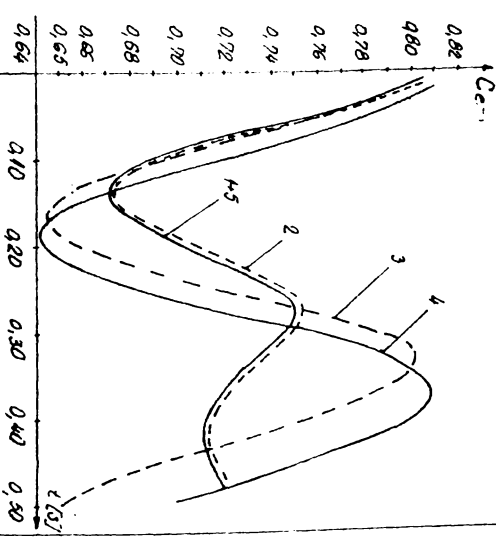
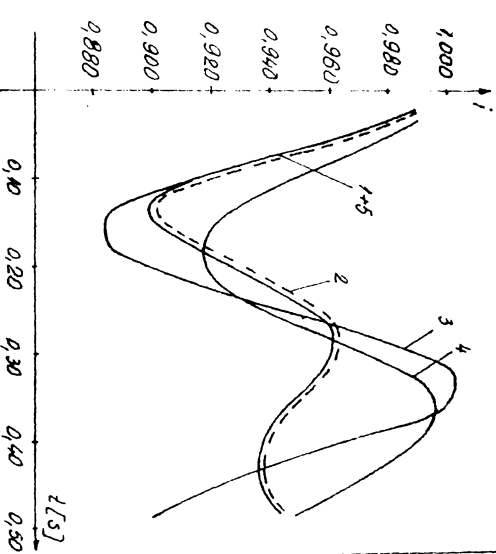
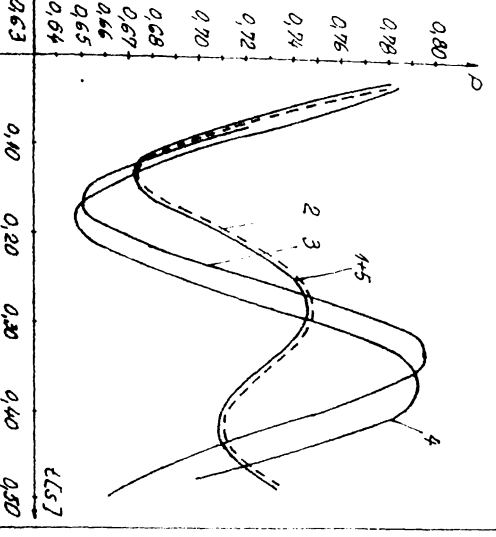
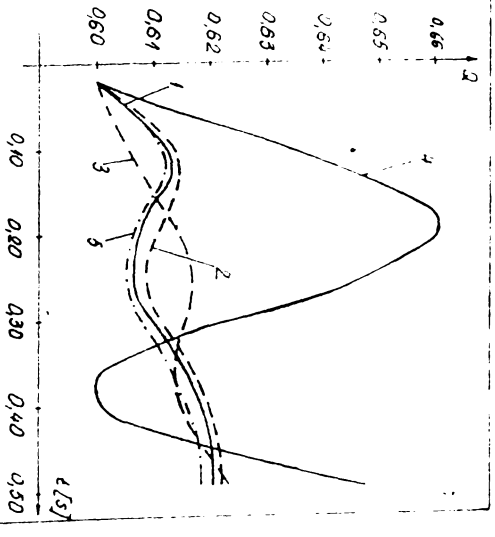
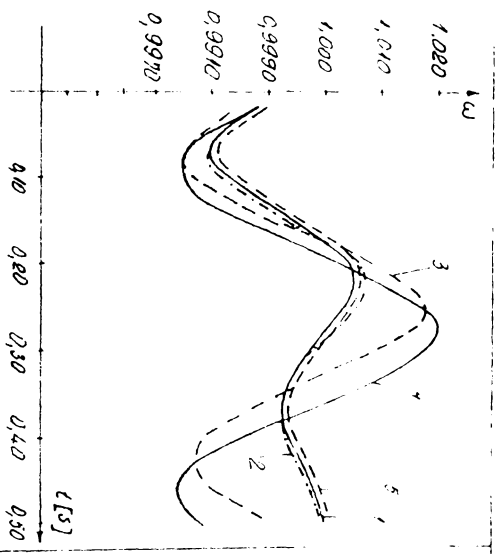
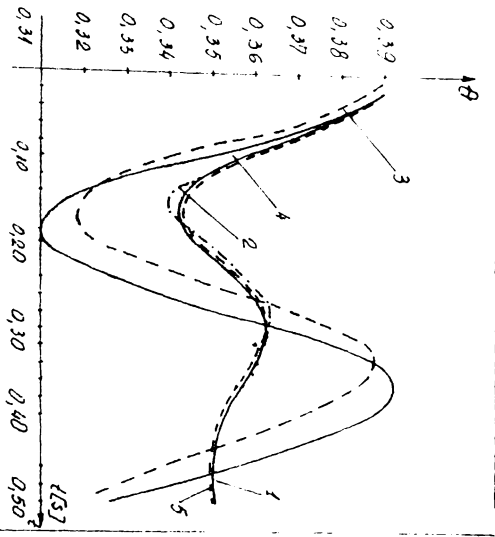
- Pentru RMSC la  $t=0_-$ , HG se caracterizează prin regim de mers în gol cu tensiune nominală la borne.

Rezultatele simulărilor au fost listate sub formă de diagrame,



obținându-se în final un număr de 68 grafice distincte, conținând variații a 24 mărimi grupate pe regimuri de funcționare și tipuri de MM /Prot84/ Un exemplu de astfel de grafic este redat în Fig.4.3.1.1.

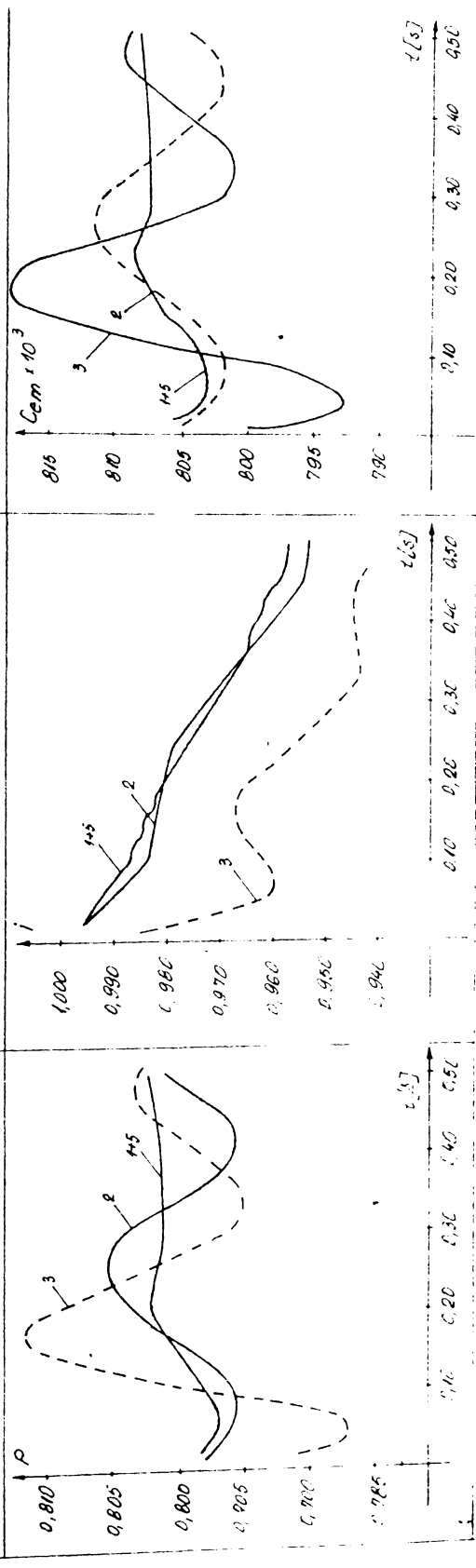
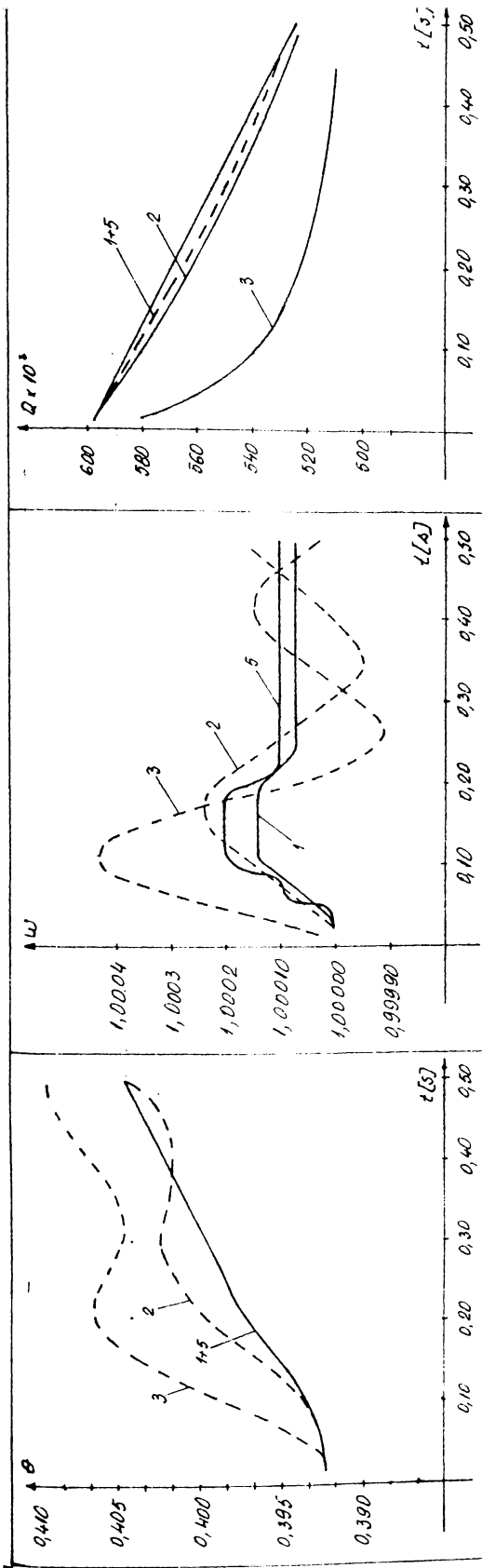
Fig.4.3.1.1



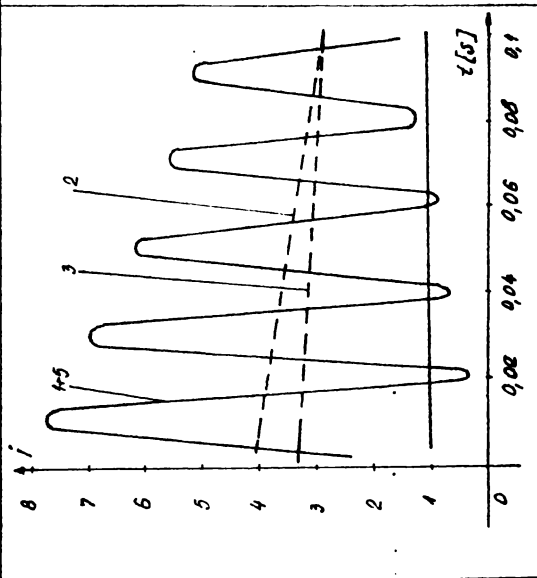
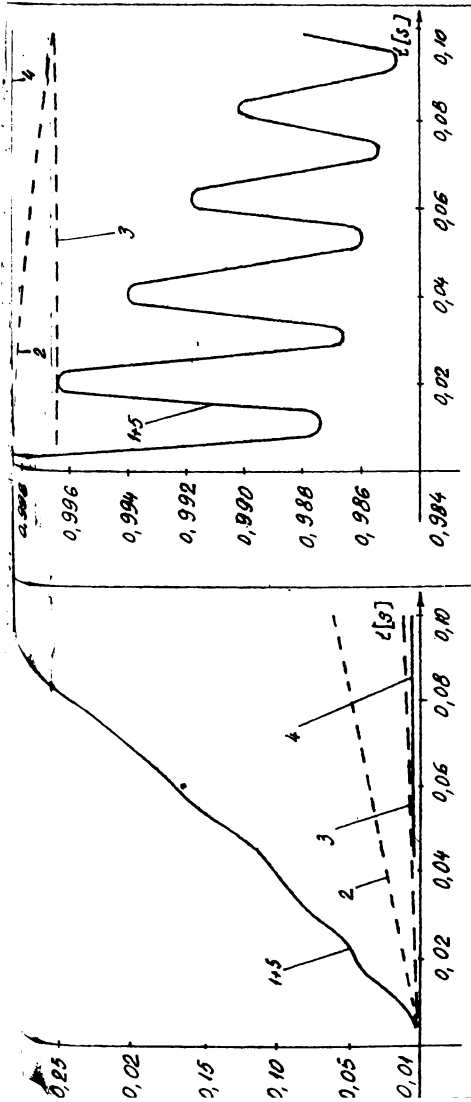
CM - 10%

1 - MMC; 2 - MMR1; 3 - MMR2; 4 - MMR3; 5 - MMCS

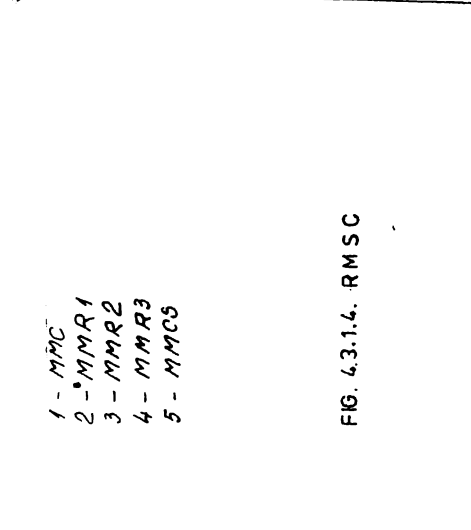
FIG. 4.3.1.2. RMA



1 - MMC, 2 - MMR, 3 - MMR, 5 - MMCs  
 $U_1 - 10\%$   
 FIG. 4.3.1.3. RMR

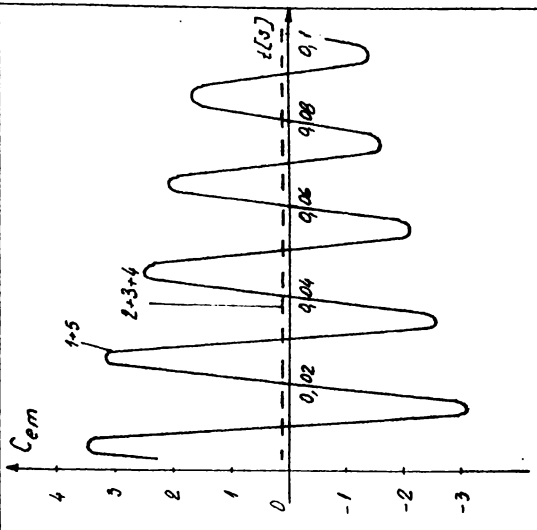


SCURTC/RUCUIT



- 1 - MMR1
- 2 - MMR2
- 3 - MMR3
- 4 - MMR4
- 5 - MMR5

FIG. 4.3.1.4. RMSC



Pentru a se putea realiza o comparație mai elocventă a modelelor propuse s-au reprezentat pe aceeași diagramă rezultatele simulărilor aceluiași regim cu MM diferite. S-au obținut în final 16 grafice, prezentînd variațiile pentru mărimile  $\omega$ ,  $\theta$ ,  $C_e$ ,  $P$ ,  $Q$ ,  $I$ , atît pentru RMA (fig.4.3.1.2) cît și pentru RMR (fig.4.3.1.3) și respectiv variațiile mărimilor  $\omega$ ,  $\theta$ ,  $C_e$ ,  $I$  pentru RMSC (fig. 4.3.1.4).

#### 4.3.2. Analiza rezultatelor simulărilor regimurilor de funcționare ale HG și validarea rezultatelor

Analiza rezultatelor simulărilor efectuate utilizînd diversele MM considerate pentru HG s-a realizat avînd în vedere următoarele criterii:

- corectitudinea rezultatelor față de datele cunoscute în literatura de specialitate și comparativ între ele;
- performanțe privind precizia, convergența iterațiilor, viteza de calcul;

In acest sens se desprind următoarele aspecte:

a) Rezultatele obținute pentru RN la toate MM considerate validează corectitudinea calculului derivatelor și a întocmirii programelor de calcul. Se știe că în acest regim toate mărimile de stare introduse nu variază în timp (au derivatele nule), iar tensiunea și curentul la bornele HG variază armonic. Aceste considerații coincid întrutotul rezultatelor obținute prin simulare.

b) In ceea ce privește RMA, urmărind variația mărimilor HG la scăderea cu 10%  $C_m$  se constată că:

- HG parcurge un regim tranzitoriu spre un nou regim staționar la care  $P$  la borne este cu 10% mai mică decît cea inițială, iar  $Q$  cu 2% mai scăzută;

- Regimul tranzitoriu este oscilant amortizat, amortizarea depinzînd de MM considerat, puternică la MPCS, MMC, MMR1, redusă la MMR2 și absentă la MMR3.

- Modificarea mărimilor pe axa  $q$  este mai importantă decît cea de pe axa  $d$ .

Aceste observații corespund în totalitate cu fenomenul real.

c) RMR prin scăderea tensiunii de excitație cu 10% a furnizat următoarele rezultate:

- viteza unghiulară a HG variază puțin în comparație cu RMA
- în regimul staționar final valoarea  $P$  este modificată doar cu 1% față de cea de la  $t = 0_-$ , pe cînd  $Q$  se modifică cu aproape 10%



- variația înălțăuirilor magnetice, respectiv t.e.m. este aperioidică, fenomenele legate de înfășurarea de excitație fiind caracterizate de constante de timp relativ importante (ordinul secundelor) cu amortizări importante

- și la RMR amortizarea fenomenelor depinde de tipul MM adoptat; la MMR3 schimbarea  $u_E$  se reflectă instantaneu în t.e.m.  $e'_q$ , ceea ce face ca acest regim să fie similar cu cel al creșterii tensiunii la bornele HG.

Rezultatele obținute descriu bine din punct de vedere calitativ fenomenele reale.

d) RMSC rezultă prin scurtcircuitarea bornelor statorice, generatorul fiind în regim de mers în gol. Din rezultatele obținute se remarcă următoarele aspecte:

- în fiecare înfășurare, inclusiv în cele de amortizare, apar curenți de valori mari (2-8) u.r. care variază armonic în timp iar amplitudinea lor descrește exponențial în timp.

- există deosebiri importante în variația cuplului electromagnetic, respectiv a vitezei unghiulare pentru MMR1, MMR2, MMR3, față de MMC(S) pe durata a 0,5-0,8 sec. și anume: MMR1, MMR2, MMR3 nu oglindesc cuplul oscilant electromagnetic, ci numai valoarea sa medie; în ceea ce privește tendința de variație a vitezei unghiulare este redată corect de MMR1, deosebindu-se de valoarea medie de la MMC(S) printr-o eroare de 0,7%; MMR2, MMR3 nu urmăresc corect scăderea lui  $\omega$ , ca urmare a neglijării înfășurărilor de amortizare.

Rezultatele obținute concordă cu cele din literatura referitoare la regimul de scurtcircuit.

e) RSTS relevă următoarele aspecte:

- HG este stabil static în cazul în care este conectat la un sistem de putere infinită

- după perturbație HG revine în punctul de funcționare prin oscilații amortizate, amortizarea depinde de MM utilizat; puternică la MMC(S), MMR1 slabă la MMR2 și absentă la MMR3

- la MMC(S) sînt puse în evidență fenomenele tranzitorii din stator prin oscilația de frecvență mai ridicată, ce se suprapune peste oscilațiile de bază; amortizarea acestor fenomene este rapidă (0,3-0,5 s).

Rezultatele corespund fenomenelor reale.

#### 4.3.3. Concluzii referitoare la calitatea MM propuse

În urma analizării rezultatelor simulării regimurilor de funcționare menționate se pot desprinde următoarele concluzii referitoare

re la calitatea diferitelor MM propuse pentru modelarea HG:

MMCS modelează fidel atât fenomenele lente cât și cele rapide. Prezintă avantajul de a oferi mărimile HG cu finețea unei oscilograme, în model fiind incluse mărimi fizice reale. Dezavantajul principal îl constituie timpii de calcul lungi care se datorează:

- considerării saturației ce implică cicluri iterative în cadrul fiecărui pas de calcul;
- considerării fenomenelor tranzitorii din stator, corelată cu utilizarea integrării ecuațiilor cu metoda Runge-Kutta.

Pentru a nu apare instabilitate numerică în calcule este necesar ca pasul de timp să fie mai mic cu 20% din cea mai mică constantă de timp a fenomenelor, ceea ce în acest caz conduce la intervale de integrare sub 0,005 sec; deci pentru urmărirea unui proces pe un interval de 2 sec. sînt necesare 400 intervale. Timpul de calcul mediu pe interval este de 10 sec.

- numărul de ecuații diferențiale este maxim în raport cu celelalte MM.

MMC prezintă caracteristici asemănătoare cu MMCS, însă neglijînd saturația timpii de calcul se reduc cu 10-15% nemaifiind necesare iterațiile suplimentare legate de stabilirea  $k_{sat}$ . Alura curbelor este foarte apropiată cu a celor furnizate de MMCS, erori mai importante apărînd în stabilirea curentului de excitație.

MMR1 furnizează rezultate de calitate, apropiate de cele ale MMC, în afara regimului de scurtcircuit la care apar deosebiri esențiale în primele 0,5 sec., dar tendința medie de variație a mărimilor de la borne este respectată. Se remarcă însă buna concordanță a mărimilor legate de poziția rotorului și a puterilor furnizate la borne, ceea ce conduce la concluzia că în probleme de stabilitate, cînd se urmăresc fenomene electromecanice, MMR1 este pe deplin corespunzător.

Are dezavantajul introducerii ca mărimi de stare a unor mărimi de calcul, t.e.m. în spatele unor reactanțe, fapt care nu deranjează prea mult deoarece în calculele de sistem, acest mod de a analiza fenomenele este larg utilizat.

Principalul avantaj îl constituie posibilitatea utilizării unor pași de calcul de 10 - 20 ori mai mari, ceea ce reduce substanțial timpul de calcul. Desigur, curentul și tensiunea la borne în valori momentane nu vor mai putea fi reprezentate la nivel de oscilogramă, numărul de puncte fiind prea mic. Timpul de calcul,

la același pas de integrare ca și pentru MMC scade deoarece numărul de ecuații diferențiale este mai mic cu 2.

MMR2 conduce la micșorarea timpului de calcul față de MMR1 cu mai mult de 50% atît ca urmare a scăderii dimensiunilor MM cît și prin aceea că este posibilă utilizarea unor pași de timp mai mari, prin renunțarea la reprezentarea fenomenelor rapide din amortizare. Modelează suficient de exact fenomenele legate de înfășurarea de excitație și mai puțin bine celelalte fenomene. Variația mărimilor este mai slab amortizată ca și la MMR1 dînd însă o imagine suficient de exactă a primelor 2 oscilații ale regimului tranzitoriu.

La MMR3 fenomenele nu sînt amortizate, surprinzîndu-se doar tendințe de modificare a mărimilor în primele momente. Nu reflectă de loc fenomenele legate de înfășurarea de excitație. Calculele sînt însă foarte rapide, fiind necesară interpretarea doar a două ecuații diferențiale corespunzătoare descrierii mișcării rotorului. Se pot adopta pași de timp de pînă la (0,2 - 0,5) sec.

#### Concluzii finale

Pe baza analizei comparative a rezultatelor obținute prin simularea comportării HG în cîteva regimuri tranzitorii specifice, utilizînd în acest scop MM de complexități diferite se desprind următoarele concluzii:

- există o bună concordanță între rezultatele teoretice și cele obținute prin simulare, MM obținute redînd corect fenomenele din mașină
- pentru conducerea adaptivă se pot utiliza modelele reduse
- se recomandă din punctul de vedere al realizării compromisului simplitate-fidelitate utilizarea în sinteza strategiilor de comandă admisibilă a modelelor reduse MMR1 sau MMR2
- în scopul aducerii MM la o formă direct utilizabilă în sinteza reguletoarelor adaptive este necesară parcurgerea următoarelor etape: liniarizarea ecuațiilor în jurul punctului de funcționare, rezolvarea sistemului de ecuații în sensul obținerii unei relații intrare-ieșire, discretizarea acestuia și completarea ei cu un termen corespunzător perturbațiilor stohastice.

CAP.5. REGULATOR ADAPTIV AUTOACORDABIL PENTRU  
CONDUCEREA SISTEMULUI DE EXCITAȚIE A  
UNUI HIDROGENERATOR

5.1. Model matematic stohastic discret al unui HG  
conectat la SEE prin intermediul unei rețele  
electrice, direct utilizabil în sinteza stra-  
tegiilor de conducere adaptivă autoacordabilă  
a excitației

In acest paragraf se dezvoltă pe baza MMR2 dedus în paragraful 4.1.6 un MM discret, de forma ecuației cu diferențe stohastice pentru un HG cuplat la sistemul electroenergetic (SEE) prin intermediul rețelei electrice, care să fie direct utilizabil în sinteza strategiilor de conducere autoadaptivă a excitației HG. Utilizându-se un program de calcul a valorilor parametrilor MM al HG se stabilesc limitele domeniilor și modul de variație al acestora pentru diverse condiții de funcționare a HG. Se face de asemenea o analiză a repartiției poli zerouri a funcției de transfer continuă și discretă a sistemului considerat.

5.1.1. Determinarea ecuației cu diferențe stohastică pentru  
HG cuplat la rețea

Cum sinteza RAA se bazează pe un model al procesului obținut din date intrare-ieșire, sînt necesare cîteva precizări legate de cea mai adecvată reprezentare a modelului. După cum s-a menționat deja, în mod frecvent se utilizează un model de proces avînd următoarele caracteristici:

- este discret, regulatorul fiind numeric și operînd cu valori eșantionate ale măsurărilor;
- reprezintă o liniarizare locală a modelului procesului real, corespunzînd unei probleme de comandă pentru variații mici ale ieșirii în jurul valorii nominale de funcționare;
- include un timp mort;
- perturbațiile stohastice sînt modelate sub forma unui zgomot alb trecut printr-un filtru rațional stabil;

- include (uneori) un termen constant pentru a scoate în evidență faptul că reprezintă o liniarizare locală a modelului real, în raport cu un punct de funcționare dat (comanda nulă poate produce o ieșire diferită de zero).

Cele menționate anterior conduc la o structură de model descrisă printr-o ecuație cu diferențe de forma:

$$A(z^{-1})y(t) = z^{-k}B(z^{-1})u(t) + C(z^{-1})e(t) + d \quad (5.1.1.1)$$

cu  $y(t)$  și  $u(t)$  ieșirea respectiv intrarea (comanda) procesului (la momentul discret de timp  $t$ ,  $t = 0, 1, 2, \dots$ ),  $e(t)$  zgomot alb discret (cu  $E/e(t) = 0$  și  $E/e^2(t) = \sigma^2$ ),  $k$ -timpul mort în perioade de eșantionare,  $d$ -constantă reprezentând ieșirea sistemului în regim staționar pentru comandă nulă.

Nu este nici o restricție în a presupune toate polinoamele în operatorul de întârziere  $z^{-1}$ :  $A(z^{-1})$ , ( $a_0=1$ );  $B(z^{-1})$ , ( $b_0 \neq 0$ );  $C(z^{-1})$  ( $c_0=1$ )  $\in \prod_n$ , adică de același grad.

Având în vedere că atât analiza cât și sinteza RAA se bazează pe MM de forma (5.1.1.1) se pune problema aducerii MM al HG la această formă.

Etapele identificării analitice ale HG au fost deja tratate în detaliu în capitolul 4. Din analiza rezultatelor privind simulările diferitelor regimuri de funcționare utilizând MM deduse, s-a desprins concluzia că pentru conducerea adaptivă se recomandă utilizarea modelelor reduse MMR1 și MMR2. Pentru dezvoltările care urmează s-a ales ca model al HG, MMR2.

HG se consideră conectat la un SEE de putere prin intermediul unei rețele complexe conform structurii reprezentate în fig. 5.1.1.1. în care este figurată și conexiunea HG-excitatoare.

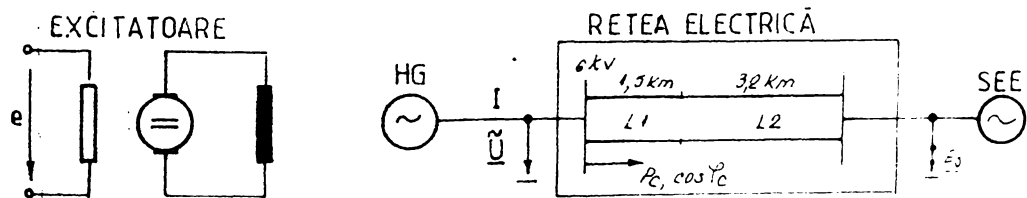


Fig. 5.1.1.1. Cuplarea HG la un SEE de putere prin rețeaua electrică

Observație: Structura rețelei reprezentată în fig.5.1.1.1. corespunde situației concrete existente la CHE-Grebla. De asemenea valorile parametrilor excitatoarei și ale HG utilizate în calcule corespund aceleiași instalații.

Se vor considera pe rînd MM ale elementelor componente ale schemei din fig.5.1.1.1.

#### Hidrogeneratorul

Adoptarea pentru HG a MMR2 presupune, conform celor prezentate în paragraful 4.1.6, considerarea a 3 ecuații diferențiale (ecuațiile ce descriu mișcarea rotorului și ecuația înfășurării de excitație), a ecuațiilor algebrice care descriu fenomenele din statorul HG și a expresiei cuplului electromagnetic. Lor li se adaugă ecuațiile puterilor activă și reactivă precum și a tensiunii la borne

$$\begin{aligned} P &= u_d i_d + u_q i_q \\ Q &= u_q i_d - u_d i_q \\ \tilde{U}^2 &= u_d^2 + u_q^2 \end{aligned} \quad (5.1.1.2)$$

Din aceste ecuații generale derivă

a) ecuațiile corespunzătoare regimului staționar normal al HG ( $\omega_r = 0$ ,  $\frac{d}{dt} e'_q = 0$ ,  $\frac{d}{dt} \theta_r = 0$ )

$$\begin{aligned} e'_{qN} &= -(X_d - X'_d) i_{dN} - \frac{X_{dh}}{R_E} u_{EN} \\ C_{mN} &= C_{eN} + K_f \omega_N \\ \omega_{rN} &= 0 \\ -u_{dN} &= R i_{dN} - X_q i_{qN} \\ e'_{qN} - u_{qN} &= X'_d i_{dN} + R i_{qN} \\ C_{eN} &= e'_{qN} i_{qN} - (X'_d - X_q) i_{dN} i_{qN} \\ P_N &= u_{dN} i_{dN} + u_{qN} i_{qN} \\ Q_N &= u_{qN} i_{dN} - u_{dN} i_{qN} \\ \tilde{U}_N^2 &= u_d^2 + u_{dN}^2 \end{aligned} \quad (5.1.1.3)$$

Observație: Semnificația mărimilor care intervin și notațiile adoptate sînt cele introduse în capitolul 4. Indicele N corespunde mărimilor regimului staționar normal.

b) ecuațiile corespunzătoare regimului de mici perturbații (linearizarea MM fiind posibilă astfel în jurul regimului normal)

$$\frac{d}{dt} \Delta e'_q = -\frac{1}{T'_{do}} \left[ \Delta e'_q + (X_d - X'_d) \Delta i_d + \frac{X_{dh}}{R_E} \Delta u_E \right]$$

$$\frac{d}{dt} \Delta \omega_r = - \frac{1}{T_m} \left[ \Delta C_m + \Delta C_e + K_f \Delta \omega_r \right]$$

$$\frac{d}{dt} \Delta \theta_r = \omega_r \quad (5.1.1.4)$$

$$\Delta u_d + R \Delta i_d - X_q \Delta i_q = 0$$

$$-\Delta e'_q + \Delta u_q + X'_d \Delta i_d + R \Delta i_q = 0$$

$$\Delta C_e = \left[ e'_{qN} - (X'_d - X_q) i_{dN} \right] \Delta i_d + i_{qN} \Delta e'_q - (X'_d - X_q) i_{qN} \Delta i_d$$

$$- \frac{X_{dh}}{R_E} u_{EN} - (X'_d - X_q) i_{dN}$$

$$\Delta \tilde{U} = \frac{u_{dN}}{\tilde{U}_N} \Delta u_d + \frac{u_{qN}}{\tilde{U}_N} \Delta u_q$$

( $\Delta$  - semnifică mica perturbație)

#### Excitatorul

Schema bloc a excitatoarei este prezentată în fig.5.1.1.2 /Prot. 85; 86/

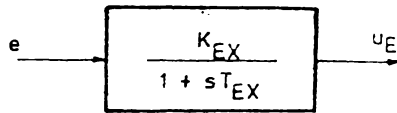


Fig.5.1.1.2. Schema bloc a excitatoarei

în care:  $e$ ,  $K_{EX}$  și  $T_{EX}$  reprezintă tensiunea de excitație, coeficientul de transfer și respectiv constanta de timp a excitatoarei.

Ecuția diferențială corespunzătoare este

$$\frac{d}{dt} u_E = - \frac{1}{T_{EX}} u_E + \frac{K_{EX}}{T_{EX}} e \quad (5.1.1.5)$$

iar pentru regimul de mici perturbații se obține:

$$\frac{d}{dt} \Delta u_E = - \frac{1}{T_{EX}} \Delta u_E + \frac{K_{EX}}{T_{EX}} \Delta e \quad (5.1.1.6)$$

Pentru CHE-GREBLA  $K_{EX} = 1$ ;  $T_{EX} = 0,3$  s.

#### Rețeaua la care este cuplat HG

Având în vedere schema de cuadripol a rețelei de interconexiune dintre HG și SEE reprezentată în fig.5.1.1.1. se poate scrie

$$\underline{I} = \underline{Y}_1 \tilde{U} + \underline{Y}_2 \underline{E}_S \quad (5.1.1.7)$$

în care:  $\underline{I}$  - curentul debitat în rețea de HG,  $\underline{E}_S$  - t.e.m - sistem,

$\underline{Y}_1 = G' + jB'$  - admitanța proprie rețelei "văzută" la bornele HG

$\underline{Y}_2 = G'' + jB''$  - admitanța de transfer HG - SEE (5.1.1.8)

Diagrama fazorială corespunzătoare este prezentată în fig.5.1.1.3. Prin urmare pentru regimul staționar normal se poate scrie:

$$\underline{E}_{sN} = e_s + j e_{sqN} = \frac{1}{\underline{Y}_2} (\underline{I}_N - \underline{Y}_1 \underline{\tilde{U}}_N) \quad (5.1.1.9)$$

de unde:

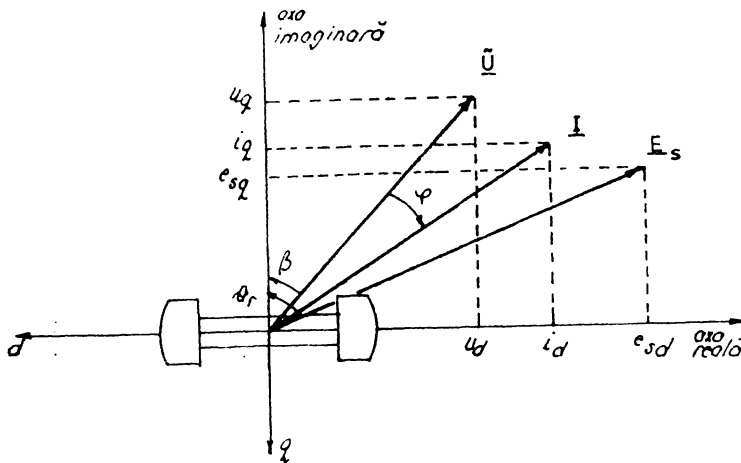


Fig.5.1.1.3. Diagrama fazorială a HG cuplat la rețeaua electrică

$$e_{sdN} = \frac{G''X' + B''X''}{G''^2 + B''^2}; \quad e_{sqN} = \frac{G''X'' - B''X'}{G''^2 + B''^2} \quad (5.1.1.10)$$

cu:

$$X' = i_{dN} - G'u_{dN} + B'u_{qN}$$

$$X'' = i_{qN} - G'u_{qN} - B'u_{dN}$$

și

$$E_{sN}^2 = e_{sdN}^2 + e_{sqN}^2$$

$$\theta_N = \arctg \frac{e_{sqN}}{e_{sdN}}$$

din (5.1.1.7), prin proiecție pe axe rezultă:

$$i_d = G'u_d - B'u_q + G'e_{sd} - B'e_{sq} \quad (5.1.1.11)$$

$$i_q = G'u_q + B'u_d + G'e_{sq} + B'e_{sd}$$

și



$$e_{sd} = -E_s \sin \theta ; \quad e_{sq} = -E_s \cos \theta$$

În cazul micilor perturbații, prin liniarizarea ecuațiilor de mai sus se obține

$$\Delta e_{sd} = e_{sqN}(\Delta \theta)$$

$$\Delta e_{sq} = -e_{sdN}(\Delta \theta)$$

și

$$G' \Delta u_d - B' \Delta u_q + (e_{sqN} G'' - e_{sdN} B'') \Delta \theta - \Delta i_d = 0 \quad (5.1.1.12)$$

$$B' \Delta u_d + G' \Delta u_q + (e_{sqN} B'' + e_{sdN} G'') \Delta \theta - \Delta i_q = 0$$

HG conectat la SEE prin intermediul rețelei electrice.

MM continuu. MM al HG conectat la SEE prin intermediul rețelei electrice se obține prin asamblarea ecuațiilor corespunzătoare regiunilor de mici perturbații (5.1.1.4, 6, 12). Sistemul de ecuații astfel obținut se poate scrie în forma vectorial matricială:

$$\begin{bmatrix} X_1 \\ 0 \end{bmatrix} = \begin{bmatrix} A_{11} & A_{12} \\ A_{21} & A_{22} \end{bmatrix} \begin{bmatrix} X_1 \\ X_2 \end{bmatrix} + \begin{bmatrix} B \\ 0 \end{bmatrix} \Delta e \quad (5.1.1.13)$$

$$\Delta \tilde{u} = C_1 X_2$$

în care:

$$A_{11} = \begin{bmatrix} 314 & & & & & \\ -K_f/T_m & -i_{qN}/T_m & & & & \\ & -1/T'_{do} & -X_{dh}/R_E T'_{do} & & & \\ & & -1/T_{Ex} & & & \\ & & & & & \end{bmatrix} \quad A_{12} = \begin{bmatrix} X_{dh} u_{EN}/R_E - (X_d - X_q) i_{dN}/T_m & & & & & \\ -(X_c - X'_d) i_{qN}/T_m & & & & & \\ -(X_d - X'_d)/T'_{do} & & & & & \\ & & & & & \\ & & & & & \end{bmatrix}$$

$$A_{21} = \begin{bmatrix} & & & & & \\ & & & & & \\ e_{sqN} G_2 + e_{sdN} B_2 & & & & & \\ e_{sqN} B_2 - e_{sdN} G_2 & & & & & \\ & & & & & \end{bmatrix} \quad A_{22} = \begin{bmatrix} & & & & & \\ R & -X_g & 1 & & & \\ -X'_d & R & & & & \\ -1 & & G_1 & & -B_1 & \\ & & & & & \\ & & -1 & & B_1 & G_1 \end{bmatrix} \quad (5.1.1.14)$$

$$B^T = \begin{bmatrix} & & & K_{Ex}/T_{Ex} \end{bmatrix} ; \quad C_1 = \begin{bmatrix} & & u_{dN}/U_N & u_{qN}/U_N \end{bmatrix}$$

$$X_1^T = \begin{bmatrix} \Delta \theta_r & \Delta \omega_r & \Delta e'_q & \Delta u_E \end{bmatrix} ; \quad X_2^T = \begin{bmatrix} \Delta i_d & \Delta i_q & \Delta u_d & \Delta u_q \end{bmatrix}$$

Observație: Variația cuplului mecanic (termenul  $(1/T_m) \Delta C_m$ ) este considerat o perturbație aditivă a procesului și nu a fost in-

clusă în prima ecuație a sistemului (5.1.1.13).

Introducând notațiile:

$$\begin{aligned} A &= A_{11} - A_{12}A_{22}^{-1}A_{21} \\ C &= -C_1A_{22}^{-1}A_{21} \\ X &= X_1 \end{aligned} \quad (5.1.1.15)$$

se obține pentru sistemul monovariabil considerat (excitatoare + HG + rețea), următorul MM-ISI continuu

$$\begin{aligned} \dot{X} &= AX + B\Delta e \\ \Delta \tilde{u} &= CX \end{aligned} \quad (5.1.1.16)$$

în care mărimea de intrare  $\Delta e$  este abaterea tensiunii de excitație a excitatoarei, iar mărimea de ieșire  $\Delta \tilde{u}$  este abaterea tensiunii la borne.

Inlocuirea formală a variațiilor  $\Delta$  cu variabilele propriuzise conduce la modelul de stare liniarizat:

$$\begin{aligned} \dot{X} &= AX + Be \\ \tilde{u} &= CX \end{aligned} \quad (5.1.1.17)$$

În continuare se pune problema determinării modelului discret intrare-ieșire sub forma ecuației cu diferențe stohastice (5.1.1.1), model utilizabil direct în sinteza RAA.

**MM discret.** Una din posibilitățile de a ajunge la o formă de intrare-ieșire discretă este de a determina din relațiile (5.1.1.17) f.d.t.  $H(S) = \tilde{u}(s)/e(s)$ , din care aplicând de exemplu transformata  $z$  biliniară ( $s \simeq 2(1-z^{-1})/T_e(1+z^{-1})$ ,  $T_e$  - perioada de eșantionare) se poate obține f.d.t. discretă.

Calculul f.d.t. a sistemului considerat se face utilizând relația;

$$H(S) = C [sI - A]^{-1}B \quad (5.1.1.18)$$

în care matricile  $A$ ,  $B$ ,  $C$  au semnificația celor din relația (5.1.1.17). Calcule de rutină conduc pentru f.d.t. la o expresie de forma:

$$H(S) = \frac{\beta_2 s^2 + \beta_1 s + \beta_0}{s^4 + \alpha_3 s^3 + \alpha_2 s^2 + \alpha_1 s + \alpha_0} \quad (5.1.1.19)$$

Pentru sistemul discret echivalent se ajunge la /Prot.86/

$$H(z^{-1}) = z^{-1} \frac{\sum_{j=0}^3 b_j z^{-j}}{1 + \sum_{i=1}^4 a_i z^{-i}} = z^{-1} \frac{B(z^{-1})}{A(z^{-1})} \quad (5.1.1.20)$$

rezultând astfel un sistem de ordinul 4, trecerea în domeniul timp fiind imediată.

Trebuie menționat că deoarece în etapa de estimare interesează de fapt gradul polinoamelor  $A(z^{-1})$  și  $B(z^{-1})$ , nu are sens precizarea unor relații de calcul pentru coeficienții  $\beta_i$ ,  $\alpha_j$ , fiind suficient calculul lor numeric.

O altă posibilitate de a ajunge la ecuația discretă intrare-ieșire constă în determinarea formei echivalente discretă a ecuațiilor de stare (5.1.1.17)

$$\begin{aligned} X(t+1) &= A_d X(t) + B_d e(t) \\ \tilde{u}(t) &= C_d X(t) \end{aligned} \quad (5.1.1.21)$$

în care:

$$A = e^{AT_e}, \quad C_d = C, \quad B_d = (e^{AT_e} - I)B,$$

$T_e$  - perioada de eșantionare,  $t$  - timp discret.

Modelului (5.1.1.21) îi corespunde relația operațională intrare-ieșire:

$$H(z^{-1}) = C_d(zI - A_d)^{-1}B_d = \frac{\tilde{u}(z)}{e(z)} = z^{-1} \frac{B(z^{-1})}{A(z^{-1})} \quad (5.1.1.22)$$

polinoamele  $A(z^{-1})$  și respectiv  $B(z^{-1})$  din (5.1.1.22) și (5.1.1.20) coincidînd pentru aceeași perioadă de eșantionare.

În aceste condiții MM al procesului, utilizat în cele ce urmează în etapele de estimare de parametri și de sinteză a strategiei de comandă este de forma (5.1.1.1) în care:

$$\begin{aligned} A(z^{-1}) &= 1 + a_1 z^{-1} + a_2 z^{-2} + a_3 z^{-3} + a_4 z^{-4} \\ B(z^{-1}) &= b_0 + b_1 z^{-1} + b_2 z^{-2} + b_3 z^{-3} \\ C(z^{-1}) &= 1 + c_1 z^{-1} + c_2 z^{-2} + c_3 z^{-3} + c_4 z^{-4} \end{aligned} \quad (5.1.1.23)$$

și timpul mort  $k = 1$ .

**Concluzii:** A rezultat astfel, după toate ipotezele simplificatoare luate în considerare, o relație intrare-ieșire monovariabilă în care mărimea de ieșire (reglată) este tensiunea la borne (abaterea)  $\tilde{u}$ , iar mărimea de comandă (intrare) este tensiunea de excitație a excitatoarei (abaterea)  $e$ .

Una din problemele importante legate de introducerea comenzii adaptive a HG este legată de faptul că pot să apară simultan mai multe perturbații nemăsurabile care să acționeze asupra sistemului, astfel că parametrii corespunzători modelului zgomotului din relația

(5.1.1.1) nu pot fi identificați. În plus, unele dintre aceste perturbații pot fi de natură aleatoare, corelate statistic și marcate. În aceste situații, perturbațiile nu mai pot fi descrise printr-un model stohastic staționar.

Una din posibilitățile de a evita dificultățile legate de măsurarea directă a perturbațiilor este de a presupune că  $C(z^{-1}) = 1$  în relația (5.1.1.1) - adică în ieșire se aplică direct zgomotul alb discret /Dao.83/.

De asemenea, pentru asigurarea unei estimări eficiente a parametrilor procesului, care să permită urmărirea variațiilor în condițiile de operare, se introduce în intrarea de comandă un semnal de medie zero, necorelat și de nivel scăzut. Această ipoteză de lucru nu este în contradicție cu situația din practică, avându-se în vedere că perturbațiile tipice din SEE cum ar fi: modificările cuplului mecanic raportate la axul turbinei, variații ale constantelor de timp și a altor parametri (de exemplu ai rețelei) fluctuații ale tensiunii la borne datorate variațiilor încărcării SEE etc. sînt în general de nivel scăzut.

În aceste condiții, pentru frecvențe de eșantionare suficient de ridicate în comparație cu frecvența perturbațiilor, efectul lor poate fi determinat prin modificările parametrilor identificați.

#### 5.1.2. Program de calcul al parametrilor MM al HG utilizat în conducerea adaptivă autoacordabilă

În scopul determinării coeficienților  $a_i$ ,  $i = \overline{1,4}$ ,  $b_j$ ,  $j = \overline{0,3}$  din (5.1.1.22), care reprezintă parametrii MM al procesului considerat și care într-o primă etapă de elaborare a comenzii autoacordabile trebuie estimați din măsurători ale intrării și ieșirii, s-a elaborat un program de calcul al lor.

Valorile calculate ale parametrilor sînt necesare atît în etapu de simulare a SCAC, cît și la inițializarea estimatorilor recursivi.

Programul de calcul, intitulat "H(z) -HG c" este scris în limbajul BASIC și a fost rulat pe un microcalculator de tip TIM-S.

Principalele etape de calcul ale programului sînt:

- introduce mărimile corespunzătoare MM: parametrii HG, ai excitației și rețelei aferente (rezistențe, reactanțe, admitanțe, constante de timp, etc.), intervalul de eșantionare și datele regimului normal de funcționare (tensiunea  $\tilde{U}$ , puterea activă P și reac-

tivă Q debitate de generator);

- calculează mărimile regimului staționar al HG pe baza ecuațiilor (5.1.1.3);

- calculează elementele matricilor  $A_{11}$ ,  $A_{12}$ ,  $A_{21}$ ,  $B$ ,  $C_1$  din relațiile (5.1.1.13);

- calculează matricile  $A$ ,  $B$ ,  $C$  din MM (5.1.1.16);

- stabilește valorile elementelor matricilor  $A_d$ ,  $B_d$ ,  $C_d$  din (5.1.1.21);

- calculează coeficienții  $a_i$  și  $b_j$  din f.d.t. discretă (5.1.1.20).

Pentru calculul inversei matricilor  $A_{22}$  și  $A$  s-a utilizat algoritmul dat de regula lui Sarusse de dezvoltare a determinantilor, bazat pe o permutare adecvată a indicilor elementelor matricilor. Aceeași regulă a servit prin extrapolare și la calculul inversei matricii polinomiale  $(zI-A)^{-1}$ .

Calculul matricii de tranziție s-a realizat prin dezvoltarea ei în serie de puteri pe baza formulei:

$$e^{A\tau} = \sum_{k=1}^M \frac{A^k - \tau^k}{k!} \quad (5.1.2.1)$$

numărul de termeni  $M$  ai seriei stabilindu-se din condiția:

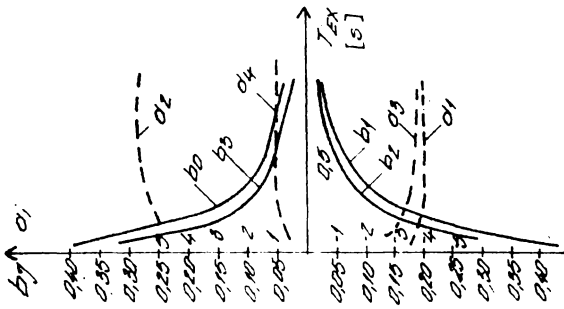
$$\frac{\|A^k\| \tau^k}{k!} < \xi \quad (5.1.2.2)$$

cu  $\xi$  - eroare admisă în calcule (s-a considerat  $10^{-12}$ ).

Programul furnizează ca date finale coeficienții  $a_i$ ,  $b_j$  și ca rezultate intermediare matricile  $A$ ,  $B$ ,  $C$ ,  $A_d$ ,  $B_d$ ,  $C_d$ . Prin simple modificări în program, sau utilizând un sistem de operare adecvat (de exemplu programul TOOLKIT) este posibilă vizualizarea și altor mărimi de interes: date inițiale, date de regim ale HG, matrici intermediare ca:  $A_{11}$ ,  $A_{12}$ ,  $A_{21}$ ,  $A_{22}$ ,  $A_{22}^{-1}$  etc.

## 5.2. Analiza influenței regimurilor de funcționare ale HG și a unor parametri importanți ai acestuia asupra coeficienților MM utilizat la reglarea autoacordabilă a excitației

Ou ajutorul programului de calcul "H(z) - HG c" s-au determinat valorile coeficienților  $a_i$ ,  $b_j$  din MM al HG de la CHE-Grebla pentru schimbări ale regimului de funcționare a generatorului, ca urmare a unor modificări ale sarcinii electrice și a parametrilor



g

Fig 5.2.1

vanolite parametribil

$$\alpha_1, i = 1,4, 6; b_1, 7 = 0,3$$

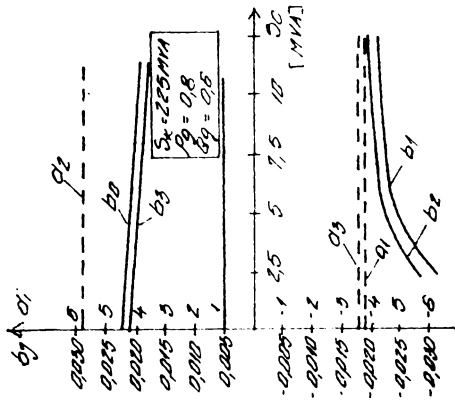
Denbu modifizirano:

$$P, \sigma, \alpha) \text{ g. b.}$$

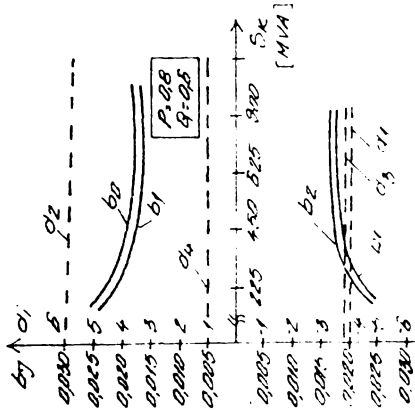
$$g - \sigma; \tilde{U} - \alpha);$$

$$Sx - e); Sx - f);$$

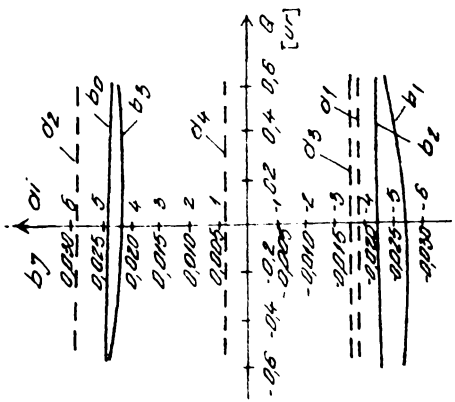
$$T_{EX} - g)$$



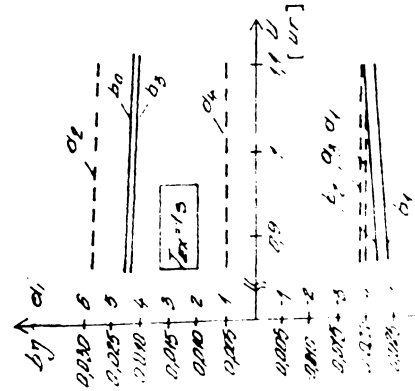
e



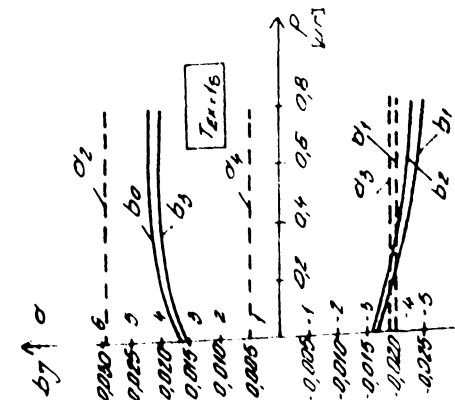
f



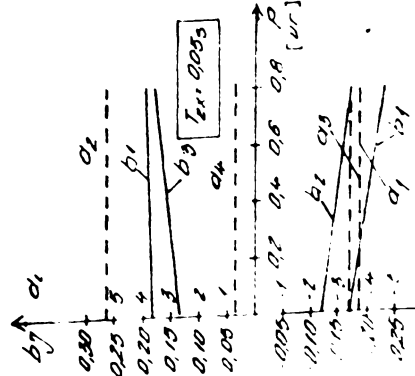
c



d



d



e

rețelei.

S-au analizat următoarele influențe:

- a) modificarea încărcării active  $P$  a HG pentru două valori ale constantei de timp a excitatoarei  $T_{EX} = 1s$  - fig.5.2.1.a și  $T_{EX} = 3,05s$  - fig.5.2.1.b
- b) modificarea încărcării reactive  $Q$  a HG - fig.5.2.1.c
- c) modificarea tensiunii  $\tilde{U}$  la bornele HG - fig.5.2.1.d
- d) schimbarea sarcinii aparente  $S_C$  a consumatorului local la  $\cos \varphi_C = ct$  - fig.5.2.1.e
- e) modificarea puterii de scurtcircuit  $S_K$  la bornele SEE de putere la care se conectează HG - fig.5.2.1.f
- f) modificarea constantei de timp a excitatoarei  $T_{EX}$  - fig.5.2.1.g

Regimul și parametrii de referință față de care s-au considerat modificările au fost:  $P = 0,8$  ur,  $\cos \varphi = 0,8$ ,  $\tilde{U} = 1$  ur,  $S_C = 0,2$  ur,  $\cos \varphi_C = 0,8$ ,  $S_K = 225$  MVA,  $T_{EX} = 1s$

### Concluzii.

Din analiza rezultatelor prezentate în fig.5.2.1.a-g se relevă următoarele concluzii:

1. Modificarea regimului de funcționare al HG și al unor parametri aferenți influențează mult mai puternic coeficienții  $b_j$  de la numărătorul funcției de transfer discrete  $H(z^{-1})$ , decât coeficienții de la numitor,  $a_j$ . La primii ( $b_j$ ) variațiile pot atinge valori de 100% în timp ce la ultimii ( $a_j$ ) ele sînt sub 1% și chiar mai mici.
2. Creșterea sarcinii generatorului de la mersul în gol la valoarea nominală conduce la creșterea valorilor absolute a coeficienților  $b_j$  de la 0,015 ur la 0,023 ur.
3. Încărcarea HG cu putere reactivă inductivă  $Q$  micșorează valorile absolute ale coeficienților dar în limite mai restrinse decît pentru cazul puterii active  $P$  și anume de la 0,025 ur,  $Q = -0,6$  ur la 0,021 ur pentru  $Q = 0,6$  ur.
4. Creșterea tensiunii la borne are o influență redusă și anume determină o ușoară micșorarea a valorilor absolute a coeficienților  $b_j$ : de la aprox. 0,023 ur, corespunzător tensiunii  $\tilde{U} = 0,9$  ur la aprox. 0,022 ur pentru o tensiune  $\tilde{U} = 1,1$  ur.
5. Creșterea sarcinii locale  $S_C$  la  $\cos \varphi_C = ct$  micșorează valorile absolute ale coeficienților  $b_j$ , mai puternic pe  $b_1$  și  $b_2$  și mai slab pe  $b_3$  și  $b_4$ .
6. Creșterea puterii de scurtcircuit  $S_K$  a SEE micșorează valorile absolute ale coeficienților  $b_j$ , relativ puternic pentru  $S_K < 250$  MVA





$$A_{21} = \begin{bmatrix} \text{---} & \text{---} & \text{---} \\ \text{---} & \text{---} & \text{---} \\ 3,8973 & \text{---} & -1 \\ 409 & \text{---} & \text{---} \\ -8,3493 & \text{---} & \text{---} \\ 204 & \text{---} & \text{---} \end{bmatrix} \quad A_{22} = \begin{bmatrix} 0,0063 & -0,755 & 1 & \text{---} & \text{---} \\ 0,287 & 0,0063 & \text{---} & \text{---} & \text{---} \\ -1 & \text{---} & \text{---} & 8,068 & 7,2826 \\ \text{---} & \text{---} & \text{---} & -7,2826 & 8,068 \\ \text{---} & \text{---} & -1 & \text{---} & \text{---} \end{bmatrix} \quad (5.2.1.1)$$

$$B = \begin{bmatrix} \text{---} \\ \text{---} \\ \text{---} \\ \text{---} \\ 1 \end{bmatrix}^T \quad C_1 = \begin{bmatrix} \text{---} \\ \text{---} \\ \text{---} \\ -0,38066878 \\ -0,92471146 \end{bmatrix}$$

Corespunzător, pentru matricile MIM-ISI continuu (5.1.1.16) s-au obținut:

$$A = \begin{bmatrix} \text{---} & \text{---} & \text{---} & \text{---} \\ \text{---} & \text{---} & \text{---} & \text{---} \\ -0,47255157 & 314,15927 & 0,28653854 & \text{---} \\ 0,26734501 & -0,0022058824 & -1,3213464 & -283,22433 \\ \text{---} & \text{---} & \text{---} & \text{---} \end{bmatrix} \quad (5.2.1.2)$$

$$B = \begin{bmatrix} \text{---} \\ \text{---} \\ \text{---} \\ \text{---} \\ 1 \end{bmatrix}^T; \quad C = \begin{bmatrix} 0,093167562 \\ \text{---} \\ \text{---} \\ -0,24371674 \end{bmatrix}$$

matricea sistemului A, având următoarele valori proprii:

$$\lambda_{1,2} = -0,081429655 \pm j 12,176359; \quad \lambda_3 = -1,160693; \quad \lambda_4 = -1.$$

Funcția de transfer (continuă), corespunzătoare MIM-ISI s-a obținut de forma:

$$H(S) = \frac{B(s)}{A(s)} = \frac{b_0 s^2 + b_1 s + b_2}{s^4 + a_1 s^3 + a_2 s^2 + a_3 s + a_4} \quad (5.2.1.3)$$

cu:

$$\begin{aligned} b_0 &= 70,245093 & a_1 &= 2,3235522 \\ b_1 &= 0,15495241 & a_2 &= 149,78292 \\ b_2 &= 8011,0503 & a_3 &= 320,55571 \\ & & a_4 &= 172,09634 \end{aligned}$$

În aceste condiții zerourile f.d.t. au următoarele valori:

$$s_{1,2} = -0,001029412 \pm j 10,679151$$

iar pentru poli s-au obținut valorile:

$$s_{1,2} = -0,081429605 \pm j 12,176359 \quad s_3 = -0,99999992 \quad s_4 = -1,1606931$$

Se observă că toți poli f.d.t. se găsesc amplasați în semiplanul complex stîng ceea ce certifică stabilitatea sistemului.

Considerînd o perioadă de eșantionare de  $T = 0,05$  s pentru MIM-ISI discret echivalent se obține:

$$A_d = \begin{bmatrix} 0,82057991 & 14,755272 & 0,10669496 & -0,51536651 \\ -0,022103765 & 0,82047631 & 0,013009239 & -0,096246457 \\ 0,012138526 & 0,099548093 & 0,93654396 & -13,600553 \\ - & - & - & 0,95122942 \end{bmatrix}$$

(5.2.1.4)

$$B_d = [-0,0065203328 \quad -0,0016404625 \quad -0,34665938 \quad 0,048770575]^T$$

$$C_d = [0,093167562 \quad 0 \quad -0,24371674 \quad 0]$$

Valorile proprii ale matricii  $A_d$  sînt:

$$\lambda_{1,2} = 0,81699146 \pm j 0,56957443 ; \quad \lambda_3 = 0,94361725 ;$$

$$\lambda_4 = 0,95122942$$

F.d.t. corespunzătoare MM-ISI discret, calculată cu relația (5.1.1.22) este de forma:

$$H(z^{-1}) = \frac{z^{-1}B(z^{-1})}{A(z^{-1})} = \frac{z^{-1}(b_0 + b_1z^{-1} + b_2z^{-2} + b_3z^{-3})}{1 + a_1z^{-1} + a_2z^{-2} + a_3z^{-3} + a_4z^{-4}} \quad (= \frac{\tilde{u}(z)}{e(z)})$$

(5.2.1.5)

pentru regimul considerat, obținîndu-se următoarele valori ale parametrilor:

$$\begin{array}{ll} b_0 = 0,0838179208 & b_1 = -0,063693246 \\ b_2 = -0,055069265 & b_3 = 0,08069683 \\ a_1 = -3,5288296 & a_2 = 4,9856337 \\ a_3 = -3,346137 & a_4 = 0,89031708 \end{array}$$

În aceste condiții zerourile au valorile:

$$z_{1,2}^{-1} = 0,86086659 \pm j 0,50895157 \quad \text{avînd modulul } \|1,0000613\|$$

$$z_3^{-1} = -1,0393103$$

Iar polii sînt:

$$z_{1,2}^{-1} = 0,8236715 \pm j 0,57423147 \quad \text{cu } \|1,0040798\|$$

$$z_3^{-1} = 1,059757$$

$$z_4^{-1} = 1,0512654$$

Se observă și în acest caz, că toți polii și zerourile f.d.f. discrete (5.2.1.4) se găsesc în exteriorul cercului unitar.

În tabelul 5.2.1. sînt date valorile numerice ale parametrilor MM al procesului și rădăcinile corespunzătoare ale polinoamelor  $A(z)$  și  $B(z)$ , calculate pentru 4 regimuri de funcționare reprezentative.

Tabelul 5.2.1.

| incărcare<br>HG               | o m-g<br>(o + j o)   | o,35 S <sub>nom</sub><br>(o,28 + j o,21)  | o,7 S <sub>nom</sub><br>(o,42 + j o,56)   | S <sub>nom</sub> = P <sub>nom</sub> + j Q <sub>nom</sub><br>(o,8 + j o,6)  |
|-------------------------------|--|---|---|--|
| coef.<br>sau<br>rădăcini      |  |   |   |  |
| a <sub>1</sub>                | -3,7590868   | -3,6836334  | -3,5985157  | -3,5288296   |
| a <sub>2</sub>                | 5,4230495  | 5,2800896   | 5,1182575   | 4,9856337  |
| a <sub>3</sub>                | -3,5538744   | -3,4861598  | -3,4092381  | -3,346137  |
| a <sub>4</sub>                | o,89031708   | o,89031708  | o,89031708  | o,89031708   |
| b <sub>0</sub>                | o,066149898  | o,075784865   | o,081167292   | o,08379208   |
| b <sub>1</sub>                | -o,060803218   | -o,066047658  | -o,065842442  | -o,063693246   |
| b <sub>2</sub>                | -o,053592872   | -o,057924579  | -o,057334608  | -o,055069265   |
| b <sub>3</sub>                | o,063634301  | o,072906831   | o,078086856   | o,080696683  |
| răd.B(z)<br>(modul<br>  ·   ) | z <sub>1</sub> ,2 = o,94062571 <sup>±</sup><br>j o,37928185<br>   o,99994445   <br>z <sub>3</sub> = -o,96207815                      | z <sub>1</sub> ,2 = o,91682435 <sup>±</sup><br>j o,39914766<br>   o,99994287   <br>z <sub>3</sub> = -o,96213355                             | z <sub>1</sub> ,2 = o,88667834 <sup>±</sup><br>j o,46225849<br>   o,99994069   <br>z <sub>3</sub> = -o,96216242                               | z <sub>1</sub> ,2 = o,86076071 <sup>±</sup><br>j o,50388898<br>   o,9999385   <br>z <sub>3</sub> = -o,96217657                               |
| răd.A(z)<br>(modul<br>  ·   ) | z <sub>1</sub> ,2 = o,93635211 <sup>±</sup><br>j o,35229541<br>   1   <br>z <sub>3</sub> = o,95120679<br>z <sub>4</sub> = o,93817575 | z <sub>1</sub> ,2 = o,89711894 <sup>±</sup><br>j o,439125<br>   o,99882598   <br>z <sub>3</sub> = o,95121104<br>z <sub>4</sub> = o,93818445 | z <sub>1</sub> ,2 = o,85282871 <sup>±</sup><br>j o,51639903<br>   o,99698785   <br>z <sub>3</sub> = o,95124112<br>z <sub>4</sub> = o,94161712 | z <sub>1</sub> ,2 = o,81699145 <sup>±</sup><br>j o,56957443<br>   o,99593678   <br>z <sub>3</sub> = o,95122748<br>z <sub>4</sub> = o,9436192 |

### 5.3. Evaluarea critică a unor estimatori recursivi cu aplicație la cazul unui HG

Performanțele RAA sînt influențate în mod decisiv de calitatea estimării parametrilor procesului sau a legii de comandă. Aceasta constituie motivația studiului din acest paragraf care își propune să analizeze comparativ patru dintre estimatorii recursivi prezentați în Cap.3, considerați ca fiind indicați implementării RAA și anume: estimatorul CMMPR, estimatorul bazat pe filtrarea cu ajutorul rădăcinii pătrate (SQ) (corespunzător algoritmului utilizînd matricea de covarianță), estimatorul bazat pe TO Givens (TO) și estimatorul UD (corespunzător algoritmului  $UDU^T$ ). Se prezintă principalele rezultate obținute în urma unui mare număr de simulări privind estimarea parametrilor unui proces funcționînd în buclă deschisă, proces particularizat prin HG-CME Grebla /Pro.85/Prot.86/Pro.88.a/ Luș.88.b/.

Generarea datelor de intrare-ieșire necesare estimării, s-a realizat pe baza MM al HG adus la forma (5.1.1.1) cu (5.1.1.23).

#### 5.3.1. Considerații privind implementarea estimatorilor recursivi propuși

Avîndu-se în vedere că structura programelor de calcul este asemănătoare pentru diferitele tipuri de estimatori considerați, introducerea datelor și dialogurile la consolă făcîndu-se la fel și diferind în principal doar liniile de program corespunzătoare estimării propriu-zise, în continuare se va descrie doar programul aferent estimatorului recursiv bazat pe TO Givens (vezi paragraful 3.2.).

Programul de estimare al parametrilor  $a_j$ ,  $b_j$  ai MM al HG este format din programul principal și subrutine care servesc la generarea zgomotului de distribuție gaussiană de la intrare și din ieșire. Subrutinele sînt intitulate:

- GAUS - generează zgomot aleator de distribuție normală în intrare
- RANDU - generează zgomot aleator cu distribuție uniformă în intervalul 0 - 1 și este apelată de GAUS
- ZGOM - generează zgomot aleator gaussian la ieșire apelînd rutina ZGRAN

- ZGRAN - apelează zgomot uniform în intervalul 0 - 1

Perechea de subrutine GAUS și RANDU diferă de perechea de subrutine ZGOM și ZGRAN prin inițializarea generatorului de numere aleatoare uniform distribuite. Ca urmare secvențele de numere aleatoare ce simulează zgomotele în intrare și ieșire sînt diferite și necorelate între ele.

Programul de calcul prezintă următoarele blocuri (evidențiate prin comentarii adecvate în listing):

- calculul regimului staționar ; furnizează comanda la ieșirea  $y_N = 1$  (u.r), adică pe  $\tilde{u}_N$

- citirea datelor inițiale: - pentru comandă:  $\tilde{u}_N = 0$  sau  $\tilde{u}_N$  calculat anterior

- pentru ieșire:  $y_N = 0$  sau respectiv  $y_N = 1$

- valorile medii și abaterile medii pătratice ale zgomotelor din intrare și ieșire

- inițializarea calculelor pentru pașii 1 - 12 ce permit prima estimare a parametrilor

- estimarea recursivă a parametrilor MM adoptat

- calculul erorilor de estimare și afișarea rezultatelor

- testare sfîrșitului procesului de calcul

- blocul de simulare a perechilor de date intrare-ieșire utilizate la estimare.

Notațiile variabilelor din text coincid cu numele variabilelor din program. Se folosește un vector auxiliar AX pentru reținerea și reactualizarea ultimei linii din matricea S. După lansarea în execuție a programului se afișează pe ecran USTAT = ... YSTAT = ... valorile corespunzătoare regimului staționar pentru intrare și ieșire, apoi se cere inițializarea intrărilor și ieșirilor.

U INI = ?

Y INI = ?

Ca valori cerute se pot da valorile regimului staționar, sau 0 și 1 în caz că se lucrează cu abaterile mărimilor.

Dialogul pentru inițializarea datelor se continuă cu:

ZGOMOT INTRARE

\* VAL.MED = se trece valoarea medie

\* DISP. = se trece abaterea medie pătratică

ZGOMOT IESIRE = ? (DA, NU) se trece DA sau NU

In cazul DA (zgomot la ieșire) se propune continuarea diulo-

gului cu

ZGOMOT IESIRE

\* VAL.MED = se trece valoarea medie

\* .DISP. = se trece  $\sigma$

După inițializare urmează estimarea parametrilor. După 50 de pași de estimare se inițializează la consolă un nou dialog privind opțiunile pe care le dorește utilizatorul. La întrebarea SE TERMINA ESTIMAREA = ?

răspunsul DA conduce la încheierea programului de calcul, iar cel de NU la continuarea calculelor pentru încă 50 de pași REINITIALIZARE = ?

răspunsul NU continuă estimarea de la ultimele valori, iar cel DA reduce controlul pașilor de estimare (notat cu K) la valoarea 1, reinițializează matricea S și pornește calculele ca și cum estimarea s-ar fi început din acel moment.

Ordinogramele de calcul ale algoritmilor de estimare considerați și programele de calcul scrise în FORTRAN sînt prezentate în detaliu în /Prot.86/.

### 5.3.2. Programul de teste. Rezultate privind estimarea parametrilor

Programele de calcul menționate anterior au fost rulate pe un microcalculator de tip M 118. S-au simulat cîteva situații considerate ca fiind elocvente în ceea ce privește evidențierea unor concluzii referitoare la corectitudinea estimării valorilor parametrilor, viteza de calcul, convergența și stabilitatea numerică.

În acest sens s-au studiat următoarele influențe asupra calității estimatorilor:

- influența raportului varianțelor semnalului de intrare și a zgomotului din ieșire

- influența considerării ca mărime de intrare-ieșire fie a valorilor de funcționare normală fie a abaterilor față de rețimul staționar

- influența asupra preciziei estimării a considerării calculelor în simplă sau dublă precizie

- influența asupra vitezei de convergență și a stabilității numerice a valorilor de inițializare  $\hat{\theta}(0)$  și  $P(0)$ .

Au fost rulate și analizate 42 de cazuri de studiu sintetizate în tabelul 5.3.2.1.

Tabel 5.3.2.1

| Mărimi-<br>me | Caz-<br>stu-<br>diat | A  |    |    |    |    | B | C  |    |    |    |                       |    |    |    |    |     |     |     | D   |     |   |     |     |     |     |     |     |     |     |     |     |     |     |     |     |     |     |     |     |     |     |     |     |     |     |     |     |     |     |     |     |     |     |     |     |     |     |     |     |     |     |     |     |     |     |     |     |     |     |     |     |     |     |     |     |     |     |     |     |     |     |     |     |     |     |     |     |     |     |     |     |     |     |     |     |     |     |     |     |     |     |     |     |
|---------------|----------------------|--|----|----|----|----|---|----|----|----|----|-----------------------|----|----|----|----|-----|-----|-----|-----|-----|---|-----|-----|-----|-----|-----|-----|-----|-----|-----|-----|-----|-----|-----|-----|-----|-----|-----|-----|-----|-----|-----|-----|-----|-----|-----|-----|-----|-----|-----|-----|-----|-----|-----|-----|-----|-----|-----|-----|-----|-----|-----|-----|-----|-----|-----|-----|-----|-----|-----|-----|-----|-----|-----|-----|-----|-----|-----|-----|-----|-----|-----|-----|-----|-----|-----|-----|-----|-----|-----|-----|-----|-----|-----|-----|-----|-----|-----|-----|-----|-----|-----|-----|
|               |                      | A1                                       | A2 | A3 | A4 | A5 |   | C1 | C2 | C3 | C4 | C5                    | C6 | C7 | C8 | C9 | C10 | C11 | C12 | C13 | C14 | C15                                     | C16 | C17 | C18 | C19 | C20 | C21 | C22 | C23 | C24 | C25 | C26 | C27 | C28 | C29 | C30 | C31 | C32 | C33 | C34 | C35 | C36 | C37 | C38 | C39 | C40 | C41 | C42 | C43 | C44 | C45 | C46 | C47 | C48 | C49 | C50 | C51 | C52 | C53 | C54 | C55 | C56 | C57 | C58 | C59 | C60 | C61 | C62 | C63 | C64 | C65 | C66 | C67 | C68 | C69 | C70 | C71 | C72 | C73 | C74 | C75 | C76 | C77 | C78 | C79 | C80 | C81 | C82 | C83 | C84 | C85 | C86 | C87 | C88 | C89 | C90 | C91 | C92 | C93 | C94 | C95 | C96 | C97 |
|               |                      | 2 cifre semnificative (2 cs)             |    |    |    |    |   |    |    |    |    | Valori exacte (v.ex.) |    |    |    |    |     |     |     |     |     | v.ex.                                   |     |     |     |     |     |     |     |     |     |     |     |     |     |     |     |     |     |     |     |     |     |     |     |     |     |     |     |     |     |     |     |     |     |     |     |     |     |     |     |     |     |     |     |     |     |     |     |     |     |     |     |     |     |     |     |     |     |     |     |     |     |     |     |     |     |     |     |     |     |     |     |     |     |     |     |     |     |     |     |     |     |     |
|               |                      | 1E-5 1E-6 1E-7 fz 1E-6 1E-6 1E-7 fz 1E-7 |    |    |    |    |   |    |    |    |    | 1E-3                  |    |    |    |    |     |     |     |     |     | 1E-7                                    |     |     |     |     |     |     |     |     |     |     |     |     |     |     |     |     |     |     |     |     |     |     |     |     |     |     |     |     |     |     |     |     |     |     |     |     |     |     |     |     |     |     |     |     |     |     |     |     |     |     |     |     |     |     |     |     |     |     |     |     |     |     |     |     |     |     |     |     |     |     |     |     |     |     |     |     |     |     |     |     |     |     |
|               |                      | s.p.                                     |    |    |    |    |   |    |    |    |    | d.p.                  |    |    |    |    |     |     |     |     |     | simplă precizie(s.p.)                   |     |     |     |     |     |     |     |     |     |     |     |     |     |     |     |     |     |     |     |     |     |     |     |     |     |     |     |     |     |     |     |     |     |     |     |     |     |     |     |     |     |     |     |     |     |     |     |     |     |     |     |     |     |     |     |     |     |     |     |     |     |     |     |     |     |     |     |     |     |     |     |     |     |     |     |     |     |     |     |     |     |     |
|               |                      | GNMMP<br>SQ<br>NO<br>UD                  |    |    |    |    |   |    |    |    |    | GNMMP<br>SQ<br>UD     |    |    |    |    |     |     |     |     |     | GNMMP<br>SQ<br>UD                       |     |     |     |     |     |     |     |     |     |     |     |     |     |     |     |     |     |     |     |     |     |     |     |     |     |     |     |     |     |     |     |     |     |     |     |     |     |     |     |     |     |     |     |     |     |     |     |     |     |     |     |     |     |     |     |     |     |     |     |     |     |     |     |     |     |     |     |     |     |     |     |     |     |     |     |     |     |     |     |     |     |     |
|               |                      | a b.                                     |    |    |    |    |   |    |    |    |    | m.d<br>f.n            |    |    |    |    |     |     |     |     |     | abatere față de regim staționar (a. b.) |     |     |     |     |     |     |     |     |     |     |     |     |     |     |     |     |     |     |     |     |     |     |     |     |     |     |     |     |     |     |     |     |     |     |     |     |     |     |     |     |     |     |     |     |     |     |     |     |     |     |     |     |     |     |     |     |     |     |     |     |     |     |     |     |     |     |     |     |     |     |     |     |     |     |     |     |     |     |     |     |     |     |

↓50% - micșorare 50%;  
f.z. - fără zgomot în ieșire;  
d.p. - dublă precizie;  
m.d.f.n. - mărimi de funcționare normală.

Pentru cazul de studiu A s-au efectuat rulări în simplă precizie utilizând programele SPREC iar pentru cazul de studiu B, în dublă precizie utilizând programele DPREC.

Pentru cazurile menționate s-au considerat 250 pași de estimare. Incepând cu pasul 51 s-au calculat următorii indicatori de calitate care constituie criteriile alese de evaluare critică a estimatorilor recursivi propuși:

- valoarea medie a erorii de estimare ( $\epsilon_{med}$ );
- abaterea medie pătratică față de valoarea reală;
- valoarea minimă și maximă (în sens algebric) a erorilor de estimare față de valoarea exactă ( $\epsilon_{min}$ ,  $\epsilon_{max}$ ).

În fig.5.3.2.1 și 5.3.2.2 s-a reprezentat rezultatul procesului de estimare a coeficienților  $a_i$ ,  $i=\overline{1,4}$  respectiv  $b_j$ ,  $j=\overline{0,3}$  utilizând estimatorul TO. Grafice asemănătoare s-au obținut pentru toți estimatorii considerați.

În fig.(5.3.2.3 ÷ 8) este prezentat modul de variație a lui  $\epsilon_{max}$  și  $\epsilon_{min}$  pentru coeficientul cu cea mai mare dispersie din polinoamele  $A(z^{-1})$  respectiv  $B(z^{-1})$ . În acest mod de reprezentare se evidențiază mai elocvent domeniul de variație al valorilor coeficienților pe durata estimării.

### 5.3.3. Concluzii privind calitatea estimatorilor recursivi considerați

Din analiza graficelor de variație ale estimațiilor parametrilor procesului pentru cazurile de studiu luate în considerare rezultă următoarele concluzii:

#### Cazul A

- Cu cât nivelul zgomotului din ieșire ( $\sigma_{ies}$ ) este mai mic cu atât precizia de estimare este mai bună și viteza de convergență mai mare.
- Un nivel acceptabil pentru zgomotul din ieșire este de cel mult  $\sigma_{ies}=1.E-06$ , caz în care se asigură o bună convergență a estimatului vectorului parametrilor  $\hat{\theta}$  spre valoarea exactă  $\theta$  după 150 de pași (se constată o comportare mai bună a estimatorilor SQ și TO decît a estimatorilor CMLPR și UD).
- Estimatorii SQ și TO prezintă o viteză de convergență convenabilă și apropiată ca valoare, pornindu-se însă cu abateri ale



coeficienților destul de mari în primii 50 de pași (cu abateri ușor mai mici pentru SQ).

Estimatorul CMMPR prezintă o convergență mai lentă față de estimatorii TO, UD și SQ pornind însă de la variații mai reduse ale coeficienților după 50 de pași.

- Avându-se în vedere că după un număr limitat de pași (50, 100, 150) media zgomotului din ieșire nu poate fi practic nulă, acest fapt se reflectă în apariția unor mărcări ale estimatului față de valorile reale.

Se constată că estimatorii SQ și TO sînt mai puțin sensibili la acest fenomen decît estimatorul CMMPR (de 5-10 ori) ceea ce concordă cu considerațiile teoretice.

Estimatorul UD se comportă asemănător estimatorului CMMPR. Aceasta se explică prin faptul că algoritmul UD este de fapt un algoritmul CMMPR în care în loc de matricea de covarianță P se propagă matricile factor U și D.

#### Cazul B

Rulările programelor în simplă precizie și respectiv în dublă precizie evidențiază următoarele aspecte:

- Timpul de calcul pentru cazul dublei precizii este semnificativ mai mare decît în simplă precizie (aproape de două ori).
  - Convergența și precizia estimatorilor nu diferă semnificativ în favoarea dublei precizii față de simpla precizie.
- Din aceste considerente se apreciază că apelarea la dublă precizie nu se justifică. Drept urmare, toate cazurile de studiu analizate au fost rulate în simplă precizie.

#### Cazul C

- C.1. - În cazul inițializării cu valorile exacte ale coeficienților, estimatorii CMMPR și UD păstrează aceste valori începînd cu primii pași de estimare pentru toate cele trei situații considerate pentru zgomotul de ieșire.
- Estimatorul SQ, pentru un zgomot de ieșire avînd  $\sigma_{ies} = 10^{-6}$ , prezintă deviații importante pe primii 150 pași. Acest fenomen este aproape eliminat pentru un zgomot avînd  $\sigma_{ies} \leq 10^{-7}$ .
- C.2. - Pentru considerarea unui zgomot în ieșire de  $\sigma_{ies} = 10^{-7}$  inițializări diferite ca precizie pentru coeficienții polinomului  $A(z^{-1})$ , (1,2 respectiv 3 cifre semnificative) și pentru coeficienții polinomului  $B(z^{-1})$  valori exacte, nu introduc deosebiri semnificative, estimatul parametrilor menținîndu-

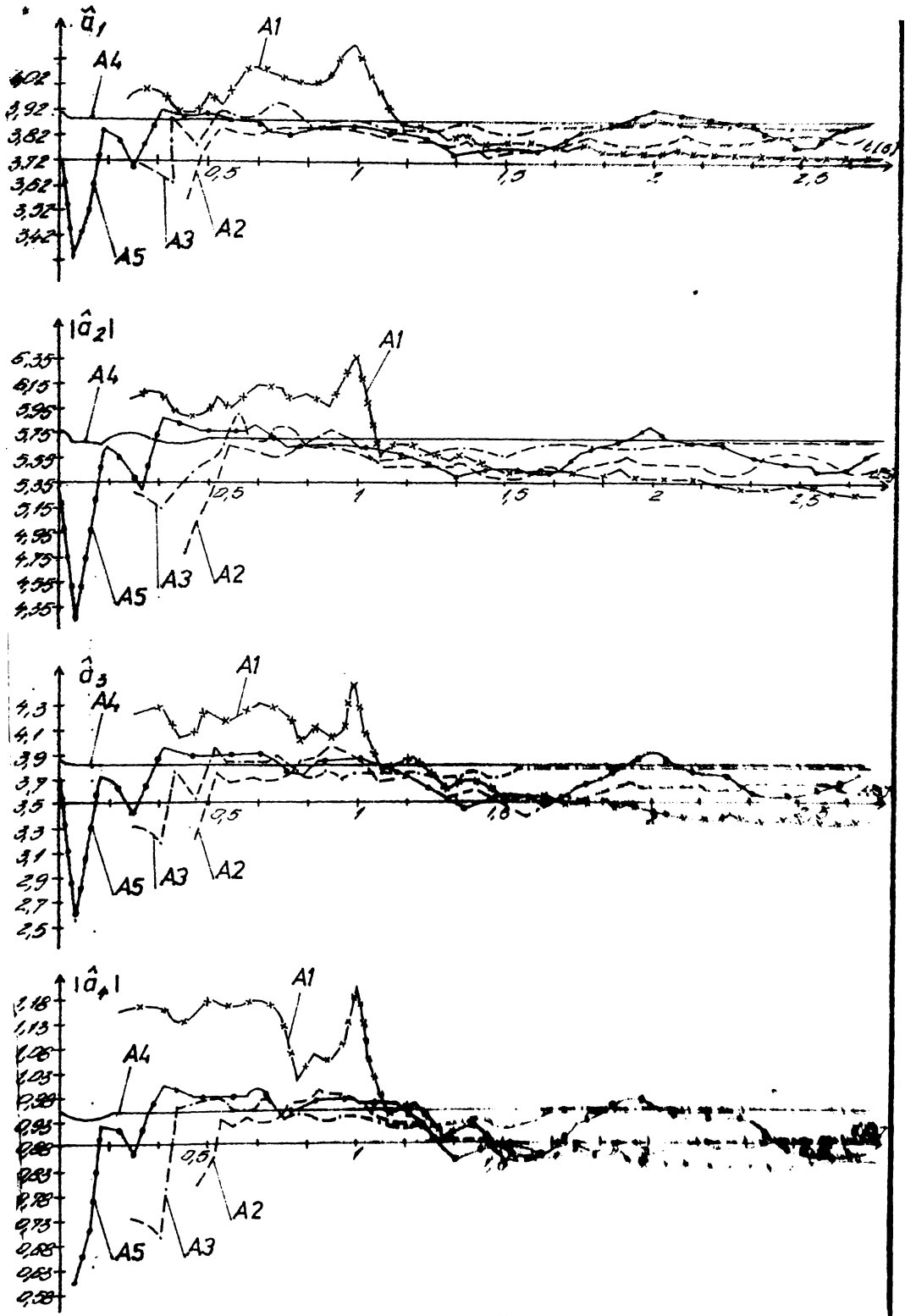


Fig.5.3.2.1 Estimarea coeficientilor  $q_1, |q_2|, q_3, |q_4|$  cu ajutorul estimatorului TK

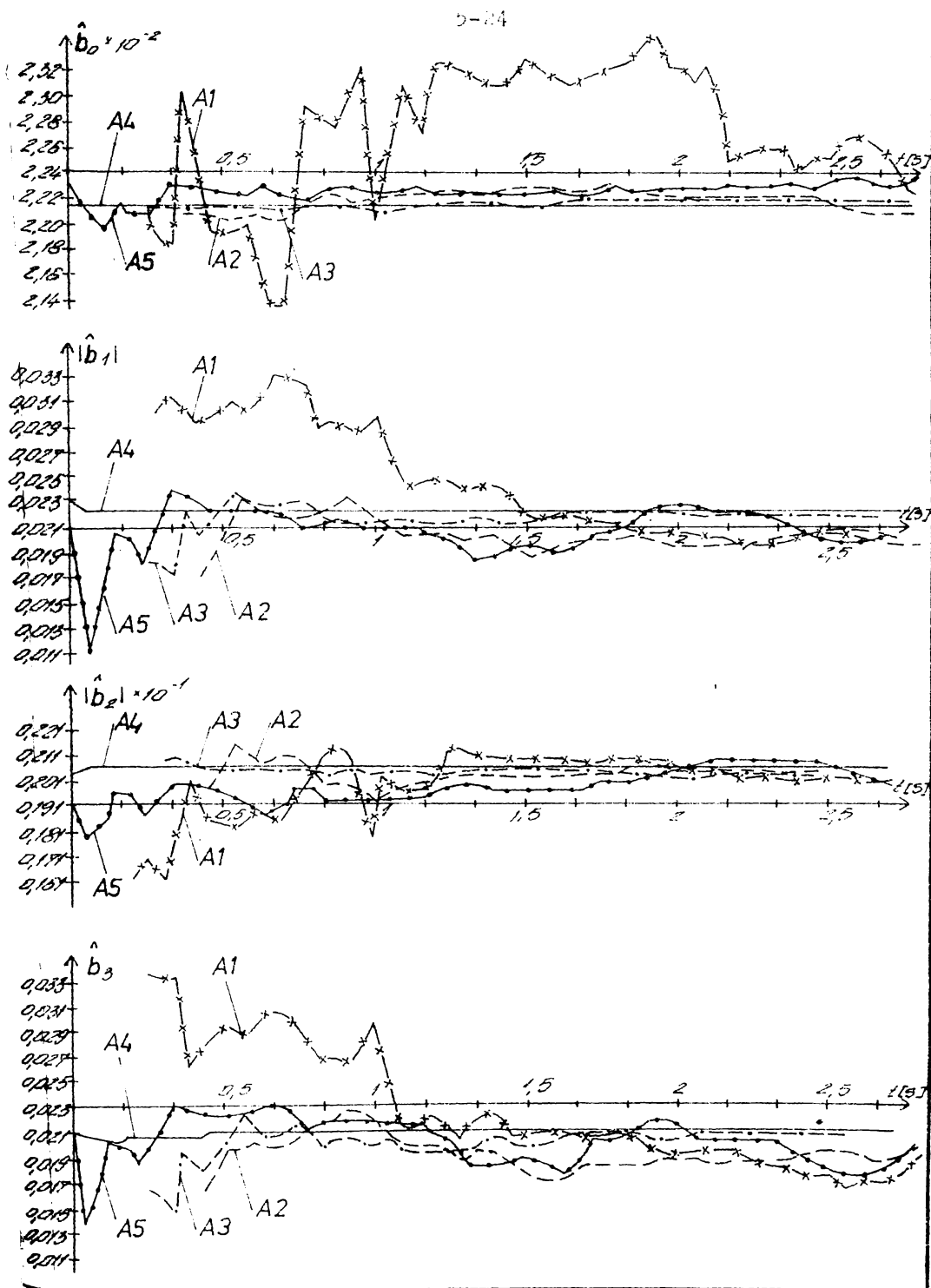


Fig.5.3.2.2 estimarea coeficienților  $b_j$ ,  $j=\overline{0,3}$  în cazul utilizării estimatorului TO

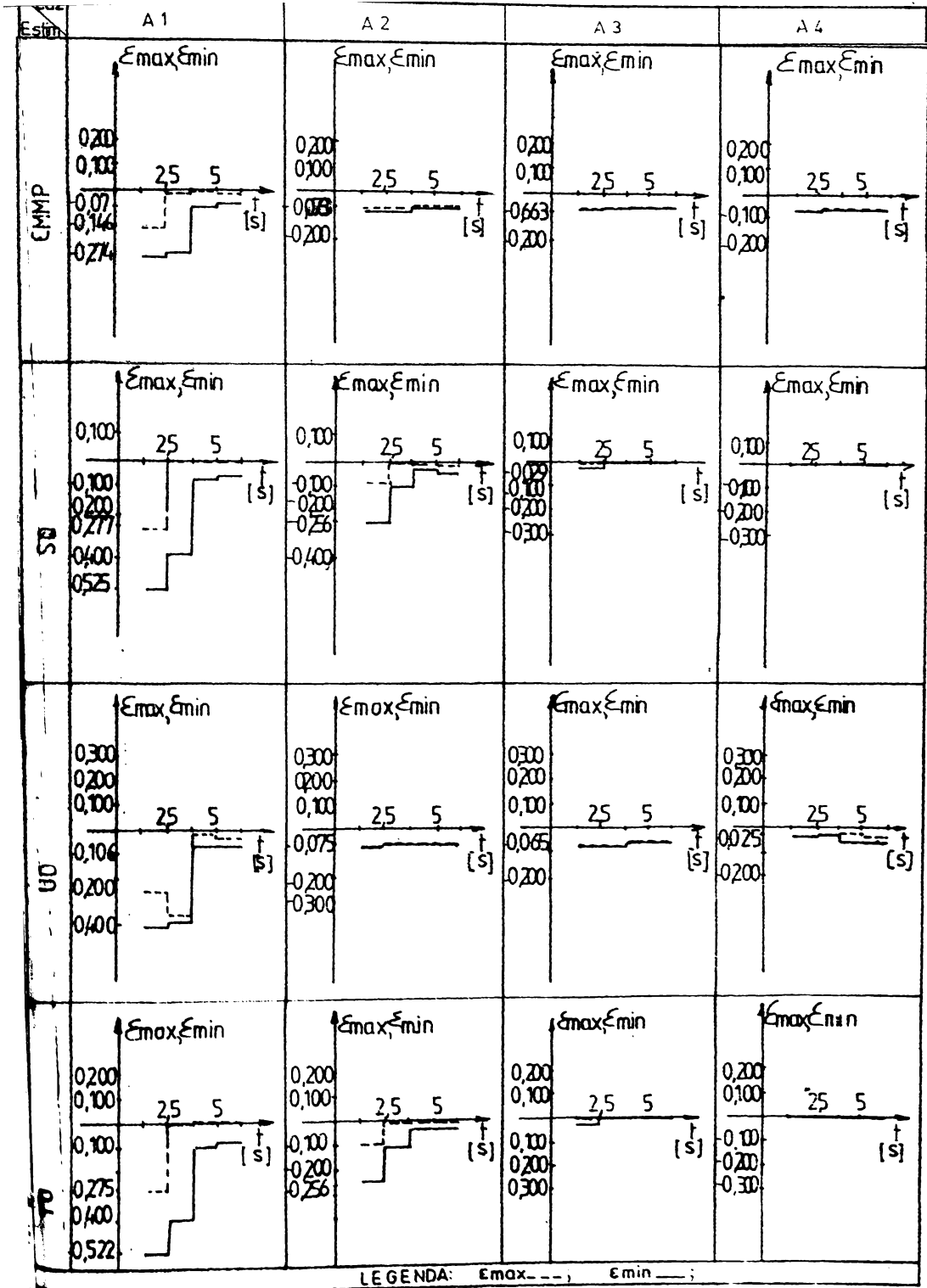
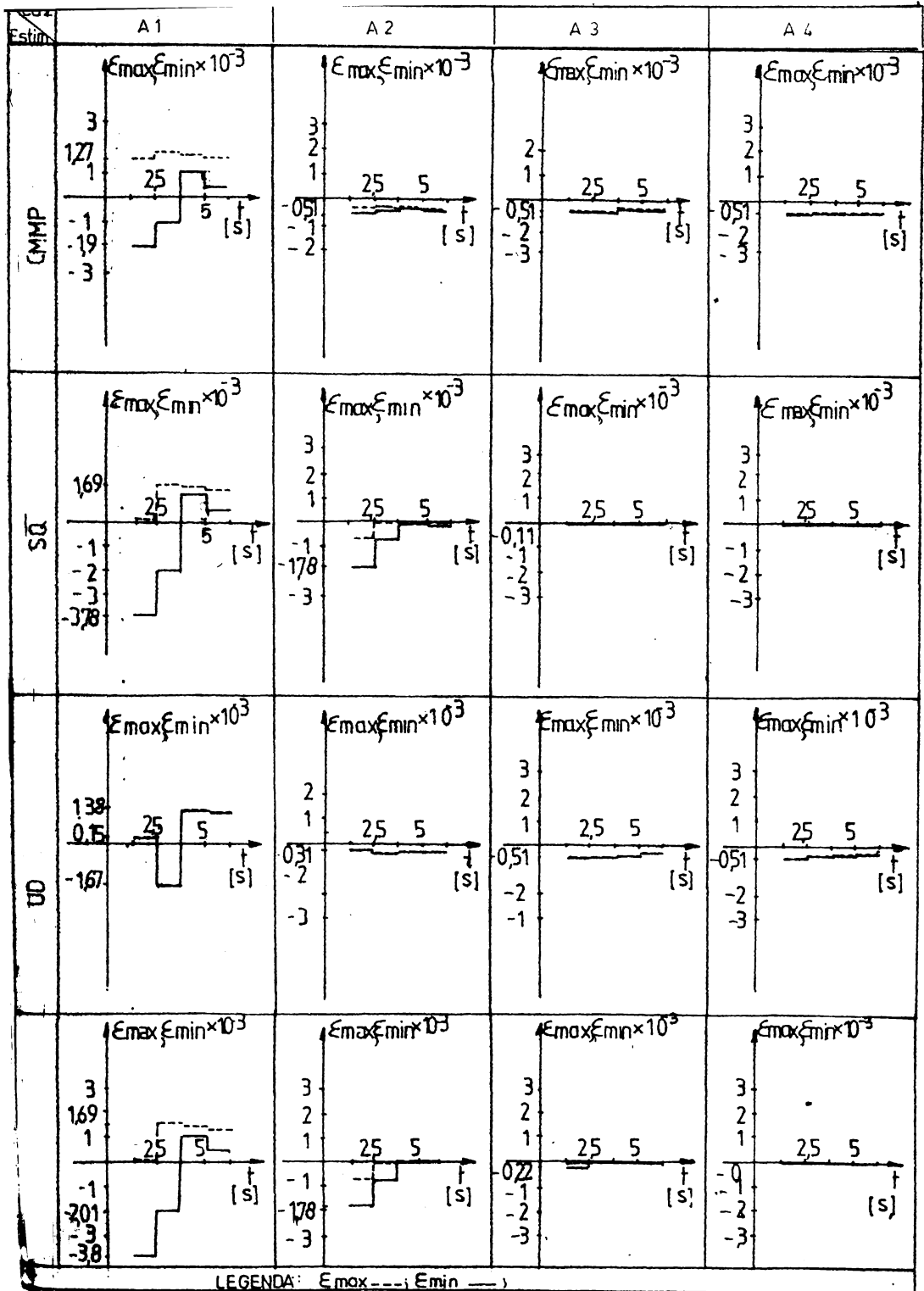
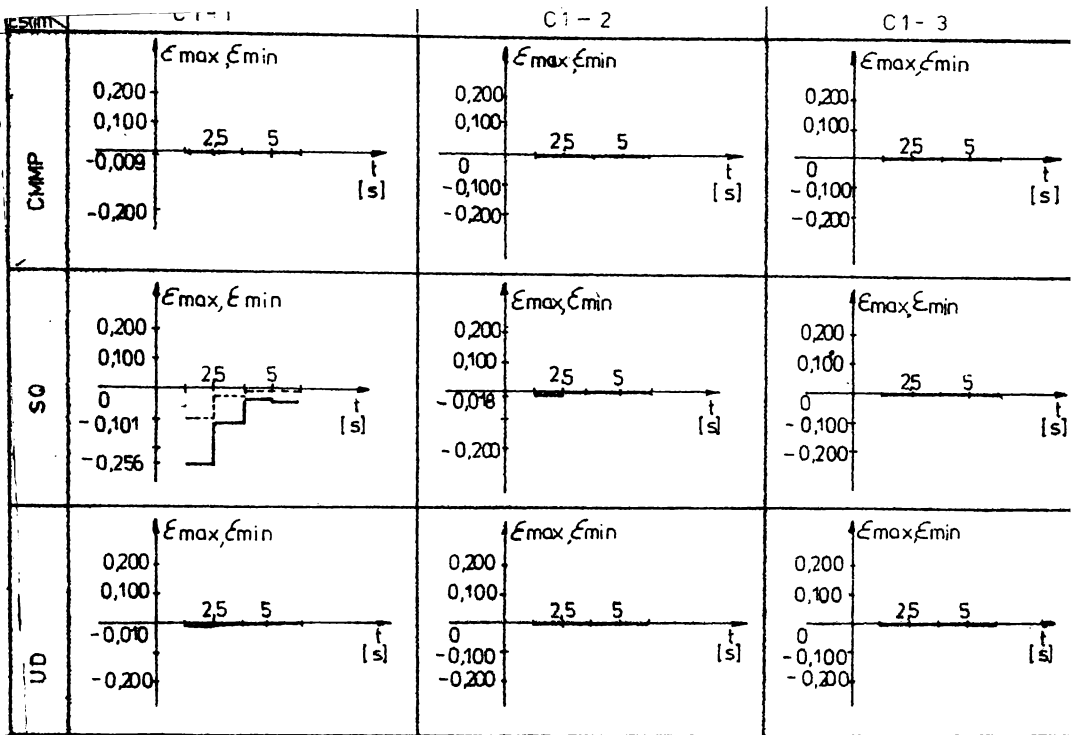


Fig.5.3.2.3 Variația erorilor maxime și minime pentru coeficientul  $\mu$



LEGENDA:  $E_{max}$  ---;  $E_{min}$  —

Fig.5.3.2.4 Variația erorilor maxime și minime pentru coeficientul  $b_3$



LEGENDA:  $\epsilon_{max}$  ---,  $\epsilon_{min}$  —;

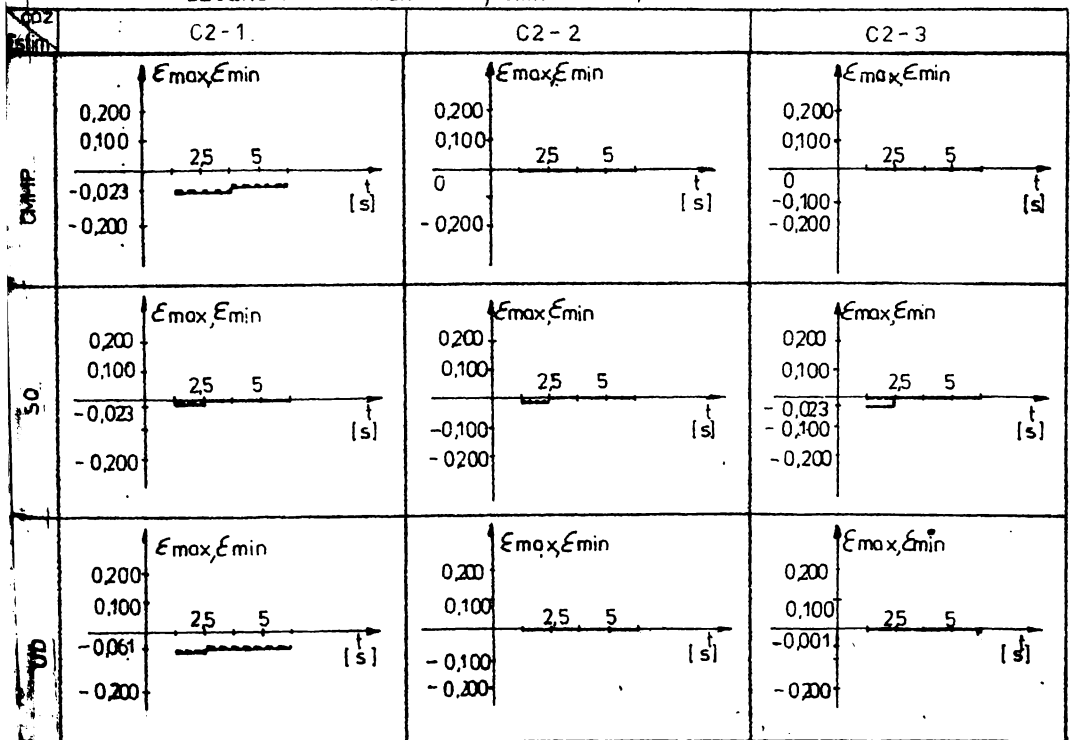
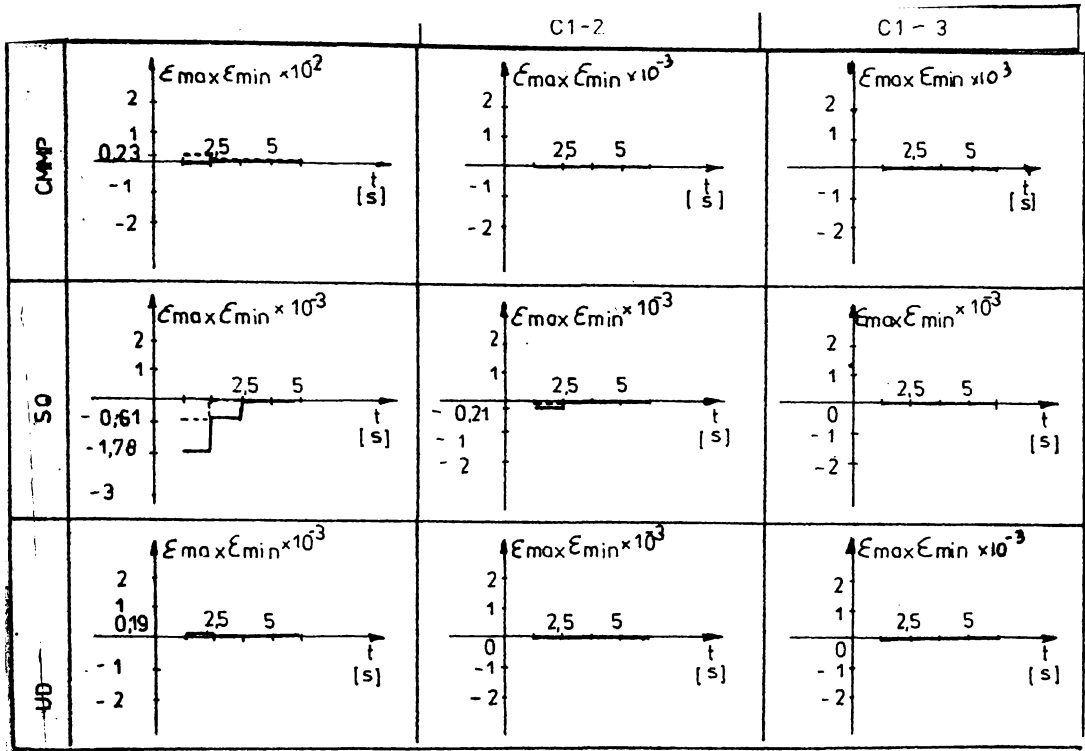


Fig.5.3.2.5 Variația erorilor maxime și minime pentru coeficientul  $a$ ,



LEGENDA:  $E_{max}$  ---;  $E_{min}$  —;

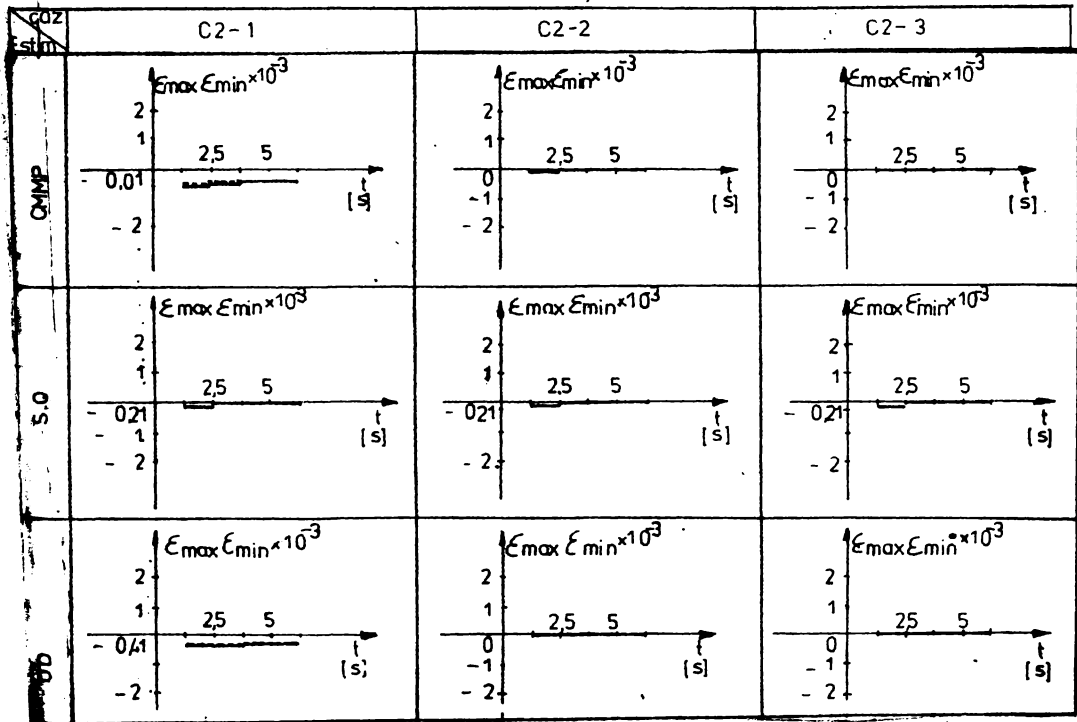
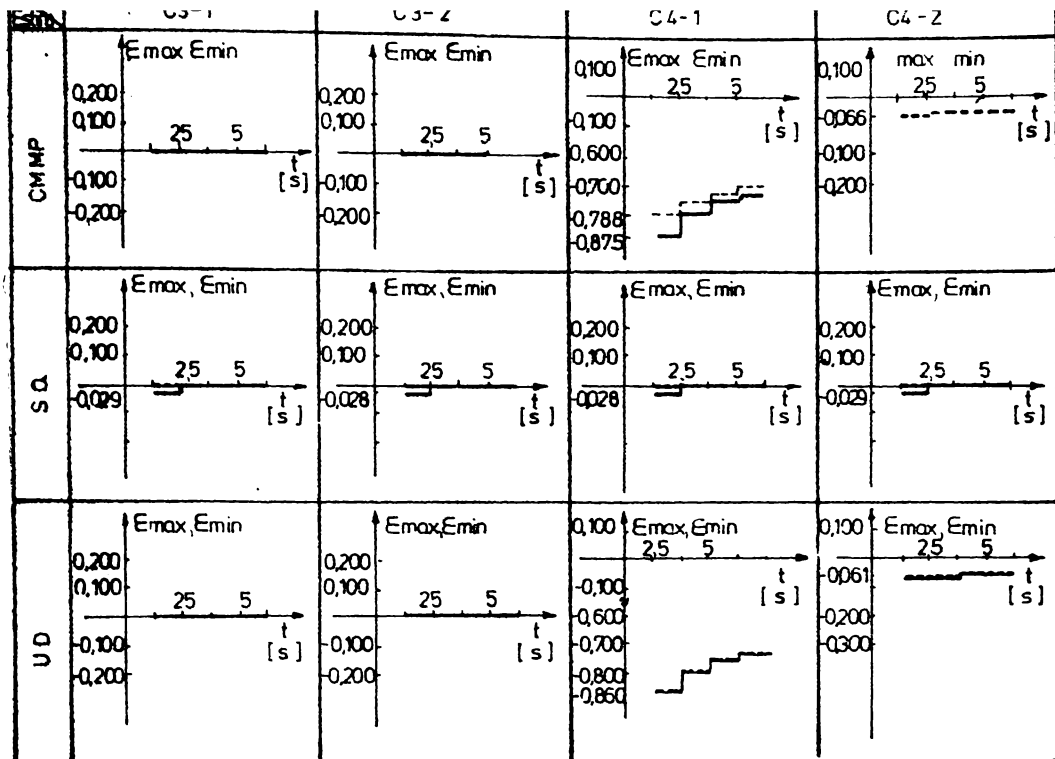


Fig.5.3.2.6 Variația erorilor maxime și minime pentru coeficientul  $b_3$



LEGENDĂ Emax---; Emin—;

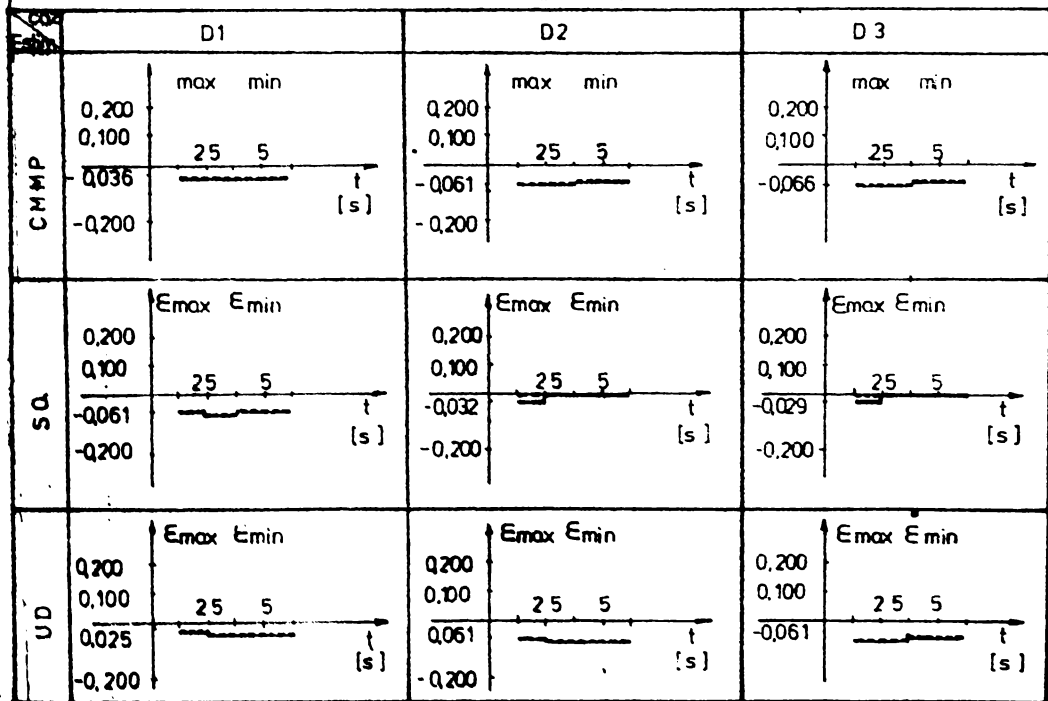
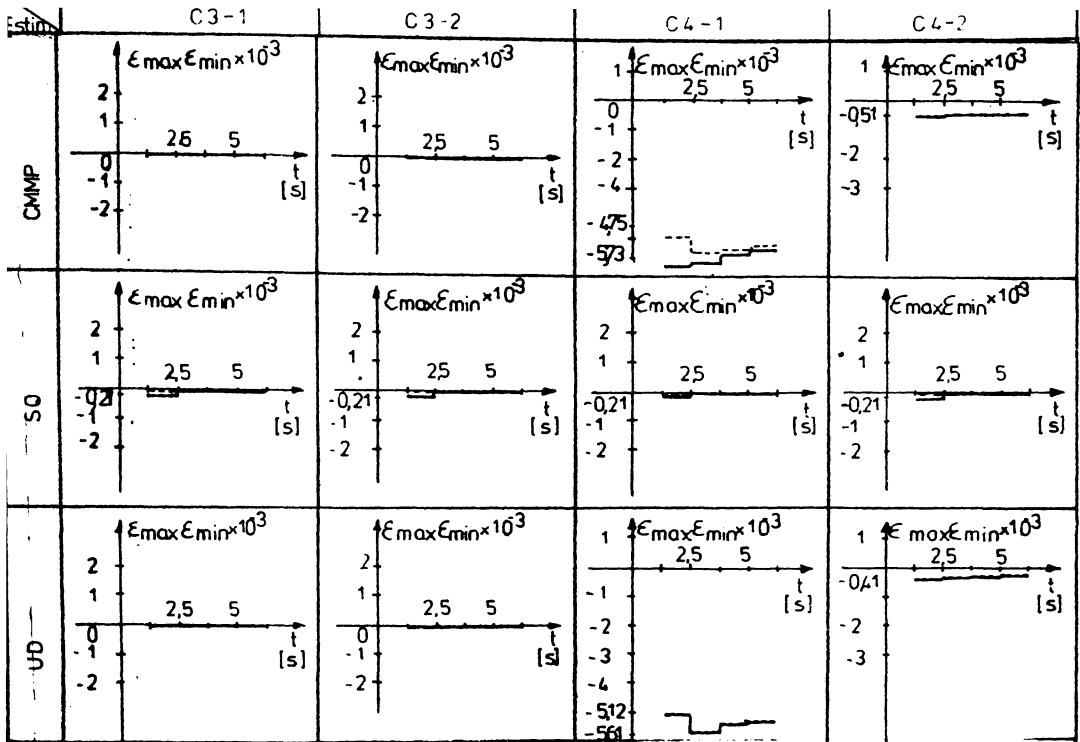


Fig.5.3.2.7 Variația erorilor maxime și minime pentru coeficientul  $\mu_2$





LEGENDA  $\epsilon_{max}$  ---;  $\epsilon_{min}$  —

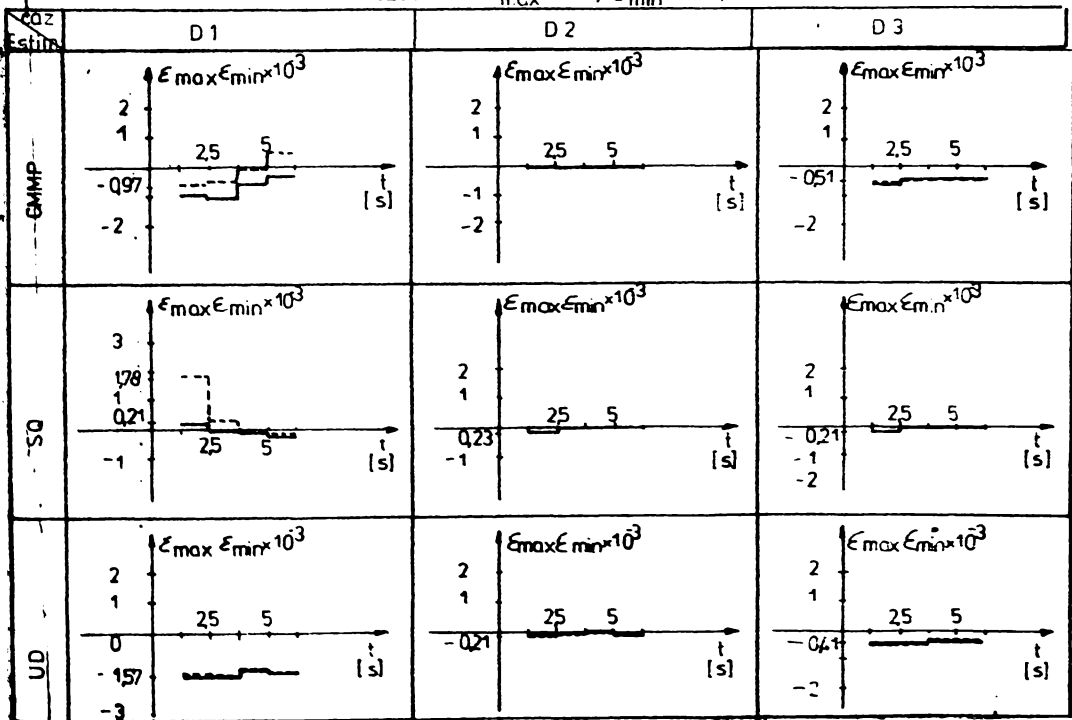
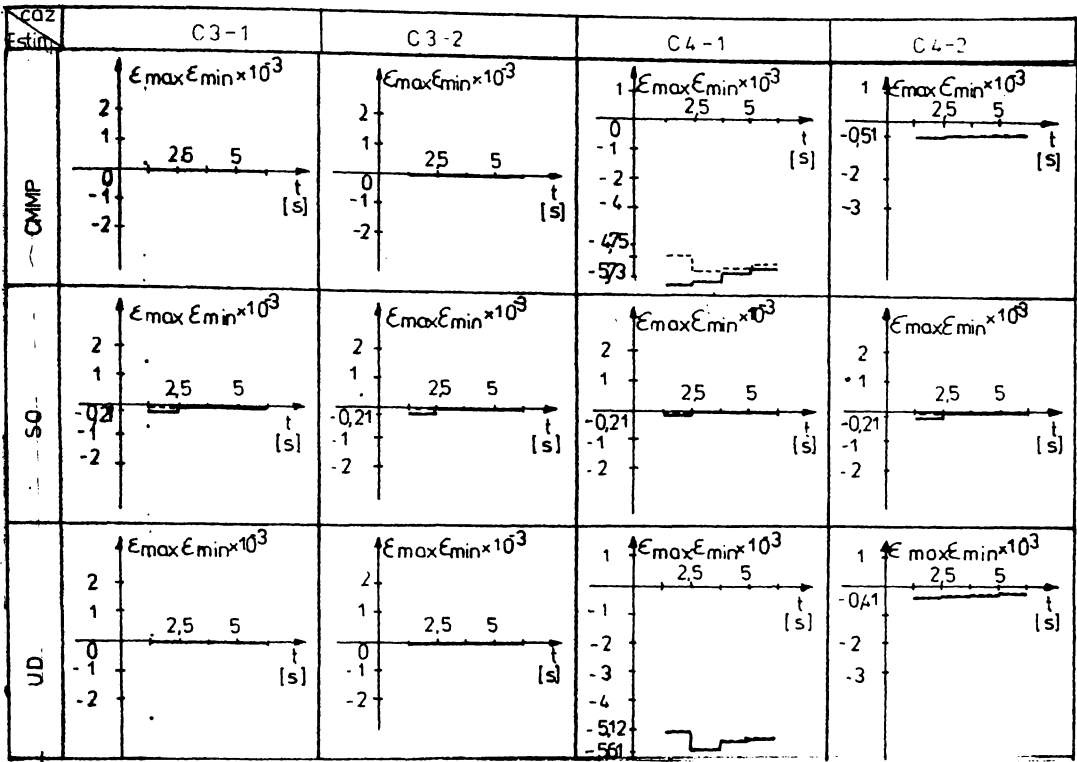


Fig.5.3.2.8 Variația erorilor maxime și minime pentru coeficientul  $b_3$



LEGENDA  $E_{max}$  ---;  $E_{min}$  —

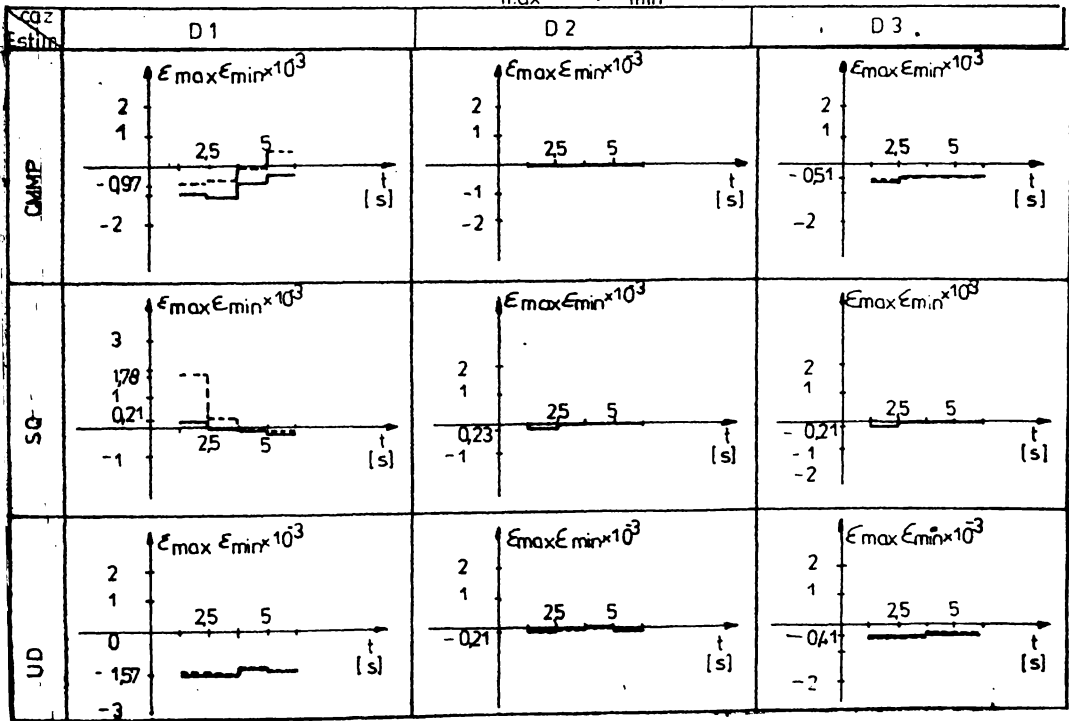


Fig.5.3.2.8 Variația erorilor maxime și minime pentru coeficientul  $b_3$

se în limite acceptabile.

C.3. - Considerarea la inițializare a unor variații mergînd pînă la 50% pentru coeficienții  $b_i$ ,  $i=\overline{0,3}$  și  $a_i$ ,  $i=\overline{1,4}$  valori exacte, pentru  $\sigma_{ieș} = 10^{-7}$  nu afectează calitatea estimării.

C.4. - Considerarea unei inițializări de una respectiv două cifre semnificative pentru  $a_i$ ,  $i=\overline{1,4}$  și  $b_i$ ,  $i=\overline{0,3}$  conduce la comportări diferite. Estimatorul SQ este practic insensibil, pe cînd estimatorii CMLPR și UD prezintă abateri care sînt mari la o cifră semnificativă și acceptabile în al doilea caz. Concluzia care se poate desprinde din studiul acestui caz este că estimatorul SQ se comportă mai bine decît estimatorii CMLPR și UD, pentru diferitele inițializări ale parametrilor, în condiția considerării unui zgomot în ieșire avînd  $\sigma_{ieș} \leq 10^{-7}$ .

#### Cazul D

Studiul influenței valorilor de inițializare ale matricii F, asupra calității estimatorilor utilizînd CMLPR, UD și SQ conduce la concluzia că situația cea mai favorabilă o oferă cazul D2.

#### Concluzii finale

Din analiza rezultatelor corespunzătoare cazurilor prezentate anterior se desprind următoarele concluzii finale:

- Se recomandă utilizarea în ieșire a unui zgomot avînd  $\sigma_{ieș} \leq 10^{-7}$ , ceea ce asigură un raport semnal util-zgomot favorabil pentru considerarea la intrare a unui semnal stohastic avînd  $\sigma_{int} = 10^{-3}$ . Acest fapt este în concordanță cu nivelul zgomotelor din procesul real (HG+SEE).

- Din rezultatele simulărilor rezultă că la inițializarea vectorului parametrilor trebuie alese pentru coeficienții  $a_i$ ,  $i=\overline{1,4}$  valori apropiate de valorile reale, în timp ce coeficienții  $b_i$ ,  $i=\overline{0,3}$  pot fi stabiliți cu abateri de pînă la 50% din valorile reale.

- Rezultatele estimării utilizînd ca date de măsură abaterile mărimilor de la intrare și ieșire față de valorile lor de regim staționar sînt net superioare cazului în care ca date de măsură se utilizează mărimile de intrare și ieșire (valori de regim staționar+abateri).

Acest aspect se justifică prin faptul că abaterile reprezintă valori de  $10^2$ - $10^3$  ori mai mici decît mărimile corespunzătoare din regimul staționar, operarea cu aceste din urmă mărimi înseamnă de fapt calcule cu numere care diferă între ele doar la a 3-a, 4-a cifră semnificativă, ceea ce conduce la o precizie mult redusă a calculilor.

Avînd în vedere cele menționate, se recomandă ca în situații reală,

în procesul de estimare să se folosească abateri ale măsurilor măsurate obținute cu dispozitive adecvate de tip comparator.

- În ceea ce privește viteza de calcul și stabilitatea numerică a algoritmilor, pentru un număr mare de pași de calcul, estimatorii TO, SQ și UD prezintă avantaje nete față de estimatorul CALPR.

În final se poate aprecia că pentru implementarea regulatorilor adaptivi autoacordabile se recomandă a fi utilizați estimatorii TO, SQ și UD funcție de aplicație, ținând cont de caracteristicile lor specifice:

- estimatorul TO nu necesită inițializări pentru startarea algoritmului, se caracterizează prin relativa simplitate și un necesar redus de memorie;
- estimatorul UD este cel mai rapid, însă cu prețul unei precizii mai reduse, necesită valori destul de apropiate de cele reale pentru inițializarea vectorului parametrilor;
- estimatorul SQ necesită valori de inițializare, dar ele pot fi mai îndepărtate de valorile reale decât în cazul estimatorului UD.

Se poate lua în considerare combinarea, de exemplu, a estimatorilor TO și UD, primul fiind utilizat în scopul găsirii unor parametrii inițiali de start pe care să-i folosească cel de-al doilea.

În cele ce urmează, pentru implementarea strategiei de comandă adaptivă autoacordabilă (RAA) s-a utilizat estimatorul TO.

#### 5.4. Regulator autoacordabil explicit pentru conducerea excitației unui HG, cu aplicație pentru CHL-Grebla

După cum s-a arătat în paragraful 2.2. structura sistemului adaptiv cu autoacordare evidențiază două funcții suplimentare în comparație cu structura convențională de reglare a excitației și anume funcția de estimare recursivă a parametrilor HG și funcția de proiectare a strategiei de comandă adaptivă autoacordabilă.

În paragrafele 3.2. și 5.3. s-a făcut o analiză de detaliu a principalelor aspecte legate de estimarea recursivă a parametrilor HG, propunându-se algoritmi eficienți de estimare recursivă care au fost implementați și testați pentru modelul discret de ordinul 4 (5.1.1.1)-(5.1.1.23) obținut pentru HG.

Prezentul paragraf dezvoltă aspecte legate de sinteza și implementarea strategiei de comandă autoacordabilă (SCAA), avându-se la bază informația de construcție (structură și parametrii) obținuți în faza de identificare a MĂ al HG și de estimare recursivă a parametrilor, astfel încât secvența de comandă generată să satisfacă

obiectivul impus prin fixarea funcției criteriu.

#### 5.4.1. Sinteza strategiei de comandă adaptivă autoacordabilă a excitației HG

În paragraful 5.1.1. a fost dedusă, pornindu-se de la modelul continuu MMR2 adoptat pentru HG, relația stohastică discretă intrare-ieșire monovariabilă, (5.1.1.1) - (5.1.1.23), în care mărirea de ieșire (reglată) este tensiunea la bornele generatorului  $\tilde{u}$ , iar mărirea de intrare (comandă) este tensiunea de excitație a excitatricei  $e$ , MM utilizabil direct în sinteza SCAA.

Una din problemele importante legate de introducerea comenzii adaptive a HG este legată de faptul că pot să apară simultan mai multe perturbații nemăsurabile care să acționeze asupra sistemului, astfel că parametrii corespunzători modelului zgomotului din relația (5.1.1.1) ( $c_i, i=\overline{1,4}$ ) nu pot fi identificați. În plus unele dintre aceste perturbații pot fi corelate statistic și marcate. În aceste situații perturbațiile nu mai pot fi descrise de un model stohastic staționar.

O posibilitate de a evita dificultățile menționate este de a presupune  $C(z^{-1}) = 1$  în relația (5.1.1.1), adică în ieșire se aplică direct zgomotul alb discret.

De asemenea, pentru asigurarea unei estimări eficiente a parametrilor procesului (HG cuplat la SEE) care să permită urmărirea variațiilor în condițiile de operare, se introduce în intrarea de comandă un semnal de medie zero, necorelat și de nivel scăzut /Dao.83/Pro.88/. Această ipoteză de lucru nu este în contradicție cu situația din practică avându-se în vedere că perturbațiile tipice care intervin în funcționarea HG cuplat la SEE cum ar fi: modificările cuplului mecanic raportate la axul turbinei, variații ale constantelor de timp și a altor parametri (de ex. ai rețelei), fluctuații ale tensiunii la borne datorită variațiilor încărcării SEE etc. sînt în general de nivel scăzut.

În aceste condiții, pentru frecvențe de eșantionare suficient de ridicate în comparație cu frecvența perturbațiilor, efectul lor poate fi determinat prin modificările parametrilor identificați. SCAA pentru procesul descris prin (5.1.1.1) se obține minimizînd o funcție criteriu (obiectiv) generalizată de forma (3.3.3.3).

Pentru aplicația considerată se poate alege cu bune rezultate  $\Phi(z^{-1}) = R(z^{-1}) = 1$ .

Problema sintezei SCAA se rezolvă prin defalcarea ei într-o problemă de predicție, care constă în construcția predictorului într-un pas al ieșirii și o problemă de reglare în care se determină strategia de comandă care minimizează criteriul (3.3.3.3).

Astfel, ecuația (5.1.1.1) poate fi rescrisă ca:

$$y(t+1) = \frac{B(z^{-1})}{A(z^{-1})} u(t) + z \frac{G(z^{-1})}{A(z^{-1})} e(t) + \frac{zd}{A(z^{-1})} \quad (5.4.1.1)$$

Termenul corespunzător zgomotului poate fi dezvoltat ca o sumă de doi termeni în modul următor:

$$z \frac{G(z^{-1})}{A(z^{-1})} e(t) = ze(t) + \frac{G(z^{-1})}{A(z^{-1})} e(t) = \xi(t+1) + \xi'(t) \quad (5.4.1.2)$$

unde

$$G(z^{-1}) = z[C(z^{-1}) - A(z^{-1})] = g_1 + g_2 z^{-1} + \dots \quad (5.4.1.3)$$

$$\xi'(t) = \frac{G(z^{-1})}{A(z^{-1})} e(t) \quad (5.4.1.4)$$

$\xi'(t)$  reprezintă secvența de zgomot pînă la momentul  $t$  care influențează ieșirea  $y(t+1)$  iar  $\xi(t+1) = ze(t)$  reprezintă zgomotul de la momentul  $(t+1)$  care perturbă ieșirea  $y(t+1)$ .

Introducînd (5.4.1.2) în (5.4.1.1) se obține:

$$y(t+1) = \left[ \frac{B(z^{-1})}{A(z^{-1})} u(t) + \frac{G(z^{-1})}{A(z^{-1})} e(t) + \frac{zd}{A(z^{-1})} \right] + \xi(t+1) \quad (5.4.1.5)$$

Cunoscînd toate valorile anterioare ale intrării și ieșirii se poate determina valoarea curentă a zgomotului.

$$e(t) = \frac{A(z^{-1})}{C(z^{-1})} y(t) - \frac{z^{-1}B(z^{-1})}{C(z^{-1})} u(t) - \frac{d}{C(z^{-1})} \quad (5.4.1.6)$$

Substituind (5.4.1.6) în (5.4.1.5) și utilizînd (5.4.1.3) se ajunge la:

$$y(t+1) = \left[ \frac{G(z^{-1})}{C(z^{-1})} y(t) + \frac{B(z^{-1})}{C(z^{-1})} u(t) + \frac{zd}{C(z^{-1})} \right] + \xi(t+1) \quad (5.4.1.7)$$

Rezultă că cel mai bun estimat al lui  $y(t+1)$  la momentul  $t$  (predictorul într-un pas al ieșirii) va fi dat de

$$\hat{y}(t+1/t) = y(t+1) - \xi(t+1) = \frac{G(z^{-1})}{C(z^{-1})} y(t) + \frac{B(z^{-1})}{C(z^{-1})} u(t) + \frac{zd}{C(z^{-1})} \quad (5.4.1.8)$$

( $\xi(t+1)$  putînd fi interpretat ca eroare de predicție într-un pas).

Problema de predicție fiind rezolvată o dată cu construcția

predictorului (5.4.1.8), în continuare trebuie soluționată și problema de reglare.

Pentru aceasta înlocuind pe  $y(t+1)$  în funcția obiectiv (3.3.3.3) în ipotezele considerate ( $P(z^{-1}) = R(z^{-1}) = 1$ ) rezultă:

$$I = E \left\{ \left[ \hat{y}(t+1/t) + \xi(t+1) - w(t) \right]^2 + \left[ Q'(z^{-1})u(t) \right]^2 \right\} \quad (5.4.1.9)$$

Considerând dispersia zgomotului  $\xi$ ,  $E/\xi^2(t+1) = \sigma^2$  și având în vedere că  $\xi(t+1)$  este necorelat cu  $u(t-i)$ ,  $y(t-i)$  și prin ipoteză nici cu  $w(t-i)$ , pentru  $i \geq 0$ , criteriul (5.4.1.9) devine:

$$I = \left[ \hat{y}(t+1/t) - w(t) \right]^2 + \left[ Q'(z^{-1})u(t) \right]^2 + \sigma^2 \quad (5.4.1.10)$$

Strategia de comandă  $u(t)$  se obține minimizând funcția criteriu (5.4.1.10), adică anulând derivata parțială în raport cu  $u(t)$ :

$$\frac{\partial I}{\partial u(t)} = 2 \left[ \hat{y}(t+1/t) - w(t) \right] \frac{\partial \hat{y}(t+1/t)}{\partial u(t)} + 2Q'(0)Q'(z^{-1})u(t) = 0 \quad (5.4.1.11)$$

din (5.4.1.8) rezultă că:

$$\frac{\partial \hat{y}(t+1/t)}{\partial u(t)} = b_0 \quad (5.4.1.12)$$

Definind un nou polinom:

$$Q(z^{-1}) = \frac{Q'(0)Q'(z^{-1})}{b_0} \quad (5.4.1.13)$$

și înlocuind pe (5.4.1.8) în (5.4.1.11), ținând cont că  $d$  este o constantă) strategia de comandă adaptivă autoacordabilă (regulatorul autoacordabil - RAA) va fi dată de:

$$u(t) = \frac{G(z^{-1})w(t) - G(z^{-1})y(t) - d}{B(z^{-1}) + Q(z^{-1})C(z^{-1})} \quad (5.4.1.14)$$

Parametrii procesului (HG) trebuie să se identifice și continuu, printr-una din procedurile propuse în paragraful 5.3., valorile estimate fiind apoi introduse în calculul SCM, obținându-se astfel un RAA explicit.

Dacă estimatorul recursiv converge, ecuația caracteristică a sistemului automat de reglare (în buclă închisă) devine:

$$C(z^{-1}) \left[ B(z^{-1}) + Q(z^{-1})A(z^{-1}) \right] = 0 \quad (5.4.1.15)$$

rezultă că pentru a asigura stabilitatea procesului condus de RAA, rădăcinile polinomului  $C(z)$  trebuie să se găsească în interiorul cercului unitar (în planul complex  $z$ ) iar polinomul  $Q(z^{-1})$  trebuie astfel ales încât polinomul:

$$B(z^{-1}) + Q(z^{-1})A(z^{-1}) \quad (5.4.1.16)$$

să fie de asemenea stabil.

Pentru a obține o formă convenabilă implementării SCAA (5.4.1.14) se consideră un semnal de test suprapus peste mărimea de comandă:

$$u'(t) = u(t) + \xi(t) \quad (5.4.1.17)$$

unde:  $\xi(t)$  este un proces Gaussian obținut ca:

$$\xi(t) = \frac{ze(t)}{b} \quad (5.4.1.18)$$

( $e(t)$  are semnificația dată în (5.1.1.1)).

Utilizarea lui  $u'(t)$  dat de (5.4.1.17) în loc de  $u(t)$  în ecuația (5.1.1.1), conduce pentru modelul procesului la următoarea ecuație cu diferențe stohastice:

$$A(z^{-1})y(t) = z^{-1}B(z^{-1})u'(t) + d \quad (5.4.1.19)$$

sau

$$A(z^{-1})y(t) = z^{-1}B(z^{-1})u(t) + d + \frac{B(z^{-1})}{b_0} e(t) \quad (5.4.1.20)$$

Se observă că în modelul (5.4.1.20) este prezentă chiar comanda  $u(t)$  și o perturbare cunoscută  $e(t)$ , parametrii lui  $C(z^{-1})$  ne mai fiind necesar să fie identificați, putându-se obține direct din  $B(z^{-1})$ :

$$C(z^{-1}) = \frac{B(z^{-1})}{b_0} \quad (5.4.1.21)$$

Substituind relația (5.4.1.21) în (5.4.1.14) și (5.4.1.13) SCAA devine:

$$u(t) = \frac{1}{L(z^{-1})} \left[ \frac{B(z^{-1})}{b_0} w(t) - G(z^{-1})y(t) - d \right] \quad (5.4.1.22)$$

unde:

$$L(z^{-1}) = \frac{B(z^{-1})}{b_0} [b_0 + Q(z^{-1})] \quad (5.4.1.23)$$

$$G(z^{-1}) = z \left[ \frac{B(z^{-1})}{b_0} - A(z^{-1}) \right] \quad (5.4.1.24)$$

Sistemul automat de reglare a excitației HG cuplat la SC este reprezentat în acest caz în fig.5.4.1.1.

Polinomul  $Q(z^{-1})$  se poate alege astfel încît să îmbunătățească stabilitatea sistemului în buclă închisă. O alegere convenabilă și din punct de vedere al calității reglajului este:

$$Q(z^{-1}) = \rho(1 - z^{-1}) \quad (5.4.1.25)$$

care realizează de fapt inserarea unui integrator în buclă închisă de a asigura anularea erorii de regim staționar.



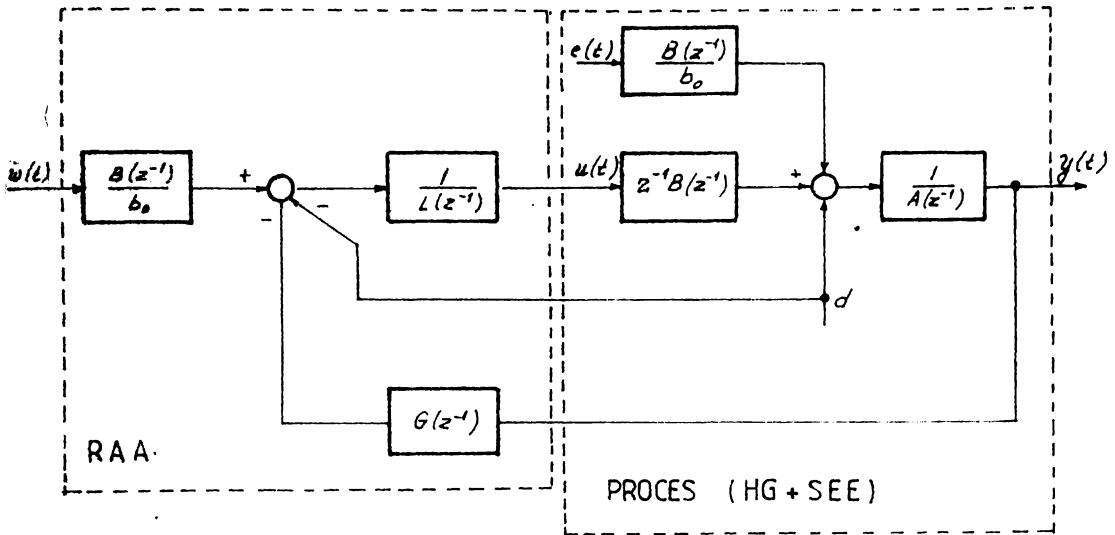


Fig.5.4.1.1. Structura sistemului automat de reglare a excitației HG cuplat la SEE

Înlocuind (5.4.1.25) în (5.4.1.23) și considerînd polinoamele  $A(z^{-1})$  și  $B(z^{-1})$  de forma (5.1.1.23) se va obține după calcule de rutină pentru SCAA o expresie de forma:

$$\begin{aligned}
 u(t) = \frac{1}{(b_0 + \varrho)} & \left\{ - \left[ \frac{b_1}{b_0} (b_0 + \varrho) - \varrho \right] u(t-1) - \left[ \frac{b_2}{b_0} (b_0 + \varrho) - \right. \right. \\
 & \left. \left. - \varrho \frac{b_1}{b_0} \right] u(t-2) - \left[ \frac{b_3}{b_0} (b_0 + \varrho) - \varrho \frac{b_2}{b_0} \right] u(t-3) + \varrho \frac{b_3}{b_0} u(t-4) + \right. \\
 & \left. + w(t) + \frac{b_1}{b_0} w(t-1) + \frac{b_2}{b_0} w(t-2) + \frac{b_3}{b_0} w(t-3) - d - \right. \\
 & \left. - \left( \frac{b_1}{b_0} - a_1 \right) y(t) - \left( \frac{b_2}{b_0} - a_2 \right) y(t-1) - \left( \frac{b_3}{b_0} - a_3 \right) y(t-2) + \right. \\
 & \left. + a_4 y(t-3) \right\} \quad (5.4.1.26)
 \end{aligned}$$

Vectorul parametrilor care trebuie estimat printr-o procedură recursivă este dat de:

$$\theta(t) = [a_1, a_2, a_3, a_4, b_0, b_1, b_2, b_3, d]^T \quad (5.4.1.27)$$

Estimatorul utilizează ca date de calcul, ieșirile  $y(t)$ ,  $y(t-1)$ ,  $y(t-2)$ ,  $y(t-3)$ ,  $y(t-4)$  și intrările  $u'(t-1)$ ,  $u'(t-2)$ ,  $u'(t-3)$ ,  $u'(t-4)$  în care semnalul de test  $\xi(t-1)$ ,  $\xi(t-2)$ ,  $\xi(t-3)$ ,  $\xi(t-4)$  este cunoscut.

Operarea în timp îndelungat a RAA poate însă ridica probleme practice delicate. Astfel, inversa matricii de covarianță a estimatorului CMMP ( $P^{-1}(t)$ ) poate deveni în timp negativ definită, ceea ce conduce la divergența rapidă a procesului de identificare a parametrilor și implicit la eșuarea algoritmului. Estimatorii SO și TO garantează păstrarea pozitivității matricii de covarianță prin însăși modul lor de construcție. Cu toate acestea utilizarea lor în cadrul RAA, prin cumulara în timp îndelungat a erorilor de trunchiere poate avea influențe nefaste asupra performanțelor algoritmului.

#### Algoritm de comandă adaptivă autoacordabilă

O soluție practică de a evita neajunsurile menționate constă în restartarea după un anumit interval de timp a estimatorului recursiv al parametrilor. Restartarea însă, trebuie astfel realizată încît să nu împiedice furnizarea continuă a comenzii la fiecare interval de eșantionare.

În acest sens s-a conceput o metodă prin care restartarea este întrețesută cu procesul de urmărire a modificărilor valorilor parametrilor datorate schimbărilor din condițiile de operare ale HG.

Principiul metodei constă în aceea că la intervalele de eșantionare impare estimatorul urmărește variațiile parametrilor modelului iar intervalele pare de eșantionare sînt folosite pentru efectuarea calculelor din cadrul procesului de restartare. Comanda se elaborează la fiecare interval de eșantionare pe baza parametrilor estimați la intervalele impare.

Presupunînd că procesul de inițializare a estimatorului necesită 150 de intervale de eșantionare (pași de calcul) algoritmul de comandă adaptivă autoacordabilă (RAA) a excitației HG cuplat la SEE cuprinde următoarele etape:

**etapa 1:** este constituită din pașii de calcul 1 la 150 în care se determină estimatul vectorului parametrilor  $\hat{\theta}_1(t)$  și matricea de covarianță corespunzătoare  $P_1(t)$ . Pentru aceasta se utilizează ca set de date măsurătorile ieșirii (abaterea tensiunii la borne)  $y(t-i)$ ,  $i = \overline{0,4}$  și ale intrării (abaterea ten-

siunii de excitație a excitatricei)  $u(t-i)$ ,  $i=\overline{1,4}$  (secvența  $u(t)$  reprezintă o secvență aleatoare, normal distribuită, cu  $E/u(t) = 0$ ).

**etapa 2:** cuprinde pașii 151 pînă la 450 în care se rezolvă următoarele probleme:

2.1. Utilizînd ca set de date  $y(t-i)$ ,  $i=\overline{0,4}$  și  $u'(t-i)$ ,  $i=\overline{1,4}$ , se estimează vectorii parametrilor  $\hat{\Theta}_1(t)$  la pași impari, respectiv  $\hat{\Theta}_2(t)$  la pași pari.  $\hat{\Theta}_2(t)$  va conține în final, la pasul 150 noul vector al parametrilor obținut în urma restartării. Corespunzător se va obține o nouă matrice de covarianță  $P_2(t)$ .

2.2. Utilizînd estimatul parametrilor  $\hat{\Theta}_1(t)$  obținut în etapa 1 (la pașii impari) se calculează strategia de comandă  $u(t)$  utilizînd (5.4.1.26).

2.3. Se calculează semnalul de test  $\xi(t)$  cu relația (5.4.1.18) și apoi se adaugă comenzii  $u(t)$  pentru a obține pe  $u'(t)$  cu (5.4.1.17).

**etapa 3:** desfășurată la finele pasului 450 constă în atribuirea valorilor  $\hat{\Theta}_2(t)$  respectiv  $P_2(t)$  lui  $\hat{\Theta}_1(t)$  respectiv  $P_1(t)$ . În continuare,  $\hat{\Theta}_2(t)$  și  $P_2(t)$  sînt inițializate pentru o nouă restartare după care pentru pașii 451 la 600 se trece la etapa 2.

Calcululele se continuă prin alternarea etapelor 2 și 3 din 300 în 300 de pași.

#### 5.4.2. Considerații privind simularea funcționării RAA

A fost elaborat un program FORTRAN în variantă convențională prin care s-a simulat funcționarea în buclă închisă a HG.

În etapa de calcul a mărimii de comandă UC au fost introduse relațiile date de legea de comandă cu strategie de minimă varianță generalizată, în două variante ce pot fi alese opțional de utilizator și anume:

- calculul comenzii se face pe baza parametrilor estimați din proces cu metoda TO;

- calculul comenzii se realizează cu parametri reali ai procesului folosit în simularea perechilor de date intrare-ieșire (UC-YC).

A doua variantă s-a implementat doar din considerente metodologice de cercetare, nefiind aplicabilă în practică.

Programul de calcul permite prin intermediul unui dialog la consolă să fie adoptate la fiecare 50 pași de calcul decizii referitoare la:

- prezența tipăririlor la impimantă;
- conectarea regulatorului (care se realizează după ce inițializarea estimatorului se consideră încheiată);
- felul reglării, cu parametri estimați sau reali;
- modificări ale regimurilor de funcționare al HG prin schimbarea parametrilor reali ai MM al procesului;
- modificarea valorii referinței;
- sfârșitul procesului de estimare;
- reînceperea unui nou proces de inițializare a estimatorului;
- terminarea simulării funcționării RAA.

Programul debutează ca și cel utilizat la estimarea recursivă a parametrilor, printr-un dialog prin care se fixează datele inițiale:

- mărimi ale intrării și ieșirii în regim staționar;
- valoarea lui  $\varphi$  ;
- dispersia și valoarea medie a zgomotului alb din intrarea și ieșirea procesului.

În cadrul programului se găsesc toate comentariile necesare înțelegerii modului lui de funcționare. Referitor la estimatorul folosit,  $T_0$  , se precizează că a fost utilizată o variantă ce permite și estimarea mărimii constante  $d$  din MM al HG.

#### 5.4.3. Rezultate și concluzii privind implementarea RAA explicit

Cu programul de calcul descris în paragraful 5.4.2. s-a simulat funcționarea în buclă închisă a HG-GHE Grebla condus cu RAA explicit. Pentru început s-a considerat HG în regim de mers în gol. Intervalul de eșantionare s-a ales de  $\tau = 50$  ms.

Primii 50 de pași (2,5 sec.) s-au utilizat pentru estimarea parametrilor MM al HG cu estimatorul  $T_0$ , semnalul stohastic din intrare fiind caracterizat prin medie zero și  $\sigma = 10^{-3}$ . La pasul 51 s-a conectat regulatorul, fiind înregistrate variațiile comenzii ( $U_C = \Delta e$ ) și ieșirii ( $y = \Delta \tilde{U}$ ) pe următorii 300 de pași (15 sec.).

S-a analizat influența alegerii mărimii factorului de penalizare a comenzii  $\varphi$  asupra calității reglajului realizat de către RAA în prezența perturbațiilor stohastice. Astfel în fig.5.4.3.1.a-d

sînt prezentate comparativ variațiile comenzii și ieșirii pentru patru valori distincte ale factorului  $\varphi$ .

În fig.5.4.3.1.a și c s-au reprezentat comanda și ieșirea pentru  $\varphi = 0,001$  respectiv  $\varphi = 0,01$ . Se observă că în primul caz valorile comenzii sînt excesiv de mari, de peste 10 ori mai mari decît valoarea nominală, pe cînd în al doilea caz valoarea comenzii se situează în jurul valorii nominale. Valorile ieșirii în cele două cazuri sînt comparabile, deviațiile maxime nedepășind 0,1% din valoarea nominală a tensiunii de la borne, fapt ce evidențiază calitatea deosebită a reglajului realizat de către RAA chiar în prezența unor perturbații stohastice. Concluzia care se desprinde constă în importanța legerii mărimii factorului de penalizare a comenzii. Din acest motiv în fig.5.4.3.1.b și d sînt prezentate comparativ variațiile comenzii și ieșirii pentru încă două valori distincte ale factorului de penalizare  $\varphi$  și anume:  $\varphi = 0,005$ ;  $\varphi = 0,02$ . Se constată că o creștere a lui  $\varphi$  în domeniul considerat, conduce la o micșorare sensibilă a mărimii comenzii și la o creștere ușoară a amplitudinii ieșirii.

Rezultă că  $\varphi$  trebuie astfel ales încît să se realizeze un bun compromis între amplitudinea comenzii și evoluția mărimii de ieșire. Se observă că o alegere a lui  $\varphi$  în zona  $0,001 \div 0,005$  conduce la o micșorare importantă a comenzii (de cca 4 ori) pe cînd modificarea lui  $\varphi$  de la  $0,005$  la  $0,02$  conduce la o micșorare doar de cca 2,5 ori a comenzii. Creșterea lui  $\varphi$  de la  $0,01$  la  $0,02$  conduce la mărirea mai pronunțată a amplitudinii ieșirii decît pentru modificarea lui în domeniul  $0,005 \div 0,01$ . Din aceste motive se consideră că o valoare bună pentru factorul de penalizare este cuprinsă în domeniul  $0,005 \div 0,01$ .

În continuare, s-a analizat prin simulare influența modificării regimului de funcționare a HG asupra calității reglajului autoadaptiv a excitației. În acest sens simularea cuprinde următoarele 4 etape:

- etapa 1, cuprinzînd primii 50 de pași - constă în estimarea parametrilor MM al HG;
- etapa 2, cuprinzînd pașii 51-100 - corespunde conectării RAA și regimului de mers în gol a HG;
- etapa 3, corespunzătoare pașilor 101-150 - cuprinde modificarea încărcării HG de la valoarea 0 la 35%  $S_{nqm}$ , creșterea sarcinii efectuîndu-se liniar cu 0,7%/pas de eșantionare;
- etapa 4, de la 151-300 pași - cuprinde regimul de stabilizare la noul punct de funcționare. Modificarea încărcării a fost realizată

prin schimbarea, conform tabelului 5.2.1. a coeficienților MM al HG utilizat în generarea secvenței mărimilor de intrare și ieșire din proces.

În fig.5.4.3.2.a și b sînt prezentate variațiile comenzii și ieșirii pentru două valori ale lui  $\varphi$  și anume  $\varphi = 0,001$  respectiv  $\varphi = 0,01$ . Se desprind următoarele concluzii:

- importanța alegerii corecte a valorii lui  $\varphi$  crește în cazul modificării regimului de funcționare a HG, valoarea comenzii scăzînd de cca 100 de ori în cazul  $\varphi = 0,01$  față de  $\varphi = 0,001$ ;
- influența lui  $\varphi$  este de această dată mai semnificativă și în ceea ce privește evoluția ieșirii; pentru cazul  $\varphi = 0,001$  regimul tranzitoriu este caracterizat prin amplitudini mari și durată lungă în comparație cu cazul  $\varphi = 0,01$ .

#### Concluzii finale

Situațiile analizate au demonstrat influența puternică a parametrului  $\varphi$ , rezultînd ca o recomandare generală utilizarea în sinteza SCAA a unor funcții criteriu generalizate cu ponderarea obligatorie a comenzii.

Structura de conducere adaptivă considerată a dovedit o comportare corespunzătoare față de perturbațiile introduse în comandă.

În concluzie se poate afirma că utilizarea RAA în reglajul excitației HG conduce la performanțe calitative superioare, fiind o soluție modernă a reglajului de tensiune a HG care se impune a fi luată în considerare în vederea implementării în CHE.

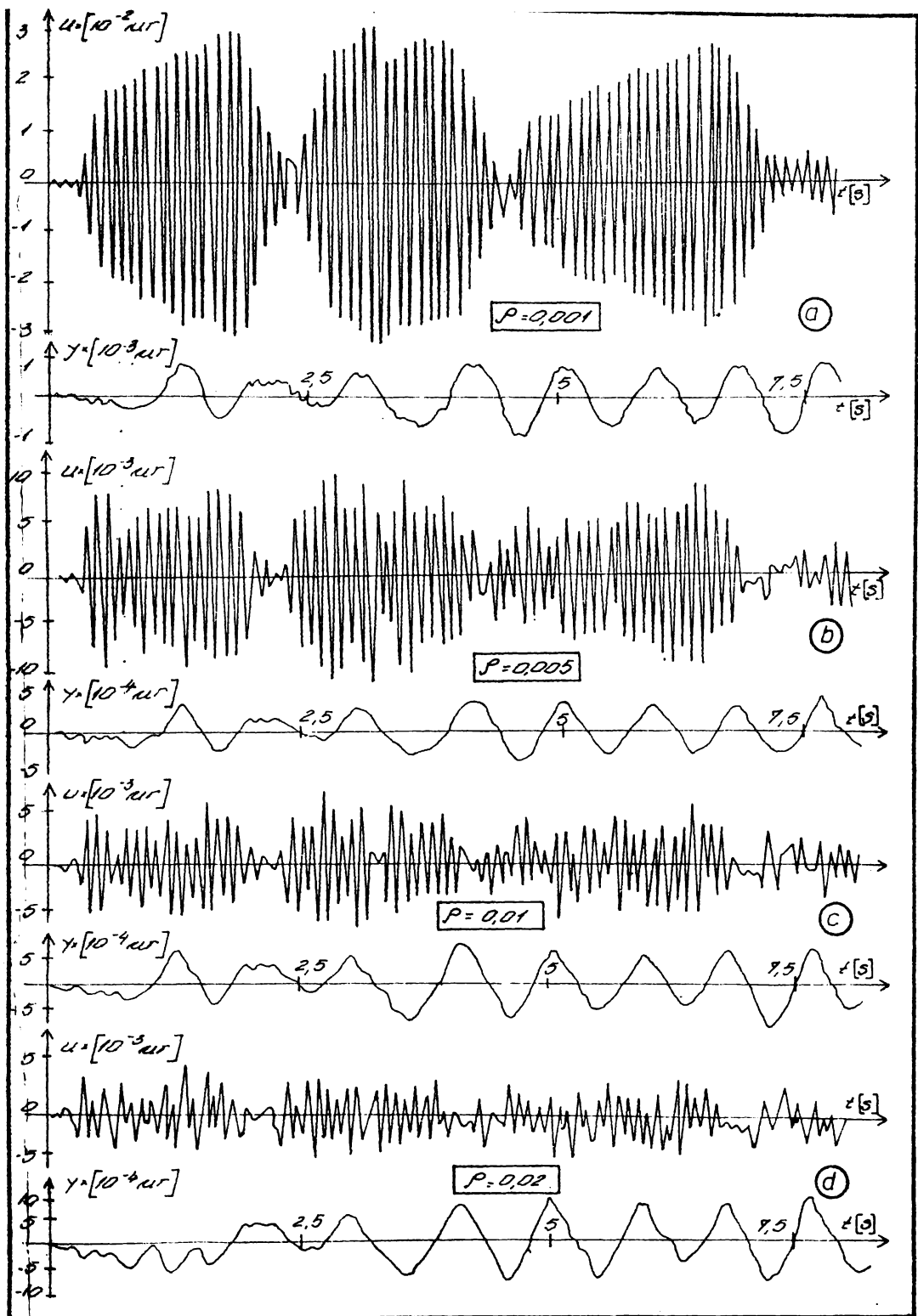


Fig.5.4.3.1 Variația abaterii comenzii excitatoarei și a abaterii tensiunii la borne în cazul reglării autoacordabile a excitației HG pentru regimul normal

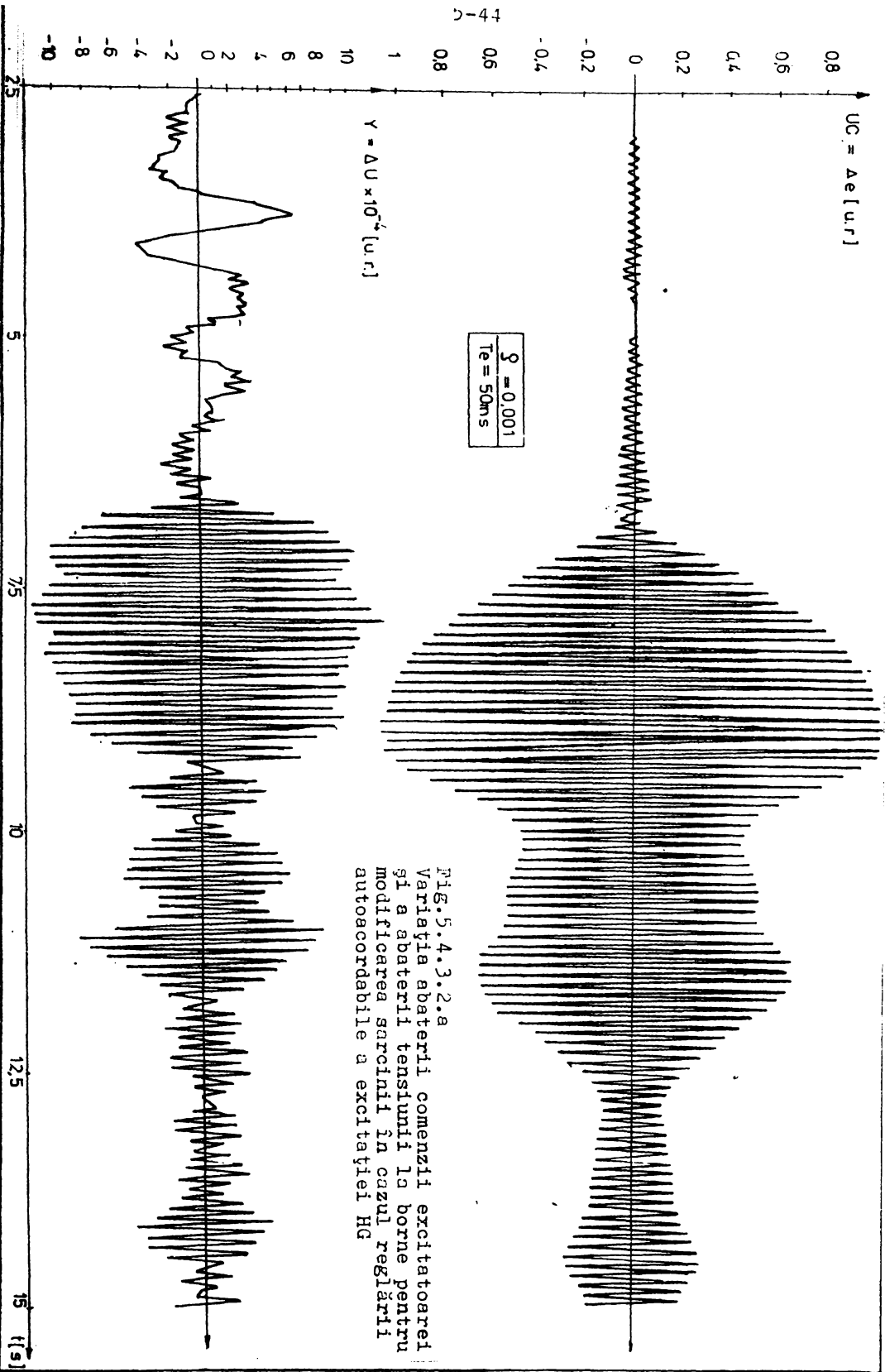


Fig.5.4.3.2.a  
 Variația abaterii comenzii excitatoarei și a abaterii tensiunii la borne pentru modificarea sarcinii în cazul reglării autoacordabile a excitației HG



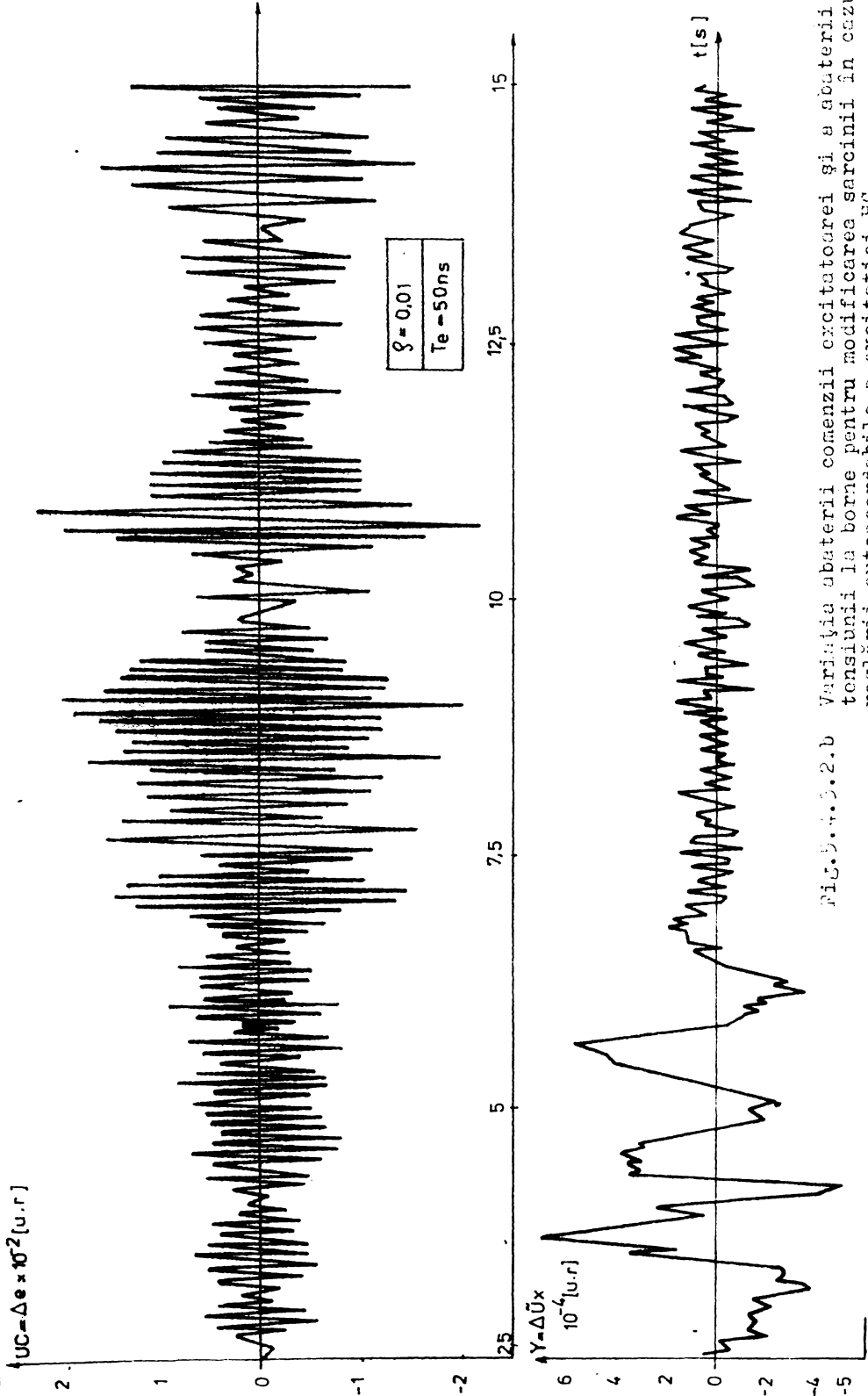


Fig. 5.4.5.2.b Variația abaterii comenzii excitației și a abaterii tensiunii la borne pentru modificarea sarcinii în cazul reglării autoscordabile a excitației HG

## CAP.6 CONCLUZII

Lucrarea de față vizează domeniul de mare actualitate al conducerii adaptive autoacordabile a proceselor complexe perturbate stohastic, cu informație apriori redusă - în general și a sistemului de excitație a unui hidrogenerator cuplat la sistemul electroenergetic prin intermediul unei rețele complexe - în particular.

Actualitatea problematicii abordate în teză rezidă din faptul că - pe de o parte această categorie de sisteme de conducere constituie încă un domeniu insuficient de structurat al automaticii, cu o multitudine de algoritmi și tehnici de rezolvare a problemei de comandă - iar pe de altă parte numărul aplicațiilor industriale semnificative care implementează conducerea adaptivă este extrem de mic /Cal. 88/. Acest ultim aspect se datorează în principal complexității proceselor industriale dar, incontestabil că și conservatorismului utilizatorilor potențiali. Este de remarcat faptul că abordarea într-o astfel de manieră a conducerii adaptive prin intermediul reguletoarelor autoacordabile a excitației unui HG cuplat la SEE reprezintă o primă încercare de acest fel din țară, calculele de sinteză fiind efectuate pentru una din amenajările existente și anume CHE-Grebla.

Lucrarea este concepută ca o dezvoltare succesivă de probleme care se completează continuu, sfârșitul fiecărei etape evidențiind particularități, recomandări și concluzii utilizabile în cadrul abordărilor următoare.

Prima parte a lucrării are un pronunțat caracter sintetic, integrând critic cele mai importante și recente realizări în domeniul considerat, dezvoltărilor și contribuțiilor proprii autorului.

S-a urmărit să se realizeze, pe cât posibil, o tratare unitară a domeniului care să ofere o viziune de ansamblu asupra problemei conducerii adaptive autoacordabile și să se furnizeze o metodologie de lucru utilă specialiștilor interesați.

Sînt discutate în detaliu aspecte practice legate de proprietățile și performanțele numerice ale algoritmilor propuși, fiind formulate recomandări în vederea implementării lor în cadrul structurilor

de conducere autoscordabilă.

Sinteza RAA necesită un volum mare de muncă pentru construcția unui model adecvat al instalației, aceasta fiind însă compensată ulterior de durată redusă a implementării. Astfel, problemei identificării analitice a unui MM stohastic discret al procesului considerat (HG cuplat la SEE), direct utilizabil în sinteza RAA, îi este dedicat un spațiu larg în lucrare.

Un aspect important legat de introducerea comenzii adaptive a HG este impus de faptul că pot să apară simultan mai multe perturbații nemăsurabile care să acționeze asupra sistemului astfel că parametrii corespunzători modelului zgomotului nu pot fi identificați. De asemenea pentru asigurarea unei estimări eficiente a parametrilor care să permită urmărirea variațiilor în condițiile de operare, s-a introdus în intrarea de comandă un semnal de medie zero, necorelat și de nivel scăzut. Această abordare nu este în contradicție cu situația din practică avându-se în vedere că perturbațiile tipice care intervin în funcționarea HG cuplat la SEE, cum ar fi: modificările cuplului mecanic raportate la axul turbinei, variații ale constantelor de timp și a altor parametrii, fluctuații ale tensiunii la borne datorate variațiilor încărcării SEE etc. sînt în general de nivel scăzut. În aceste condiții, pentru frecvențe de eșantionare suficient de ridicate în comparație cu frecvența perturbațiilor, efectul lor poate fi determinat prin modificările parametrilor identificați.

Structura propusă de conducere adaptivă prevăzută cu RAA explicit a dovedit, prin simulările efectuate, performanțe calitative superioare, fiind o soluție modernă a reglajului de tensiune a HG care se impune a fi luată în considerare în vederea implementării în CHE.

Pornind de la obiectivele declarate ale acestei lucrări, în continuare se enumeră principalele contribuții originale:

Elaborarea unei sinteze asupra stadiului actual al cercetărilor privind sistemele de conducere adaptivă în general și al sistemelor de conducere autoscordabilă în special - și sistematizarea principalelor noțiuni, structuri și rezultate acumulate în teoria sistemelor adaptive.

Sintetizarea unor metode de estimare, pentru care metoda CMLP constituie procedura nucleu și care depășesc impedimentele create de corelarea zgomotului. Ele sînt analizate critic prin considerarea unui algoritm on-line general al matricii de covarianță.

- Formularea și caracterizarea algoritmului on-line al matricii de informație prin metoda OMLP.
- Formularea și analiza de detaliu a unor algoritmi on-line de estimare bazați pe tehnici de factorizare matriceală utilizând matricea de informație și matricea de covarianță. Sînt evidențiate particularități și recomandări de implementare a lor prin prisma intereselor legate de sinteza și implementarea strategiilor de conducere autoacordabilă.
- Conceperea și caracterizarea unui algoritm original de filtrare discretă cu rădăcina pătrată a matricii de informație, obținut pe o cale directă din estimatorul OMLP off-line utilizînd transformările ortogonale Givens.
- Sistematizarea și aprofundarea unor probleme de analiză și sinteză a strategiilor de comandă adaptivă autoacordabilă de varianță minimă de bază, modificate și generalizate, privite ca soluții a problemei de predicție. Sînt specificate procedee de construcție a RAA explicite și implicite.
- Identificarea analitică, analiza și validarea a cinci modele matematice continue, de complexități diferite ale HG (complet cu/fără saturație - MROS/MMC și reduse MMRI,  $i=1,3$ ) utilizabile în sinteza și simularea conducerii adaptive a sistemului lor de excitație. Sînt formulate concluzii referitoare la calitatea MA, recomandîndu-se din punctul de vedere al realizării compromisului simplitate-fidelitate utilizarea în conducerea adaptivă a excitației HG a MMRI și MMR2.
- Deducerea, pe baza MMR2, a unei relații stohastice discrete, intrare-ieșire monovariabilă - ca MM al HG conectat la SEE de putere prin intermediul unei rețele complexe - în care mărimea de ieșire (reglată) este tensiunea la borne (abaterea), iar mărimea de intrare (comanda) este tensiunea de excitație a excitatoarei (abaterea). Relația obținută este direct utilizabilă în sinteza strategiilor de conducere autoacordabilă a excitației HG.
- Utilizînd un program de calcul al valorilor parametrilor MM al HG, s-a efectuat o analiză detaliată a influenței principalelor regimuri de funcționare a HG și a unor parametri importanți ai acestuia asupra coeficienților MM utilizat în conducerea adaptivă a excitației. S-au stabilit limitele domeniilor și modul de variație al acestora, informații necesare în procesul de startare al algoritmilor de estimare și la aprecierea calității estimatorilor consi-

derați.

- Analiza repartiției poli-zerouri pentru funcțiile de transfer continuă și discretă a ansamblului excitatoare-HG-rețea-SEE, efectuată pentru patru regimuri de funcționare reprezentative.
- Analiza comparativă a patru estimatori recursivi (estimatorul CMMF-R, estimatorul bazat pe filtrare discretă cu ajutorul rădăcinii pătrate utilizând matricea de covarianță-SQ, estimatorul bazat pe TO Givens - TO și estimatorul bazat pe factorizarea  $UDU^T$ -UD) realizată pe baza unui program de teste complex, constituit din 42 de cazuri de studiu privind estimarea parametrilor unui proces funcționând în buclă deschisă.

Sînt formulate criteriile care fac posibilă evaluarea critică a algoritmilor propuși, evidențiindu-se concluzii privind calitatea estimatorilor și recomandări privind implementarea lor în cadrul structurilor de conducere autoacordabilă.

- Realizarea unui regulator autoacordabil explicit pentru conducerea adaptivă a excitației unui HG cuplat la SEE, avîndu-se la bază informația de construcție (structură și parametri) obținuți în feza de identificare analitică și de estimare recursivă, astfel încît secvența de comandă generată satisface dezideratele impuse de o funcție criteriu pătratică cu orizont de timp redus care realizează și inserarea unui integrator în buclă închisă.
- Elaborarea unui pachet de programe, în variantă conversațională, prin care s-a simulat funcționarea în buclă închisă a HG condus cu RAA explicit.
- Studiul influenței factorului de penalizare a comenzii ca și a influenței modificării regimurilor de funcționare ale HG asupra calității reglajului adaptiv a excitației realizat de către RAA în prezența perturbațiilor stohastice. Se emit recomandări privind plaja de variație a factorului considerat pentru care se asigură un bun compromis între amplitudinea comenzii și evoluția mărimei de ieșire.
- Elaborarea unei metode de implementare a strategiei de comandă autoacordabilă în care restartarea estimatorului recursiv este înțrețesută cu procesul de urmărire a modificărilor parametrilor datorate schimbărilor din condițiile de operare astfel încît să nu se împiedice furnizarea continuă a comenzii la fiecare interval de eșantionare. Se evită astfel problemele practice delicate ridicate de cumulara erorilor de trunchiere în cazul operării în timp îndelungat a RAA.

Problemele prezentate precum și rezultatele obținute în urma soluționării lor conferă lucrării un real caracter de aplicabilitate practică, deschizând noi perspective cercetărilor în domeniul abordat.

Dirjecțiile de cercetare viitoare sînt variate, putîndu-se menționa în acest sens cele care au în vedere îmbunătățirea performanțelor numerice ale algoritmilor utilizați și reducerea efortului de implementare a RAA.

Pe de altă parte, legat de aplicația studiată, se pot lua în considerare utilizarea în etapa de estimare și elaborare a comenzii a unor MM mai complexe ale HG, mergînd pînă la MM multivariabile în intrare și ieșire și/sau alegerea unor intervale de eșantionare de valori diferite pentru estimare și respectiv comandă.

Evident, cele menționate sînt doar cîteva din dezvoltările posibile și oricum, încununarea cercetărilor demarate în această lucrare o constituie implementarea structurilor de conducere adaptivă auto-acordabilă în CMA, ca alternativă a sistemelor de reglare convențională existente în prezent, a căror limitări au fost menționate în Cap.1.

Pentru elaborarea lucrării a fost utilizată o bibliografie ce cuprinde 182 titluri. Ea include și 16 lucrări ale cărui autor sau coautor este autorul tezei, dintre care 2 titluri ce cumulează protocoalele contractelor elaborate în cadrul I.P.I.V.Timisoara care înglobează aportul autorului la soluționarea problemelor puse și un titlu de carte scrisă în colaborare apărută în Ed.FACL.

BIBLIOGRAFIE

Principalele abrevieri utilizat  in cadrul referin elor bibliografice:  
 AMC - Automatica, Management, Calculatoare; Bul.IPTVT-EI. - Bulstinul  
 Stiin ific  i Tehnic al I.P.Timi oara, seria Electrotehnic ; Ed.D.P.-  
 Editura Didactic   i Pedagogic ; Ed.St.Enc. - Editura Stiin ific   
  i Enciclopedic ; IEEE Trans.Aut.Contr. - IEEE Transactions on Autom-  
 atic Control; IEEE Trans.PAS - IEEE Transactions on Power Apparatus  
 and Systems; IEEE Trans. Ind.Electr. - IEEE Journal of Control; IFAC  
 Symp.Ident.and Syst.Param.Est. - IFAC Symposium on Identification and  
 System Parameter Estimation; Proc.IEE - Proceedings of IEE; SIAM J.  
 Contr.Optim. - SIAM Journal of Control and Optimization.

1. Adk.62 - Adkins B.: The general theory of electrical machines, Chapman Hall, London, 1962.
2. Ale.87 - Alengrin G., Zerubia J.: A method to estimate the parameters of an ARMA model, IEEE Trans.Aut.Contr., AC-32, 1987.
3. All.80 - Allidina A.Y., Hughes F.M.: Generalised self-tuning controller with pole assignment, Proc.IEE vol.127, 1980.
4. And.82 - Anderson B.D., Johnson C.R.: Exponential convergence of adaptive identification and control algorithms, Automatica nr.18, 1982.
5. Ase.58 - Aseltine J.A., Machini A.R., Sarture C.W.: A survey of adaptive control systems, IRE Trans. Aut.Contr., nr.2, 1958.
6. Ast.67 - Astr m K.J., Bohlin T.: Numerical identification of linear dynamic systems from normal operating records, IBM Nordic Lab.Report.1815, 1967.
7. Ast.70 - Astr m K.J.: Introduction to stochastic control theory, Academic Pres, New York, 1970.
8. Ast.71 - Astr m K.J., Eykhoff P.: System identification, A survey, Automatica, nr.7, 1971.
9. Ast.73 - Astr m K.J., Wittenmark B.: on self-tuning regulators, Automatica, nr.9, 1973.
10. Ast.74.a - Astr m K.J., Wittenmark B.: Analysis of a self-tuning regulator for nonminimum phase systems; Proc.IFAC Symposium on Stochastic Control, Budapest 1974.
11. Ast.74.b - Astr m K.J.: A self-tuning parameter estimator, Report 7419, Dept.of Aut.Contr., Lund Institute of Technology, 1974.
12. Ast.77 - Astr m K.J., Borrisson E., Ljung L., Wittenmark B.: Theory and applications of self-tuning regulators, Automatica, nr.13, 1977.
13. Ast.80.b - Astr m K.J., Wittenmark B.: Self-adjusting controller based on pole-zero placement, Proc.IEE, vol127, nr.3, 1980.
14. Ast.80.a - Astr m K.J.: Decision principles for self-tuning regulators; Methods and Applications in adaptive control, Springer Verlag, Berlin, 1980.
15. Ast.80.c - Astr m K.J.: Self-tuning regulators: design principles and applications; (In Applications of Adaptive Control, ed.Mahendra and Monopoli), Academic Press, New York, 1980.

16. Ast.83 - Aström K.J.: Theory and applications of adaptive control Automatica, nr.19, 1983.
17. Bab.85 - Babuția I., Dragomir T., Mureșan T., Proștean O.: Conducerea automată a proceselor, Ed.Facla, Timișoara, 1985.
18. Bar.74 - Bar-Shalom Y., Tse E.: Dual effect certainty equivalence and separation in stochastic control, IEEE Trans.Aut. Contr., AC-19, 1974.
19. Bel.61 - Bellman R.: Adaptive control processes, Princeton University Press, 1961.
20. Ben.84 - Bengtsson G., Edgardt B.: Experiences with self-tuning control in the process industry, Proc.IFAC Congress, Budapest, 1984.
21. Bie.76 - Bierman G.J.: Measurement updating using the UD factorization, Automatica, nr.12, 1975.
22. Bie.77 - Bierman G.J.: Factorization methods for discrete sequential estimation, Academic Press, New York, 1977.
23. Bit.85 - Bittanti S., Scattolini R.: A self-tuning algorithm for multivariable control, Proc.IFAC Symp. on Ident.and Syst. Param.Est., York, 1985.
24. Böh.84 - Böhöm J., Halovskova A., Kárny M., Paterka V.: Simple LQ self-tuning controllers, Proc.IFAC Congress, Budapest, 1984.
25. Buc.83 - Bucur C.M., Popoșea C.A., Simion Gh.: Matematici speciale, Calculul numeric, Ed.D.P., București, 1983.
26. Cai.84 - Gaines P.E., Lafortune S.: Adaptive control with recursive identification for stochastic linear systems, IEEE Trans.Aut.Contr., nr.3, 1984.
27. Căl.84 - Călin S., Petrescu Gh., Păbuș I.: Sisteme automate numerice, Ed.St.Enc., București, 1984.
28. Căl.85 - Călin S., Dumitrache I.: Regulatori automate, Ed.D.P., București, 1985.
29. Căl.88 - Călin S., Popescu Mh., Jora B., Bina V.: Conducerea adaptivă și flexibilă a proceselor industriale, Ed.Tehn., București, 1988.
30. Cha.68 - Chang A., Rissanen J.: Regulation of incompletely identified linear systems, SIAE J.Contr.Optim., nr.3, 1968.
31. Cha.86 - Chang F., Lancelot W.: An optimal adaptive routing algorithm, IEEE Trans.Aut.Contr., nr.3, 1966.
32. Che.86 - Chen S., Chow Y.S., Malik O.P., Hope G.S.: An adaptive synchronous machine stabilizer, IEEE Trans.Power Systems., nr.3, 1986.
33. Che.87 - Chen H.P., Goul L.: Consistent estimation of the order of stochastic control systems, IEEE Trans.Aut.Contr., AC-32, 1987.
34. Cla.67 - Clarke D.W.: Generalized least squares estimation of parameters of a dynamic model, IFAC Symp.on Ident.in Autom.Control Systems, Prague, 1967.
35. Cla.75 - Clarke D.W., Gawthrop P.J.: Self-tuning controller, Proc.IEEE, nr.22, 1975.



36. Cla.79 - Clarke D.W., Gawthrop P.J.: Self-tuning control, Proc. IEEE, nr.126, 1979.
37. Cla.80 - Clarke D.W.: Some implementation considerations of self-tuning controllers, North Holland Publ., 1980.
38. Cri.76 - Crișan O.: Ecuațiile de funcționare pentru mașina sincronă liniarizată, Electrotehnica, nr.7, 1976.
39. Cri.77 - Crișan O.: Ecuațiile de funcționare pentru mașina sincronă liniarizată, Electrotehnica, nr.1, 1977.
40. Cri.82 - Criști R., Monopoli R.V.: Computational aspects of discrete time adaptive control, IEEE Trans.Aut.Contr., AC-27, nr.6, 1982.
41. Dao.83 - Daozhi Y., Heydt G.F.: Self-tuning controller for generator excitation control, IEEE Trans.PAS, nr.6, 1983.
42. Don.79 - Bongarra J.J., Holer C., Bunch J., Stewart J.: LINPARK, Users Guide, SIAM, Philadelphia, 1979.
43. Dor.66 - Dordca P.: Beitrag zur zweiachsertheorie der electrischen maschinen, Archiv für Elektrotechnik, 50 Bdn 6 Heft, 1966.
44. Dor.69 - Dordca P., Novac I.: Considerarea pierderilor în fier cu parametrii operaționali ai mașinii sincrone, A II-a Conferință a electricienilor, București, 23-26 sept.'69.
45. Dum.82 - Dumitrache I., Călin S., Nițu C., Boțon I.: Automatizări și echipamente electrice, Ed.D.R., București 1982.
46. Dum.85 - Dumitrache I.: Proiectarea sistemelor numerice de reglare, Note de curs, I.P.S., 1985.
47. Ega.79 - Egardt B.: Stability of adaptive controllers, Springer Verlag, Berlin, 1979.
48. Ega.80 - Egardt B.: Unification of some discrete-time adaptive control schemes, IEEE Trans.Aut.Contr., nr.25, 1980.
49. Eyk.77 - Eykhoff P.: Identificarea sistemelor, Ed.Tehnică, București, 1977.
50. Eyk.80 - Eykhoff P.: Trends and progress in system identification, Pergamon Press, 1980.
51. Fel.65 - Feldbaum A.A.: Optimal control systems, Academic Press, New York, 1965.
52. Fin.73 - Finigen B., Rawe I.H.: On the identification of linear discrete time system models using the instrumental variable method, IFAC symp.on Ident.and Syst.Param.Est., Hague, vol.2, 1973.
53. Fon.81 - Fonin V.A., Pradkov A.L., Iacobovici V.A.: Adaptivnoe upravlenie dinamiceskimi ob'ektami, Moscova, Nauka, 1981.
54. Fur.73 - Furth S.P.: New estimator for the identification on dynamic processes, Report, Institut.Boris Kidrič Vinča Belgrad, 1973.
55. Fur.76 - Furth S.P., Carapic M.: On-line maximum likelihood algorithm for the identification of dynamic systems, IFAC Symp.Ident. and Syst.Param.Est., Tbilisi, 1976.

56. Ger.74 - Gertler J., Banyasz C.: A recursive (on-line) maximum likelihood identification, IEEE Trans.Aut.Contr., nr.9, 1974.
57. Gha.87 - Ghandakly A., Kronegger P.: Digital controller design method for synchronous generator excitation and stabilizer systems, Part.I: Methodology and computer simulation, IEEE Trans.Power System, nr.3, 1987.
58. God.86 - Godfrey K., Jones P.: Signal processing for control (Lecture, notes in control and information sciences), Springer-Verlag, 1986.
59. Goo.80 - Goodwin G.C., Rainadge P.J., Caines P.E.: Discrete time multivariable adaptive control, IEEE Trans.Aut.Contr., nr.4, 1980.
60. Goo.81 - Goodwin G.C., Rainadge P.J., Caines P.E.: Discrete time stochastic adaptive control, SIAM Contr.Optim., nr.7, 1981.
61. Goo.84.a - Goodwin G.C., Sin K.S.: Adaptive filtering, prediction and control, Prentice Hall, Englewood Cliffs, Inc. New Jersey, 1984.
62. Goo.84.b - Goodwin G.C., Hill D.J., Polariswani M.: A perspective on convergence of adaptive control algorithms, Automatica, nr.20, 1984.
63. Gri.84. - Grimble M.J.: Implicit and explicit LQG self-tuning controllers, Proc.IFAC Congress, Budapest, 1984.
64. Has.69 - Hasting J.R., Sage M.W.: Recursive generalized least squares procedure for on-line identification of process Proc.IEE, 116, 1969.
65. Hof.84 - Hoffman U., Müller U., Schürmann B., Rake H.: An on-off self-tuner-development, real-time application and comparison to conventional on-off controllers, Proc. IFAC Congress, Budapest, 1984.
66. Hoy.64 - Householder A.S.: The theory of matrices in numerical analysis, Waltham, Mass.; Blaisdell, 1964.
67. Ioa.83 - Ioanrou P.A., Kokotovic P.V.: Adaptive systems with reduced models, Springer Verlag, Berlin, 1983.
68. Ise.74 - Iserman R.: Comparison of six on-line identification and parameters estimation methods, Automatica, nr.10, 1974.
69. Ise.82 - Iserman R.: Parameter adaptive control algorithms - A tutorial, Automatica, nr.10, 1982.
70. Jak.85 - Jakoby W., Kaiserlautern: Diskrete adaptive Regler-Versuch einer Einordnung, Automatisierungstechnik, nr.1, 1985.
71. Joh.80 - Johnson C.R.: Input matching error augmentation, self-tuning and output error identification: Algorithmic similarities in discrete adaptive model following, IEEE Trans.Aut.Contr., nr.25, 1980.
72. Kal.58 - Kalman R.E.: Design of a self-optimizing control system, Am.Soc.Mech.Eng. Trans.80, 1958.
73. Kam.68 - Kaminosono H., Uyeda K.: New measurement of synchronous machine quantities, IEEE Trans.PAS, nr.11, 1968.

74. Kan.84.a - Kanniah J., Malik O.P., Hope G.S.: Microprocessor based universal regulator using dual-rate sampling, IEEE Trans.Ind.Elect.; nr.4, 1984.
75. Kan.84.b - Kanniah J., Malik O.P., Hope G.S.: Excitation control of synchronous generators using adaptive regulators, Part.I - theory and simulation results, IEEE Trans. PAS, nr.5, 1984.
76. Kaz.62 - Kazovschi B.: Perchodnic protesi electroceskih masinah perezmenogo toka, Izdatelstvo Akademii Nauk SSSR, Moscva, 1962.
77. Kim.56 - Kimbark E.W.: Power system stability, vol.III, synchronous machines, John Wiley Sons, New York, London, 1956.
78. Kra.87 - Krause J.M., Khargonekar P.P.: Parameter information content of measurable signals in direct adaptive control, IEEE Trans.Aut.Contr., AC-32, 1987.
79. Kum.84 - Kumar R.: Simultaneous adaptive control and identification via the weighted least square algorithm, IEEE Trans.Aut.Contr., AC-29, 1984.
80. Kus.82 - Kushner J., Kumar R.: Convergence and rate of convergence of a recursive identification and adaptive control method which uses truncated estimators, IEEE Trans.Aut.Contr., nr.5, 1982.
81. Lan.74 - Landau I.D.: A survey of model reference adaptive techniques - theory and applications, Int.J.Contr., vol.10, nr.5, 1974.
82. Lan.79.a - Landau I.D.: Model reference adaptive control and stochastic self-tuning regulators - Towards cross-fertilization AFOSR workshop on adaptive control, Univ.of Illinois, nr.5, 1979.
83. Lan.79.b - Landau I.D.: Adaptive control. The model reference approach, Marcel Dekker, New York, 1979.
84. Lan.81.a - Landau I.D., Lozano R.: Redesign of explicit and implicit discrete time model reference adaptive control-schemes, Int.J.Contr., vol.33, nr.2, 1981.
85. Lan.81.b - Landau I.D.: Model reference adaptive controllers and stochastic self-tuning regulators a unified approach. Journal of Dynamic Systems, Measurement and Control, vol.103, nr.3, 1981.
86. Lan.82.a - Landau I.D.: Combining model reference adaptive controllers and stochastic self-tuning regulators, Automatica, nr.8, 1982.
87. Lan.82.b - Landau I.D.: Martingale convergence analysis of adaptive schemes - a fixed back approach, IEEE Trans. Aut.Contr., AC-19, nr.4, 1982.
88. Lan.82.c - Landau I.D.: Combining model reference adaptive controllers and stochastic self-tuning regulators, Automatica, nr.18, 1982.
89. Law.79 - Lawson C., Henson R., Kincaid D., Krogh F.: Basic linear algebra subprograms for Fortran usage, ACM Trans.Math.Soft., v.5, 1979.

90. Lef.83 - Lefebvre S.: Tuning of stabilizers in multimachine power systems, IEEE Trans.PAS, nr.2, 1983.
91. Lin.73 - Lindorff D.P., Carroll R.L.: Survey of adaptive control using Lyapunov design, Int.J.Control, nr.18, 1973.
92. Lju.71 - Ljung L.: Characterization of the concept of "persistently exciting" in the frequency domain, Lund Inst. of Technology, Rep.7119, 1971.
93. Lju.74 - Ljung L.: Convergence of recursive stochastic algorithms, Lund Inst. of Technology, Report.7403, 1974.
94. Lju.84.a - Ljung L.: Convergence analysis of stochastic adaptive control algorithms using of the ODE approach, Encyclopedia of Systems and Control, 1984.
95. Lju.84.b - Ljung S., Ljung L.: Error propagation properties of recursive least squares adaptation algorithms, Proc. IFAC Congress, Budapesta, 1984.
96. Lju.87 - Ljung L.: System identification - The theory for the user, Prentice-Hall, 1987.
97. Lus.84 - Lugtra B., Proștean O., Kilyeni S., Dragomir A., Grondo I.: Identificarea analitică și analiza unor modele matematice ale hidroagregatelor utilizabile pentru sinteza reguletoarelor de tensiune, Sedința VII de comunicare tehnico-stiințifice, COSILEH Reșița, oct.1984.
98. Lus.88.a - Lugtra B., Proștean O.: Hydrogenerator model for excitation self-tuning control, Bul.IPVVT, Tom 33(47), 1988.
99. Lus.86 - Lugtra B., Proștean O., Dragomir A.: Probleme privind modelarea hidrogeneratoarelor în vederea conducerii adaptive a sistemului lor de excitație, Ses.stiințifică, Univ.Galați, oct.1986.
100. Lus.88.b - Lugtra B., Proștean O.: Direct way for recursive least square estimator implementation based on Givens orthogonal transformation, Bul.IPVVT, Tom 33(47), 1988.
101. Lus.88.c - Lugtra B., Proștean O.: Algoritm de comandă adaptivă autoacordabilă, Simpozionul de calc.și cond.aut.a proceselor, 8-10 dec.1988, Timișoara.
102. Mal.84 - Malik O.P., Hope G.S.: A design approach for a micro-processor based complex control system for application to a generator unit, IFAC Congress, Budapesta, 1984.
103. Mey.87 - Meyn S.P., Caines P.E.: A New Approach to Stochastic Adaptive Control, IEEE Trans.Aut.Contr., AC-32, nr.3, 1987.
104. Mon.74 - Monopoli R.V.: Model reference adaptive control with an augmented error signal, IEEE Trans.Aut.Contr., AC-19, nr.4, 1974.
105. Moo.84 - Moore J.B., Boel R.: Recursive prediction error methods in open-loop estimation and adaptive control, IFAC Congress, Budapesta, 1984.
106. Mos.84 - Mosca E., Zappa G., Manfredi C.: Multistep horizon self-tuning controllers; The MUSMAR approach, IFAC Congress, Budapesta, 1984.
107. Nar.80.a - Narendra K.S., Monopoli R.F.: Applications of adaptive control, Academic Press, New York, 1980.

108. Mar.79 - Harandra K.S., Valavani L.S.: Direct and indirect model reference adaptive control, Proc.IFAC Congress, Helsinki, 1979.
109. Mar.80.b - Harandra K.S., Lin Y.H.: Stable discrete adaptive control, IEEE Trans.Aut.Contr., nr.25, 1980.
110. Mar.80.c - Harandra K.S., Peterson P.: Recent developments in adaptive control. Methods and Applications in Adaptive Control, Springer Verlag, Berlin, 1980.
111. Mar.68 - Nedelcu V.R.: Regimurile de funcționare ale agregatelor de curent alternativ, Ed.Tehnică, Bucharest, 1968.
112. Mar.86 - Nemir D.C., Kashyap R.L.: Certainty equivalence and the minimax principle in self-tuning control, IEEE Trans.Aut.Contr., AC-31, nr.6, 1986.
113. Oli.66 - Olive D.W.: New techniques for the calculation of dynamic stability, IEEE Trans.PAS, vol.85, nr.7, 1966.
114. Oli.68 - Olive D.W.: Digital simulation of synchronous machines transients, IEEE Trans.PAS, vol.87, nr.8, 1968.
115. Owe.85 - Owen B.H., Chotai A.: A simulation aid to gain estimates for robust tuning regulators, IEEE Trans. Aut.Contr., AC-30, nr.2, 1985.
116. Pan.68 - Panuska V.: A stochastic approximation method for identification of linear systems using adaptive filtering, Proc.JACC, Univ.of Michigan, 1968.
117. Pet.72 - Peterka V., Aström K.J.: Control of multivariable systems with unknown but constant parameters, Proc. 3th IFAC Symp.on Ident.and Param., Haga, 1973.
118. Pet.72 - Peterka V.: On steady state minimum variance control strategy, Kybernetika, vol.8, nr.5, 1972.
119. Pet.75 - Peterka V.: A square root filter for real time multivariate regression, Kybernetika, vol.2, nr.1, 1975.
120. Pet.76 - Peterka V., Halovskova A.: Effective algorithms for real time multivariate regression, Proc.3rd IFAC Symp.on Ident.and Syst.Param.Est., Tibilisi, 1976.
121. Pet.80 - Petrov B.W., Rutkovski V.E., Zemleakov S.D.: Adaptivnoe koordinatno-parametricheskoe upravlenie, Teorema, Nauka, 1980.
122. Pop.82 - Popescu Th.: Contribuții la identificarea și conducerea adaptivă cu calculator a proceselor continue, Teză de doctorat, 1982.
123. Pop.85 - Popescu Th.: Metode de estimare recursivă a parametrilor sistemelor, AMC, vol.51, 1985.
124. Pro.88.b - Proștean O., Lustrea B.: Explicit self-tuning controller for hydrogenerator excitation control, Bl.ETVA-51, Tom 33(47), 1988.
125. Pro.82.b - Proștean O.: Structuri de sisteme de conducere cu regulatoare electronice multivariable, Referat de doctorat, 1982.
126. Pro.85.a - Proștean O., Mureșan I.: Tehnici de identificare și reglare, Curs, vol.2, ETVA, 1985.

127. Pro.85.b - Proştean O.: The comparative analysis of some model-  
tion technics in a synchronous generator's behaviour  
study, Simpozionul de Microprocesoare, microcalcula-  
toare şi aplicaţii în economie, IPTV Timişoara, 1985.
128. Pro.87 - Proştean O.: Simulator analogic implementabil pe mi-  
crocalculatoare din familia IIM-S, INF, nr.1-2, 1987,  
Buletin al clubului programatorilor C.U. Timişoara
129. Pro.88.a - Proştean O., Luştrea B.: Hydrogenerator recursive esti-  
mators-critical evaluation, Bul, IPTV-21, Tom 33(47), 1988.
130. Pro.82.a - Proştean O.: Metode avansate de sinteză a reguletoarelor  
electronice multivariabile, Referat de doctorat, 1982.
131. Pro.88.c - Proştean O., Luştrea B.: Simulation test results for  
change in operating condition in the case of hydrogene-  
rator excitation adaptive control, Simpozionul de calc.  
şi cond.autom.a proceselor, 8-10 dec., 1988, Timişoara.
132. Prot.83/  
Prot.84 - Cercetări în vederea realizării unui regulator de ten-  
siune inteligent destinat agregatelor reversibile, Con-  
tract de cercetare ştiinţifică IPTV-CCSIEH Reşiţa,  
1983/1984.
133. Prot.85/  
Prot.86/  
Prot.87/  
Prot.88 - Cercetări privind realizarea unui regulator de tensi-  
une destinat hidrogeneratoarelor reversibile şi pro-  
bleme colaterale, Contract cercetare ştiinţifică  
IPTV-CCSIEH Reşiţa, 1985-1988.
134. Row.70 - Rowe H.: A bootstrap method for the statistical esti-  
mation of model parameters, SIAM Int.J.Contr.Optim,  
12, 1970.
135. Sak.76 - Sakrison D.J.: The use of stochastic approximation to  
solve the system identification problem, IEEE Trans.  
Aut.Contr., AC-12, 1976.
136. Sar.77 - Saridis G.N.: Self-organizing control of stochastic  
systems, Marcel Dekker, New York, 1977.
137. Sas.87 - Sasaki H., Aoki K., Yokoyama R.: A parallel computation  
algorithm for static state estimation by means of matrix  
inversion lemma, IEEE Trans.Power Systems, nr.3, 1987.
138. Sen.73 - Sen A., Sinha N.K.: A generalized pseudoinverse algo-  
rithm for unbiased parameter estimation, Int.J.Control,  
6, 1973.
139. Shi.86.a - Shi D.H., Kozin F.: On almost sure convergence of adap-  
tive algorithms, IEEE Trans.Aut.Contr., AC-31, nr.5, 1986.
140. Shi.86.b - Shi-jie C., Chow Y.S., Malik O.P., Hope A.S.: An adap-  
tive synchronous machine stabilizer, IEEE Trans.Power  
Systems, nr.3, 1986.
141. Sim.82 - Sima V.: Contribuţii la realizarea sistemelor adaptive  
cu model etalon. Teză de doctorat, I.P.S., 1982.
142. Sim.84 - Sima V.: Factorization techniques in discrete time  
adaptive control, Proc.IFAC Congress, Sudwest, 1984.
143. Sim.85 - Sima V.: Tehnici de factorizare în algoritmi de con-  
ducere adaptivă, AIG, vol.51, 1985.
144. Sor.80 - Sorenson H.W.: Parameter estimation. Principles and  
problems, Marcel Dekker, Inc., New York, 1980.

145. Söd.75 - Söderström T.: On the uniqueness of maximum likelihood identification, Automatica, nr.11, 1975.
146. Söd. 74 - Söderström T., Ljung L., Gustawsson I.: A comparative study of recursive identification methods, Lund Inst.of technology, Report 7427, 1974.
147. Söd.79 - Söderström T., Stoica P.: Comparison of some instrumental variable methods-consistency and accuracy aspects, Proc.IFAC Symp.on Ident.and Syst.Param.Est., Darmstadt, vol.1, 1979.
148. Söd.83 - Söderström T., Stoica P.: Instrumental variable methods for system identification, Springer Verlag, 1983.
149. Söd.87 - Söderström T., Stoica P.: Instrumental variable estimation (In H.G.Singh Ed.) Encyclopedia of Systems and Control, Pergamon Press, 1987.
150. Sra.76 - Bragovici V.G.; Teoria adaptivnih sistem, Nauka, Moscova, 1976.
151. Sra.81 - Bragovici V.G.: Adaptivnee upravlenie, Nauka, Moscova, 1981.
152. Sto:73 - Stewart G.W.: Introduction to matrix computations, Academic Press, New York, 1973.
153. Sto:79 - Stoica P., Söderström T.: Consistency properties of an identification method using the instrumental variable principle, Rev.Roum.Sci.Techn.Electr.et Energ.24, 1979.
154. Sto.85.a - Stoica P., Söderström T., Friedlander B.: Optimal instrumental variable estimates of the AR parameters of an ARMA process, IEEE Trans,Aut.Contr., AC-30, 1985.
155. Sto.85.b - Stoica P., Friedlander B., Söderström T.: Large sample estimation of the AR parameters of an ARMA model, IEEE Trans.Aut.Contr., AC-30, 1985.
156. Sto.85.c - Stoica P., Söderström T., Ahlen A.: On the convergence of pseudo-linear regression algorithms, Int.J.Control, vol.11, 1985.
157. Str.59. - Stromer R.R.: Adaptive and self-optimizing control systems, IRE Trans.aut.Contr., vol.3, nr.1, 1959.
158. Tal.73 - Talmon J.L., von den Boom A.J.J.: On the estimation of the transfer function parameters of process and noise dynamics using a single-state estimator, IFAC Symp.on Ident.and Syst.Param.Est., Hague, vol.2, 1973.
159. Ter.80 - Partişco M., Stoica P.: Identificarea și estimarea parametrilor sistemelor, Ed.Academiei RSR, Bucureşti, 1980.
160. Ter.85 - Partişco M., Stoica P., Popescu Th.: Modelarea și predicția seriilor de timp, Ed.Academiei, 1985.
161. Ter.87 - Partişco M., Stoica P., Popescu Th.: Identificarea asistată de calculator a sistemelor, Ed.Tehnică, 1987.
162. Tho.78 - Thornton C.L., Bierman G.J.: Filtering and error analysis via the UDUT covariance factorization, IEEE Trans.Aut.Contr., AC-28, 1978.



163. Toi.83.a - Toivonen H.E.: Variance constrained self-tuning control, *Automatica*, 13, 1983.
164. Toi.83.b - Toivonen H.E.: Self-tuning regulators with explicit variance restrictions, *Int.J.Control*, nr.38, 1983.
165. Unb.80 - Unbehauen H.: Methods and applications in adaptive control, Springer Verlag, Berlin, 1980.
166. Unt.86 - Unten F.S., Weinfeld R.: Newton-Raphson algorithm for the recursive generalized least-squares identification, *IEEE Trans.Aut.Contr.*, AC-31, nr.7, 1986.
167. Wan.84 - Wang I.S., Quintara V.H.: A decoupled orthogonal row processing algorithm for power system state estimation, *IEEE PAS* nr.8, 1984.
168. Web.71 - Weber W.: Adaptive regelungssysteme I, II. B. Oldenbourg Verlag, München-Wien, 1971.
169. Wel.80 - Wellstead P.E., Edmunds J.H., Proger D.L., Tanker P.: Classical and optimal self-tuning control, *Int.J. Control*, vol.31, nr.9, 1980.
170. Wel.81 - Wellstead P.E., Sanoff S.P.: Extended self-tuning algorithm, *Int.J.Control*, vol.34, nr.4, 1981.
171. Wit.73 - Wittenmark B.: A self-tuning regulator, Report 7311, Dep.of Automatic Control, Lund Inst.of Tech., 1973.
172. Wit.75 - Wittenmark B.: Stochastic adaptive control methods (survey); *Int.J.of Control*, vol.21, nr.9, 1975.
173. Won.67 - Wong K.Y., Polak E.: Identification of linear discrete time system using the instrumental variable method, *IEEE Trans.Aut.Contr.*, AC-12, 1967.
174. Wu.85 - Wu S.C.: A theorem of equivalence on the methods of least-squares estimation, *IEEE Tran.Aut.Contr.*, AC-30, nr.2, 1985.
175. Yds.84 - Ydstie B.S.: Extended horizon adaptive control, Proc. IFAC Congress, Budapest, 1984.
176. You.65 - Young P.C.: Process parameter estimation and self adaptive control. In Hammond P.H. Ed. *Theory of Self Adapting Control System*, Plenum Press, New York, 1965.
177. You.70.a - Young P.C.: An extension of the instrumental variable method for identification of a noisy dynamic process, Dept.Eng.Univ.Cambridge, Tech.Note, 1970.
178. You.70.b - Young P.C., Hastings-James R.: Identification and control of discrete dynamic systems subject to disturbances with rational spectral density, Proc.9 th IEEE Symp.Adaptive Processes, 1970.
179. You.72 - Young P.C.: Comments on "On-line identification of linear dynamic systems with applications to Kalman filtering", *IEEE Trans.Aut.Contr.* AC-17, 1972.
180. You.76 - Young P.C.: Some observations on instrumental variable methods of time-series analysis, *Int.J.Control*, 23, 1976.
181. You.80 - Young P.C., Jakeman A., McMurtrie K.: An instrumental variable method for model order identification, *Automatica*, IFAC, vol.16, 1980.
182. Zhe.87 - Zheng L.: Discrete-time adaptive control of deterministic fast time-varying systems, *IEEE Trans.Aut. Contr.*, AC-32, 1987.